

ANNEXE A : ANALYSES LITHOGÉOCHIMIQUES

Document publique de la Commission Géologique du Canada:

Titre: Whole-rock lithogeochemistry of the Éléonore mine and Cheechoo deposit, Eeyou Istchee Baie-James, Superior Province, Québec, Canada, 2019 (sous presse), Fontaine, A., Dubé, B., Mercier-Langevin, P., Malo, M., Bécu, V., Lauzière, K.

ANNEXE B : ANALYSES À LA MICROSONDE

Modèle :	CAMECA SX-100
Spectromètre à dispersion de longueur d'onde (WDS)	
Voltage d'excitation	15 kV
Ampérage	20 η A
Diamètre du faisceau	$\pm 5 \mu\text{m}$
Durée de comptage sur pic mesuré	20 sec.
Durée de comptage sur bruit de fond	10 sec.
Analyses quantitatives ponctuelles	

AMPHIBOLES	SiO ₂	TiO ₂	Al ₂ O ₃	Cr ₂ O ₃	V ₂ O ₃	Fe ₂ O ₃	FeO	MnO	NiO	ZnO	MgO	CaO	SrO	BaO	Na ₂ O	K ₂ O	H ₂ O*	F	Cl	Total	O=F,Cl	Total	FeO tot
EDH-GSC-13-005 (1)*	43,41	0,28	11,50	0,33	0,00	1,69	19,36	0,61	0,00	0,00	6,82	12,19	0,00	0,01	0,86	1,20	1,87	0,23	0,00	100,34	0,09	100,24	20,87
EDH-GSC-13-005 (2)*	51,90	0,00	0,92	0,17	0,00	0,00	24,93	0,65	0,03	0,00	7,36	12,42	0,00	0,04	0,04	0,09	1,95	0,04	0,01	100,55	0,02	100,53	24,93
EDH-GSC-13-005 (2)*	49,82	0,11	4,28	0,14	0,00	0,31	21,86	0,61	0,00	0,00	8,16	12,39	0,00	0,00	0,29	0,31	1,98	0,00	0,03	100,30	0,01	100,29	22,14
EDH-GSC-13-005 (3)*	51,38	0,02	0,79	0,01	0,00	0,00	26,84	0,75	0,02	0,00	5,55	12,30	0,00	0,00	0,02	0,06	1,93	0,01	0,02	99,68	0,01	99,67	26,84
EDH-GSC-13-005 (7)*	42,88	0,47	11,04	0,18	0,00	2,29	20,17	0,54	0,00	0,00	6,25	11,95	0,00	0,00	0,95	1,27	1,88	0,16	0,00	100,05	0,07	99,99	22,24
EDH-GSC-13-013 (5)*	55,76	0,03	0,70	0,01	0,00	0,03	14,04	0,30	0,00	0,00	14,72	12,46	0,00	0,00	0,07	0,08	2,09	0,00	0,00	100,31	0,00	100,31	14,07
EDH-GSC-13-013 (5)*	52,72	0,17	3,72	0,04	0,00	2,55	10,97	0,44	0,02	0,00	14,47	11,88	0,00	0,04	0,58	0,24	2,08	0,00	0,01	99,94	0,00	99,94	13,26
EDH-GSC-13-013 (7)*	51,26	0,01	1,21	0,00	0,00	0,58	25,32	0,32	0,03	0,00	7,01	12,12	0,00	0,02	0,18	0,09	1,96	0,00	0,01	100,12	0,00	100,12	25,84
EDH-GSC-13-013 (8)*	54,78	0,07	1,10	0,00	0,00	0,00	15,53	0,26	0,00	0,00	13,83	12,75	0,00	0,00	0,22	0,07	2,03	0,09	0,00	100,72	0,04	100,68	15,53
EDH-GSC-13-140 (5)*	55,40	0,03	0,61	0,00	0,03	0,57	16,02	0,35	0,00	0,00	13,45	12,51	0,01	0,00	0,05	0,03	2,00	0,18	0,01	101,25	0,08	101,18	16,54
EDH-GSC-13-140 (5)*	54,69	0,00	0,44	0,01	0,00	0,33	21,80	1,34	0,00	0,00	9,45	12,40	0,00	0,02	0,01	0,04	2,02	0,06	0,01	102,63	0,03	102,61	22,10
EDH-GSC-13-140 (6)*	53,66	0,01	1,09	0,01	0,02	0,22	15,09	0,42	0,00	0,00	13,63	12,61	0,00	0,02	0,08	0,04	2,04	0,00	0,00	98,95	0,00	98,95	15,29
EDH-GSC-13-155 (1)*	54,76	0,08	2,85	0,01	0,04	2,69	5,79	0,31	0,03	0,00	18,29	12,55	0,02	0,00	0,20	0,13	2,10	0,08	0,01	99,91	0,03	99,87	8,21
EDH-GSC-13-155 (2)*	55,13	0,07	2,89	0,08	0,07	2,15	6,11	0,35	0,02	0,00	18,43	12,73	0,00	0,02	0,23	0,14	2,09	0,13	0,02	100,65	0,06	100,59	8,05
EDH-GSC-13-155 (3)*	54,43	0,06	2,66	0,14	0,03	1,35	6,58	0,34	0,00	0,00	18,26	12,81	0,01	0,03	0,18	0,11	2,09	0,05	0,01	99,14	0,02	99,12	7,80
EDH-GSC-13-155 (3)*	56,13	0,01	1,34	0,00	0,00	0,00	8,14	0,21	0,03	0,00	18,11	13,09	0,00	0,01	0,12	0,07	2,07	0,12	0,01	99,46	0,05	99,41	8,14
EDH-GSC-13-155 (3)*	56,21	0,01	0,02	0,01	0,01	0,00	12,40	0,31	0,00	0,00	16,01	12,93	0,00	0,03	0,00	0,00	2,03	0,13	0,01	100,13	0,06	100,08	12,40
EDH-GSC-13-165 (2)*	54,81	0,16	2,77	0,12	0,06	0,42	6,33	0,44	0,00	0,00	18,98	13,13	0,00	0,00	0,27	0,20	2,03	0,23	0,00	99,95	0,10	99,85	6,71
EDH-GSC-13-165 (2)*	54,56	0,15	2,39	0,13	0,04	0,76	6,11	0,38	0,00	0,00	19,06	13,12	0,00	0,01	0,21	0,16	2,05	0,14	0,02	99,27	0,06	99,21	6,79
EDH-GSC-13-165 (2)*	54,45	0,09	1,85	0,08	0,02	0,38	10,68	0,40	0,00	0,00	16,40	12,93	0,00	0,00	0,14	0,10	2,01	0,17	0,00	99,71	0,07	99,63	11,02
EDH-GSC-13-165 (7)*	54,84	0,12	2,15	0,07	0,05	1,29	5,33	0,38	0,00	0,00	19,44	12,99	0,05	0,00	0,23	0,17	2,03	0,21	0,00	99,34	0,09	99,26	6,49
EDH-GSC-13-169 (7)*	54,52	0,15	2,56	0,11	0,03	0,81	6,54	0,43	0,00	0,00	18,63	12,99	0,00	0,01	0,21	0,19	2,07	0,10	0,01	99,35	0,04	99,30	7,26
EDH-GSC-13-169 (7)*	54,41	0,15	2,79	0,09	0,03	1,07	6,42	0,39	0,00	0,00	18,74	13,09	0,02	0,00	0,27	0,19	2,01	0,25	0,00	99,91	0,11	99,81	7,38
EDH-GSC-13-169 (9)*	55,18	0,01	0,54	0,02	0,03	0,00	11,14	0,47	0,02	0,00	16,18	12,81	0,00	0,01	0,06	0,05	2,03	0,09	0,02	98,67	0,04	98,63	11,14
EDH-GSC-13-169 (9)*	52,17	0,06	0,23	0,06	0,00	0,00	22,36	1,79	0,04	0,00	8,26	12,24	0,00	0,00	0,06	0,08	1,96	0,00	0,02	99,31	0,00	99,31	22,36
EDH-GSC-13-180 (3)*	51,85	0,18	3,62	0,07	0,06	3,97	10,77	0,49	0,00	0,00	14,00	11,79	0,00	0,00	0,52	0,25	2,03	0,08	0,00	99,67	0,03	99,64	14,34
EDH-GSC-13-180 (3)*	53,11	0,00	0,51	0,00	0,01	0,01	20,49	0,58	0,00	0,00	10,33	12,33	0,00	0,00	0,09	0,04	2,00	0,00	0,00	99,51	0,00	99,51	20,50
EDH-GSC-13-180 (5)*	51,64	0,21	4,15	0,07	0,07	3,96	10,78	0,50	0,00	0,00	13,89	11,85	0,00	0,01	0,52	0,29	2,07	0,00	0,00	100,01	0,00	100,01	14,34
EDH-GSC-13-180 (6)*	53,96	0,00	0,30	0,01	0,01	0,00	19,29	0,42	0,02	0,00	11,38	12,66	0,00	0,01	0,01	0,00	2,03	0,00	0,00	100,10	0,00	100,10	19,29

AMPHIBOLES	SiO ₂	TiO ₂	Al ₂ O ₃	Cr ₂ O ₃	V ₂ O ₃	Fe ₂ O ₃	FeO	MnO	NiO	ZnO	MgO	CaO	SrO	BaO	Na ₂ O	K ₂ O	H ₂ O*	F	Cl	Total	O=F,Cl	Total	FeO tot
EDH-GSC-13-201 (2) *	55,15	0,08	2,23	0,07	0,03	1,62	6,18	0,30	0,00	0,00	18,53	12,51	0,00	0,00	0,26	0,12	2,05	0,16	0,00	99,31	0,07	99,24	7,64
EDH-GSC-13-201 (6) *	54,60	0,08	2,19	0,10	0,02	2,19	5,68	0,26	0,00	0,00	18,69	12,61	0,00	0,00	0,23	0,12	2,05	0,14	0,01	98,97	0,06	98,91	7,65
EDH-GSC-13-201 (7) *	55,38	0,08	2,16	0,12	0,02	1,80	5,87	0,24	0,02	0,00	18,69	12,44	0,00	0,00	0,27	0,11	2,10	0,08	0,00	99,37	0,03	99,34	7,49
EDH-GSC-13-208 (2) *	55,61	0,15	2,41	0,10	0,03	0,42	7,43	0,26	0,01	0,00	18,32	12,72	0,00	0,02	0,26	0,15	2,05	0,18	0,01	100,13	0,08	100,05	7,81
EDH-GSC-13-208 (4) *	54,95	0,14	2,34	0,09	0,04	1,61	6,51	0,26	0,00	0,00	18,40	12,57	0,00	0,01	0,30	0,14	2,10	0,06	0,00	99,53	0,02	99,50	7,96
EDH-GSC-13-208 (7) *	54,64	0,19	2,75	0,12	0,05	0,90	7,02	0,28	0,00	0,00	18,16	12,61	0,00	0,00	0,35	0,19	2,07	0,12	0,00	99,43	0,05	99,38	7,83
EDH-GSC-13-208 (7) *	53,42	0,00	0,17	0,01	0,00	0,00	21,97	0,34	0,00	0,00	9,56	12,36	0,00	0,00	0,04	0,02	1,99	0,01	0,00	99,89	0,01	99,88	21,97
EDH-GSC-13-220 (2) *	53,35	0,05	2,37	0,02	0,05	0,28	15,54	0,61	0,00	0,00	12,84	12,47	0,00	0,01	0,18	0,12	2,02	0,08	0,00	99,98	0,03	99,95	15,79
EDH-GSC-13-220 (4) *	52,05	0,15	3,17	0,06	0,10	1,34	15,67	0,59	0,00	0,00	12,29	12,45	0,00	0,00	0,36	0,22	2,03	0,04	0,02	100,53	0,02	100,51	16,87
EDH-GSC-13-220 (5) *	52,37	0,12	1,86	0,03	0,10	2,81	14,03	0,65	0,00	0,00	13,09	12,30	0,02	0,00	0,25	0,16	2,02	0,06	0,00	99,87	0,03	99,84	16,56
EDH-GSC-13-225 (5) *	54,26	0,00	0,26	0,01	0,02	0,00	16,06	0,61	0,00	0,00	13,20	12,87	0,01	0,00	0,03	0,03	1,96	0,17	0,01	99,48	0,07	99,41	16,06
EDH-GSC-13-225 (5) *	54,88	0,13	1,48	0,01	0,02	4,27	7,38	0,73	0,02	0,00	16,92	12,12	0,01	0,01	0,22	0,12	2,06	0,13	0,01	100,54	0,06	100,48	11,22
EDH-GSC-13-225 (6) *	56,23	0,01	0,26	0,00	0,02	0,53	10,21	0,39	0,00	0,00	17,45	13,06	0,05	0,00	0,01	0,02	2,05	0,15	0,01	100,45	0,06	100,39	10,69
EDH-GSC-13-231 (1) *	54,74	0,05	1,63	0,10	0,00	1,59	9,60	0,36	0,07	0,00	16,85	12,82	0,13	0,02	0,14	0,06	2,06	0,11	0,00	100,32	0,05	100,27	11,03
EDH-GSC-13-231 (2) *	53,34	0,12	3,39	0,12	0,06	0,64	11,22	0,39	0,01	0,00	15,49	12,80	0,04	0,00	0,34	0,15	2,08	0,04	0,00	100,23	0,02	100,21	11,79
EDH-GSC-13-231 (2) *	54,33	0,01	0,39	0,00	0,00	0,00	17,40	1,75	0,02	0,04	11,64	12,64	0,00	0,01	0,06	0,04	2,02	0,04	0,01	100,41	0,02	100,39	17,40
EDH-GSC-13-241 (1) *	54,12	0,00	0,69	0,02	0,03	0,93	14,18	0,30	0,01	0,00	14,22	12,54	0,00	0,00	0,09	0,04	1,95	0,21	0,01	99,35	0,09	99,26	15,02
EDH-GSC-13-248B (1) *	50,84	0,26	4,31	0,13	0,08	4,08	9,56	0,49	0,00	0,00	14,84	11,84	0,00	0,04	0,97	0,49	1,79	0,61	0,00	100,32	0,26	100,06	13,23
EDH-GSC-13-248B (2) *	50,78	0,03	0,32	0,10	0,25	0,41	27,79	0,41	0,03	0,00	5,29	11,81	0,03	0,00	0,07	0,06	1,92	0,00	0,00	99,30	0,00	99,30	28,16
EDH-GSC-13-248B (2) *	51,10	0,27	3,52	0,08	0,05	4,05	9,06	0,50	0,02	0,07	15,25	11,82	0,00	0,00	0,90	0,42	1,90	0,35	0,01	99,34	0,15	99,20	12,70
EDH-GSC-13-248B (2) *	52,74	0,04	1,99	0,03	0,03	7,85	6,68	0,24	0,07	0,09	15,50	11,09	0,04	0,03	0,38	0,15	1,95	0,19	0,15	99,21	0,11	99,10	13,75
EDH-GSC-13-248B (6) *	52,05	0,17	3,35	0,06	0,10	4,03	9,23	0,50	0,02	0,00	15,45	12,02	0,01	0,00	0,78	0,36	1,84	0,52	0,00	100,50	0,22	100,28	12,86
EDH-GSC-13-263 (1) *	55,17	0,17	2,01	0,11	0,03	2,52	5,99	0,24	0,04	0,08	18,65	12,61	0,00	0,00	0,30	0,14	2,14	0,00	0,00	100,20	0,00	100,20	8,26
EDH-GSC-13-263 (1) *	54,15	0,00	0,58	0,10	0,08	0,71	16,45	0,24	0,02	0,10	12,90	12,38	0,00	0,00	0,13	0,11	2,02	0,06	0,01	100,05	0,03	100,02	17,09
EDH-GSC-13-263 (3) *	54,71	0,23	2,47	0,12	0,05	2,47	6,18	0,24	0,01	0,00	18,56	12,67	0,00	0,03	0,39	0,17	2,04	0,20	0,01	100,54	0,09	100,45	8,40
EDH-GSC-13-263 (3) *	54,16	0,00	1,18	0,25	0,04	1,12	13,29	0,19	0,11	0,00	14,67	12,63	0,00	0,01	0,17	0,05	2,06	0,02	0,00	99,97	0,01	99,96	14,30
EDH-GSC-13-263 (3) *	56,01	0,17	1,85	0,12	0,04	0,37	7,53	0,24	0,08	0,00	18,50	12,77	0,00	0,00	0,25	0,11	2,09	0,11	0,00	100,24	0,04	100,19	7,86
EDH-GSC-13-263 (3) *	53,74	0,01	0,76	0,12	0,09	0,00	16,28	0,23	0,02	0,03	13,04	12,77	0,02	0,00	0,11	0,08	2,04	0,00	0,00	99,33	0,00	99,33	16,28

AMPHIBOLES	SiO₂	TiO₂	Al₂O₃	Cr₂O₃	V₂O₃	Fe₂O₃	FeO	MnO	NiO	ZnO	MgO	CaO	SrO	BaO	Na₂O	K₂O	H₂O*	F	Cl	Total	O=F,Cl	Total	FeO tot
EOC-GSC-13-021 (1) *	55,36	0,19	2,53	0,14	0,08	1,03	6,21	0,52	0,00	0,20	18,72	12,83	0,03	0,01	0,30	0,15	2,06	0,18	0,00	100,56	0,07	100,49	7,14
EOC-GSC-13-021 (1)*	55,54	0,15	2,14	0,15	0,07	0,57	6,76	0,51	0,02	0,10	18,67	12,97	0,00	0,00	0,18	0,14	1,97	0,29	0,12	100,34	0,15	100,19	7,28
EDH-14-102 C4-1	53,24	0,10	2,78	0,00			14,38	0,44			14,90	11,93			0,51	0,22		0,26	0,02	100,73			
EDH-14-102 C4-2	51,53	0,18	3,48	0,03			14,96	0,41			15,50	11,28			0,81	0,25		0,21	0,00	100,64			
EDH-14-102 C4-4	53,09	0,14	2,72	0,00			14,33	0,35			16,52	12,17			0,43	0,19		0,16	0,02	102,17			
EDH-14-102 C4-5	52,92	0,07	2,61	0,00			14,67	0,34			14,96	12,16			0,42	0,19		0,10	0,00	100,49			
EDH-14-102 C3-1	54,09	0,07	1,88	0,00			14,88	0,46			15,58	11,33			0,48	0,13		0,25	0,01	101,11			
EDH-14-102 C3-2	52,66	0,18	2,53	0,03			14,47	0,39			14,75	11,67			0,59	0,21		0,08	0,01	99,61			
EDH-14-102 C3-3	53,43	0,05	0,96	0,00			15,04	0,42			15,06	11,40			0,68	0,19		0,07	0,00	99,31			
EDH-14-102 C2-2	52,39	0,14	2,63	0,07			14,91	0,44			14,72	11,32			0,72	0,20		0,03	0,00	99,61			
EDH-14-102 C2-3	52,80	0,18	2,53	0,01			14,81	0,41			15,09	11,54			0,60	0,19		0,26	0,00	100,37			
EDH-14-102 C2-4	52,43	0,23	2,76	0,00			14,94	0,44			14,90	11,32			0,69	0,21		0,18	0,00	100,08			
EDH-071 C1-2	53,81	0,25	2,27	0,05			11,04	0,70			16,47	12,41			0,32	0,21		0,18	0,01	99,73			
EDH-049 C1-1	52,89	0,41	2,96	0,03			13,44	0,45			15,04	12,19			0,51	0,27		0,07	0,00	100,30			
EDH-049 C1-2	53,13	0,41	2,92	0,05			13,76	0,42			15,05	12,30			0,46	0,27		0,16	0,01	100,97			
EDH-049 C2-1	53,00	0,23	2,79	0,20			12,96	0,41			15,24	12,36			0,40	0,24		0,09	0,00	99,97			
EDH-049 C2-2	53,21	0,18	2,79	0,14			13,06	0,44			15,23	12,41			0,45	0,25		0,20	0,02	100,35			
EDH-049 C3-2	53,08	0,23	2,78	0,18			12,57	0,47			15,44	12,50			0,36	0,26		0,22	0,01	100,07			
EDH-049 C3-3	53,69	0,10	3,00	0,17			12,36	0,46			15,80	12,49			0,43	0,24		0,12	0,01	100,94			
EDH-14-099 C1-1	47,51	1,02	5,74	0,00			18,37	0,29			10,98	11,48			1,07	0,49		0,07	0,03	99,01			
EDH-14-099 C1-2	48,00	0,85	5,73	0,00			18,46	0,29			11,27	11,51			1,24	0,49		0,23	0,01	99,98			
EDH-14-099 C1-3	48,72	0,86	5,57	0,00			18,06	0,35			11,30	11,33			1,22	0,49		0,14	0,00	100,00			
EDH-14-099 C2-1	49,29	0,74	5,39	0,00			17,45	0,28			15,59	11,65			0,96	0,46		0,31	0,01	104,09			
EDH-14-099 C2-2	48,70	0,80	5,38	0,03			17,72	0,29			12,41	11,50			1,07	0,47		0,19	0,01	100,50			
EDH-14-099 C2-3	49,68	0,49	4,67	0,06			17,39	0,36			12,12	11,75			0,88	0,39		0,07	0,00	99,90			
EDH-14-099 C3-1	48,16	0,88	5,60	0,00			18,72	0,29			11,32	11,35			1,31	0,48		0,23	0,01	100,29			
EDH-13-063 C6-1	50,88	0,22	4,47	0,38			16,28	0,51			12,36	12,49			0,44	0,29		0,00	0,01	100,42			
EDH-14-063 C2-2	45,40	0,99	9,20	0,47			18,05	0,53			9,52	12,09			1,02	0,90		0,13	0,01	100,25			

AMPHIBOLES	SiO ₂	TiO ₂	Al ₂ O ₃	Cr ₂ O ₃	V ₂ O ₃	Fe ₂ O ₃	FeO	MnO	NiO	ZnO	MgO	CaO	SrO	BaO	Na ₂ O	K ₂ O	H ₂ O*	F	Cl	Total	O=F,Cl	Total	FeO tot
EDH-13-096 C5-3	53,28	0,33	3,21	0,25			10,02	0,25			17,09	12,72			0,43	0,20		0,01	0,00	99,90			
EDH-13-096 C4-1	54,14	0,17	2,83	0,00			10,32	0,27			16,95	13,03			0,28	0,14		0,10	0,01	100,31			
EDH-13-096 C3-3	53,70	0,11	2,64	0,16			10,22	0,27			17,08	12,84			0,29	0,16		0,05	0,01	99,60			
EDH-13-096 C1-1	53,56	0,21	3,40	0,01			9,93	0,20			16,96	12,03			0,30	0,19		0,21	0,07	99,03			
EDH-13-096 C1-2	54,57	0,19	2,14	0,10			9,95	0,22			17,40	12,98			0,27	0,14		0,13	0,02	100,18			
EDH-13-194 C1-3	54,62	0,26	2,73	0,15			7,81	0,30			18,58	12,90			0,32	0,18		0,18	0,01	100,06			
EDH-13-194 C2-3	54,88	0,21	2,45	0,02			9,42	0,29			18,07	12,79			0,30	0,14		0,04	0,01	100,75			
EDH-13-194 C2-4	52,22	0,22	2,33	0,00			7,91	0,27			17,65	12,49			0,29	0,14		0,11	0,03	95,65			
EDH-13-194 C3-3	54,81	0,16	2,50	0,20			8,04	0,30			18,80	12,97			0,35	0,14		0,23	0,00	100,54			
EDH-13-011A c2-3	43,67	0,08	5,95	0,00			32,58	0,90			1,95	0,12			0,49	4,63		0,05	0,02	92,13			
EDH-13-011A c3-2	44,44	0,00	5,90	0,02			33,55	0,87			1,96	0,08			0,30	4,57		0,12	0,01	93,51			
EDH-13-011A c4-2	44,74	0,00	5,88	0,00			33,62	0,92			2,07	0,11			0,26	2,71		0,07	0,02	92,11			
EDH-13-262 c3-1	55,73	0,07	2,03	0,01			7,86	0,33			19,04	12,78			0,29	0,11		0,17	0,00	100,53			
EDH-13-262 c2-1	55,32	0,08	2,04	0,11			7,93	0,32			19,12	12,66			0,32	0,10		0,14	0,01	100,23			
EDH-13-262 c1-1	55,11	0,13	2,30	0,19			8,05	0,27			18,95	12,68			0,39	0,12		0,00	0,06	100,37			
EDH-13-062 c1-3	50,97	0,50	4,81	0,29			12,47	0,55			14,47	12,30			0,49	0,35		0,10	0,00	99,33			
EDH-13-062 c1-4	52,49	0,25	3,99	0,10			12,07	0,49			15,69	12,61			0,43	0,25		0,19	0,01	100,56			
EDH-13-062 c2-3	51,90	0,27	4,69	0,10			12,34	0,54			14,95	12,43			0,55	0,31		0,18	0,00	100,26			
EDH-13-062 c2-2	50,04	0,44	6,25	0,30			12,75	0,52			13,97	12,46			0,66	0,43		0,14	0,01	99,97			
EOC-13-025 4-1	53,03	0,25	3,37	0,13			11,56	0,47			16,38	12,12			0,46	0,20		0,20	0,00	100,24			
EOC-13-025 4-2	53,43	0,17	3,17	0,19			11,34	0,46			15,98	12,27			0,41	0,19		0,13	0,01	99,78			
EOC-13-025 3-1	54,18	0,18	3,05	0,12			10,72	0,47			16,87	12,41			0,41	0,17		0,20	0,00	100,81			
EOC-13-025 3-5	54,77	0,03	2,64	0,12			10,48	0,46			17,24	12,58			0,31	0,13		0,10	0,00	100,92			
EOC-13-025 3-3	53,79	0,16	3,47	0,15			11,12	0,48			16,67	12,05			0,47	0,20		0,12	0,00	100,76			
EOC-13-025 2-4	54,09	0,08	2,65	0,01			10,73	0,47			17,01	12,20			0,39	0,16		0,21	0,00	100,00			
EOC-13-025 2-1	54,10	0,14	3,04	0,14			10,46	0,50			17,09	12,31			0,39	0,21		0,17	0,00	100,59			
EOC-13-025 2-2	54,41	0,02	2,58	0,01			10,46	0,45			17,16	12,31			0,34	0,15		0,13	0,00	100,07			

* Données d'Ingrid Kjarsgaard

AMPHIBOLES	SiO ₂	TiO ₂	Al ₂ O ₃	Cr ₂ O ₃	V ₂ O ₃	Fe ₂ O ₃	FeO	MnO	NiO	ZnO	MgO	CaO	SrO	BaO	Na ₂ O	K ₂ O	H ₂ O*	F	Cl	Total	O=F,Cl	Total	FeO tot
EDH-13-260 5-3	53,82	0,26	3,30	0,12			11,69	0,42			16,33	12,34			0,47	0,21		0,18	0,00	101,15			
EDH-13-260 5-1	53,76	0,33	3,06	0,06			11,60	0,37			16,23	12,55			0,44	0,19		0,18	0,00	100,81			
EDH-13-260 4-2	54,06	0,13	2,79	0,04			11,88	0,38			16,21	12,65			0,36	0,16		0,07	0,03	100,83			
EDH-13-260 4-3	53,63	0,16	3,11	0,01			12,03	0,37			15,93	12,35			0,45	0,20		0,15	0,00	100,41			
EDH-13-260 3-1	54,14	0,08	2,70	0,00			11,43	0,40			16,29	12,64			0,30	0,19		0,04	0,04	100,34			
EDH-13-260 2-4	53,79	0,19	3,01	0,09			12,71	0,39			15,86	12,47			0,32	0,19		0,16	0,04	101,28			
EDH-13-260 2-2	53,97	0,33	2,86	0,11			11,24	0,34			16,42	12,63			0,39	0,15		0,14	0,01	100,64			
EDH-13-260 2-3	54,13	0,26	3,06	0,05			12,10	0,44			16,12	12,41			0,43	0,17		0,09	0,00	101,34			
EDH-13-260 2-6	54,04	0,22	2,97	0,08			11,45	0,38			16,25	12,62			0,36	0,17		0,27	0,00	100,81			
EDH-13-248A 1-5	51,45	0,24	3,44	0,07			13,89	0,43			14,38	12,42			0,68	0,31		0,24	0,05	99,53			
EDH-13-248A 2-1	51,92	0,24	3,79	0,19			12,70	0,54			15,24	11,85			1,05	0,46		0,63	0,02	100,38			
EDH-13-248A 4-1	52,37	0,07	3,60	0,06			12,72	0,54			15,64	12,23			0,81	0,36		0,80	0,00	100,91			
EDH-13-248A 4-4	52,73	0,15	2,85	0,10			12,89	0,52			15,53	12,20			0,70	0,29		0,28	0,01	100,19			
EDH-13-040 1-5	53,20	0,13	3,38	0,06			11,23	0,43			16,74	12,18			0,46	0,18		0,20	0,01	100,23			
EDH-13-040 1-4	53,28	0,18	2,53	0,08			10,37	0,43			17,14	12,37			0,33	0,12		0,14	0,01	98,99			
EDH-13-040 1-1	53,29	0,21	3,17	0,09			11,27	0,50			17,00	12,25			0,43	0,15		0,28	0,00	100,62			
EDH-13-040 2-3	54,16	0,18	2,36	0,04			9,61	0,40			17,19	12,42			0,26	0,10		0,28	0,00	98,96			
EDH-13-040 4-2	54,64	0,21	2,64	0,00			10,60	0,40			17,37	12,49			0,34	0,13		0,25	0,01	101,14			
EDH-13-040 4-3	48,29	0,14	2,88	0,04			9,33	0,40			15,34	17,27			0,36	0,14		0,21	0,01	96,33			
EDH-13-040 5-3	53,97	0,08	2,73	0,08			10,18	0,41			17,20	12,66			0,27	0,13		0,19	0,00	99,92			
EDH-13-022 c4-3	55,04	0,16	2,33	0,03			7,78	0,64			18,69	12,86			0,28	0,15		0,12	0,00	100,17			
EDH-13-022 c2-6	53,10	0,07	0,30	0,00			23,75	0,45			8,93	12,55			0,04	0,04		0,03	0,01	101,25			
EOC-13-008 c4-1	47,23	0,00	4,54	0,10			25,75	0,34			7,10	10,70			0,14	0,12		0,06	0,01	97,99			
EOC-13-008 c2-2	42,63	0,04	7,48	0,00			29,31	0,35			6,81	8,65			0,15	0,16		0,05	0,00	97,47			
EOC-13-008 c1-1	40,59	0,93	12,78	0,16			24,52	0,33			4,33	11,57			1,05	1,64		0,23	0,00	99,93			
EDH-13-061 c1-2	54,47	0,13	2,64	0,04			8,78	0,57			17,92	12,69			0,30	0,16		0,14	0,00	99,93			
EDH-13-061 c1-1	54,26	0,13	2,68	0,00			8,78	0,57			17,90	12,58			0,36	0,18		0,08	0,00	99,59			
EDH-13-061 c2-1	54,03	0,11	3,02	0,15			9,57	0,55			17,64	12,47			0,37	0,16		0,17	0,02	100,30			
EDH-13-061 c4-3	54,03	0,09	3,14	0,03			9,62	0,62			17,59	12,44			0,44	0,20		0,19	0,01	100,42			

AMPHIBOLES	Lithologie	Zone	Description	Mg(CO ₃)	Ca(CO ₃)	Mn(CO ₃)	Fe(CO ₃)	Sr(CO ₃)	Total	Mg	Ca	Mn	Fe	Sr	FeCO ₃ +MgCO ₃	MnCO ₃ *25	CaCO ₃ /2
EUG-13-01 5 C2	Pegmatite			0,07	98,02	1,28	1,16	0,12	100,64	0,00	1,96	0,02	0,02	0,00	1,23	31,88	49,01
EDH-13-130 C2-3	Pegmatite		remplissage de fracture	0,35	97,87	0,41	0,00	0,09	98,73	0,01	1,98	0,01	0,00	0,00	0,35	10,23	48,94
EDH-13-54 5-3	Pegmatite	Nord	en association avec du quartz, feldspath et grenatQtz, fsp, grt	0,09	90,19	7,26	0,58	0,01	98,13	0,00	1,86	0,13	0,01	0,00	0,67	181,43	45,10
EDH-13-257 c1-1	Pegmatite		en association avec K-fsp	0,02	101,76	0,03	0,24	0,07	102,13	0,00	1,99	0,00	0,00	0,00	0,27	0,75	50,88
EDH-13-257 c3-1	Pegmatite		en association avec le feldspath-k	0,00	101,95	0,01	0,00	0,06	102,02	0,00	2,00	0,00	0,00	0,00	0,00	0,35	50,98
EOC-13-006 3-1	FmFer	Nord		0,00	98,76	0,13	0,18	0,05	99,12	0,00	1,99	0,00	0,00	0,00	0,18	3,13	49,38
EDH-13-83 c1-1	Arenite			0,36	97,78	1,39	0,05	0,07	99,64	0,01	1,97	0,02	0,00	0,00	0,40	34,73	48,89
EDH-13-83 c1-2	Arenite			0,01	101,55	0,06	0,09	0,05	101,74	0,00	2,00	0,00	0,00	0,00	0,09	1,48	50,77
EDH-13-83 c1-3	Arenite			0,01	100,56	0,11	0,15	0,05	100,87	0,00	2,00	0,00	0,00	0,00	0,16	2,65	50,28
EDH-13-190 c1-2	Wacke	494	en association avec de la chlorite	0,21	98,95	0,85	0,20	0,94	101,15	0,01	1,96	0,02	0,00	0,01	0,41	21,15	49,47
EDH-13-190 c1-3	Wacke	494	en association avec de la chlorite	1,46	96,97	0,20	1,36	0,85	100,83	0,03	1,93	0,00	0,02	0,01	2,82	4,95	48,49
EDH-13-190 c3-1	Wacke	494	en association avec de la chlorite	0,29	97,87	0,44	0,54	2,42	101,56	0,01	1,94	0,01	0,01	0,03	0,83	10,93	48,93
EDH-13-190 c3-2	Wacke	494	en association avec de la chlorite	0,52	98,41	0,73	1,07	0,00	100,73	0,01	1,96	0,01	0,02	0,00	1,59	18,23	49,21
EDH-13-022 c3-3	Wacke	Nord		0,00	97,95	0,11	0,68	0,38	99,12	0,00	1,98	0,00	0,01	0,01	0,68	2,68	48,98

CHLORITES	Lithologie	Zone	Description	SiO ₂	TiO ₂	Al ₂ O ₃	FeO	MnO	MgO	CaO	Na ₂ O	K ₂ O	ZnO	F	Cl	Cr ₂ O ₃	NiO
EUG-13-001 4-1	Pegmatite		intersticielle avec la calcite, la tourmaline et la séricite	25,87	0,02	19,55	28,14		13,49	0,00	0,02	0,01	0,22			0,01	0,02
EUG-13-001 3-2	Pegmatite		intersticielle avec la calcite, la tourmaline et la séricite	27,22	0,02	19,03	27,06		13,29	0,01	0,08	0,39	0,00			0,01	0,01
EDH-13-54 1-1	Pegmatite		euhédrale	23,66	0,00	20,46	30,42		7,25	0,00	0,01	0,01	0,12			0,00	0,01
EDH-13-260 2-5	Paragneiss			27,05	0,04	19,52	25,16		17,05	0,01	0,02	0,13	0,00			0,03	0,00
EOC-13-005 8-5	Pélite à grenat	Nord	remplace de la biotite	24,60	0,07	19,61	37,32		6,85	0,04	0,03	0,20	0,09			0,00	0,02
EOC-13-005 8-4	Pélite à grenat	Nord	remplace de la biotite	24,85	0,06	19,15	37,37		7,35	0,03	0,02	0,20	0,11			0,00	0,00
EOC-13-005 7-4	Pélite à grenat	Nord	remplace de la biotite	25,49	0,02	19,27	36,09		8,59	0,01	0,00	0,08	0,17			0,01	0,00
EOC-13-005 7-1	Pélite à grenat	Nord	remplace de la biotite	25,46	0,14	18,88	35,62		8,22	0,01	0,04	0,37	0,00			0,01	0,01
EOC-13-005 6-3	Pélite à grenat	Nord	remplace de la biotite	25,03	0,07	18,99	35,97		8,42	0,01	0,02	0,09	0,05			0,00	0,00
EOC-13-005 6-6	Pélite à grenat	Nord	remplace de la biotite	24,41	0,05	18,82	36,37		8,24	0,02	0,01	0,01	0,15			0,00	0,00
EOC-13-005 6-7	Pélite à grenat	Nord	remplace de la biotite	24,79	0,06	18,90	36,39		8,35	0,03	0,03	0,07	0,04			0,11	0,01
EOC-13-005 6-1	Pélite à grenat	Nord	remplace de la biotite	24,15	0,07	19,65	36,61		8,04	0,03	0,03	0,05	0,13			0,06	0,00
EOC-13-005 5-2	Pélite à grenat	Nord	remplace de la biotite	37,80	0,01	26,13	9,96		0,07	23,51	0,00	0,00	0,03			0,04	0,01
EOC-13-005 5-1	Pélite à grenat	Nord	remplace de la biotite	24,19	0,03	20,31	36,52		7,81	0,02	0,00	0,01	0,27			0,00	0,00
EOC-13-005 4-2	Pélite à grenat	Nord	remplace de la biotite	25,19	0,15	18,46	35,55		8,45	0,00	0,02	0,50	0,13			0,00	0,00
EOC-13-005 4-3	Pélite à grenat	Nord	remplace de la biotite	25,03	0,01	17,58	32,98		10,05	0,19	0,06	0,03	0,26			0,12	0,02
EOC-13-005 3-2	Pélite à grenat	Nord	remplace de la biotite	24,95	0,11	18,91	35,61		8,30	0,06	0,04	0,10	0,24			0,06	0,02
EOC-13-005 2-2	Pélite à grenat	Nord	remplace de la biotite	24,62	0,02	19,02	37,03		7,94	0,01	0,01	0,02	0,04			0,04	0,00
EOC-13-027 1-3	Paragneiss		remplace de la biotite	26,43	0,04	17,48	21,64		15,25	0,04	0,02	0,02	0,02			0,11	0,00
EDH-13-106 c2-3	wacke lité	6000		28,64	0,13	18,08	21,40		19,38	0,02	0,03	0,16	0,00			0,09	0,00
EDH-13-85 c3-3	Wacke lité	6000		28,62	0,31	19,67	20,73		16,73	0,06	0,05	1,22	0,14			0,06	0,00
EDH-13-022 c3-2	Wacke	Nord		28,98	0,03	18,42	20,22		20,26	0,03	0,04	0,04	0,00			0,22	0,00
EDH-13-022 c2-2	Wacke	Nord		26,45	0,00	20,63	26,02		14,97	0,01	0,02	0,00	0,00			0,00	0,00
EDH-13-022 c1-3	Wacke	Nord		28,83	0,11	17,98	19,62		20,25	0,03	0,02	0,28	0,00			0,12	0,00
EOC-13-008 c3-2	nonrd	Nord	associée à de l'arsénonpyrite	24,06	0,00	20,19	37,46		6,19	0,01	0,04	0,01	0,00			0,02	0,00
EDH-13-134 c2-1	Paragneiss		remplace de la biotite	27,84	0,20	18,38	25,10		15,17	0,00	0,01	0,87	0,09			0,00	0,01
EDH-13-134 c2-3	Paragneiss		remplace de la biotite	27,34	0,03	18,09	25,48		15,96	0,01	0,06	0,06	0,17			0,00	0,00
EDH-13-257 c1-2	Pegmatite		entourant du feldspath	31,71	0,02	17,43	10,74		27,40	0,12	0,09	0,12	0,26			0,04	0,04
EDH-13-257 c4-1	Pegmatite		associée à de la séricite	30,23	0,00	18,71	11,71		26,98	0,01	0,03	0,03	0,09			0,00	0,01

CHLORITES	Lithologie	Zone	Description	SiO ₂	TiO ₂	Al ₂ O ₃	FeO	MnO	MgO	CaO	Na ₂ O	K ₂ O	ZnO	F	Cl	Cr ₂ O ₃	NiO
EDH-13-190 c2-1	wacke	494	en association avec de la calcite et du rutile	27,31	0,03	17,90	26,12		15,89	0,03	0,05	0,03	0,22			0,40	0,02
EDH-13-190 c2-2	wacke	494	en association avec de la calcite et du rutile	26,57	0,03	19,10	27,45		15,21	0,02	0,05	0,01	0,12			0,14	0,08
EDH-13-190 c2-3	wacke	494	en association avec de la calcite et du rutile	26,58	0,02	19,04	26,91		14,95	0,05	0,13	0,04	0,00			0,29	0,04
EDH-13-190 c3-3	wacke	494	en association avec de la calcite et du rutile	27,11	0,05	18,83	26,93		15,60	0,05	0,11	0,02	0,00			0,15	0,05
EDH-13-190 c4-1	wacke	494	en association avec de la calcite et du rutile	27,10	0,03	18,42	27,16		15,65	0,01	0,04	0,02	0,26			0,27	0,11
EDH-13-190 c4-2	wacke	494	en association avec de la calcite et du rutile	28,57	0,00	17,30	25,65		17,06	0,02	0,09	0,01	0,00			0,24	0,08
CHE-13-003 C2-1	Pegmatite	Cheechoo	interstitielle avec du feldspath-k	26,42	0,05	21,83	24,71	0,72	14,13	0,02	0,09	0,04				0,04	0,00
CHE-13-003 C4-1	Pegmatite	Cheechoo	grossière	26,92	0,06	21,69	23,15	0,46	15,44	0,01	0,04	0,01				0,04	0,00
CHE-13-001 C2-1	granodiorite	Cheechoo	en remplacement de la biotite	27,86	0,07	20,66	17,64	0,30	20,96	0,03	0,07	0,07				0,00	0,00
CHE-13-001 C2-4	granodiorite	Cheechoo	en remplacement de la biotite	27,70	0,05	22,05	16,83	0,29	21,85	0,03	0,06	0,03				0,07	0,00
CHE-13-001 C3-1	granodiorite	Cheechoo	proche pyrrhotite et biotite	27,40	0,04	22,08	16,35	0,27	21,79	0,01	0,01	0,00				0,06	0,00
CHE-13-001 C4-1	granodiorite	Cheechoo	interstitielle avec du feldspath-k	26,86	0,08	22,05	18,86	0,08	19,97	0,02	0,04	0,02				0,05	0,01
EDH-14-102 C3-4	Tonalite		entourant de l'actinonte associée à une veinule de tourmaline	30,86	0,01	17,02	22,95	0,48	18,89	0,03	0,01	0,07				0,04	0,00
EDH-13-071 C5-1	Wacke lité		associée à une veinule de tourmaline	37,15	0,64	31,17	7,05	0,11	8,48	1,44	2,25	0,04				0,00	0,00
EDH-13-071 C5-4	Wacke lité		associée à une veinule de tourmaline	37,38	0,48	31,89	5,87	0,07	8,83	0,93	2,33	0,03				0,00	0,00
EDH-13-071 C3-1	Wacke lité		associée à une veinule de tourmaline	29,11	0,08	19,70	14,92	0,45	22,87	0,04	0,05	0,04				0,02	0,04
EDH-13-071 C1-1	Wacke lité		associée à une veinule de tourmaline	29,21	0,01	18,53	16,63	0,43	22,77	0,02	0,03	0,08				0,08	0,01
EDH-14-103 C4-1	Tonalite		proche d'une veinule de tourmaline et de séricite	25,91	0,09	19,85	27,14	0,27	14,95	0,01	0,01	0,01				0,00	0,06
EDH-14-103 C4-2	Tonalite		proche d'une veinule de tourmaline et de séricite	28,48	0,05	16,88	24,74	0,20	17,53	0,03	0,03	0,00				0,02	0,01
EDH-14-103 C4-3	Tonalite		proche d'une veinule de tourmaline et de séricite	26,22	0,08	20,27	26,90	0,32	15,10	0,00	0,00	0,00				0,02	0,05
EDH-14-103 C3-1	Tonalite		aggrégats grossiers	27,92	0,11	18,88	24,03	0,25	16,97	0,01	0,02	0,14				0,00	0,01
EDH-14-103 C3-2	Tonalite		aggrégats grossiers	28,50	0,00	17,64	24,15	0,28	17,98	0,01	0,03	0,05				0,08	0,02
EDH-14-103 C3-3	Tonalite		aggrégats grossiers	27,90	0,03	19,16	24,39	0,34	16,55	0,02	0,09	0,02				0,00	0,04
EDH-14-103 C2-1	Tonalite		remplace de la biotite interstitielle avec du quartz	26,09	0,07	21,46	23,70	0,19	16,96	0,01	0,05	0,00				0,07	0,04
EDH-14-104 C1-2	Tonalite		remplace de la biotite	36,07	2,34	25,67	10,62	0,04	8,95	1,80	2,06	0,06				0,08	0,00
EDH-14-104 C3-1	Tonalite		remplace de la biotite	28,24	0,03	20,16	17,11	0,46	22,06	0,08	0,04	0,03				0,00	0,03

CHLORITES	Lithologie	Zone	Description	SiO ₂	TiO ₂	Al ₂ O ₃	FeO	MnO	MgO	CaO	Na ₂ O	K ₂ O	ZnO	F	Cl	Cr ₂ O ₃	NiO
EDH-14-081 C1-1	wacke	HW	entre apy et po	28,46	0,05	20,02	15,01	0,35	23,37	0,04	0,01	0,01				0,04	0,00
EDH-14-081 C1-2	wacke	HW	entre apy et po	28,69	0,06	19,85	15,28	0,36	23,01	0,03	0,02	0,05				0,11	0,05
EDH-14-081 C2-1	wacke	HW	entre apy et po	28,80	0,03	20,13	16,12	0,28	22,93	0,03	0,00	0,01				0,06	0,00
EDH-14-081 C2-2	wacke	HW	entre apy et po	29,71	0,11	19,04	16,13	0,31	22,87	0,18	0,03	0,10				0,16	0,00
EDH-14-081 C3-1	wacke	HW	entre apy et po	28,63	0,00	19,59	15,87	0,42	22,84	0,03	0,02	0,00				0,05	0,04
EDH-14-081 C3-2	wacke	HW	entre apy et po	29,48	0,04	19,11	15,20	0,31	23,86	0,02	0,02	0,03				0,03	0,01
EDH-14-081 C4-1	wacke	HW	entre apy et po	28,58	0,03	18,85	15,79	0,45	23,85	0,01	0,02	0,00				0,00	0,00
EDH-15-21 C2-1	Porphyre		remplace de la biotite	27,25	0,05	18,22	25,94	0,38	15,39	0,03	0,07	0,03				0,00	0,03
EUG-14-96 C3-1	Tourmalinite	5050	fragment dans une pegmatite	27,09	0,06	19,98	24,00	0,42	16,68	0,03	0,01	0,00				0,00	0,00
EUG-14-96 C3-2	Tourmalinite	5050	fragment dans une pegmatite	27,68	0,06	20,09	20,75	0,52	18,89	0,01	0,04	0,00				0,02	0,00
EUG-14-96 C2-1	Tourmalinite	5050	fragment dans une pegmatite	27,33	0,59	20,37	22,72	0,33	16,43	0,49	0,01	0,03				0,00	0,00
EUG-14-96 C2-2	Tourmalinite	5050	fragment dans une pegmatite	27,15	0,00	19,69	24,53	0,35	16,46	0,03	0,04	0,00				0,09	0,03
EUG-14-96 C1-1	Tourmalinite	5050	fragment dans une pegmatite	27,43	0,01	19,88	23,28	0,42	16,90	0,01	0,02	0,08				0,06	0,03
EUG-14-96 C1-2	Tourmalinite	5050	fragment dans une pegmatite	27,24	0,03	19,91	22,56	0,43	17,54	0,02	0,02	0,00				0,04	0,00
EUG-14-47 C1-1	veine	5050	dans des domaines riches en tourmaline et séricite	26,95	0,02	18,62	25,80	0,37	15,33	0,02	0,01	0,00				0,02	0,07
EUG-14-47 C1-2	veine	5050	dans des domaines riches en tourmaline et séricite	26,55	0,10	19,27	25,49	0,25	15,34	0,08	0,07	0,02				0,06	0,01
EUG-14-47 C2-1	veine	5050	dans des domaines riches en tourmaline et séricite	26,07	0,05	19,48	26,83	0,41	13,45	0,06	0,08	0,02				0,10	0,04
EUG-14-47 C2-2	veine	5050	dans des domaines riches en tourmaline et séricite	25,27	0,00	21,17	27,93	0,46	12,67	0,02	0,01	0,00				0,00	0,03
EUG-14-47 C2-3	veine	5050	dans des domaines riches en tourmaline et séricite	24,94	0,01	21,77	28,36	0,42	12,20	0,01	0,01	0,01				0,03	0,04
EDH-14-70 C2-3	Tonalite		remplace de la biotite associée à de la biotite et du grenat	28,44	0,04	18,93	18,05	0,45	20,76	0,05	0,07	0,02				0,14	0,00
VC-14-008A C3-3	Conglomérat	Lac Eil		24,74	0,06	23,00	24,81	0,12	14,84	0,03	0,08	0,03				0,02	0,00
VC-14-008B C2-1	Conglomérat	Lac Eil	inclusion dans grenat	23,92	0,07	22,00	29,99	0,39	11,13	0,03	0,09	0,02				0,00	0,00
VC-14-008B C2-2	Conglomérat	Lac Eil	inclusion dans grenat	23,50	0,08	22,54	29,57	0,32	10,96	0,01	0,02	0,01				0,09	0,01
VC-14-008B C2-3	Conglomérat	Lac Eil	inclusion dans grenat	23,45	0,09	22,21	31,36	0,35	9,51	0,02	0,06	0,03				0,00	0,06
EDH-GSC-13-013 (2)*	Wacke	nonrd	remplace de la biotite	28,54	0,06	17,79	23,83	0,33	17,20	0,06	0,02	0,06		0,00	0,01	0,03	0,01
EDH-GSC-13-039 (3)*	Pegmatite	nonrd	bordure de löllingite	33,13	0,00	18,73	8,11	0,39	28,04	0,13	0,29	0,02		0,00	0,00	0,01	0,01
EDH-GSC-13-039 (3)*	Pegmatite	nonrd	bordure de löllingite	30,53	0,00	22,66	6,69	0,27	26,10	0,03	0,02	0,00		0,00	0,02	0,00	0,00
EDH-GSC-13-039 (3)*	Pegmatite	nonrd	bordure de löllingite	30,51	0,01	19,11	8,57	0,53	25,67	0,14	0,02	0,01		0,00	0,09	0,01	0,02

FELDSPATHS	Lithologie	Zone	Commentaire	SiO ₂	TiO ₂	Al ₂ O ₃	MgO	CaO	MnO	FeO	SrO	BaO	Na ₂ O	K ₂ O	Total
CHE-13-001 C3-4	granodiorite	Cheechoo		67,36	0,07	21,26	0,02	1,29	0,00	0,02	0,08	0,00	10,57	0,22	100,90
CHE-13-001 C3-5	granodiorite	Cheechoo		66,82	0,06	21,04	0,00	1,38	0,00	0,01	0,03	0,01	10,62	0,23	100,19
CHE-13-001 C4-2	granodiorite	Cheechoo		67,92	0,02	20,31	0,00	0,35	0,00	0,00	0,12	0,00	11,23	0,10	100,07
EDH-14-071 C2-2	intrusion felsique			65,39	0,08	22,35	0,00	2,95	0,00	0,07	0,09	0,02	9,84	0,18	100,94
EDH-14-103 C4-4	intrusion felsique			67,16	0,03	21,07	0,01	0,96	0,01	0,09	0,06	0,01	10,71	0,10	100,21
CHE-13-003 C1-1	Pegmatite Cheechoo	Cheechoo		64,69	0,00	18,63	0,00	0,00	0,00	0,03	0,00	0,11	0,32	15,72	99,50
CHE-13-003 C1-2	Pegmatite Cheechoo	Cheechoo		64,48	0,00	18,57	0,00	0,00	0,00	0,02	0,00	0,17	0,33	16,03	99,59
CHE-13-003 C1-3	Pegmatite Cheechoo	Cheechoo		64,66	0,05	18,52	0,00	0,00	0,07	0,02	0,00	0,18	0,31	15,83	99,64
CHE-13-003 C2-2	Pegmatite Cheechoo	Cheechoo		66,43	0,00	21,49	0,01	1,78	0,00	0,02	0,04	0,04	10,20	0,06	100,08
CHE-13-003 C2-3	Pegmatite Cheechoo	Cheechoo		66,88	0,00	21,57	0,01	1,68	0,00	0,02	0,00	0,02	10,14	0,23	100,55
CHE-13-003 C4-2	Pegmatite Cheechoo	Cheechoo		66,53	0,03	20,85	0,02	1,36	0,02	0,01	0,07	0,00	10,62	0,07	99,56
EDH-13-257 c1-3	Pegmatite rose			64,61	0,00	17,85	0,00	0,00	0,03	0,03	0,00	0,03	0,29	16,61	99,45
EDH-13-257 c2-1	Pegmatite rose			64,77	0,03	17,87	0,00	0,00	0,00	0,02	0,00	0,00	0,24	16,79	99,72
EDH-13-257 c2-2	Pegmatite rose			69,03	0,01	19,23	0,00	0,11	0,00	0,00	0,01	0,03	11,83	0,04	100,29
EDH-13-257 c3-2	Pegmatite rose			69,24	0,00	19,11	0,01	0,12	0,00	0,01	0,03	0,01	11,81	0,07	100,39
EDH-13-257 c4-2	Pegmatite rose			65,13	0,00	17,95	0,01	0,02	0,00	0,00	0,00	0,05	0,31	16,74	100,21
EDH-13-237 c1-5	Paragneiss			64,98	0,00	21,71	0,04	1,08	0,07	0,07	0,06	0,05	10,06	1,39	99,52
EDH-13-235 c3-2	Wacke à aluminosilicates			64,46	0,00	18,07	0,01	0,02	0,00	0,00	0,00	0,51	0,53	15,97	99,57
EDH-13-235 c3-1	Wacke à aluminosilicates			56,99	0,01	27,01	0,02	9,78	0,00	0,00	0,10	0,03	6,29	0,18	100,41
EDH-13-235 c2-1	Wacke à aluminosilicates			56,42	0,01	27,13	0,00	9,80	0,01	0,00	0,14	0,00	6,14	0,15	99,81
EDH-13-235 c2-2	Wacke à aluminosilicates			64,57	0,07	18,24	0,00	0,05	0,00	0,00	0,00	0,55	0,57	16,02	100,07
EDH-13-235 c1-1	Wacke à aluminosilicates			64,20	0,00	18,10	0,01	0,04	0,02	0,06	0,02	0,38	0,74	15,96	99,51
EDH-13-235 c1-2	Wacke à aluminosilicates			56,59	0,05	26,82	0,01	9,76	0,00	0,00	0,11	0,00	6,22	0,17	99,73
EOC-13-008 c2-3	Brèche hydrothermal	Nord		63,76	0,03	18,57	0,01	0,22	0,00	0,27	0,00	0,33	0,21	16,06	99,47
EOC-13-008 c1-4	Brèche hydrothermal	Nord		63,67	0,00	18,40	0,02	0,13	0,00	0,20	0,00	0,12	0,22	16,38	99,13
EDH-13-134 c1-1	Paragneiss			63,73	0,00	23,20	0,02	3,92	0,00	0,03	0,09	0,00	9,45	0,22	100,65
EDH-13-134 c3-2	Paragneiss			63,89	0,00	23,24	0,01	4,04	0,04	0,00	0,00	0,05	9,38	0,21	100,87
EDH-13-061 c1-3	wacke	Nord		61,34	0,00	24,61	0,01	5,93	0,01	0,01	0,06	0,00	8,48	0,24	100,67
EDH-13-262 c3-3	Schiste			61,85	0,00	24,47	0,00	5,40	0,02	0,03	0,16	0,11	8,77	0,14	100,95
EDH-13-262 c2-2	Schiste			61,78	0,00	24,14	0,02	5,33	0,00	0,06	0,23	0,04	8,70	0,14	100,45
EDH-13-262 c1-3	Schiste			61,66	0,00	24,20	0,01	5,43	0,00	0,00	0,14	0,07	8,53	0,20	100,24
EDH-13-105 c3-3	Wacke à aluminosilicates			64,04	0,00	18,95	0,01	0,04	0,00	0,12	0,00	0,72	0,45	16,05	100,38
EDH-13-020 c3-3	Wacke lité			64,60	0,00	18,68	0,00	0,01	0,03	0,00	0,00	0,13	0,28	16,59	100,32
EOC-13-013 c2-3	Bande de remplacement métasomatique	Nord		60,59	0,02	25,34	0,00	6,35	0,00	0,01	0,14	0,03	8,04	0,24	100,75
EOC-13-013 c3-5	Bande de remplacement métasomatique	Nord		64,82	0,00	22,03	0,01	2,57	0,03	0,05	0,30	0,00	10,10	0,09	100,00
EDH-13-096 C3-5	Wacke massif	6000		64,67	0,06	18,56	0,00	0,00	0,00	0,02	0,00	0,01	0,27	16,62	100,21
EDH-13-183 C4-3	Veine	6000		64,24	0,00	18,86	0,02	0,01	0,00	0,00	0,02	0,44	0,28	16,54	100,41
EDH-14-040 3-3	Wacke à aluminosilicates			60,43	0,03	23,61	0,01	5,88	0,00	0,09	0,17	0,04	8,45	0,16	98,88
EDH-14-040 5-1	Wacke à aluminosilicates			63,65	0,09	22,19	0,18	1,02	0,03	0,18	0,13	0,00	9,47	1,89	98,83
EOC-13-027 4-3	Paragneiss			56,49	0,00	27,94	0,16	1,07	0,06	0,30	0,00	0,02	5,90	5,70	97,64
EOC-13-027 4-1	Paragneiss			61,03	0,03	17,44	0,00	0,03	0,02	0,01	0,00	0,58	0,47	15,64	95,26
EOC-13-006 5-1	Formation de fer	Nord		68,29	0,05	19,09	0,00	0,09	0,00	0,10	0,00	0,04	11,66	0,05	99,37
EDH-13-260 3-6	Paragneiss			63,37	0,09	17,47	0,21	0,01	0,00	1,85	0,00	0,52	0,24	15,68	99,44

FELDSPATHS	Lithologie	Zone	Commentaire	SiO ₂	TiO ₂	Al ₂ O ₃	MgO	CaO	MnO	FeO	SrO	BaO	Na ₂ O	K ₂ O	Total
EDH-13-260 1-2	Paragneiss			63,69	0,14	18,79	0,02	0,02	0,00	0,05	0,00	0,43	0,42	15,72	99,28
EDH-13-248A 2-4	Monzonite			63,53	0,04	17,81	0,01	0,03	0,03	0,06	0,00	0,36	0,35	16,30	98,52
EDH-13-130 2-4	Pegmatite			67,64	0,00	18,66	0,01	0,03	0,01	0,02	0,03	0,01	11,81	0,04	98,26
EDH-13-249 5-4	Monzonite			65,04	0,00	21,23	0,03	2,91	0,00	0,09	0,17	0,00	9,79	0,21	99,47
EDH-13-249 5-5	Monzonite			64,48	0,00	21,69	0,01	3,35	0,00	0,10	0,13	0,00	9,70	0,18	99,65
EDH-13-249 4-3	Monzonite			67,86	0,03	19,43	0,01	0,71	0,00	0,00	0,10	0,00	11,42	0,04	99,59
EDH-13-249 4-4	Monzonite			66,87	0,00	20,06	0,01	0,44	0,03	0,48	0,06	0,02	11,08	0,54	99,59
EDH-13-131 3-6	Pegmatite			64,29	0,06	17,83	0,00	0,01	0,00	0,01	0,00	0,08	0,35	16,37	99,00
EDH-13-131 3-7	Pegmatite			45,79	0,04	36,78	0,11	0,02	0,08	0,29	0,00	0,01	0,34	10,68	94,13
EDH-13-54 6-2	Pegmatite	Nord		66,21	0,00	20,70	0,00	2,03	0,02	0,03	0,09	0,00	10,55	0,06	99,69
EDH-13-54 6-3	Pegmatite	Nord		64,52	0,02	17,81	0,00	0,00	0,00	0,00	0,00	0,04	0,60	16,12	99,10
EDH-13-54 4-2	Pegmatite	Nord		66,13	0,01	20,36	0,00	1,78	0,00	0,00	0,04	0,02	10,63	0,06	99,03
EDH-13-54 4-3	Pegmatite	Nord		64,29	0,00	17,74	0,00	0,02	0,00	0,01	0,00	0,06	0,26	16,48	98,87
EDH-GSC-13-005 (1)*	Métasomatisme		Fsp-K	66,28		18,70	0,01	0,00	0,00	0,04	n.a.	0,00	0,39	16,59	102,04
EDH-GSC-13-005 (4)*	Métasomatisme		microcline	65,03		18,67	0,01	0,00	0,01	0,02	n.a.	0,18	0,40	16,54	100,88
EDH-GSC-13-005 (6)*	Métasomatisme		Fsp-K	65,09		18,48	0,01	0,00	0,00	0,04	n.a.	0,26	0,32	16,58	100,79
EDH-GSC-13-013 (1)*	Wacke		plagioclase grossier	62,47		23,87	0,00	4,98	0,00	0,00	n.a.	0,00	8,84	0,11	100,30
EDH-GSC-13-013 (4)*	Wacke		plagioclase dans la matrice	63,17		23,15	0,00	4,45	0,00	0,06	n.a.	0,05	8,91	0,21	100,01
EDH-GSC-13-013 (4)*	Wacke		Fsp-K spongieux (hydrothermal)	65,10		18,81	0,00	0,43	0,01	0,03	n.a.	0,01	0,54	15,76	100,76
EDH-GSC-13-013 (5)*	Wacke		Fsp-K dans la matrice	64,43		19,02	0,00	0,01	0,00	0,09	n.a.	1,45	0,40	15,90	101,31
EDH-GSC-13-013 (5)*	Wacke		plagioclase dans la matrice	62,57		23,41	0,01	4,70	0,00	0,10	n.a.	0,01	8,90	0,18	99,93
EDH-GSC-13-039 (3)*	Pegmatite	Nord	albite grossière	69,72		19,78	0,01	0,03	0,01	0,00	n.a.	0,02	11,87	0,04	101,50
EDH-GSC-13-039 (4)*	Pegmatite	Nord	albite grossière dans la matrice	67,70		21,33	0,00	1,82	0,00	0,00	0,02	0,00	10,84	0,17	101,94
EDH-GSC-13-039 (4)*	Pegmatite	Nord	intercroissance de fsp-k et d'albite grossière	66,14		18,60	0,01	0,00	0,01	0,02	0,04	0,01	0,27	16,69	101,79
EDH-GSC-13-039 (4)*	Pegmatite	Nord	intercroissance de fsp-k et d'albite grossière	65,92		18,56	0,00	0,00	0,02	0,00	0,00	0,04	0,31	16,85	101,72
EDH-GSC-13-081 (3)*	Wacke à aluminosilicates		plagioclase dans la matrice	59,54		25,71	0,01	7,48	0,00	0,02	0,19	0,00	7,10	0,15	100,20
EDH-GSC-13-081 (4)*	Wacke à aluminosilicates		poeciloblaste de microcline	65,08		18,65	0,00	0,02	0,00	0,00	0,42	0,85	0,66	14,91	100,63
EDH-GSC-13-081 (5)*	Wacke à aluminosilicates		poeciloblaste de microcline	65,11		18,93	0,00	0,02	0,00	0,00	0,34	0,84	0,84	15,11	101,18
EDH-GSC-13-081 (6)*	Wacke à aluminosilicates		Fsp-K dans la matrice	64,75		18,80	0,00	0,00	0,00	0,11	0,26	1,08	0,54	15,78	101,31
EDH-GSC-13-081 (6)*	Wacke à aluminosilicates		plagioclase dans la matrice	59,21		26,31	0,00	7,96	0,01	0,04	0,27	0,00	7,01	0,15	100,97
EDH-GSC-13-140 (2)*	wacke lité	5050	plagioclase dans la matrice	59,21		26,26	0,00	8,16	0,00	0,00	0,09	0,00	7,01	0,13	100,93
EDH-GSC-13-140 (2)*	wacke lité	5050	poeciloblaste dans la matrice légèrement perthitique	65,73		18,69	0,00	0,00	0,01	0,00	0,10	0,37	0,46	16,16	101,54
EDH-GSC-13-140 (4)*	wacke lité	5050	plagioclase dans la matrice	58,72		26,52	0,00	8,36	0,00	0,00	0,02	0,02	6,70	0,13	100,48
EDH-GSC-13-140 (6)*	wacke lité	5050	fsp-k euhédrale fin dans la biotite	64,85		18,55	0,00	0,00	0,02	0,09	0,08	0,19	0,29	16,80	100,91
EDH-GSC-13-140 (6)*	wacke lité	5050	plagioclase dans la matrice	57,99		26,85	0,00	8,33	0,00	0,00	0,12	0,00	6,89	0,14	100,37
EDH-GSC-13-146A (2)*	wacke lité	5050	Fsp-k fin entre biotite et minéraux opaques	65,45		18,66	0,01	0,00	0,00	0,43	0,00	0,01	0,28	16,65	101,60
EDH-GSC-13-146A (4)*	wacke lité	5050	poeciloblaste de microcline dans la matrice	64,72		18,91	0,00	0,02	0,02	0,03	0,22	0,48	0,50	16,24	101,15
EDH-GSC-13-146A (4)*	wacke lité	5050	plagioclase poeciloblastique dans la matrice	56,28		27,76	0,00	9,66	0,01	0,03	0,09	0,01	6,13	0,13	100,14
EDH-GSC-13-146A (4)*	wacke lité	5050	plagioclase poeciloblastique dans la matrice	56,22		27,80	0,00	9,39	0,00	0,06	0,10	0,01	6,26	0,14	99,99
EDH-GSC-13-146A (5)*	wacke lité	5050	plagioclase poeciloblastique dans la matrice	64,13		18,78	0,01	0,03	0,00	0,02	0,18	0,48	0,33	16,48	100,45
EDH-GSC-13-155 (3)*	schiste mafique	6000	Fsp-k dans la matrice	64,72		18,37	0,00	0,02	0,00	0,08	0,07	0,50	0,28	16,69	100,77
EDH-GSC-13-155 (4)*	schiste mafique	6000	Fsp-k anhédrale entre la biotite et les minéraux opaques	65,27		18,89	0,00	0,00	0,01	0,28	0,11	0,62	0,40	16,32	101,94
EDH-GSC-13-155 (4)*	schiste mafique	6000	Fsp-k hydrothermal en intercroissance avec des sulfures	64,24		18,70	0,01	0,00	0,00	0,12	0,25	0,84	0,41	16,16	100,75

FELDSPATHS	Lithologie	Zone	Commentaire	SiO ₂	TiO ₂	Al ₂ O ₃	MgO	CaO	MnO	FeO	SrO	BaO	Na ₂ O	K ₂ O	Total
EDH-GSC-13-165 (3) *	veine	6000	albite dans la matrice	65,89		21,29	0,01	2,04	0,00	0,01	0,02	0,02	10,62	0,11	99,99
EDH-GSC-13-165 (5) *	veine	6000	plagioclase dans la matrice	65,65		21,84	0,00	2,70	0,01	0,03	0,14	0,01	10,40	0,06	100,85
EDH-GSC-13-169 (6) *	veine	6000	Fsp-k en intercroissance avec la clinzoïsite et mnx opaques	64,26		18,40	0,02	0,00	0,01	0,04	0,15	0,11	0,23	16,79	100,02
EDH-GSC-13-169 (8) *	veine	6000	albite hydrothermale	69,06		19,88	0,01	0,09	0,00	0,05	0,02	0,01	11,85	0,02	101,00
EDH-GSC-13-169 (8) *	veine	6000	plagioclase altéré en sérinite dans la matrice Fsp-k anhédrate entourant de l'arsénopyrite avec des inclusions de pyrrhotite et de NiSbS	66,67		20,58	0,01	1,04	0,00	0,01	0,09	0,02	11,24	0,07	99,73
EDH-GSC-13-169 (8) *	veine	6000	Albite hydrothermal remplaçant la dravite	65,00		18,62	0,00	0,00	0,01	0,11	0,02	0,13	0,27	16,95	101,12
EDH-GSC-13-169 (9) *	veine	6000	Albite hydrothermal remplaçant la dravite	68,05		19,57	0,03	0,10	0,00	0,01	0,00	0,01	11,90	0,06	99,73
EDH-GSC-13-180 (1) *	Paragneiss	M	fsp-k dans la matrice	65,59		18,64	0,00	0,00	0,01	0,03	0,10	0,14	0,32	16,79	101,63
EDH-GSC-13-180 (2) *	Paragneiss	M	plagioclase dans la matrice	61,84		24,25	0,00	5,58	0,00	0,03	0,08	0,03	8,43	0,26	100,50
EDH-GSC-13-180 (3) *	Paragneiss	M	Emulsion d'albite avecalbite avec de la chalcopyrite et de la pyrrhotite	68,90		20,62	0,00	1,09	0,01	0,27	0,01	0,00	11,43	0,05	102,37
EDH-GSC-13-180 (3) *	Paragneiss	M	Fsp-k à grain fin entourant un plagioclase de la matrice avec de la biotite	65,58		18,65	0,05	0,00	0,00	0,12	0,05	0,12	0,27	16,80	101,65
EDH-GSC-13-180 (3) *	Paragneiss	M	Emulsion de fsp-k avec albite avec de la chalcopyrite et de la pyrrhotite	64,92		18,67	0,01	0,00	0,01	0,19	0,05	0,19	0,34	16,63	101,01
EDH-GSC-13-180 (3) *	Paragneiss	M	plagioclase dans la matrice	61,41		24,10	0,00	5,62	0,00	0,01	0,11	0,00	8,45	0,27	99,97
EDH-GSC-13-201 (2) *	Paragneiss	494	Emulsion d'albite avecalbite avec de la chalcopyrite et de la pyrrhotite	69,23		20,30	0,01	0,51	0,00	0,18	0,11	0,00	11,18	0,06	101,58
EDH-GSC-13-201 (2) *	Paragneiss	494	Fsp-k perthitique	64,57		18,74	0,01	0,00	0,01	0,12	0,30	0,82	0,35	16,19	101,10
EDH-GSC-13-201 (2) *	Paragneiss	494	Emulsion de plagioclase avec de la chalcopyrite et de la pyrrhotite	64,80		22,50	0,00	2,94	0,00	0,12	0,33	0,03	10,04	0,08	100,83
EDH-GSC-13-201 (7) *	Paragneiss	494	albite et perthite	68,27		20,03	0,00	0,15	0,01	0,01	0,42	0,03	11,84	0,07	100,83
EDH-GSC-13-201 (7) *	Paragneiss	494	plagioclase altéré dans la matrice	62,94		24,21	0,27	0,65	0,02	0,25	0,20	0,03	8,65	2,94	100,14
EDH-GSC-13-201 (7) *	Paragneiss	494	Fsp-k perthitique	64,04		18,82	0,00	0,00	0,01	0,01	0,11	1,15	0,34	16,37	100,84
EDH-GSC-13-201 (7) *	Paragneiss	494	plagioclase dans la matrice	60,34		25,16	0,01	6,58	0,01	0,01	0,22	0,03	7,86	0,17	100,38
EDH-GSC-13-208 (1) *	Paragneiss	494	plagioclase grossier dans la matrice	60,40		25,82	0,00	6,96	0,01	0,05	0,32	0,02	7,46	0,27	101,31
EDH-GSC-13-208 (2) *	Paragneiss	494	intercroissance d'albite et de fsp-k entourant de la pyrrhotite	69,73		20,09	0,00	0,11	0,01	0,21	0,02	0,00	12,03	0,07	102,27
EDH-GSC-13-208 (2) *	Paragneiss	494	plagioclase grossier	59,44		25,62	0,00	7,35	0,01	0,01	0,23	0,00	7,25	0,33	100,23
EDH-GSC-13-208 (2) *	Paragneiss	494	Fsp-k entourant de la pyrrhotite	65,15		18,60	0,00	0,00	0,01	0,29	0,05	0,02	0,14	17,09	101,35
EDH-GSC-13-208 (7) *	Paragneiss	494	albite grossière	69,17		19,53	0,00	0,12	0,00	0,06	0,00	0,01	11,82	0,03	100,74
EDH-GSC-13-208 (7) *	Paragneiss	494	Fsp-k grossière	65,83		18,41	0,00	0,00	0,01	0,03	0,03	0,02	0,23	16,84	101,40
EDH-GSC-13-220 (1) *	Wacke		Fsp-k dans la matrice	65,80		18,76	0,00	0,00	0,00	0,02	0,08	0,18	0,28	16,93	102,03
EDH-GSC-13-220 (1) *	Wacke		plagioclase dans la matrice	65,60		22,22	0,01	2,86	0,01	0,02	0,00	0,03	10,10	0,22	101,07
EDH-GSC-13-220 (3) *	Wacke		plagioclase dans arsénopyrite	65,59		21,90	0,00	2,87	0,01	0,23	0,06	0,01	9,88	0,15	100,70
EDH-GSC-13-220 (6) *	Wacke		Fsp-k interstitielle	64,99		18,51	0,02	0,00	0,01	0,03	0,14	0,26	0,22	16,78	100,95
EDH-GSC-13-225 (1) *	Conglomérat		Fsp-k fin entre pyrrhotite	65,09		18,42	0,00	0,00	0,00	0,26	0,08	0,04	0,23	16,59	100,72
EDH-GSC-13-225 (1) *	Conglomérat		plagioclase dans la matrice	65,35		22,00	0,00	2,96	0,00	0,01	0,08	0,03	10,02	0,20	100,65
EDH-GSC-13-225 (2) *	Conglomérat		Poeciloblaste de Fsp-k dans la matrice	64,79		18,54	0,00	0,00	0,02	0,01	0,12	0,25	0,44	16,16	100,32
EDH-GSC-13-225 (2) *	Conglomérat		Plagioclase en inclusions dans poeciloblaste grossier de microcline	64,89		21,94	0,00	2,84	0,03	0,02	0,03	0,00	10,15	0,18	100,08
EDH-GSC-13-225 (3) *	Conglomérat		Fsp-k spongieux adjacente à l'arsénopyrite/Löllingite	64,56		18,54	0,01	0,00	0,00	0,04	0,04	0,11	0,41	16,32	100,03
EDH-GSC-13-225 (4) *	Conglomérat		plagioclase séricitisé dans la matrice	67,92		19,85	0,02	0,44	0,00	0,00	0,02	0,00	11,45	0,05	99,74
EDH-GSC-13-225 (9) *	Conglomérat		Fsp-k anhédrate associée à la sphalérite	64,83		18,56	0,00	0,00	0,00	0,04	0,02	0,06	0,28	16,71	100,51
EDH-GSC-13-225 (9) *	Conglomérat		plagioclase frais dans la matrice	64,88		21,91	0,00	2,78	0,01	0,04	0,03	0,00	10,10	0,21	99,95
EDH-GSC-13-231 (1) *	Veine	6000	Inclusion de fsp-k dans l'actinote	62,59		19,15	0,01	0,00	0,00	0,09	0,20	2,70	0,45	15,15	100,33
EDH-GSC-13-231 (2) *	Veine	6000	Fsp-k dans arsénopyrite	64,86		18,50	0,00	0,00	0,00	0,09	0,05	0,11	0,25	16,75	100,61
EDH-GSC-13-231 (5) *	Veine	6000	Fsp-k spongieux dans la matrice	63,31		19,04	0,00	0,02	0,02	0,06	0,15	2,52	0,33	15,27	100,73

FELDSPATHS	Lithologie	Zone	Commentaire	SiO ₂	TiO ₂	Al ₂ O ₃	MgO	CaO	MnO	FeO	SrO	BaO	Na ₂ O	K ₂ O	Total
EDH-GSC-13-241 (1) *	Brèche hydrothermal		Fsp perthitique dans le quartz d'une veine	63,93		18,53	0,00	0,00	0,00	0,01	0,11	0,49	0,32	16,12	99,51
EDH-GSC-13-241 (6) *	Brèche hydrothermal		Fsp-k dans de la biotite grossière chloritisée	65,38		18,44	0,01	0,00	0,00	0,15	0,06	0,06	0,23	16,52	100,85
EDH-GSC-13-241 (7) *	Brèche hydrothermal		Albite altéré par de la séricite	68,72		20,10	0,00	0,44	0,00	0,04	0,10	0,02	11,26	0,07	100,75
EDH-GSC-13-241 (7) *	Brèche hydrothermal		Fsp-k altéré par de la séricite	63,85		18,63	0,00	0,00	0,02	0,04	0,46	0,48	0,39	15,73	99,58
EDH-GSC-13-248B (1) *	Monzonite		albite dans la matrice	69,13		19,72	0,00	0,08	0,01	0,02	0,00	0,01	11,84	0,05	100,85
EDH-GSC-13-248B (2) *	Monzonite		Fsp-k spongieux dans la matrice	63,77		18,43	0,00	0,00	0,00	0,00	0,07	0,56	0,23	16,36	99,43
EDH-GSC-13-248B (5) *	Monzonite		albite grossier dans la matrice	68,96		19,62	0,00	0,10	0,00	0,00	0,00	0,00	11,78	0,04	100,50
EDH-GSC-13-248B (5) *	Monzonite		fsp-k grossier dans la matrice	64,14		18,72	0,00	0,00	0,00	0,05	0,24	0,78	0,67	15,39	99,99
EDH-GSC-13-263 (1) *	Schiste chlorite		fsp-k spongieux dans la matrice	64,12		18,39	0,01	0,00	0,00	0,08	0,04	0,15	0,26	16,41	99,45
EDH-GSC-13-263 (3) *	Schiste chlorite		Fsp-k dans la matrice	65,33		18,24	0,01	0,00	0,00	0,15	0,10	0,10	0,21	16,25	100,40
EDH-GSC-13-263 (4) *	Schiste chlorite		intercroissance d'albite avec le fsp-k dans la matrice	69,62		19,53	0,00	0,02	0,00	0,03	0,03	0,02	11,99	0,03	101,27
EDH-GSC-13-021 (2) *	Paragneiss	Nord	intercroissance d'albite euhédrale avec de la sphalérite	69,81		19,37	0,00	0,09	0,00	0,05	0,00	0,02	11,99	0,01	101,35
EDH-GSC-13-021 (2) *	Paragneiss	Nord	fsp grossière dans la matrice	59,67		25,34	0,00	7,41	0,01	0,03	0,10	0,01	7,46	0,20	100,24
EDH-GSC-13-021 (2) *	Paragneiss	Nord	fsp altéré dans la matrice	64,04		25,66	0,02	2,11	0,02	0,28	0,08	0,03	8,31	2,31	102,85
EDH-GSC-13-021 (2) *	Paragneiss	Nord	hydrothermal, avec arsénoprite et sphalérite	63,61		18,42	0,01	0,01	0,00	0,17	0,10	1,59	0,36	15,50	99,76
EDH-GSC-13-026 (1) *	Paragneiss		hydrothermal, avec des sulfures	65,63		18,45	0,00	0,00	0,01	0,03	0,11	0,11	0,22	16,14	100,69
EDH-GSC-13-026 (1) *	Paragneiss		dans la matrice	69,17		19,50	0,00	0,02	0,00	0,02	0,00	0,00	11,66	0,04	100,41
EDH-15-21 C3-1	porphyre	Nord		63,61	0,00	18,69	0,02	0,01	0,00	0,01	0,00	0,13	0,29	16,12	98,87
EDH-15-21 C3-2	porphyre	Nord		63,24	0,00	18,54	0,01	0,01	0,00	0,00	0,00	0,18	0,33	16,12	98,41
EDH-15-21 C3-3	porphyre	Nord		63,19	0,00	18,62	0,01	0,00	0,07	0,03	0,00	0,14	0,38	16,00	98,44
EDH-15-21 C2-1	porphyre	Nord		63,09	0,02	18,54	0,00	0,00	0,00	0,02	0,00	0,11	0,33	16,05	98,17
EDH-15-21 C2-2	porphyre	Nord		63,77	0,03	18,63	0,00	0,00	0,02	0,05	0,00	0,15	0,35	15,96	98,97
EDH-15-21 C2-3	porphyre	Nord		63,17	0,00	18,61	0,02	0,02	0,00	0,00	0,00	0,15	0,45	15,77	98,19
EDH-15-21 C1-1	porphyre	Nord		63,81	0,00	18,69	0,00	0,01	0,04	0,00	0,00	0,13	1,10	14,77	98,56
EUG-15-19 C2-4	veine	5050		53,88	0,03	29,22	0,00	11,55	0,00	0,00	0,00	0,00	5,07	0,05	99,80
EUG-15-19 C3-3	veine	5050		55,41	0,00	28,32	0,02	10,44	0,00	0,02	0,00	0,00	5,48	0,17	99,86
EUG-15-19 C3-4	veine	5050		55,00	0,01	28,54	0,01	10,33	0,00	0,03	0,00	0,02	5,59	0,10	99,62
CHE-13-005 C1-1	granodiorite	Cheechoo		63,77	0,00	18,76	0,00	0,03	0,01	0,01	0,00	0,10	0,29	16,13	99,11
CHE-13-005 C1-2	granodiorite	Cheechoo		63,24	0,03	18,67	0,00	0,02	0,03	0,00	0,00	0,15	0,76	15,58	98,47
CHE-13-005 C2-1	granodiorite	Cheechoo		64,57	0,00	22,05	0,00	2,88	0,00	0,00	0,00	0,00	9,77	0,26	99,54
CHE-13-005 C2-2	granodiorite	Cheechoo		64,96	0,00	22,00	0,00	2,65	0,00	0,04	0,00	0,00	9,88	0,22	99,75
CHE-13-005 C2-3	granodiorite	Cheechoo		64,35	0,03	22,07	0,00	2,82	0,00	0,00	0,00	0,00	9,86	0,23	99,35
CHE-13-005 C3-1	granodiorite	Cheechoo		65,12	0,01	21,85	0,00	2,49	0,00	0,01	0,00	0,00	10,00	0,26	99,73
CHE-13-005 C3-2	granodiorite	Cheechoo		64,65	0,00	21,51	0,00	2,32	0,01	0,01	0,00	0,00	10,13	0,24	98,88
EUG-14-098B C2-6		5050		63,82	0,01	18,47	0,01	0,01	0,05	0,05	0,00	0,01	0,26	16,35	99,02
EUG-14-098B C3-5		5050		63,97	0,00	18,66	0,00	0,02	0,00	0,03	0,00	0,00	0,43	16,03	99,15
EUG-14-098B C3-6		5050		63,34	0,02	18,53	0,01	0,00	0,00	0,01	0,00	0,03	0,36	16,00	98,31
EUG-14-096 C2-3		5050		63,15	0,02	18,61	0,00	0,04	0,01	0,01	0,00	0,02	0,41	15,94	98,21
EUG-14-096 C2-4		5050		63,94	0,02	18,65	0,00	0,04	0,00	0,00	0,00	0,02	0,60	15,48	98,75
EUG-14-096 C3-10		5050		63,18	0,00	18,75	0,25	0,04	0,00	0,52	0,00	0,06	0,39	15,73	98,91
EUG-14-096 C3-11		5050		63,20	0,00	18,47	0,02	0,06	0,07	0,05	0,00	0,02	0,36	16,06	98,30
EUG-14-096 C3-12		5050		63,87	0,00	18,81	0,01	0,05	0,01	0,00	0,00	0,02	0,36	16,16	99,28

* Données d'Ingrid Kjarsgaard

GRENATS	SiO ₂	TiO ₂	Al ₂ O ₃	Cr ₂ O ₃	V ₂ O ₃	FeO	MnO	NiO	MgO	CaO	Na ₂ O	Y ₂ O ₃	K ₂ O	Total
EDH-GSC-13-011B (6)*	38,01	0,23	16,08	0,02	0,00	13,55	0,51	0,01	0,00	30,93	0,00		0,01	99,36
EDH-GSC-13-011B (6)*	36,99	0,67	7,32	0,00	0,00	18,77	0,71	0,03	0,00	34,18	0,00		0,01	98,69
EDH-GSC-13-011B (5)*	38,25	0,24	16,03	0,01	0,00	13,54	0,42	0,00	0,02	31,42	0,00		0,00	99,92
EDH-GSC-13-011B (8)*	35,93	0,58	10,91	0,01	0,00	13,84	0,34	0,02	0,00	34,96	0,02		0,00	96,60
EDH-GSC-13-011B (8)*	37,94	0,20	16,03	0,00	0,00	14,02	0,50	0,01	0,00	30,69	0,02		0,00	99,41
EDH-GSC-13-011B (3)*	38,11	0,27	16,15	0,00	0,00	13,35	0,44	0,04	0,00	31,51	0,00		0,00	99,86
EDH-GSC-13-248B (6)*	34,24	0,65	6,59	0,02	0,40	19,63	0,13	0,00	0,00	34,86	0,00		0,01	96,54
EDH-13-11A	37,93	0,29	15,27	0,01		4,80	0,33		0,02	31,42	0,03	0,00		
EDH-13-11A	38,04	0,09	15,84	0,05		6,53	0,49		0,02	29,81	0,01	0,00		
EOC-13-005	36,96	0,03	20,31	0,03		30,45	1,71		1,10	8,36	0,00	0,01		
EOC-13-005	36,84	0,06	20,44	0,09		30,81	1,65		1,06	8,31	0,03	0,01		
EOC-13-005	37,21	0,04	20,38	0,00		27,16	3,38		0,72	10,24	0,00	0,01		
EOC-13-005	37,00	0,04	20,27	0,11		30,60	1,78		1,14	8,02	0,01	0,11		
EOC-13-005	36,25	0,01	20,40	0,00		31,34	1,66		1,13	7,89	0,01	0,01		
EOC-13-005	36,95	0,04	20,32	0,04		30,76	1,68		1,11	8,03	0,01	0,00		
EOC-13-005	36,86	0,00	20,22	0,00		30,81	1,55		1,11	8,18	0,02	0,00		
EOC-13-005	36,85	0,03	20,28	0,02		30,94	1,60		1,13	8,15	0,00	0,00		
EOC-13-005	36,75	0,03	20,32	0,00		30,76	1,58		1,16	8,07	0,01	0,00		
EOC-13-005	36,88	0,00	20,34	0,06		30,80	1,78		1,15	7,94	0,01	0,01		
EOC-13-005	37,03	0,08	20,39	0,00		30,63	2,81		0,94	7,53	0,05	0,08		
EOC-13-005	36,72	0,03	20,32	0,00		30,08	2,81		0,92	7,83	0,02	0,02		
EOC-13-005	37,01	0,00	20,55	0,00		31,29	2,50		1,01	7,16	0,00	0,02		
EOC-13-005	37,06	0,00	20,31	0,01		30,23	1,96		1,12	8,01	0,01	0,01		
EOC-13-005	36,77	0,04	20,36	0,01		30,71	1,54		1,14	8,19	0,00	0,00		
EOC-13-005	37,21	0,00	20,45	0,03		30,76	1,58		1,11	8,15	0,01	0,00		
EOC-13-005	36,53	0,02	20,13	0,04		30,74	1,84		1,12	7,78	0,03	0,00		
EOC-13-005	36,29	0,00	20,41	0,01		31,94	1,96		1,15	6,84	0,00	0,00		
EOC-13-005	36,65	0,00	20,30	0,00		31,29	1,83		1,05	7,29	0,01	0,00		
EOC-13-005	36,58	0,00	20,14	0,01		29,48	2,83		0,94	8,26	0,03	0,01		
EOC-13-005	36,43	0,00	20,34	0,04		31,02	2,12		1,07	7,38	0,02	0,01		
EOC-13-06	36,61	0,23	15,74	0,00		7,01	0,88		0,02	29,67	0,00	0,00		
EOC-13-06	37,72	0,04	15,96	0,03		6,60	0,48		0,01	30,26	0,01	0,00		
EOC-13-06	37,66	0,13	16,64	0,00		8,22	0,93		0,02	28,54	0,02	0,01		
EOC-13-06	36,95	0,15	15,88	0,00		7,40	0,94		0,02	29,24	0,01	0,00		
EOC-13-06	36,63	0,09	16,65	0,00		7,08	0,63		0,01	29,87	0,00	0,00		
EDH-13-131	36,74	0,08	19,51	0,00		19,89	18,05		0,41	2,59	0,06	0,61		
EDH-13-131	36,33	0,04	20,01	0,00		20,92	18,17		0,39	2,67	0,06	0,21		
EDH-13-131	36,26	0,08	19,90	0,02		20,78	18,04		0,44	2,50	0,05	0,43		
EDH-13-54	35,88	0,05	19,90	0,00		17,81	22,67		0,75	0,40	0,08	0,99		
EDH-13-54	36,22	0,00	19,76	0,04		15,89	24,91		0,32	1,01	0,03	0,52		
EDH-13-54	36,15	0,02	19,97	0,02		17,62	23,86		0,54	0,52	0,04	0,20		
EDH-13-54	36,30	0,03	20,04	0,07		17,59	23,78		0,55	0,54	0,04	0,49		
EDH-13-54	36,18	0,03	19,94	0,00		17,34	24,09		0,46	0,50	0,06	0,28		
EDH-13-54	36,10	0,00	19,69	0,00		16,43	23,67		0,42	0,60	0,06	0,87		

MUSCOVITE	Minéral	SiO ₂	TiO ₂	Al ₂ O ₃	Cr ₂ O ₃	V ₂ O ₃	FeO	MnO	NiO	ZnO	MgO	CaO	SrO	BaO	Na ₂ O	K ₂ O	F	Cl	FeO/(FeO+MgO)
EDH-GSC-13-081 (1)*	Muscovite	48,20	0,78	39,39	0,03	0,07	0,72	0,00	0,00	0,00	0,58	0,00	0,00	0,17	0,20	8,04	0,00	0,00	0,55
EDH-GSC-13-081 (1) *	Muscovite	46,94	0,84	35,82	0,04	0,08	0,68	0,00	0,00	0,00	0,58	0,00	0,00	0,16	0,37	11,09	0,06	0,00	0,54
EDH-GSC-13-081 (6) *	Muscovite	47,43	1,01	35,93	0,01	0,07	0,96	0,01	0,00	0,00	0,65	0,00	0,00	0,16	0,21	7,48	0,02	0,00	0,60
EDH-GSC-13-081 (1) *	sericite	47,46	1,15	35,96	0,03	0,08	0,95	0,02	0,00	0,00	0,73	0,01	0,00	0,18	0,35	10,97	0,00	0,00	0,57
EDH-GSC-13-140 (2) *	Sericite	48,19	0,01	39,48	0,02	0,00	0,56	0,20	0,02	0,00	0,10	0,03	0,00	0,03	0,31	8,51	0,05	0,00	0,85
EDH-GSC-13-140 (4) *	sericite	48,25	0,00	36,43	0,00	0,00	0,78	0,19	0,00	0,00	0,34	0,02	0,00	0,08	0,18	10,72	0,03	0,01	0,70
EDH-GSC-13-155 (1) *	sericite	47,56	0,01	34,52	0,00	0,00	0,47	0,02	0,01	0,00	1,43	0,09	0,06	0,04	0,16	11,07	0,00	0,02	0,25
EDH-GSC-13-155 (2) *	sericite	47,92	0,00	35,19	0,00	0,01	0,82	0,01	0,05	0,00	0,95	0,03	0,08	0,06	0,13	11,27	0,00	0,01	0,46
EDH-GSC-13-165 (3) *	Sericite	48,64	0,00	34,47	0,01	0,00	0,47	0,00	0,00	0,00	1,30	0,10	0,08	0,06	0,42	10,97	0,00	0,01	0,27
EDH-GSC-13-165 (3) *	Sericite	46,87	0,00	36,69	0,00	0,02	0,26	0,01	0,03	0,00	0,30	0,01	0,00	0,00	0,22	10,92	0,00	0,02	0,46
EDH-GSC-13-165 (5) *	Sericite	48,50	0,01	36,55	0,01	0,01	0,43	0,02	0,04	0,00	0,47	0,01	0,11	0,01	0,13	10,47	0,00	0,01	0,48
EDH-GSC-13-169 (9) *	Sericite	49,46	0,00	35,78	0,01	0,01	0,64	0,16	0,00	0,00	0,72	0,03	0,00	0,13	0,25	10,75	0,01	0,00	0,47
EDH-GSC-13-169 (5) *	Sericite	46,97	0,00	37,68	0,01	0,01	0,05	0,05	0,00	0,00	0,07	0,08	0,04	0,25	0,52	10,90	0,00	0,01	0,42
EDH-GSC-13-208 (4) *	Sericite	49,20	0,00	36,31	0,02	0,00	0,32	0,01	0,02	0,00	0,38	0,05	0,07	0,02	0,28	10,56	0,00	0,02	0,46
EDH-GSC-13-208 (2) *	Sericite	51,01	0,01	30,81	0,01	0,01	1,27	0,01	0,00	0,00	1,59	0,01	0,03	0,03	0,13	11,64	0,00	0,00	0,44
EDH-GSC-13-225 (4) *	Sericite	47,01	0,01	36,95	0,00	0,01	0,40	0,04	0,01	0,00	0,31	0,00	0,06	0,05	0,23	10,37	0,00	0,07	0,56
EDH-GSC-13-225 (4) *	Sericite	46,48	0,01	37,59	0,01	0,02	0,14	0,00	0,00	0,00	0,02	0,00	0,00	0,01	0,17	11,05	0,00	0,02	0,88
EDH-GSC-13-241 (7) *	Sericite	47,75	0,00	33,47	0,00	0,00	1,76	0,01	0,00	0,03	1,04	0,01	0,05	0,03	0,12	11,02	0,06	0,01	0,63
EDH-GSC-13-241 (7) *	Sericite	49,75	0,01	33,35	0,00	0,00	1,74	0,02	0,03	0,00	0,93	0,02	0,07	0,02	0,28	10,40	0,00	0,00	0,65
EDH-GSC-13-021 (4) *	Sericite	48,72	0,01	34,71	0,00	0,00	0,42	0,06	0,00	0,00	0,60	0,08	0,05	0,24	0,72	10,17	0,00	0,00	0,41
EDH-GSC-13-021 (2) *	Sericite	49,77	0,02	34,57	0,00	0,00	1,13	0,03	0,00	0,04	0,33	0,14	0,07	0,30	1,07	9,50	0,02	0,01	0,77
EDH-GSC-13-021 (2) *	Sericite	49,87	0,00	35,94	0,00	0,01	0,56	0,03	0,04	0,13	0,35	0,07	0,02	0,11	0,57	10,41	0,01	0,01	0,62
EDH-GSC-13-026 (1) *	Sericite	47,17	0,00	36,88	0,01	0,01	0,22	0,02	0,00	0,00	0,03	0,03	0,03	0,10	0,36	9,96	0,07	0,00	0,88
EDH-GSC-13-026 (2) *	Sericite	47,27	0,01	35,69	0,00	0,00	0,80	0,03	0,00	0,01	0,13	0,03	0,06	0,11	0,36	10,00	0,03	0,01	0,86

* Données d'Ingrid Kjarsgaard.

MUSCOVITE	Minéral	SiO ₂	TiO ₂	Al ₂ O ₃	Cr ₂ O ₃	V ₂ O ₃	FeO	MnO	NiO	ZnO	MgO	CaO	SrO	BaO	Na ₂ O	K ₂ O	F	Cl	FeO/(FeO+MgO)
EDH-13-234 1-3	Sericite	48,09	0,72	35,45	0,00		0,94	0,00	0,02		0,91	0,02		0,15	0,28	10,22	0,11	0,02	0,51
EDH-13-234 3-1	Sericite	46,04	1,12	35,12	0,06		0,97	0,00	0,00		0,94	0,02		0,13	0,42	10,90	0,04	0,14	0,51
EDH-13-234 5-2	Sericite	46,37	1,04	35,86	0,00		0,78	0,00	0,04		0,84	0,00		0,13	0,32	10,88	0,11	0,00	0,48
EDH-13-84 4-1	Sericite	46,01	1,11	35,96	0,05		0,65	0,01	0,01		0,74	0,00		0,38	0,29	10,93	0,10	0,00	0,47
EDH-13-84 3-2	Sericite	45,67	1,07	35,84	0,06		0,95	0,00	0,00		0,79	0,01		0,28	0,32	10,94	0,09	0,00	0,55
EDH-13-84 2-2	Sericite	45,83	1,13	35,88	0,11		0,90	0,02	0,00		0,79	0,00		0,41	0,32	10,65	0,02	0,00	0,54
EDH-13-84 2-1	Sericite	45,99	1,36	35,72	0,11		0,83	0,00	0,04		0,85	0,00		0,32	0,33	10,44	0,07	0,01	0,49
EDH-13-232 1-1	Sericite	46,16	0,36	36,02	0,03		0,93	0,04	0,00		0,71	0,00		0,15	0,31	11,02	0,10	0,00	0,57
EDH-13-232 2-1	Sericite	46,13	0,42	35,86	0,06		1,04	0,01	0,00		0,74	0,00		0,12	0,29	10,87	0,14	0,00	0,58
EDH-13-232 5-2	Sericite	43,61	0,05	42,42	0,00		0,52	0,00	0,00		0,38	0,09		0,04	0,34	8,62	0,08	0,00	0,58
EDH-13-232 5-1	Sericite	45,72	0,23	37,19	0,00		0,79	0,00	0,04		0,56	0,01		0,19	0,35	10,78	0,06	0,01	0,58
EOC-13-020 4-2	Sericite	45,52	1,37	34,71	0,08		1,14	0,00	0,00		0,89	0,00		0,03	0,28	10,56	0,02	0,00	0,56
EOC-13-020 3-2	Sericite	46,00	1,35	34,98	0,09		1,08	0,00	0,00		0,87	0,00		0,12	0,32	10,62	0,12	0,00	0,55
EOC-13-020 1-1	Sericite	47,14	0,62	33,51	0,00		1,69	0,03	0,01		1,61	0,00		0,03	0,24	11,05	0,15	0,00	0,51
EOC-13-020 1-3	Sericite	46,69	0,53	33,50	0,00		2,38	0,03	0,02		1,64	0,00		0,06	0,28	11,12	0,04	0,00	0,59
EUG-13-001 3-1	Sericite	46,48	0,00	37,72	0,00		0,99	0,00	0,00		0,06	0,01		0,09	0,29	10,97	0,11	0,00	0,94
EUG-13-001 2-2	Sericite	46,40	0,08	37,27	0,02		0,95	0,04	0,00		0,06	0,01		0,09	0,30	10,98	0,06	0,00	0,94
EOC-13-014 6-2	Sericite	46,41	1,47	35,70	0,06		0,83	0,02	0,03		0,92	0,00		0,14	0,33	10,84	0,00	0,00	0,48
EDH-13-131 5-4	Sericite	46,53	0,02	35,82	0,01		1,93	0,09	0,00		0,12	0,04		0,00	0,23	10,41	0,09	0,02	0,94
EDH-13-54 1-3	Sericite	46,97	0,03	36,99	0,09		0,93	0,04	0,00		0,04	0,00		0,02	0,15	10,89	0,04	0,01	0,96
EOC-13-017 1-1	Sericite	45,43	0,01	31,33	0,09		3,59	0,03	0,01		3,90	0,02		0,13	0,10	10,99	0,20	0,01	0,48
EOC-13-017 3-2	Sericite	45,81	0,69	35,83	0,11		0,88	0,00	0,00		0,92	0,01		0,12	0,53	10,73	0,00	0,01	0,49
EDH-13-260 1-1	Sericite	46,86	0,00	34,90	0,00		2,34	0,04	0,02		0,38	0,02		0,06	0,14	11,37	0,08	0,01	0,86
EOC-13-005 8-1	Sericite	45,93	0,00	35,22	0,01		2,33	0,00	0,00		0,68	0,02		0,08	0,27	10,81	0,26	0,00	0,77
EDH-13-106 c1-1	Sericite	45,85	1,60	34,98	0,00		0,85	0,02	0,00		0,96	0,03		0,09	0,33	9,97	0,13	0,05	0,47
EDH-13-106 c1-3	Sericite	46,18	1,53	35,32	0,02		0,95	0,00	0,00		2,53	0,04		0,11	0,29	10,29	0,16	0,01	0,27
EDH-13-106 c2-4	Sericite	59,48	0,05	26,66	0,00		0,31	0,02	0,00		0,08	1,46		0,00	7,17	3,98	0,02	0,00	0,80
EDH-13-85 c4-1	Sericite	45,92	1,38	35,74	0,01		0,85	0,02	0,03		0,83	0,02		0,01	0,31	10,31	0,00	0,02	0,51
EDH-13-85 c3-1	Sericite	46,37	1,63	34,35	0,19		1,13	0,04	0,02		1,16	0,00		0,10	0,33	10,89	0,11	0,00	0,49
EDH-13-85 c2-1	Sericite	46,06	0,95	35,69	0,04		0,87	0,02	0,01		0,95	0,00		0,11	0,33	10,84	0,13	0,00	0,48
EDH-13-85 c1-2	Sericite	46,31	1,16	35,20	0,07		1,14	0,00	0,00		1,08	0,00		0,09	0,25	10,48	0,06	0,00	0,51
EDH-13-85 c1-1	Sericite	46,23	0,64	37,25	0,07		0,33	0,03	0,00		0,00	0,00		0,12	0,38	10,32	0,00	0,02	1,00
EDH-14-081 C1-3	Sericite	47,82	0,00	34,38	0,04		1,72	0,05	0,00		1,00	0,06		0,00	0,13	9,63	0,11	0,01	0,63
EDH-14-081 C1-4	Sericite	49,07	0,04	34,40	0,04		1,42	0,03	0,00		0,99	0,06		0,00	0,39	9,53	0,01	0,00	0,59

BIOTITE / PHLOGOPITE	SiO ₂	TiO ₂	Al ₂ O ₃	FeO	MnO	MgO	CaO	Na ₂ O	K ₂ O	SrO	BaO	Rb ₂ O	ZnO	F	Cl	Cr ₂ O ₃	NiO	Li ₂ O*	H ₂ O*	Subtotal	O=F,Cl	Total
EDH-GSC-13-013 (2) *	37,28	1,86	15,16	18,16	0,21	12,16	0,00	0,06	9,78		0,08			0,37	0,00	0,02	0,01	0,00	3,75	98,93	0,16	98,77
EDH-GSC-13-013 (4) *	37,39	2,03	15,18	18,28	0,23	12,26	0,00	0,03	9,77		0,10			0,27	0,01	0,05	0,03	0,00	3,82	99,45	0,11	99,33
EDH-GSC-13-013 (5) *	37,16	1,88	14,69	17,76	0,15	12,42	0,00	0,07	9,92		0,07			0,28	0,01	0,09	0,03	0,00	3,76	98,30	0,12	98,18
EDH-GSC-13-013 (8) *	36,97	1,87	14,71	19,85	0,18	11,41	0,01	0,07	9,81		0,09			0,27	0,01	0,02	0,00	0,00	3,77	99,04	0,11	98,93
EDH-GSC-13-081 (4) *	35,97	2,98	19,19	17,55	0,18	9,51	0,00	0,06	8,21	0,00	0,09		0,00	0,16	0,01	0,04	0,00	0,00	3,87	97,82	0,07	97,75
EDH-GSC-13-081 (4) *	36,63	2,79	19,45	17,14	0,22	9,72	0,02	0,07	9,77	0,00	0,06		0,00	0,21	0,00	0,08	0,02	0,00	3,92	100,10	0,09	100,01
EDH-GSC-13-140 (4) *	36,15	1,64	15,73	17,27	0,40	13,94	0,00	0,02	7,92	0,00	0,04		0,00	0,52	0,02	0,11	0,01	0,00	3,66	97,44	0,22	97,22
EDH-GSC-13-140 (4) *	37,48	2,03	14,96	16,93	0,36	12,74	0,00	0,01	9,52	0,00	0,00		0,00	0,44	0,00	0,13	0,00	0,00	3,72	98,33	0,18	98,14
EDH-GSC-13-140 (4) *	38,04	1,95	15,16	16,91	0,37	12,94	0,01	0,04	9,59	0,00	0,00		0,00	0,58	0,03	0,08	0,00	0,00	3,69	99,41	0,25	99,16
EDH-GSC-13-146A (1) *	37,53	2,57	18,46	11,73	0,27	13,86	0,03	0,11	10,11	0,00	0,05		0,00	0,26	0,05	0,10	0,00	0,00	3,93	99,06	0,12	98,94
EDH-GSC-13-146A (2) *	37,56	2,60	18,87	11,61	0,30	13,96	0,00	0,18	9,92	0,00	0,04		0,00	0,26	0,01	0,07	0,00	0,00	3,96	99,32	0,11	99,21
EDH-GSC-13-146A (5) *	37,36	2,74	18,76	11,82	0,29	13,74	0,01	0,17	10,26	0,03	0,04		0,00	0,26	0,00	0,06	0,00	0,00	3,95	99,49	0,11	99,38
EDH-GSC-13-155 (3) *	37,66	1,37	16,44	12,28	0,13	15,93	0,02	0,05	10,20	0,11	0,21		0,00	0,44	0,01	0,33	0,07	0,00	3,82	99,08	0,19	98,89
EDH-GSC-13-155 (3) *	36,66	1,28	16,39	12,62	0,18	15,68	0,03	0,08	9,31	0,08	0,23		0,00	0,35	0,02	0,34	0,01	0,00	3,78	97,05	0,15	96,90
EDH-GSC-13-155 (3) *	38,56	1,37	16,37	11,81	0,17	16,13	0,02	0,04	9,08	0,05	0,23		0,00	0,59	0,00	0,34	0,06	0,00	3,77	98,57	0,25	98,33
EDH-GSC-13-180 (2) *	36,74	1,89	15,07	18,33	0,20	12,21	0,00	0,08	10,09	0,06	0,12		0,00	0,19	0,01	0,11	0,06	0,00	3,82	98,97	0,08	98,89
EDH-GSC-13-180 (3) *	37,31	1,76	15,28	18,33	0,24	11,86	0,00	0,02	9,52	0,03	0,09		0,00	0,09	0,00	0,12	0,00	0,00	3,88	98,53	0,04	98,49
EDH-GSC-13-180 (3) *	37,57	1,93	15,04	18,26	0,25	12,06	0,00	0,03	10,00	0,03	0,08		0,00	0,10	0,02	0,13	0,00	0,00	3,89	99,39	0,05	99,34
EDH-GSC-13-201 (3) *	38,94	1,37	15,30	11,11	0,15	17,35	0,00	0,05	10,16	0,10	0,05		0,00	0,21	0,00	0,25	0,03	0,00	3,97	99,04	0,09	98,95
EDH-GSC-13-201 (6) *	38,17	1,45	15,03	11,53	0,14	17,09	0,00	0,09	10,24	0,05	0,04		0,00	0,28	0,00	0,24	0,00	0,00	3,88	98,23	0,12	98,12
EDH-GSC-13-201 (7) *	38,51	1,43	15,20	10,89	0,17	17,06	0,00	0,07	9,98	0,07	0,04		0,00	0,15	0,01	0,22	0,00	0,00	3,95	97,73	0,06	97,66
EDH-GSC-13-225 (10) *	37,78	2,95	15,04	15,71	0,34	13,20	0,02	0,10	9,67	0,04	0,02		0,00	0,77	0,04	0,03	0,04	0,00	3,60	99,36	0,34	99,02
EDH-GSC-13-225 (10) *	38,05	2,82	15,23	15,87	0,32	13,19	0,03	0,07	9,53	0,03	0,04		0,00	0,66	0,07	0,02	0,04	0,00	3,67	99,62	0,29	99,33
EDH-GSC-13-225 (10) *	37,87	3,07	14,86	15,82	0,34	13,21	0,06	0,04	9,31	0,09	0,00		0,00	0,86	0,01	0,04	0,04	0,00	3,57	99,20	0,36	98,84
EDH-GSC-13-241 (10) *	35,38	2,39	14,57	21,17	0,25	12,28	0,00	0,10	8,51	0,02	0,03		0,05	0,37	0,04	0,03	0,00	0,00	3,69	98,87	0,16	98,70
EDH-GSC-13-241 (6) *	34,91	2,53	14,67	22,24	0,21	11,90	0,10	0,02	8,06	0,08	0,02		0,02	0,42	0,01	0,04	0,00	0,00	3,65	98,87	0,18	98,69
EDH-GSC-13-021 (5) *	36,68	1,29	15,47	15,16	0,32	16,14	0,01	0,04	5,98	0,08	0,11		0,00	0,57	0,03	0,39	0,00	0,00	3,65	95,92	0,25	95,67
EDH-GSC-13-021 (5) *	38,27	1,83	15,34	11,20	0,27	17,69	0,02	0,04	8,51	0,02	0,12		0,07	0,89	0,01	0,36	0,03	0,00	3,62	98,29	0,38	97,91
EDH-GSC-13-021 (5) *	38,73	2,02	14,61	11,36	0,32	16,91	0,02	0,08	8,71	0,03	0,11		0,02	0,76	0,06	0,38	0,00	0,00	3,64	97,76	0,34	97,43
EDH-GSC-13-026 (2) *	38,85	3,17	15,15	10,97	0,47	15,78	0,00	0,08	9,60	0,01	0,07		0,23	0,30	0,01	0,04	0,00	0,00	3,91	98,64	0,13	98,51
EDH-GSC-13-026 (2) *	38,64	3,24	15,21	10,20	0,41	16,10	0,00	0,11	9,55	0,06	0,08		0,15	0,37	0,00	0,03	0,02	0,00	3,87	98,04	0,15	97,89

* Données d'Ingrid Kjarsgaard

PYROXÈNES	SiO₂	TiO₂	Al₂O₃	Cr₂O₃	V₂O₃	FeO	MnO	NiO	ZnO	MgO	CaO	SrO	BaO	Na₂O	K₂O	Total
EDH-GSC-13-005 (1)*	50,78	0,08	0,83	0,06	0,00	16,89	0,65	0,00	0,00	7,34	23,15	0,00	0,00	0,22	0,00	99,99
EDH-GSC-13-005 (2)*	50,68	0,03	0,35	0,05	0,00	16,78	0,71	0,00	0,00	7,48	23,48	0,00	0,05	0,14	0,00	99,77
EDH-GSC-13-005 (6)*	50,21	0,07	0,74	0,08	0,00	18,21	0,67	0,00	0,00	6,39	22,76	0,00	0,00	0,19	0,00	99,32
EDH-GSC-13-011B (5)*	48,94	0,05	0,53	0,02	0,00	25,89	0,26	0,02	0,00	1,74	23,11	0,00	0,00	0,07	0,00	100,62
EDH-GSC-13-011B (5)*	49,92	0,00	0,04	0,01	0,00	22,40	1,07	0,03	0,00	3,54	23,36	0,00	0,03	0,13	0,01	100,53
EDH-GSC-13-011B (6)*	48,54	0,01	0,45	0,03	0,00	27,01	0,35	0,01	0,00	0,90	23,04	0,00	0,01	0,04	0,00	100,41
EDH-GSC-13-011B (6)*	49,95	0,02	0,03	0,04	0,00	21,47	1,20	0,00	0,00	4,22	23,61	0,00	0,01	0,00	0,00	100,55
EDH-GSC-13-011B (7)*	48,45	0,04	0,51	0,01	0,00	26,25	0,31	0,03	0,00	1,57	22,94	0,00	0,00	0,10	0,00	100,22
EDH-GSC-13-220 (2)*	52,45	0,04	0,33	0,05	0,06	12,97	0,69	0,00	0,00	10,15	22,51	0,00	0,00	0,29	0,00	99,56
EDH-GSC-13-220 (4)*	52,50	0,00	0,20	0,02	0,05	11,33	0,88	0,03	0,00	10,96	24,37	0,01	0,00	0,11	0,00	100,46
EDH-GSC-13-220 (4)*	52,51	0,01	0,13	0,02	0,02	11,49	1,03	0,00	0,00	10,81	24,33	0,00	0,01	0,11	0,00	100,48
EDH-GSC-13-220 (5)*	52,81	0,02	0,22	0,01	0,06	11,86	0,70	0,00	0,00	10,93	24,02	0,00	0,00	0,16	0,01	100,79
EDH-GSC-13-231 (1)*	53,41	0,02	0,33	0,05	0,02	9,08	0,46	0,04	0,00	13,12	24,26	0,00	0,00	0,11	0,00	100,89
EDH-GSC-13-231 (2)*	53,02	0,02	0,26	0,04	0,03	8,25	0,46	0,01	0,00	13,19	24,39	0,01	0,00	0,07	0,00	99,74
EDH-GSC-13-231 (5)*	53,35	0,04	0,40	0,04	0,00	8,88	0,44	0,00	0,08	13,00	23,92	0,04	0,01	0,17	0,00	100,37
EDH-13-249 5-2	52,84	0,09	0,66	0,05	0,05	9,95	0,69	0,00	0,00	12,17	23,07	0,00	0,00	0,78	0,00	100,29
EDH-13-249 5-1	52,86	0,00	0,67	0,02	0,00	9,98	0,69	0,00	0,00	11,96	22,82	0,00	0,00	0,87	0,00	99,87
EDH-13-249 3-3	52,94	0,16	0,59	0,01	0,00	9,64	0,62	0,00	0,00	11,93	22,84	0,00	0,00	0,86	0,00	99,57
EDH-13-249 2-1	52,84	0,11	0,60	0,07	0,00	9,31	0,69	0,02	0,00	12,17	23,09	0,00	0,00	0,73	0,00	99,64
EDH-13-249 2-2	52,65	0,00	0,70	0,00	0,00	9,20	0,67	0,02	0,00	12,32	23,01	0,00	0,00	0,76	0,00	99,32
EOC-13-006 4-2	47,55	0,00	0,55	0,00	0,00	26,75	0,48	0,00	0,00	0,62	22,63	0,00	0,00	0,14	0,00	98,72
EOC-13-006 4-3	47,42	0,06	0,65	0,03	0,00	26,42	0,55	0,00	0,00	0,80	22,72	0,00	0,00	0,12	0,00	98,77
EOC-13-006 4-4	47,47	0,06	0,33	0,05	0,00	26,18	0,36	0,00	0,00	0,74	22,69	0,00	0,00	0,11	0,01	97,99
EOC-13-006 2-1	47,24	0,07	0,63	0,00	0,00	25,77	0,62	0,00	0,00	0,77	22,32	0,00	0,00	0,11	0,00	97,54
EOC-13-006 1-1	48,43	0,03	0,18	0,00	0,00	25,43	0,66	0,01	0,00	1,27	22,61	0,00	0,00	0,09	0,01	98,71
EDH-13-168 c5-2	54,52	0,06	0,25	0,00	0,00	4,31	0,44	0,00	0,00	16,06	25,26	0,00	0,00	0,08	0,00	100,98
EDH-13-168 c5-1	54,38	0,02	0,26	0,02	0,00	4,58	0,46	0,01	0,00	15,78	25,24	0,00	0,00	0,08	0,00	100,84
EDH-13-168 c4-2	54,19	0,04	0,05	0,00	0,00	3,19	0,41	0,01	0,00	16,52	25,79	0,00	0,00	0,12	0,01	100,32
EDH-13-168 c3-1	55,47	0,09	2,19	0,04	0,00	6,06	0,37	0,00	0,00	19,32	13,15	0,00	0,00	0,20	0,16	97,06
EDH-13-168 c3-3	55,19	0,02	2,33	0,13	0,00	6,31	0,38	0,00	0,00	19,33	13,08	0,00	0,00	0,22	0,16	97,13
EDH-13-168 c1-2	54,86	0,15	2,53	0,03	0,00	6,22	0,36	0,02	0,00	19,32	13,10	0,00	0,00	0,28	0,18	97,04
EDH-13-168 c1-3	55,30	0,08	2,23	0,06	0,00	6,97	0,34	0,00	0,00	18,94	13,10	0,00	0,00	0,21	0,15	97,38
EDH-14-99 C4-1	48,06	1,00	5,61	0,00	0,00	18,35	0,36	0,04	0,00	11,07	11,46	0,00	0,00	1,24	0,46	97,64

* Données d'Ingrid Kjarsgaard

TOURMALINE	TiO ₂	MnO	FeO	Cr ₂ O ₃	CaO	K ₂ O	Fréel	F=O	Na ₂ O	MgO	SiO ₂	Al ₂ O ₃
EDH-13-234	0,41	0,02	4,50	0,14	1,24	0,05	0,34	-0,14	1,45	7,20	35,50	33,35
EDH-13-234	0,53	0,07	4,62	0,11	1,25	0,04	0,22	-0,09	1,47	6,99	35,35	33,78
EDH-13-234	0,75	0,09	4,70	0,06	1,30	0,06	0,22	-0,09	1,42	7,40	35,51	32,36
EDH-13-234	0,89	0,00	4,68	0,02	0,76	0,01	0,28	-0,12	1,62	7,36	36,00	32,14
EDH-13-234	0,64	0,04	4,87	0,04	1,35	0,05	0,31	-0,13	1,45	6,97	35,54	33,04
EDH-13-84	0,60	0,05	4,48	1,04	1,00	0,06	0,17	-0,07	1,72	6,91	35,40	32,56
EDH-13-84	0,88	0,08	4,80	0,38	1,00	0,06	0,17	-0,07	1,57	6,96	35,53	32,80
EDH-13-84	0,62	0,08	4,87	0,15	0,87	0,05	0,07	-0,03	1,70	6,94	35,67	33,16
EDH-13-84	0,63	0,04	4,72	0,15	0,90	0,04	0,12	-0,05	1,72	6,81	35,50	33,55
EDH-13-84	0,66	0,03	4,94	0,13	0,83	0,03	0,26	-0,11	1,70	7,10	36,14	32,64
EDH-13-84	0,73	0,00	4,74	0,38	1,09	0,06	0,22	-0,09	1,60	6,88	35,73	33,36
EDH-13-232	0,60	0,02	4,69	0,15	0,90	0,05	0,15	-0,06	1,68	6,91	35,66	33,69
EDH-13-232	0,43	0,12	5,62	0,01	0,87	0,04	0,25	-0,11	1,63	6,43	34,91	33,12
EDH-13-72	0,55	0,00	5,75	0,04	0,95	0,02	0,15	-0,06	1,66	6,24	35,30	33,18
EDH-13-72	0,72	0,08	4,70	0,07	1,17	0,05	0,17	-0,07	1,71	7,13	34,86	32,96
EDH-13-003	0,71	0,00	8,96	0,38	2,29	0,05	0,35	-0,15	1,56	8,00	36,01	28,03
EDH-13-003	0,69	0,06	8,32	0,61	1,44	0,06	0,27	-0,11	2,12	7,65	35,25	28,25
EOC-13-20	0,71	0,07	5,87	0,14	0,44	0,04	0,12	-0,05	1,88	6,43	35,32	31,74
EOC-13-20	1,17	0,00	5,87	0,14	0,46	0,05	0,18	-0,08	1,93	6,50	35,47	31,91
EOC-13-20	1,06	0,07	5,96	0,06	0,47	0,05	0,23	-0,10	2,04	6,40	35,73	32,26
EOC-13-20	1,23	0,11	5,96	0,02	0,53	0,05	0,09	-0,04	1,90	6,60	35,86	32,21
EOC-13-14	1,08	0,02	5,49	0,07	0,50	0,05	0,12	-0,05	1,93	6,45	35,68	32,99
EOC-13-14	1,09	0,23	10,15	0,00	2,39	0,05	0,39	-0,16	1,56	7,22	34,90	26,65
EUG-13-01	1,37	0,20	10,42	0,01	2,04	0,06	0,31	-0,13	1,79	6,81	34,53	26,63
EUG-13-01	1,47	0,20	10,51	0,00	1,97	0,05	0,34	-0,14	1,77	6,85	35,14	27,11
EUG-13-01	1,37	0,26	10,72	0,00	2,13	0,05	0,46	-0,19	1,68	6,87	35,12	26,85
EUG-13-01	1,59	0,27	11,75	0,00	1,87	0,06	0,23	-0,10	1,82	5,80	34,65	26,98
EUG-13-01	1,40	0,20	9,36	0,02	1,78	0,03	0,35	-0,15	1,91	6,96	35,04	27,67
EUG-13-01	1,77	0,27	11,60	0,00	2,14	0,05	0,33	-0,14	1,67	6,12	34,65	26,75
EUG-13-01	0,64	0,08	4,36	0,06	1,31	0,05	0,17	-0,07	1,50	7,42	34,94	33,01
EDH-13-130	0,59	0,15	10,77	0,00	0,61	0,05	0,17	-0,07	2,29	4,58	34,82	30,15
EDH-13-130	0,37	0,26	12,16	0,01	0,70	0,06	0,19	-0,08	2,21	3,78	34,36	29,79
EDH-13-130	0,52	0,17	11,61	0,00	1,01	0,06	0,19	-0,08	2,21	4,61	34,70	29,07
EDH-13-130	0,49	0,32	12,10	0,02	1,06	0,06	0,19	-0,08	2,01	4,27	34,54	29,19
EDH-13-130	0,56	0,27	11,59	0,00	1,03	0,04	0,22	-0,09	2,06	4,52	34,74	29,36
EDH-13-130	0,39	0,31	12,62	0,00	0,81	0,06	0,09	-0,04	2,16	3,59	34,29	29,55
EDH-13-130	0,55	0,24	10,04	0,01	0,60	0,05	0,19	-0,08	2,23	4,73	34,90	30,40
EDH-13-131	0,65	0,29	13,53	0,01	0,95	0,06	0,17	-0,07	2,10	3,26	34,29	29,21
EDH-13-131	0,92	0,10	12,96	0,02	1,08	0,05	0,14	-0,06	2,01	4,00	34,45	28,96
EDH-13-131	0,77	0,08	9,42	0,00	0,73	0,04	0,19	-0,08	2,26	5,82	35,23	30,07
EDH-13-131	0,75	0,18	12,42	0,02	0,84	0,06	0,22	-0,09	2,18	4,16	34,84	29,32
EDH-13-131	0,73	0,25	12,69	0,01	0,60	0,06	0,14	-0,06	2,16	3,37	34,50	29,85
EDH-13-131	1,00	0,23	12,16	0,00	0,98	0,06	0,13	-0,06	2,11	4,29	34,54	28,79
EDH-13-131	1,43	0,21	12,17	0,00	1,09	0,05	0,17	-0,07	2,13	4,37	34,67	28,69
EDH-13-131	0,54	0,25	11,47	0,00	0,75	0,06	0,08	-0,03	2,21	4,17	34,89	30,10
EDH-13-131	0,72	0,14	9,63	0,00	0,72	0,07	0,42	-0,18	2,34	5,50	35,05	29,91
EDH-13-131	0,71	0,21	11,07	0,00	0,79	0,05	0,19	-0,08	2,23	4,69	34,81	29,59
EDH-13-131	0,74	0,14	8,92	0,02	0,80	0,04	0,19	-0,08	2,17	5,91	35,25	30,29
EDH-13-131	0,94	0,25	12,51	0,01	0,85	0,06	0,21	-0,09	2,16	4,09	34,68	29,15
EDH-13-131	0,67	0,18	12,24	0,01	0,86	0,06	0,28	-0,12	2,20	4,39	34,83	29,33
EDH-13-131	0,60	0,10	9,20	0,00	0,87	0,04	0,31	-0,13	2,20	6,12	35,37	29,63
EDH-13-131	0,59	0,27	11,74	0,03	0,63	0,05	0,29	-0,12	2,36	4,55	34,97	29,32
EDH-13-131	0,68	0,33	13,14	0,00	0,72	0,06	0,21	-0,09	2,29	3,52	34,78	29,59

TOURMALINE	TiO ₂	MnO	FeO	Cr ₂ O ₃	CaO	K ₂ O	Fréel	F=O	Na ₂ O	MgO	SiO ₂	Al ₂ O ₃
EDH-13-54	0,04	0,46	12,54	0,00	0,50	0,04	0,04	-0,02	2,33	3,22	34,80	30,79
EDH-13-54	0,14	0,32	12,21	0,00	0,50	0,04	0,09	-0,04	2,29	3,64	34,77	30,27
EDH-13-54	0,28	0,38	10,97	0,03	0,54	0,04	0,02	-0,01	2,31	4,30	34,99	30,69
EDH-13-54	0,05	24,46	15,27	0,00	0,47	0,01	0,02	-0,01	0,06	0,43	36,39	19,71
EOC-13-17	0,66	0,00	4,94	0,13	0,79	0,05	0,20	-0,08	1,81	6,97	35,51	33,82
EOC-13-17	1,85	0,26	16,08	0,09	0,02	9,49	0,51	-0,21	0,15	11,07	35,47	19,26
EOC-13-17	0,68	0,00	4,97	0,16	0,85	0,05	0,17	-0,07	1,82	7,02	35,55	33,82
EOC-13-17	0,62	0,00	5,06	0,05	0,60	0,03	0,24	-0,10	1,74	7,42	36,11	32,80
EOC-13-17	0,63	0,00	5,09	0,17	0,84	0,06	0,17	-0,07	1,73	6,89	35,59	33,55
EDH-13-248	1,07	0,03	13,25	0,46	2,30	0,06	0,42	-0,18	1,76	8,48	34,62	22,39
EDH-13-248	1,23	0,05	13,15	0,32	2,32	0,06	0,61	-0,26	1,63	8,48	34,72	22,68
EDH-13-13	0,51	0,00	3,10	0,20	0,94	0,05	0,25	-0,10	1,90	8,43	35,82	33,90
EDH-13-13	0,61	0,08	4,11	0,16	1,79	0,03	0,27	-0,11	1,53	8,44	35,70	33,76
EDH-13-13	0,73	0,01	4,68	0,27	1,65	0,08	0,37	-0,16	1,84	8,86	35,73	32,43
EDH-13-13	0,55	0,08	4,17	0,12	1,41	0,04	0,19	-0,08	1,84	8,35	35,85	33,68
EDH-13-13	0,48	0,03	4,02	0,16	1,12	0,05	0,19	-0,08	1,78	8,09	35,90	34,45
EDH-13-063	1,55	0,03	9,30	0,97	2,42	0,05	0,32	-0,13	1,61	7,68	35,03	27,34
EDH-13-096	0,90	0,03	6,76	0,10	2,73	0,04	0,50	-0,21	1,30	9,13	35,86	29,31
EDH-13-096	1,42	0,03	5,90	0,08	1,90	0,03	0,29	-0,12	1,76	9,19	35,68	29,82
EDH-13-194	0,84	0,00	4,21	1,51	2,10	0,05	0,16	-0,07	1,73	9,98	36,03	29,20
EDH-13-194	1,65	0,01	4,77	1,08	2,31	0,06	0,27	-0,11	1,62	10,00	35,53	28,86
EDH-13-194	1,16	0,00	4,62	0,84	2,44	0,04	0,23	-0,10	1,54	10,20	36,15	29,21
EDH-13-194	1,76	0,00	4,77	1,21	2,43	0,05	0,20	-0,09	1,62	9,97	35,76	28,70
EDH-13-194	1,12	0,00	4,60	1,62	2,02	0,04	0,22	-0,09	1,70	9,90	35,90	28,79
EDH-13-194	0,47	0,00	4,30	1,25	2,03	0,04	0,09	-0,04	1,81	10,06	36,35	29,86
EDH-13-194	1,86	0,00	5,00	0,33	2,41	0,06	0,29	-0,12	1,61	10,06	35,80	29,17
EDH-13-194	1,06	0,00	4,44	3,13	2,15	0,04	0,30	-0,13	1,73	9,70	35,65	28,39
EDH-13-194	1,84	0,00	4,71	1,60	2,55	0,07	0,27	-0,11	1,53	9,96	35,76	28,29
EDH-13-183	0,78	0,00	6,70	0,00	2,64	0,04	0,39	-0,16	1,39	9,04	35,86	29,76
EDH-13-183	1,57	0,00	6,88	0,34	2,75	0,06	0,22	-0,09	1,33	8,87	35,33	29,25
EDH-13-183	1,46	0,02	7,06	0,24	2,67	0,06	0,32	-0,14	1,45	8,80	35,53	29,00
EDH-13-183	0,82	0,00	6,87	0,45	2,46	0,04	0,22	-0,09	1,53	8,90	35,67	29,20
EDH-13-183	1,93	0,08	6,81	0,03	2,80	0,06	0,29	-0,12	1,34	9,17	35,44	28,90
EUG-15-020B	1,27	0,00	3,63	0,07	2,37	0,06	0,26	-0,11	1,33	9,36	35,69	30,88
EUG-15-020B	0,79	0,12	3,39	0,15	1,74	0,04	0,35	-0,15	1,80	9,44	35,45	31,49
EUG-15-020B	1,60	0,10	3,68	0,08	2,39	0,06	0,30	-0,12	1,50	9,70	35,43	30,30
EUG-15-020B	0,44	0,05	3,04	0,21	1,16	0,04	0,20	-0,08	1,84	8,59	36,16	32,65
EUG-15-020B	1,09	0,04	3,41	0,07	1,77	0,05	0,33	-0,14	1,63	8,53	35,14	32,49
EUG-15-020B	1,41	0,09	3,31	0,20	2,27	0,06	0,38	-0,16	1,52	9,47	35,43	30,54
EUG-15-020B	0,76	0,07	3,40	0,14	2,32	0,06	0,30	-0,12	1,20	8,70	35,53	32,20
EUG-15-020B	1,55	0,07	3,48	0,09	2,41	0,06	0,45	-0,19	1,50	9,86	35,35	29,71
EUG-15-020B	0,72	0,04	3,79	0,08	2,67	0,06	0,33	-0,14	1,12	8,93	35,25	32,08
EDH-14-093B	0,96	0,07	3,83	0,33	1,42	0,04	0,19	-0,08	2,06	9,03	35,47	31,06
EDH-14-093B	0,88	0,05	3,44	0,36	1,55	0,04	0,08	-0,03	1,87	9,06	35,66	31,36
EDH-14-093B	0,56	0,03	2,94	0,16	1,01	0,04	0,09	-0,04	2,12	9,10	36,08	32,26
EDH-14-093B	0,84	0,00	3,82	0,39	1,40	0,04	0,27	-0,11	2,09	9,08	35,50	31,32
EDH-14-093B	0,92	0,05	3,82	0,36	1,73	0,06	0,33	-0,14	1,84	9,19	35,39	30,82
EDH-14-093B	0,83	0,05	3,52	0,40	1,81	0,06	0,21	-0,09	1,75	9,26	35,75	31,30
EDH-14-093B	0,72	0,05	2,74	0,19	1,32	0,04	0,22	-0,09	1,93	9,34	35,91	32,16
EDH-14-093B	0,68	0,03	3,56	0,54	1,32	0,05	0,25	-0,10	2,02	9,20	35,65	31,49
EDH-14-093B	0,76	0,02	3,85	0,22	1,30	0,04	0,26	-0,11	2,09	9,39	35,65	30,84

TOURMALINE	TiO ₂	MnO	FeO	Cr ₂ O ₃	CaO	K ₂ O	Fréel	F=O	Na ₂ O	MgO	SiO ₂	Al ₂ O ₃
EDH-14-121	0,90	0,05	4,62	0,18	1,40	0,04	0,41	-0,17	2,07	8,34	35,15	31,88
EDH-14-121	2,32	0,09	5,35	0,09	2,26	0,05	0,36	-0,15	1,62	8,99	35,29	28,54
EDH-14-121	1,08	0,04	4,90	0,20	1,40	0,05	0,25	-0,11	2,12	8,39	34,85	30,75
EDH-14-121	2,16	0,00	5,51	0,06	1,82	0,05	0,17	-0,07	1,87	8,49	35,20	29,49
EDH-14-121	0,82	0,08	5,26	0,07	0,98	0,04	0,27	-0,11	2,29	8,28	35,33	30,71
EDH-14-121	2,34	0,04	5,51	0,13	1,91	0,07	0,29	-0,12	1,83	8,53	34,85	28,71
EDH-14-121	1,19	0,03	5,23	0,14	1,33	0,06	0,33	-0,14	2,08	8,41	35,16	30,82
EDH-14-121	2,29	0,09	5,53	0,20	1,85	0,08	0,21	-0,09	1,81	8,39	34,98	29,05
EDH-14-35	1,45	0,01	5,12	0,17	1,40	0,04	0,18	-0,08	1,58	7,17	35,02	32,50
EDH-14-35	1,16	0,12	4,94	0,28	1,43	0,06	0,30	-0,13	1,59	7,19	35,08	32,52
EDH-14-35	1,32	0,00	4,88	0,31	1,46	0,05	0,15	-0,06	1,56	7,31	34,95	32,87
EDH-14-35	1,37	0,04	4,92	0,24	1,39	0,05	0,20	-0,08	1,61	7,27	35,02	32,43
EDH-14-35	1,19	0,03	4,95	0,05	1,04	0,04	0,17	-0,07	1,75	7,01	35,34	33,14
EDH-14-35	1,09	0,02	4,63	0,20	1,17	0,04	0,17	-0,07	1,65	6,81	34,91	33,35
EDH-14-35	1,20	0,01	5,19	0,17	1,12	0,05	0,10	-0,04	1,74	6,85	34,83	32,70
EUG-15-19	0,69	0,00	1,02	0,32	1,75	0,18	0,46	-0,20	1,70	10,12	35,96	33,38
EUG-15-19	0,70	0,00	0,97	0,30	1,86	0,07	0,29	-0,12	1,45	10,11	35,75	33,80
EUG-15-19	0,71	0,00	0,99	0,39	1,75	0,06	0,44	-0,19	1,63	10,14	35,37	33,61
EUG-15-19	0,45	0,00	0,84	0,23	1,48	0,05	0,31	-0,13	1,54	9,90	35,97	34,49
EUG-15-19	1,11	0,03	1,06	0,30	2,55	0,05	0,52	-0,22	1,44	11,45	35,58	31,15
EUG-15-19	0,76	0,02	0,81	0,23	1,71	0,05	0,27	-0,12	1,64	10,23	35,77	33,67
EUG-15-19	0,42	0,08	0,87	0,23	1,31	0,05	0,29	-0,12	1,80	9,63	36,02	34,66
EUG-15-19	0,88	0,00	0,88	0,24	2,01	0,05	0,49	-0,21	1,48	10,55	35,73	33,04
EDH-13-71	1,19	0,07	5,35	0,02	2,99	0,04	0,39	-0,17	1,24	9,23	35,17	28,94
EDH-13-71	1,03	0,00	4,84	0,04	2,83	0,05	0,33	-0,14	1,30	9,49	35,18	29,45
EDH-13-71	1,19	0,14	3,96	0,08	2,56	0,06	0,44	-0,18	1,48	9,68	35,36	30,19
EDH-13-71	0,36	0,03	4,02	0,02	2,62	0,04	0,44	-0,19	1,42	9,81	35,51	30,45
EDH-13-71	1,13	0,05	4,24	0,00	2,52	0,05	0,49	-0,21	1,42	9,70	35,35	30,28
EDH-13-71	0,69	0,06	5,80	0,00	2,88	0,02	0,41	-0,17	1,26	9,04	35,04	29,45
EDH-13-71	1,03	0,07	4,14	0,02	2,73	0,05	0,35	-0,15	1,32	9,83	35,25	30,03
EDH-13-71	1,10	0,08	4,65	0,04	1,98	0,05	0,27	-0,11	1,62	8,69	35,17	30,83
EDH-13-71	1,64	0,06	5,29	0,00	2,15	0,04	0,39	-0,16	1,49	8,45	34,91	30,11
EDH-13-71	1,67	0,05	4,89	0,03	2,64	0,06	0,40	-0,17	1,39	9,32	34,90	29,37
EDH-13-71	1,22	0,12	4,99	0,00	2,09	0,05	0,31	-0,13	1,63	8,42	36,93	29,34
EDH-13-71	0,78	0,08	5,44	0,03	2,08	0,06	0,31	-0,13	1,57	7,99	35,26	30,78
EDH-13-168	0,90	0,00	2,80	0,38	2,15	0,05	0,51	-0,21	0,93	6,48	16,71	15,21
EDH-13-168	0,91	0,02	2,87	0,24	2,37	0,04	0,71	-0,30	0,79	6,51	16,60	15,32
EDH-13-168	0,64	0,04	3,50	0,00	1,08	0,03	0,23	-0,10	1,08	4,78	16,71	17,49
EDH-13-168	0,64	0,06	3,60	0,14	1,06	0,03	0,41	-0,17	1,07	4,77	16,75	17,28
EDH-13-237	0,85	0,16	6,51	0,28	1,70	0,06	0,35	-0,15	1,93	8,23	35,84	30,79
EDH-13-237	0,75	0,08	6,37	0,36	1,69	0,07	0,31	-0,13	1,96	8,24	35,63	30,66
EDH-13-237	0,77	0,02	6,28	0,69	1,89	0,05	0,30	-0,13	1,85	8,34	35,34	30,02
EDH-13-237	0,74	0,07	6,16	0,49	1,42	0,05	0,22	-0,09	2,10	8,30	35,59	30,82
EDH-13-237	0,66	0,07	6,47	0,75	1,66	0,06	0,26	-0,11	1,92	8,30	35,68	30,19
EDH-13-237	0,60	0,14	6,38	0,57	1,81	0,05	0,37	-0,16	1,97	8,45	35,48	30,39
EDH-13-237	1,38	0,60	18,17	0,22	0,08	9,35	0,45	-0,19	0,10	11,32	36,18	16,79
EDH-13-237	0,80	0,04	6,27	0,87	1,44	0,06	0,28	-0,12	2,07	8,21	35,96	30,86
EDH-13-237	0,58	0,06	6,43	0,80	1,87	0,05	0,35	-0,15	1,91	8,47	35,79	30,41
EDH-13-022 c4-2	1,69	0,12	6,73	0,25	2,35	0,04	0,28	-0,12	1,62	9,67	35,87	27,96
EDH-13-022 c4-1	1,53	0,04	6,71	0,28	2,42	0,06	0,40	-0,17	1,64	9,69	35,67	27,67
EDH-13-022 c3-1	1,28	0,01	6,81	0,73	2,74	0,05	0,26	-0,11	1,38	9,77	35,86	27,39
EDH-13-022 c2-4	1,10	0,05	6,17	0,50	2,39	0,03	0,50	-0,21	1,65	10,02	35,79	27,50
EDH-13-022 c2-1	1,08	0,01	4,80	0,42	1,95	0,03	0,51	-0,21	1,88	10,61	36,28	28,86
EDH-13-022 c2-5	0,70	0,00	2,13	8,65	1,49	0,05	0,25	-0,11	2,13	9,94	35,40	25,18
EDH-13-022 c2-3	1,35	0,03	6,95	0,56	2,30	0,06	0,22	-0,09	1,69	9,55	35,47	27,62

TOURMALINE	TiO ₂	MnO	FeO	Cr ₂ O ₃	CaO	K ₂ O	Fréel	F=O	Na ₂ O	MgO	SiO ₂	Al ₂ O ₃
EDH-13-40	1,15	0,01	6,28	0,29	2,14	0,05	0,32	-0,13	1,80	9,37	35,04	28,18
EDH-13-40	1,42	0,02	6,53	0,13	2,42	0,04	0,32	-0,13	1,59	9,33	35,27	27,98
EDH-13-40	1,02	0,02	6,29	0,39	2,43	0,03	0,21	-0,09	1,58	9,39	35,53	28,11
EDH-13-40	1,06	0,01	6,23	0,39	2,39	0,04	0,31	-0,13	1,63	9,39	35,28	28,00
EDH-13-40	1,10	0,00	6,40	0,42	2,36	0,04	0,22	-0,09	1,64	9,38	35,70	27,91
EDH-13-40	1,37	0,00	6,50	0,08	2,39	0,04	0,36	-0,15	1,64	9,40	35,72	27,92
EDH-13-40	1,61	0,00	6,51	0,27	2,54	0,04	0,05	-0,02	1,53	9,39	35,20	27,76
EOC-13-27	1,42	0,00	3,41	0,09	2,29	0,06	0,37	-0,16	1,55	10,04	35,73	29,85
EOC-13-27	1,31	0,09	3,38	0,08	2,33	0,05	0,48	-0,20	1,53	10,01	35,90	29,96
EOC-13-27	0,95	0,09	3,91	0,16	1,58	0,06	0,30	-0,13	1,98	9,46	35,68	30,50
EOC-13-27	1,38	0,03	3,92	0,01	2,14	0,06	0,39	-0,16	1,73	9,96	35,86	29,94
EOC-13-27	1,17	0,08	3,56	0,09	2,03	0,06	0,23	-0,10	1,67	9,81	34,64	30,60
EOC-13-27	0,98	0,08	3,37	0,03	1,62	0,04	0,17	-0,07	1,90	9,69	35,82	31,21
EOC-13-27	1,01	0,03	3,43	0,00	1,76	0,05	0,27	-0,12	1,87	9,84	35,69	31,25
EOC-13-27	1,14	0,06	3,26	0,04	1,73	0,05	0,17	-0,07	1,76	9,32	35,50	31,82
EOC-13-27	1,55	0,00	3,51	0,08	2,29	0,06	0,23	-0,10	1,55	10,14	36,13	30,11
EOC-13-27	0,74	0,01	3,34	0,00	1,44	0,05	0,14	-0,06	1,98	9,25	36,12	31,91
EOC-13-27	0,80	0,09	3,56	0,00	1,59	0,04	0,30	-0,13	2,01	9,51	35,31	31,19
EDH-GSC-13-013*	1,44	0,03	8,73	0,48	2,23	0,04	0,06	-0,02	1,66	8,20	36,68	27,32
EDH-GSC-13-013*	0,75	0,05	9,11	1,58	2,31	0,05	0,00	0,00	1,61	8,14	36,27	26,77
EDH-GSC-13-013*	0,81	0,03	9,19	0,57	2,22	0,06	0,25	-0,10	1,73	8,10	36,58	27,78
EDH-GSC-13-039*	0,98	0,58	12,05	0,00	0,50	0,06	0,00	0,00	2,23	3,05	36,47	32,12
EDH-GSC-13-039*	0,52	0,89	14,13	0,00	0,44	0,04	0,00	0,00	2,03	0,97	35,32	33,03
EDH-GSC-13-081*	0,62	0,02	5,36	0,10	0,99	0,05	0,17	-0,07	1,55	6,58	37,75	34,57
EDH-GSC-13-081*	0,75	0,02	5,25	0,06	0,90	0,02	0,15	-0,06	1,49	6,92	37,90	34,07
EDH-GSC-13-081*	0,73	0,04	5,28	0,08	0,94	0,06	0,08	-0,03	1,46	6,52	37,39	35,23
EDH-GSC-13-140*	0,65	0,05	4,09	0,01	1,02	0,04	0,39	-0,16	2,07	9,01	38,08	32,39
EDH-GSC-13-140*	1,37	0,08	4,17	0,21	2,41	0,05	0,42	-0,18	1,52	9,93	37,81	30,23
EDH-GSC-13-146A*	0,71	0,05	3,19	0,25	1,62	0,05	0,29	-0,12	1,16	7,84	34,63	31,43
EDH-GSC-13-146A*	0,65	0,01	3,20	0,31	1,32	0,05	0,40	-0,17	1,47	7,88	36,35	33,24
EDH-GSC-13-146A*	0,78	0,04	3,41	0,39	1,45	0,06	0,20	-0,08	1,51	8,08	37,37	34,97
EDH-GSC-13-146A*	0,83	0,04	3,32	0,13	1,54	0,06	0,34	-0,14	1,49	8,61	37,19	33,54
EDH-GSC-13-165*	1,06	0,03	3,35	3,66	2,80	0,07	0,24	-0,10	1,19	10,07	36,38	27,33
EDH-GSC-13-165*	1,33	0,03	3,65	0,14	3,27	0,05	0,53	-0,22	1,11	10,79	36,89	29,46
EDH-GSC-13-165*	1,34	0,07	3,57	0,17	2,92	0,04	0,86	-0,36	1,19	10,87	37,20	29,87
EDH-GSC-13-169*	1,13	0,06	3,83	0,09	2,85	0,05	0,50	-0,21	1,28	10,42	36,95	30,11
EDH-GSC-13-169*	0,78	0,02	5,01	3,47	1,87	0,03	0,55	-0,23	1,81	8,98	36,61	28,40
EDH-GSC-13-169*	1,33	0,06	3,74	0,04	2,88	0,05	0,51	-0,21	1,36	10,59	36,95	30,24
EDH-GSC-13-201*	0,69	0,02	3,76	0,18	1,83	0,03	0,21	-0,09	1,73	9,69	37,29	30,93
EDH-GSC-13-201*	0,77	0,01	4,10	0,69	2,30	0,04	0,31	-0,13	1,61	9,87	37,19	30,00

TOURMALINE	TiO ₂	MnO	FeO	Cr ₂ O ₃	CaO	K ₂ O	Fréel	F=O	Na ₂ O	MgO	SiO ₂	Al ₂ O ₃
EDH-GSC-13-208*	1,50	0,02	4,36	0,51	1,99	0,04	0,17	-0,07	1,66	9,88	37,46	29,39
EDH-GSC-13-208*	1,10	0,03	4,32	0,43	2,03	0,04	0,28	-0,12	1,65	9,88	37,57	29,72
EDH-GSC-13-208*	1,11	0,03	3,75	1,95	2,30	0,09	0,08	-0,03	1,51	9,93	37,52	28,70
EDH-GSC-13-220*	0,06	0,08	9,70	0,12	1,81	0,03	0,37	-0,16	1,83	7,23	37,03	29,55
EDH-GSC-13-225*	1,23	0,08	6,63	0,20	0,88	0,03	0,46	-0,19	2,44	8,82	37,39	29,57
EDH-GSC-13-225*	2,77	0,09	7,37	0,17	2,02	0,04	0,51	-0,22	1,88	9,17	36,68	27,23
EDH-GSC-13-225*	2,57	0,09	7,16	0,06	2,12	0,05	0,45	-0,19	1,81	9,05	36,37	26,85
EDH-GSC-13-225*	1,99	0,07	6,90	0,04	1,11	0,03	0,39	-0,16	2,18	8,81	36,61	28,39
EDH-GSC-13-225*	2,46	0,08	7,06	0,04	2,17	0,05	0,54	-0,23	1,72	9,05	36,35	27,12
EDH-GSC-13-231*	1,73	0,04	7,42	0,40	2,43	0,05	0,46	-0,19	1,51	8,51	36,55	28,76
EDH-GSC-13-231*	0,39	0,05	5,83	0,02	2,20	0,03	0,30	-0,13	1,58	9,21	37,38	30,76
EDH-GSC-13-231*	1,67	0,02	7,06	0,52	2,81	0,06	0,21	-0,09	1,37	8,87	36,97	28,86
EDH-GSC-13-241*	1,07	0,08	11,30	0,07	1,71	0,11	0,46	-0,19	1,93	7,88	36,51	27,07
EDH-GSC-13-241*	1,30	0,05	12,44	0,28	2,75	0,05	0,05	-0,02	1,34	7,99	35,72	24,95
EDH-GSC-13-241*	1,32	0,06	12,11	0,26	2,40	0,06	0,19	-0,08	1,50	7,98	35,88	25,48
EDH-GSC-13-248B*	1,33	0,07	13,76	0,94	2,22	0,05	0,41	-0,17	1,65	8,59	36,25	23,42
EDH-GSC-13-021*	1,65	0,05	3,70	1,27	2,56	0,05	0,43	-0,18	1,54	10,15	37,15	28,30
EDH-GSC-13-021*	1,57	0,06	3,81	0,59	2,88	0,04	0,53	-0,22	1,34	10,41	37,47	28,21
EDH-GSC-13-021*	1,48	0,06	3,46	1,14	2,64	0,07	0,36	-0,15	1,50	10,20	37,63	28,38
EDH-GSC-13-026*	1,26	0,06	3,03	0,00	2,37	0,06	0,67	-0,28	1,23	9,72	36,35	30,65
EDH-GSC-13-026*	1,01	0,10	2,90	0,08	2,05	0,06	0,37	-0,16	1,52	9,60	37,21	31,81
EDH-GSC-13-026*	1,44	0,07	4,33	0,06	1,97	0,05	0,25	-0,11	2,25	8,51	39,54	29,49
EDH-GSC-13-026*	1,80	0,07	3,32	0,04	2,45	0,07	0,15	-0,06	1,44	9,73	37,05	30,69
EDH-GSC-13-026*	1,78	0,06	2,80	0,04	2,35	0,06	0,28	-0,12	1,58	10,23	37,48	31,13

* Données d'Ingrid Kjarsgaard

SULFURES	Description	Minéral	Lithologie	Ni	Fe	S	Pb	Co	Cu	Zn	As	Sb	Au	Bi	Total
EDH-GSC-13-005 (1) *	inclusions euhédrale en bordure de pyrrhotite	Arsénopyrite	Bande de remplacement métasomatique	1,1	30,8	20,2	0,0	4,0	0,0	0,0	44,8	0,0	0,0	0,0	101,5
EDH-GSC-13-005 (2) *	arsénopyrite euhédrale zonée, zone claire	Arsénopyrite	Bande de remplacement métasomatique	1,1	32,0	17,5	0,0	1,0	0,0	0,0	48,1	0,1	0,1	0,1	100,4
EDH-GSC-13-005 (2) *	arsénopyrite euhédrale zonée, zone foncée	Arsénopyrite	Bande de remplacement métasomatique	0,0	35,2	20,4	0,0	0,0	0,0	0,0	44,7	0,0	0,0	0,3	100,8
EDH-GSC-13-005 (3) *	arsénopyrite euhédrale dans clinozoïsite	Arsénopyrite	Bande de remplacement métasomatique	0,7	32,9	18,1	0,0	1,1	0,0	0,1	47,7	0,0	0,0	0,0	100,9
EDH-GSC-13-005 (4) *	coeur d'une arsénopyrite avec löllingite	Arsénopyrite	Bande de remplacement métasomatique	2,0	32,5	18,0	0,0	0,6	0,0	0,0	48,1	0,0	0,1	0,1	101,5
EDH-GSC-13-011 (4) *	fine arsénopyrite dans grenat-clinopyroxène	Arsénopyrite	Formation cherteuse	1,6	31,5	17,3	0,0	1,7	0,0	0,0	48,9	0,0	0,0	0,0	101,6
EDH-GSC-13-011 (4) *	fine arsénopyrite arrondie dans épidote-grenat-clinopyroxène	Arsénopyrite	Formation cherteuse	0,2	32,8	18,5	0,0	1,1	0,0	0,1	46,7	0,0	0,0	0,1	99,8
EDH-GSC-13-011 (6) *	intercroissance d'arsénopyrite et d'épidote dans clinopyroxène	Arsénopyrite	Formation cherteuse	0,7	32,7	17,6	0,0	1,4	0,0	0,0	48,1	0,0	0,0	0,2	100,8
EDH-GSC-13-013 (2) *	arsénopyrite grossière	Arsénopyrite	Veine	0,3	34,7	18,8	0,0	0,3	0,0	0,0	46,7	0,0	0,0	0,1	101,3
EDH-GSC-13-013 (4) *	grain fin arrondi, coeur	Arsénopyrite	Veine	0,3	34,3	18,9	0,0	0,1	0,0	0,0	46,4	0,0	0,0	0,1	100,5
EDH-GSC-13-013 (4) *	grain fin arrondi, bordure	Arsénopyrite	Veine	0,3	33,6	19,2	0,0	0,0	0,0	0,0	46,2	0,0	0,0	0,2	99,8
EDH-GSC-13-013 (5) *	arsénopyrite homogène et subeuhédrale dans poeciloblastes d'amphibole	Arsénopyrite	Veine	0,7	33,9	18,6	0,0	0,4	0,0	0,0	46,8	0,0	0,0	0,2	101,0
EDH-GSC-13-021 (2) *	arsénopyrite grossière euhédrale	Arsénopyrite	Wacke	0,0	34,9	19,1	0,0	0,0	0,0	0,0	45,9	0,0	0,0	0,2	100,4
EDH-GSC-13-021 (3) *		Arsénopyrite	Wacke	0,1	34,6	18,4	0,0	0,1	0,0	0,0	47,1	0,0	0,0	0,1	100,7
EDH-GSC-13-021 (4) *	intercroissance avec de la löllingite et de la dravite	Arsénopyrite	Wacke	0,3	34,3	18,5	0,0	0,1	0,0	0,0	46,8	0,0	0,0	0,2	100,7
EDH-GSC-13-021 (4) *	parfaitement euhédrale	Arsénopyrite	Wacke	0,0	35,3	18,9	0,0	0,0	0,0	0,1	46,5	0,0	0,1	0,1	101,0
EDH-GSC-13-039 (2) *	fracturé, zone claire	Arsénopyrite	Pegmatite	0,0	34,2	18,3	0,1	0,0	0,0	0,0	46,7	0,0	0,0	0,2	99,6
EDH-GSC-13-039 (2) *	fracturé, zone foncée	Arsénopyrite	Pegmatite	0,0	35,5	20,3	0,1	0,0	0,0	0,0	44,1	0,0	0,0	0,1	100,3
EDH-GSC-13-039 (4) *	arsénopyrite euhédrale zonée	Arsénopyrite	Pegmatite	0,0	34,9	18,4	0,1	0,0	0,0	0,0	46,6	0,0	0,0	0,2	100,4
EDH-GSC-13-140 (1) *	arsénopyrite en bordure de löllingite	Arsénopyrite	Wacke lité	0,5	34,7	19,7	0,0	0,0	0,0	0,0	45,0	49,1	40,4	5,7	100,3
EDH-GSC-13-140 (1) *	arsénopyrite en bordure avec inclusions de löllingite	Arsénopyrite	Wacke lité	0,2	34,5	19,2	0,0	0,1	0,0	0,0	45,9	0,0	89,5	0,0	100,5
EDH-GSC-13-140 (3) *	arsénopyrite à inclusions d'or	Arsénopyrite	Wacke lité	0,0	34,6	19,3	0,1	0,1	0,0	0,0	45,3	0,2	0,0	0,0	100,1
EDH-GSC-13-140 (3) *	arsénopyrite à inclusions d'or, zone claire	Arsénopyrite	Wacke lité	0,4	33,4	17,2	0,0	0,1	0,0	0,0	47,1	0,0	0,0	0,0	100,2
EDH-GSC-13-140 (4) *	arsénopyrite grossière à inclusions de löllingite	Arsénopyrite	Wacke lité	0,0	34,5	18,8	0,1	0,0	0,0	0,0	46,2	0,4	0,0	0,0	100,2
EDH-GSC-13-146B (1) *	arsénopyrite en bordure de löllingite	Arsénopyrite	Wacke lité	2,4	32,4	18,9	0,0	0,1	0,0	0,0	45,6	0,2	0,0	0,0	100,2
EDH-GSC-13-146B (3) *	arsénopyrite intersticielle entre du quartz	Arsénopyrite	Wacke lité	0,0	35,3	19,7	0,1	0,0	0,0	0,0	44,6	0,0	0,0	0,1	100,6
EDH-GSC-13-146B (4) *	arsénopyrite en bordure de löllingite	Arsénopyrite	Wacke lité	0,2	34,4	18,9	0,0	0,2	0,0	0,0	46,3	0,0	0,0	0,1	100,6
EDH-GSC-13-155 (4) *	euhédrale	Arsénopyrite	Schiste à biotite-amphibole	3,1	29,9	16,0	0,0	1,0	0,0	0,0	49,0	47,1	42,3	8,9	100,6
EDH-GSC-13-155 (6) *		Arsénopyrite	Schiste à biotite-amphibole	3,0	29,2	16,0	0,0	1,8	0,0	0,0	48,7	0,0	95,6	0,0	100,5
EDH-GSC-13-165 (2) *	coeur clair	Arsénopyrite	Veine	0,3	34,0	18,1	0,0	0,1	0,0	0,0	47,7	0,0	0,0	0,0	100,7
EDH-GSC-13-165 (2) *	zone sombre en bordure	Arsénopyrite	Veine	0,0	34,7	20,2	0,0	0,0	0,0	0,0	44,5	0,0	0,0	0,0	100,3
EDH-GSC-13-165 (4) *		Arsénopyrite	Veine	0,3	34,8	18,6	0,0	0,2	0,0	0,0	47,1	0,0	0,1	0,0	101,4
EDH-GSC-13-169 (6) *	coeur	Arsénopyrite	Veine	0,2	34,6	18,6	0,0	0,0	0,0	0,0	47,0	0,0	0,0	0,1	101,0
EDH-GSC-13-169 (8) *	grossière avec de nombreuses inclusions	Arsénopyrite	Veine	0,2	35,2	18,9	0,1	0,0	0,0	0,0	46,8	54,5	0,0	0,3	101,6
EDH-GSC-13-169 (8) *	grossière avec de nombreuses inclusions	Arsénopyrite	Veine	2,5	31,0	16,5	0,0	0,6	0,0	0,0	50,2	0,0	0,0	0,0	101,4
EDH-GSC-13-169 (8) *	grain carré, bordure externe claire	Arsénopyrite	Veine	0,1	35,4	19,8	0,0	0,0	0,0	0,0	46,1	0,0	0,1	0,1	101,9
EDH-GSC-13-169 (8) *	grain carré, coeur foncé	Arsénopyrite	Veine	0,0	36,3	22,2	0,0	0,0	0,0	0,1	42,7	0,0	0,0	0,1	101,6
EDH-GSC-13-201 (4) *	intercroissance avec de la pyrrhotite	Arsénopyrite	Paragneiss	0,4	34,4	19,8	0,0	0,2	0,0	0,0	45,2	0,7	0,0	0,0	100,5
EDH-GSC-13-201 (6) *	milieu d'une arsénopyrite large	Arsénopyrite	Paragneiss	1,9	31,3	16,8	0,0	0,8	0,0	0,0	48,7	0,2	0,2	0,0	100,8
EDH-GSC-13-201 (6) *	bordure d'une arsénopyrite large	Arsénopyrite	Paragneiss	0,3	34,3	19,6	0,0	0,2	0,0	0,0	45,2	0,0	87,4	0,0	100,1
EDH-GSC-13-201 (6) *	euhédrale	Arsénopyrite	Paragneiss	2,0	32,7	18,8	0,0	0,0	0,0	0,0	46,0	0,4	0,0	0,1	100,3
EDH-GSC-13-201 (7) *	zonée, coeur	Arsénopyrite	Paragneiss	1,8	31,1	16,7	0,0	0,8	0,0	0,0	49,5	48,8	41,6	9,4	101,1
EDH-GSC-13-201 (7) *	zonée, bordure	Arsénopyrite	Paragneiss	0,7	33,6	19,2	0,0	0,5	0,0	0,0	45,7	62,3	30,2	0,8	100,3
EDH-GSC-13-208 (5) *		Arsénopyrite	Paragneiss	0,1	35,1	18,9	0,0	0,2	0,0	0,0	46,3	0,0	87,3	0,0	101,6
EDH-GSC-13-208 (6) *	aculaire et homogène	Arsénopyrite	Paragneiss	0,0	35,6	19,8	0,0	0,0	0,0	0,0	44,1	0,0	0,0	0,0	101,6
EDH-GSC-13-208 (7) *	allongée	Arsénopyrite	Paragneiss	0,1	35,3	19,1	0,0	0,1	0,0	0,0	45,7	0,0	0,0	0,2	101,5
EDH-GSC-13-220 (2) *	euhédrale avec des inclusions de pyrrhotite	Arsénopyrite	Wacke	0,0	35,6	19,9	0,0	0,0	0,0	0,0	45,2	0,0	0,0	0,3	101,3
EDH-GSC-13-220 (3) *	grain fin euhédrale en intercroissance avec de la prehnite-pumpwellite-actinolite	Arsénopyrite	Wacke	0,0	34,9	20,0	0,0	0,0	0,0	0,0	44,4	0,1	0,0	0,1	99,7
EDH-GSC-13-220 (4) *	euhédrale	Arsénopyrite	Wacke	0,0	34,9	18,6	0,0	0,0	0,0	0,0	45,9	0,0	0,1	0,0	99,9

* Données d'Ingrid Kjarsgaard

SULFURES															
	Description	Minéral	Lithologie	Ni	Fe	S	Pb	Co	Cu	Zn	As	Sb	Au	Bi	Total
EDH-GSC-13-225 (3)*	grossière avec de nombreuses inclusions, bordure	Arsénopyrite	Wacke	0,3	34,4	18,6	0,0	0,4	0,0	0,0	46,0	0,0	0,0	0,0	100,1
EDH-GSC-13-225 (3)*	grossière avec de nombreuses inclusions	Arsénopyrite	Wacke	0,4	33,1	18,3	0,0	1,1	0,0	0,0	47,2	0,2	0,2	0,1	100,7
EDH-GSC-13-231 (1)*	coeur englobé de gatène	Arsénopyrite	Wacke	1,3	32,3	18,0	0,1	0,7	0,0	0,0	47,0	0,0	0,0	0,0	100,3
EDH-GSC-13-231 (2)*		Arsénopyrite	Wacke	0,0	34,7	19,4	0,0	0,0	0,0	0,0	45,1	0,0	0,1	0,9	99,7
EDH-GSC-13-231 (2)*	grossière	Arsénopyrite	Wacke	0,0	35,4	19,9	0,0	0,0	0,0	0,0	44,5	0,0	0,0	0,1	100,3
EDH-GSC-13-231 (5)*	grossière, loqueteuse	Arsénopyrite	Wacke	0,0	35,3	19,6	0,0	0,0	0,0	0,1	45,2	0,0	0,0	0,1	100,6
13-123 2-3	bordure	Arsénopyrite	Wacke lité	0,2	35,2	18,4	0,0	0,0	0,0	0,0	45,7				99,6
13-123 1-1	grain fin	Arsénopyrite	Wacke lité	0,0	35,5	18,2	0,0	0,0	0,1	0,0	46,2				100,1
13-123 1-5	grain fin	Arsénopyrite	Wacke lité	0,0	35,5	18,6	0,1	0,1	0,0	0,0	46,1				100,2
13-87B 3-1		Arsénopyrite	Tourmalinite	0,1	35,3	18,3	0,0	0,1	0,0	0,0	46,1				99,9
13-87B 2-1	bordure homogène	Arsénopyrite	Tourmalinite	0,0	35,6	19,0	0,0	0,0	0,0	0,0	45,5				100,1
13-87B 2-2	spongieux	Arsénopyrite	Tourmalinite	0,1	34,9	18,3	0,0	0,1	0,0	0,0	46,3				99,7
13-87B 2-3	coeur spongieux	Arsénopyrite	Tourmalinite	0,3	35,4	18,8	0,0	0,0	0,0	0,0	45,8				100,3
13-87B 1-1	spongieuse, coeur	Arsénopyrite	Tourmalinite	0,7	34,9	18,9	0,0	0,1	0,0	0,0	45,5				100,2
13-87B 1-2	spongieuse, bordure	Arsénopyrite	Tourmalinite	0,0	35,0	18,3	0,0	0,0	0,0	0,0	46,4				99,7
13-027 1-1	fortement fracturée avec du graphite	Paragneiss	Paragneiss	0,1	34,1	17,7	0,0	0,0	0,0	0,0	46,7				98,7
13-027 1-2	fortement fracturée avec du graphite	Arsénopyrite	Paragneiss	0,1	34,4	17,9	0,0	0,0	0,0	0,0	46,9				99,3
13-027 1-3	fortement fracturée avec du graphite	Paragneiss	Paragneiss	0,0	35,2	18,1	0,1	0,0	0,0	0,0	46,4				99,8
13-027 2-1	avec du graphite	Arsénopyrite	Paragneiss	0,1	35,4	18,6	0,1	0,0	0,0	0,0	45,9				100,1
13-027 3-1	coeur automorphe	Arsénopyrite	Paragneiss	0,1	34,8	18,1	0,0	0,0	0,1	0,0	46,6				99,7
13-260 3-3	apy in cn with po and with inc of apy	Arsénopyrite	Paragneiss	0,0	35,4	17,9	0,0	0,0	0,0	0,0	47,2				100,6
13-260 2-4	bordure entre grain de löllingite	Arsénopyrite	Paragneiss	0,0	35,4	18,3	0,0	0,0	0,0	0,0	46,5				100,3
13-260 2-1	coeur	Arsénopyrite	Paragneiss	0,1	35,7	19,8	0,1	0,0	0,0	0,0	44,6				100,2
13-260 1-3	coeur	Arsénopyrite	Paragneiss	0,5	33,6	17,8	0,0	0,1	0,0	0,0	46,6				98,7
13-056 3-3	bordure	Arsénopyrite	Pegmatite	0,0	35,5	19,6	0,1	0,0	0,0	0,0	44,2				99,4
13-056 3-1	coeur ou fracture	Arsénopyrite	Pegmatite	0,1	35,3	18,1	0,5	0,0	0,0	0,0	46,3				100,3
13-056 2-2		Arsénopyrite	Pegmatite	0,0	35,6	18,0	0,0	0,0	0,1	0,0	47,2				100,9
13-051 1-1		Arsénopyrite	Pegmatite	0,0	35,4	17,8	0,0	0,0	0,0	0,0	47,1				100,3
13-051 1-2		Arsénopyrite	Pegmatite	0,0	36,6	20,2	0,0	0,0	0,0	0,0	44,1				100,9
13-051 1-8	coeur couronne	Arsénopyrite	Pegmatite	0,0	35,1	17,8	0,0	0,0	0,0	0,0	47,0				100,0
13-051 1-9		Arsénopyrite	Pegmatite	0,1	36,3	20,0	0,0	0,0	0,0	0,0	44,4				100,7
13-051 1-10	coeur couronne	Arsénopyrite	Pegmatite	0,0	35,4	18,1	0,0	0,0	0,1	0,0	46,8				100,4
13-051 1-11		Arsénopyrite	Pegmatite	0,0	35,9	20,6	0,0	0,0	0,0	0,0	43,4				99,9
13-0007 1-2	crystal automorphe	Arsénopyrite	Formation cherteuse	0,0	34,9	18,1	0,0	0,0	0,0	0,0	46,8				99,8
13-0007 2-1	coeur	Arsénopyrite	Formation cherteuse	0,2	34,8	17,8	0,0	0,1	0,0	0,0	47,4				100,3
13-0007 2-3		Arsénopyrite	Formation cherteuse	0,8	33,6	18,0	0,1	0,9	0,0	0,1	46,7				100,1
13-0007 3-1		Arsénopyrite	Formation cherteuse	0,1	35,4	18,6	0,1	0,0	0,0	0,0	46,0				100,2
13-0007 3-3		Arsénopyrite	Formation cherteuse	0,1	34,6	17,9	0,0	0,0	0,0	0,0	47,0				99,6
13-247 1-1	en contact avec de la pyrrhotite, aciculaire	Arsénopyrite	Porphyre dionitique	0,3	36,2	20,8	0,0	0,0	0,0	0,0	43,4				100,8
13-247 2-1	en contact avec de la pyrrhotite	Arsénopyrite	Porphyre dionitique	0,4	35,5	20,1	0,0	0,0	0,0	0,0	43,6				99,5
13-247 3-3	bordure sans inc	Arsénopyrite	Porphyre dionitique	0,0	36,3	20,9	0,1	0,0	0,0	0,0	43,0				100,3
13-146B 4-5		Arsénopyrite	Wacke lité	0,6	34,5	18,6	0,0	0,2	0,0	0,0	44,6				98,5
13-146B 4-2		Arsénopyrite	Wacke lité	0,2	35,0	19,3	0,1	0,0	0,0	0,0	43,0				97,7
13-146B 3-4		Arsénopyrite	Wacke lité	0,3	34,7	17,9	0,0	0,2	0,0	0,0	47,3				100,4
13-146B 3-6		Arsénopyrite	Wacke lité	0,1	34,6	17,7	0,0	0,2	0,0	0,0	46,9				99,5
13-146B 3-8		Arsénopyrite	Wacke lité	0,1	35,7	18,5	0,0	0,1	0,0	0,0	45,6				100,0
13-146B 2-1	sigmoidale avec des inclusions orientées	Arsénopyrite	Wacke lité	0,0	36,1	19,2	0,0	0,0	0,0	0,0	45,0				100,3
13-146B 2-3	sigmoidale avec des inclusions orientées	Arsénopyrite	Wacke lité	0,2	34,7	17,8	0,1	0,2	0,0	0,0	46,8				99,8

* Données d'Ingrid Kjørgaard

SULFURES															
Description	Minéral	Lithologie	Ni	Fe	S	Pb	Co	Cu	Zn	As	Sb	Au	Bi	Total	
EDH-GSC-13-140 (3)*	inclusions dans arsénopyrite	Aurostibine	Wacke lité	1,7	1,0	0,1	0,2	0,1	0,3	0,4	0,0	0,0	90,4	0,0	101,4
EDH-GSC-13-140 (3)*	inclusions dans arsénopyrite	Aurostibine	Wacke lité	1,5	1,0	0,1	0,0	0,0	0,0	0,0	0,6	0,5	0,0	0,0	98,4
EDH-GSC-13-165 (2)*	inclusions dans arsénopyrite euhédrale	Aurostibine	Veine	0,2	1,9	0,2	0,0	0,0	0,0	0,0	0,7	0,2	0,0	0,0	101,3
EDH-GSC-13-165 (2)*	inclusions dans arsénopyrite euhédrale	Aurostibine	Veine	0,2	1,8	0,2	0,0	0,0	0,0	0,0	0,5	0,0	0,0	0,0	101,3
EDH-GSC-13-208 (5)*	avec hessite dans arsénopyrite	Aurostibine	Paragneiss	3,3	0,2	0,0	0,0	0,0	0,0	0,0	0,3	68,0	0,0	0,0	101,0
EDH-GSC-13-208 (5)*	dans la matrice	Aurostibine	Paragneiss	0,8	0,1	0,0	0,0	0,0	0,0	0,0	0,1	0,0	0,0	0,2	101,1
EDH-GSC-13-208 (6)*	intercroissance avec de l'or et de la pyrrhotite	Aurostibine	Paragneiss	5,8	0,2	0,0	0,0	0,0	0,0	0,0	0,2	0,0	0,0	0,1	100,0
EDH-GSC-13-208 (5)*	avec de l'aurostibine dans arsénopyrite	Bismuth	Paragneiss	0,0	0,9	0,0	0,0	0,0	0,0	0,0	18,7	0,1	78,9	0,0	99,3
EDH-GSC-13-208 (6)*	intercroissance avec de l'or	Bismuth	Paragneiss	0,0	0,5	0,0	0,0	0,0	0,0	0,1	0,0	0,9	0,0	0,0	97,9
13-051 1-5		Bornite	Pegmatite	0,0	11,7	25,3	0,0	0,0	61,5	0,0	0,0				98,6
EDH-GSC-13-146B (7)*	en bordure de pyrrhotite	Breithauptite	Wacke lité	32,5	0,9	0,1	0,0	0,0	0,2	0,0	0,4	1,3	0,0	0,0	98,6
EDH-GSC-13-208 (6)*		Breithauptite	Paragneiss	31,8	0,1	0,0	0,0	0,0	0,0	0,1	0,3	0,0	0,0	0,1	100,8
13-051 1-4		Chalcopyrite	Pegmatite	0,0	30,5	33,9	0,1	0,0	34,1	0,0	0,0				98,7
13-051 1-7	en contact avec des inclusions d'or	Chalcopyrite	Pegmatite	0,0	29,6	30,4	4,1	0,0	26,6	0,0	7,1				97,9
13-247 1-4	en contact avec de la pyrrhotite	Chalcopyrite	Porphyre dioritique	0,0	30,8	33,7	0,1	0,0	33,6	0,0	0,0				98,2
13-010 3-2	en inclusions dans la pyrite	Chalcopyrite	Wacke à aluminosilicates	0,1	30,2	33,8	0,1	0,0	33,7	0,0	0,0				97,8
EDH-GSC-13-005 (5) *	en intercroissance avec de la pyrrhotite	Chalcopyrite	Bande de remplacement métasomatique	0,0	30,6	34,7	0,0	0,0	33,6	0,0	0,0	0,0	0,0	0,0	99,0
EDH-GSC-13-013 (4)*	anhédrale en intercroissance avec de la pyrrhotite	Chalcopyrite	Veine	0,0	30,6	34,9	0,0	0,0	35,1	0,0	0,0	0,0	0,1	0,1	100,8
EDH-GSC-13-021 (3)*	en intercroissance avec de la pyrrhotite	Chalcopyrite	Wacke	0,0	30,9	34,4	0,0	0,0	34,7	0,1	0,1	0,0	0,0	0,1	100,5
EDH-GSC-13-026 (7)*		Chalcopyrite	Paragneiss	0,1	30,2	34,8	0,0	0,0	34,9	0,1	0,0	0,1	0,1	0,1	100,5
EDH-GSC-13-081 (1)*	grain fin en intercroissance avec de la pyrrhotite	Chalcopyrite	Wacke AlSi	0,0	29,2	34,5	0,0	0,0	34,3	0,0	0,0	0,1	0,0	0,0	98,2
EDH-GSC-13-146B (7)*	entre deux grains de pyrrhotite	Chalcopyrite	Wacke lité	0,0	31,0	34,5	0,0	0,0	34,9	0,0	0,0	0,0	0,1	0,1	100,5
EDH-GSC-13-155 (2)*	en intercroissance avec de la pyrrhotite	Chalcopyrite	Schiste à biotite-amphibole	0,1	30,9	34,4	0,1	0,0	35,0	0,0	0,0	0,0	0,0	0,1	100,6
EDH-GSC-13-165 (2)*	grain fin adjacent à de la pyrrhotite	Chalcopyrite	Veine	0,0	30,7	34,6	0,0	0,0	34,2	0,1	0,0	0,0	0,0	0,1	99,7
EDH-GSC-13-165 (6)*	dans émulsion avec de la clinzoisite	Chalcopyrite	Veine	0,0	29,8	34,9	0,0	0,0	34,7	0,1	0,0	0,0	0,0	0,1	99,7
EDH-GSC-13-165 (6)*	en intercroissance avec de la sphalérite et clinzoisite	Chalcopyrite	Veine	0,0	29,9	34,7	0,0	0,0	34,3	0,3	0,0	0,0	0,1	0,1	99,3
EDH-GSC-13-180 (2)*	en intercroissance avec de la pyrrhotite et de la clinzoisite	Chalcopyrite	Paragneiss	0,0	30,9	34,6	0,0	0,0	34,6	0,1	0,0	0,0	0,0	0,1	100,4
EDH-GSC-13-180 (3)*	dans pyrrhotite	Chalcopyrite	Paragneiss	0,1	32,2	34,8	0,0	0,0	33,1	0,1	0,0	0,0	0,0	0,1	100,4
EDH-GSC-13-180 (4)*	en intercroissance avec pyrrhotite et pyrite	Chalcopyrite	Paragneiss	0,0	30,6	34,7	0,0	0,0	34,5	0,0	0,0	0,0	0,1	0,1	100,0
EDH-GSC-13-201 (5)*	en intercroissance avec pyrrhotite anhédrale	Chalcopyrite	Paragneiss	0,0	30,5	34,3	0,0	0,0	34,1	0,0	0,0	0,0	0,0	0,1	99,1
EDH-GSC-13-201 (6)*	en intercroissance avec pyrrhotite anhédrale	Chalcopyrite	Paragneiss	0,0	30,0	34,5	0,0	0,0	34,8	0,0	0,0	0,0	0,0	0,1	99,5
EDH-GSC-13-208 (5)*		Chalcopyrite	Paragneiss	0,0	30,7	34,6	0,0	0,0	34,8	0,0	0,0	0,0	0,1	0,1	100,4
EDH-GSC-13-208 (7)*	en intercroissance avec de la pyrrhotite	Chalcopyrite	Paragneiss	0,0	30,5	34,5	0,0	0,0	34,7	0,0	0,0	0,1	0,1	0,0	99,9
EDH-GSC-13-225 (7)*	grain subeuhédral	Chalcopyrite	Wacke	0,0	30,2	34,5	0,0	0,0	34,2	0,0	0,0	0,2	0,0	0,0	99,0
EDH-GSC-13-241 (11)*	grain fin dans la gangue	Chalcopyrite	Brèche à tourmaline	0,0	30,1	34,5	0,0	0,0	34,4	0,1	0,0	0,0	0,0	0,3	99,3
EDH-GSC-13-241 (9)*	en intercroissance avec stiptomelane	Chalcopyrite	Brèche à tourmaline	0,1	30,8	34,4	0,0	0,0	34,5	0,0	0,0	0,0	0,0	0,0	100,0
EDH-GSC-13-248B (1) *															
EDH-GSC-13-081 (1)*	en inclusions dans pyrite	Chalcopyrite	Porphyre dioritique	0,0	30,8	34,6	0,0	0,0	33,8	0,0	0,0				99,2
EDH-GSC-13-155 (2)*	dans la matrice	Cobaltite	Wacke AlSi	9,0	5,6	20,4	0,0	20,2	0,0	0,0	43,7	0,0	0,0	0,1	99,9
EDH-GSC-13-155 (2)*	grain fin en bordure de pyrrhotite	Cobaltite	Schiste à biotite-amphibole	9,5	12,6	21,9	0,0	15,0	0,1	0,1	38,7	1,0	0,0	0,1	99,0
EDH-GSC-13-263 (4) *	grain fin	Cobaltite	Schiste à biotite-amphibole	14,2	2,9	20,8	0,0	18,0	0,0	0,0	43,0				99,2
EDH-GSC-13-013 (3)*	fine, en inclusions	Galène	Veine	0,0	0,0	14,5	85,0	0,0	0,0	0,0	0,0	0,0	0,1	0,1	99,7
EDH-GSC-13-155 (4)*	dans la matrice, euhédrale	Galène	Schiste à biotite-amphibole	0,1	0,0	14,5	84,7	0,0	0,0	0,0	0,0	0,2	0,0	0,0	99,6
EDH-GSC-13-169 (5)*	dans arsénopyrite	Galène	Veine	0,0	0,8	14,0	84,1	0,0	0,0	0,0	0,3	0,0	0,0	0,1	99,7
EDH-GSC-13-169 (7)*	fine dans la gangue	Galène	Veine	0,0	0,3	14,7	84,3	0,0	0,0	0,1	0,0	0,0	0,0	0,1	101,3
EDH-GSC-13-169 (8)*	en inclusions dans arsénopyrite	Galène	Veine	0,1	4,6	14,1	79,1	0,0	0,0	0,1	3,1	0,0	0,0	0,1	101,4
EDH-GSC-13-231 (1)*	en inclusions dans arsénopyrite	Galène	Wacke	0,0	1,2	13,6	83,2	0,0	0,0	0,0	0,1	0,1	0,3	2,3	99,8
EDH-GSC-13-231 (5)*	en intercroissance avec arsénopyrite loqueteuse	Galène	Wacke	0,2	0,4	13,8	80,9	0,1	0,3	0,5	0,0	0,9	0,2	0,1	100,6
EDH-GSC-13-231 (5)*	en intercroissance avec arsénopyrite loqueteuse	Galène	Wacke	0,0	2,0	13,3	71,9	0,0	0,0	0,0	4,1	0,0	0,1	0,1	93,0
EDH-GSC-13-241 (1) *	en frontière de grain	Galène	Brèche à tourmaline	0,0	0,6	13,5	83,8	0,0	0,0	0,0	0,0	0,0	0,0	0,1	100,2
EDH-GSC-13-241 (10)*	en inclusions dans l'uraninite	Galène	Brèche à tourmaline	0,0	0,2	13,6	84,1	0,0	0,1	0,0	0,0	56,2	0,0	0,1	98,2
EDH-GSC-13-248B (7)*	grain fin en inclusions dans la pyrite	Galène	Porphyre dioritique	0,0	1,2	14,0	84,8	0,0	0,0	0,0	0,0				101,6

* Données d'Ingrid Kjarsgaard

SULFURES	Description	Minéral	Lithologie	Ni	Fe	S	Pb	Co	Cu	Zn	As	Sb	Au	Bi	Total
13-051 1-3		Galène	Pegmatite	0,0	0,0	13,1	85,3	0,0	0,3	0,0	0,0				98,8
13-051 1-6		Galène	Pegmatite	0,0	0,7	13,1	85,1	0,0	0,1	0,0	0,3				99,2
EDH-GSC-13-011 (2) *	grain fin anhédrale avec épidote	Gersdorffite	Formation cherteuse	14,0	10,7	18,9	0,0	10,0	0,0	0,0	45,7	0,0	0,0	0,0	100,0
EDH-GSC-13-155 (4)*	grain fin euhédrale	Gersdorffite	Schiste à biotite-amphibole	22,2	9,6	16,7	0,0	3,0	0,1	0,1	47,7	0,0	0,0	0,2	101,7
EDH-GSC-13-155 (4)*	grain fin euhédrale	Gersdorffite	Schiste à biotite-amphibole	22,3	9,6	16,9	0,0	2,9	0,0	0,0	47,0	0,3	0,0	0,1	100,5
EDH-GSC-13-155 (6)*	subeuhédrale	Gersdorffite	Schiste à biotite-amphibole	17,4	14,7	17,2	0,0	3,2	0,0	0,0	46,8	0,0	0,0	0,1	100,8
EDH-GSC-13-201 (5)*	grain fin dans gangue	Gersdorffite	Paragneiss	17,9	14,0	17,7	0,0	1,0	0,0	0,0	47,2	1,1	0,2	0,0	98,9
EDH-GSC-13-201 (6)*	coeur d'une arsénopyrite	Gersdorffite	Paragneiss	22,5	9,6	14,9	0,0	1,8	0,0	0,0	50,3	0,7	0,1	0,1	100,2
EDH-GSC-13-231 (2)*	en agrégats	Gersdorffite	Wacke	21,1	11,8	18,4	0,0	2,3	0,0	0,1	45,7	0,0	0,0	0,1	99,9
EDH-GSC-13-231 (2)*	dans la gangue	Gersdorffite	Wacke	20,9	11,1	17,2	0,0	2,9	0,0	0,0	47,6	0,0	0,0	1,1	100,1
EDH-GSC-13-231 (2)*	en intercroissance avec de l'arsénopyrite	Gersdorffite	Wacke	24,7	6,8	13,0	0,0	1,3	0,0	0,1	52,3	0,0	0,0	0,0	99,3
EDH-GSC-13-241 (11) *	euhédrale dans la gangue	Gersdorffite	Brèche à tourmaline	30,1	3,3	19,3	0,0	2,8	0,0	0,0	43,7	0,0	0,1	0,0	100,6
EDH-GSC-13-241 (11) *	en intercroissance avec de la chalcopryrite	Gersdorffite	Brèche à tourmaline	27,5	7,1	19,3	0,0	1,5	0,2	0,0	44,4	0,0	0,0	0,2	100,6
EDH-GSC-13-241 (9) *	en intercroissance avec du stiplomelane	Gersdorffite	Brèche à tourmaline	17,4	11,2	20,0	0,0	7,3	0,3	0,1	44,0	0,0	0,0	0,1	100,8
EDH-GSC-13-263 (4) *	grain fin dans cobaltite	Gersdorffite	Schiste à biotite-amphibole	15,9	6,1	20,0	0,0	15,2	0,0	0,0	45,1				102,8
EDH-GSC-13-140 (3)*	en inclusions dans arsénopyrite spongieuse	Or	Wacke lité	0,1	0,0	0,0	0,0	0,0	0,1	0,0	0,4	0,2	0,0	0,1	102,3
EDH-GSC-13-140 (3)*	en bordure d'une inclusions d'aurostibine dans arsénopyrite	Or	Wacke lité	0,0	0,0	0,0	0,1	0,2	0,0	0,0	0,0	0,0	0,0	0,1	103,9
EDH-GSC-13-140 (6)*	dans löllingite dans arsénopyrite	Or	Wacke lité	0,0	0,0	0,0	0,0	0,0	0,1	0,0	0,4	0,1	0,2	0,1	100,6
EDH-GSC-13-146B (3)*	intersticielle entre grain de dravite	Or	Wacke lité	0,0	0,0	0,0	0,0	0,0	0,4	0,0	0,0	0,0	0,0	0,1	99,8
EDH-GSC-13-146B (6)*	euhédrale dans matrice	Or	Wacke lité	0,0	0,0	0,0	0,0	0,0	0,4	0,0	0,0	0,4	0,0	0,1	98,8
EDH-GSC-13-165 (2)*	inclusion dans arsénopyrite	Or	Veine	0,0	0,0	0,2	0,0	0,0	0,1	0,0	0,2	0,0	0,0	0,2	101,1
EDH-GSC-13-165 (4)*	inclusion fine dans löllingite grossière	Or	Veine	0,1	0,0	0,1	0,0	0,0	0,2	0,0	0,3	0,0	90,7	0,1	102,5
EDH-GSC-13-169 (4)*	dans löllingite bordé par de l'arsénopyrite	Or	Veine	0,0	0,0	0,1	0,0	0,0	0,0	0,0	0,2	0,0	0,0	0,1	100,3
EDH-GSC-13-169 (4)*	dans löllingite bordé par de l'arsénopyrite	Or	Veine	0,1	0,0	0,1	0,0	0,0	0,0	0,0	0,3	57,4	0,0	0,1	100,2
EDH-GSC-13-208 (3)*	grossier	Or	Paragneiss	0,0	0,0	0,0	0,0	0,0	0,0	0,0	0,0	1,2	0,0	96,0	101,0
EDH-GSC-13-208 (4)*	or remobilisé avec une multitude d'inclusions dans l'arsénopyrite	Or	Paragneiss	0,0	0,0	0,0	0,0	0,0	0,0	0,0	0,0	1,5	0,0	0,0	101,1
EDH-GSC-13-208 (6)*	en intercroissance avec de l'arsénopyrite	Or	Paragneiss Bande de remplacement métasomatique	0,0	0,0	0,1	0,0	0,0	0,0	0,0	0,1	0,0	0,1	0,1	101,8
EDH-GSC-13-005 (4) *	au coeur d'une arsénopyrite carré	Löllingite		3,6	24,0	2,0	0,1	1,0	0,0	0,0	70,0	0,0	0,0	0,1	101,2
EDH-GSC-13-021 (3)*	fracturée avec intercroissance d'arsénopyrite	Löllingite	Wacke	0,4	28,5	2,5	0,1	0,1	0,0	0,0	68,1	0,0	0,1	0,2	101,2
EDH-GSC-13-021 (4)*	grossière en intercroissance avec de l'arsénopyrite	Löllingite	Wacke	0,3	28,4	2,5	0,1	0,1	0,0	0,0	68,1	0,0	0,0	0,2	100,1
EDH-GSC-13-039 (2)*	allongée	Löllingite	Pegmatite	0,0	27,9	2,8	0,0	0,0	0,0	0,0	68,4	0,3	0,0	0,1	99,8
EDH-GSC-13-039 (2)*	allongée, zone claire	Löllingite	Pegmatite	0,0	28,7	0,7	0,1	0,0	0,0	0,0	70,4	0,0	0,0	0,1	100,3
EDH-GSC-13-039 (2)*	allongée, zone foncée	Löllingite	Pegmatite	0,0	29,4	2,7	0,0	0,0	0,0	0,0	68,5	0,0	0,1	0,0	101,2
EDH-GSC-13-039 (3)*	lamelle grossière	Löllingite	Pegmatite	0,0	29,3	2,8	0,0	0,0	0,0	0,0	68,1	0,0	0,0	0,1	100,6
EDH-GSC-13-039 (3)*	grossière, zone claire en bordure	Löllingite	Pegmatite	0,0	28,5	0,6	0,0	0,0	0,0	0,0	71,2	0,0	0,0	0,2	100,9
EDH-GSC-13-140 (1)*	anhédrale	Löllingite	Wacke lité	0,4	28,6	2,3	0,0	0,1	0,0	0,0	68,6	49,7	40,9	6,3	100,8
EDH-GSC-13-140 (4)*	grossière en bordure d'arsénopyrite	Löllingite	Wacke lité	0,4	28,2	2,3	0,1	0,1	0,0	0,0	68,2	0,0	96,1	0,0	100,1
EDH-GSC-13-146B (1)	en bordure d'arsénopyrite	Löllingite	Wacke lité	2,7	25,4	1,6	0,0	0,7	0,0	0,0	69,4	0,0	95,2	0,0	100,7
EDH-GSC-13-146B (4)*	en bordure d'arsénopyrite	Löllingite	Wacke lité	2,6	25,9	1,9	0,0	0,3	0,0	0,0	69,3	0,0	0,0	0,1	100,6
EDH-GSC-13-165 (4)*	en bordure d'arsénopyrite	Löllingite	Veine	0,3	28,4	2,3	0,1	0,1	0,0	0,0	68,8	0,0	0,0	0,0	100,8
EDH-GSC-13-165 (4)*	fine inclusions dans arsénopyrite grossière	Löllingite	Veine	2,6	25,9	0,5	0,0	0,1	0,0	0,0	71,5	0,0	90,6	0,0	101,2
EDH-GSC-13-169 (6)*	zone claire, dans biotite	Löllingite	Veine	7,5	21,4	0,4	0,0	0,1	0,0	0,0	71,5	0,2	0,0	0,1	101,5
EDH-GSC-13-169 (6)*	inclusions dans arsénopyrite	Löllingite	Veine	1,5	27,6	2,5	0,0	0,2	0,0	0,0	68,7	0,0	0,0	0,1	101,1
EDH-GSC-13-169 (6)*	au coeur d'une arsénopyrite grossière	Löllingite	Veine	1,7	27,9	2,7	0,0	0,1	0,0	0,0	68,1	0,0	0,0	0,1	101,1
EDH-GSC-13-169 (8)*	associé à arsénopyrite	Löllingite	Veine	0,5	28,2	2,3	0,0	0,1	0,0	0,0	69,4	0,0	0,0	0,1	101,2
EDH-GSC-13-201 (5)*	dans coeur d'arsénopyrite	Löllingite	Paragneiss	6,1	21,7	1,2	0,1	0,9	0,0	0,0	70,0	0,5	0,1	0,0	101,4
EDH-GSC-13-201 (7)*	löllingite fine	Löllingite	Paragneiss	6,9	20,2	1,2	0,0	0,9	0,1	0,1	69,5	1,5	0,0	96,7	101,0
EDH-GSC-13-231 (2)*	en inclusions dans gersdorffite	Löllingite	Wacke	10,1	17,9	1,1	0,0	0,9	0,0	0,0	69,8	0,0	0,1	0,1	101,2

* Données d'Ingrid Kjarsgaard

SULFURES															
Description	Minéral	Lithologie	Ni	Fe	S	Pb	Co	Cu	Zn	As	Sb	Au	Bi	Total	
13-123 3-4	coeur d'un grain aciculaire	Löllingite	0,4	29,3	2,4	0,0	0,0	0,0	0,0	67,8				99,9	
13-123 3-1	coeur d'un grain aciculaire	Löllingite	0,3	29,1	2,4	0,0	0,0	0,0	0,0	67,6				99,4	
13-123 3-3	en contact avec de la pyrrhotite	Löllingite	0,2	29,3	2,5	0,0	0,1	0,0	0,0	67,4				99,6	
13-123 2-4	coeur	Löllingite	2,5	26,7	2,4	0,0	0,0	0,0	0,0	67,7				99,2	
13-123 1-3	grain fin	Löllingite	0,2	29,0	2,4	0,0	0,1	0,0	0,0	68,2				99,9	
13-87B 3-3		Löllingite	0,1	29,3	2,3	0,0	0,0	0,0	0,0	67,9				99,7	
13-87B 2-4	en inclusions dans arsénopyrite spongieuse	Löllingite	0,1	29,5	2,5	0,0	0,0	0,0	0,0	67,9				100,1	
13-260 3-4	en inclusions dans l'arsénopyrite	Löllingite	0,3	28,7	2,0	0,0	0,1	0,0	0,0	68,7				99,8	
13-260 2-5	coeur	Löllingite	0,1	28,9	1,9	0,0	0,0	0,0	0,0	68,8				99,8	
13-260 1-2	entre pyrrhotite et arsénopyrite	Löllingite	0,0	29,7	33,5	0,1	0,0	32,2	0,0	0,0				95,4	
13-056 3-2	bordure	Löllingite	0,0	29,1	2,7	0,0	0,0	0,0	0,0	67,7				99,6	
13-056 2-1		Löllingite	0,0	29,8	2,7	0,0	0,0	0,0	0,0	68,1				100,6	
13-0007 1-1	coeur aciculaire	Löllingite	0,2	28,9	1,8	0,0	0,0	0,0	0,0	69,0				99,9	
13-0007 2-2		Löllingite	0,3	28,6	1,9	0,0	0,1	0,0	0,0	68,7				99,6	
13-0007 2-4	coeur	Löllingite	4,1	23,7	0,6	0,0	1,0	0,0	0,0	70,6				99,9	
13-0007 3-2		Löllingite	0,1	29,4	1,8	0,0	0,0	0,0	0,0	68,9				100,2	
13-146B 4-6	inclusions dans arsénopyrite	Löllingite	0,7	28,2	2,0	0,0	0,2	0,0	0,0	68,7				99,8	
13-146B 4-3	inclusions dans arsénopyrite	Löllingite	0,8	28,2	2,1	0,0	0,2	0,0	0,0	68,5				99,7	
13-146B 3-7		Löllingite	1,4	28,2	2,3	0,0	0,2	0,0	0,0	67,9				100,2	
13-146B 2-2	avec inclusions orientées	Löllingite	0,7	27,8	2,2	0,0	0,2	0,0	0,0	68,2				99,2	
EDH-GSC-13-208 (6)*	grain fin en bordure de NiSb	mix	6,4	1,3	0,2	0,0	0,0	0,7	0,2	0,0	0,1	0,0	0,0	106,5	
EDH-GSC-13-013 (8)*	faint pn flames in po-troilite	Pentlandite	32,1	34,4	33,5	0,0	0,0	0,0	0,0	0,0	0,0	0,0	0,1	100,1	
EDH-GSC-13-155 (2)*	fine flamme dans pyrrhotite	Pentlandite													
			30,7	35,3	33,7	0,0	0,3	0,0	0,0	0,0	0,0	1,4	0,0	100,1	
EDH-GSC-13-155 (2)*	en intercroissance avec pyrrhotite et chalcopirite	Pentlandite													
			32,3	30,7	33,7	0,2	0,1	1,0	1,7	0,0	47,3	42,0	8,6	100,1	
EDH-GSC-13-180 (1)*	fine flamme dans pyrrhotite	Pentlandite	30,0	29,3	33,6	0,0	9,3	0,0	0,0	0,0	0,0	0,0	0,1	102,2	
EDH-GSC-13-180 (2)*	flamme dans pyrrhotite	Pentlandite	29,4	30,8	33,1	0,0	7,7	0,0	0,0	0,0	0,0	0,0	0,1	101,3	
EDH-GSC-13-180 (3)*	flamme dans pyrrhotite	Pentlandite	32,5	33,2	33,6	0,0	2,2	0,0	0,0	0,0	0,0	0,0	0,1	101,7	
EDH-GSC-13-201 (4)*	flamme dans pyrrhotite	Pentlandite	30,3	35,9	32,9	0,0	0,2	0,0	0,1	0,0	0,8	0,0	0,1	99,5	
EDH-GSC-13-241 (3)*	intercroissance avec de la pyrite	Pentlandite	32,6	34,2	33,0	0,0	0,2	0,0	0,0	0,0	0,0	0,0	0,3	100,4	
13-027 2-2	fortement fracturée avec du graphite	Pyrite	0,0	48,0	52,1	0,2	0,0	0,0	0,0	0,3				100,7	
13-027 3-2	bordure	Pyrite	0,0	47,6	51,1	0,1	0,0	0,0	0,0	1,4				100,3	
13-260 3-1	avec inclusions avec de la pyrrhotite	Pyrite	0,0	48,6	52,5	0,0	0,0	0,0	0,0	0,0				101,1	
13-260 2-2	coeur	Pyrite	0,1	48,1	52,2	0,1	0,0	0,0	0,1	0,0				100,4	
13-260 1-1	coeur	Pyrite	0,1	46,6	51,7	0,1	0,0	0,0	0,0	0,0				98,6	
13-260 1-4	coeur	Pyrite	0,0	47,1	52,0	0,1	0,0	0,0	0,0	0,0				99,3	
13-247 3-1	coeur spongieux	Pyrite	0,1	48,0	51,8	0,2	0,0	0,0	0,0	0,3				100,4	
13-247 3-2	bordure sans inclusions	Pyrite	0,0	48,2	52,0	0,1	0,0	0,0	0,0	0,3				100,6	
13-010 1-2		Pyrite	0,1	47,4	50,3	0,1	0,0	0,0	0,0	0,1				97,9	
13-010 1-3		Pyrite	0,0	47,5	49,8	0,1	0,0	0,0	0,0	0,2				97,7	
13-010 2-1		Pyrite	0,0	48,3	50,8	0,2	0,0	0,1	0,0	0,0				99,4	
13-010 2-2		Pyrite	0,0	46,3	48,8	0,1	0,0	0,0	0,0	0,2				95,4	
13-010 2-4	subautomorphe	Pyrite	0,0	48,0	51,9	0,2	0,1	0,0	0,0	0,0				100,2	
13-010 2-3		Pyrite	0,0	46,9	47,1	0,1	0,0	0,0	0,0	0,5				94,7	
13-010 3-1	Subautomorph in cn with po	Pyrite	0,0	47,9	51,3	0,1	0,1	0,0	0,0	0,0				99,6	

* Données d'Ingrid Kjarsgaard

SULFURES	Description	Minéral	Lithologie	Ni	Fe	S	Pb	Co	Cu	Zn	As	Sb	Au	Bi	Total
EDH-GSC-13-013 (3)*	zone claire	Pyrite	Veine	0,0	47,3	53,9	0,0	0,0	0,0	0,0	0,7	0,0	0,0	0,2	102,0
EDH-GSC-13-013 (3)*	porphyroblaste	Pyrite	Veine	0,0	47,3	54,2	0,0	0,0	0,0	0,0	0,2	0,0	0,0	0,1	101,7
EDH-GSC-13-021 (1)*	grain fin dans la gangue	Pyrite	Wacke	0,0	46,7	53,6	0,0	0,0	0,0	0,0	0,0	0,0	0,1	0,0	100,6
EDH-GSC-13-026 (2)*	en intercroissance avec de la pyrrhotite	Pyrite	Paragneiss	0,1	47,0	54,3	0,0	0,0	0,0	0,0	0,0	0,1	0,0	0,2	101,6
EDH-GSC-13-026 (4)*	grossier	Pyrite	Paragneiss	0,0	47,4	54,2	0,0	0,0	0,0	0,0	0,1	0,0	0,0	0,2	101,9
EDH-GSC-13-026 (4)*	grossier, zone claire	Pyrite	Paragneiss	0,0	47,2	53,6	0,0	0,0	0,0	0,1	1,2	0,0	0,0	0,1	102,4
EDH-GSC-13-026 (5)*	bordure d'un grain grossier	Pyrite	Paragneiss	0,0	47,1	54,5	0,0	0,0	0,0	0,0	0,3	0,0	0,0	0,0	102,1
EDH-GSC-13-081 (1)*	grain fin euhédral en intercroissance avec de la pyrrhotite	Pyrite	Wacke AISi	0,7	45,0	53,1	0,0	0,9	0,0	0,0	1,1	0,0	0,0	0,1	100,9
EDH-GSC-13-081 (1)*	grain fin euhédral en intercroissance avec de la pyrrhotite	Pyrite	Wacke AISi	0,3	45,1	54,2	0,0	2,0	0,0	0,0	0,2	0,4	0,0	0,0	102,1
EDH-GSC-13-180 (4)*	grain euhédral en intercroissance avec de la pyrrhotite	Pyrite	Paragneiss	0,0	46,2	54,4	0,0	1,2	0,0	0,0	0,0	0,0	0,0	0,1	101,9
EDH-GSC-13-225 (1)*	grain fin associé à de la pyrrhotite	Pyrite	Wacke	0,3	45,3	54,1	0,0	0,0	0,0	0,0	0,0	0,0	0,0	0,2	100,2
EDH-GSC-13-225 (1)*	grain fin en intercroissance avec de la pyrrhotite	Pyrite	Wacke	0,1	43,5	53,8	0,0	2,6	0,0	0,0	0,0	0,0	0,0	0,1	100,5
EDH-GSC-13-241 (1)*	grain grossier euhédrale	Pyrite	Brèche à tourmaline	0,0	46,9	53,6	0,0	0,0	0,0	0,0	0,3	0,0	0,0	0,2	101,0
EDH-GSC-13-241 (11)*	grain moyen euhédral	Pyrite	Brèche à tourmaline	0,1	47,3	53,4	0,0	0,3	0,0	0,0	0,1	0,0	0,0	0,1	101,4
EDH-GSC-13-241 (2)*	grain fin euhédral	Pyrite	Brèche à tourmaline	0,1	46,7	54,5	0,0	0,5	0,0	0,0	0,0	0,0	0,1	0,1	102,1
EDH-GSC-13-241 (8)*	poeciloblaste euhédrale	Pyrite	Brèche à tourmaline	0,7	46,5	54,5	0,0	0,0	0,0	0,0	0,0	0,0	0,0	0,2	101,9
EDH-GSC-13-248B (1)*	euhédrale à inclusion de chalcopyrite	Pyrite	Porphyre dionitique	0,0	47,1	54,3	0,0	0,0	0,0	0,0	0,0	0,0	0,0	0,0	101,7
EDH-GSC-13-248B (3)*	gouttelette dans titanite	Pyrite	Porphyre dionitique	0,1	47,1	53,8	0,0	0,0	0,0	0,0	0,0	0,0	0,0	0,0	101,4
EDH-GSC-13-248B (7)*	grossière	Pyrite	Porphyre dionitique	0,0	47,0	54,3	0,0	0,0	0,0	0,0	0,0	0,0	0,0	0,0	101,6
13-123 3-2	ass à lo	Pyrrhotite	Wacke lité	0,0	61,7	38,1	0,1	0,0	0,0	0,0	0,0	0,0	0,0	0,0	99,9
13-123 2-2	avec lamelles de troilite	Pyrrhotite	Wacke lité	0,1	61,2	38,2	0,1	0,0	0,0	0,1	0,0	0,0	0,0	0,0	99,7
13-123 1-2	grain fin	Pyrrhotite	Wacke lité	0,0	61,8	37,8	0,1	0,0	0,0	0,0	0,0	0,0	0,0	0,0	99,7
13-123 1-4	grain fin	Pyrrhotite	Wacke lité	0,0	62,1	37,4	0,1	0,0	0,0	0,0	0,0	0,0	0,0	0,0	99,6
13-247 1-2	en contact avec de l'arsénopyrite	Pyrrhotite	Porphyre	0,2	60,7	37,9	0,1	0,0	0,0	0,0	0,0	0,0	0,0	0,0	98,9
13-247 1-3	en contact avec de l'arsénopyrite	Pyrrhotite	Porphyre	0,0	60,6	38,0	0,1	0,0	0,0	0,0	0,0	0,0	0,0	0,0	98,8
13-247 2-3	large	Pyrrhotite	Porphyre	0,1	60,9	37,9	0,1	0,0	0,0	0,0	0,0	0,0	0,0	0,0	99,0
13-247 2-2	large	Pyrrhotite	Porphyre	0,3	61,3	38,1	0,1	0,0	0,0	0,0	0,0	0,0	0,0	0,0	99,8
13-247 4-1	inclusions dans monazite	Pyrrhotite	Porphyre	0,2	60,1	38,8	0,1	0,0	0,0	0,0	0,0	0,0	0,0	0,0	99,2
13-010 1-1	oolithe	Pyrrhotite	Wacke à aluminosilicates	0,1	60,8	38,0	0,1	0,0	0,0	0,0	0,0	0,0	0,1	0,1	99,0
13-010 3-3	en association avec de la pyrite et de la chalcopyrite	Pyrrhotite	Wacke à aluminosilicates	0,0	60,1	38,6	0,1	0,0	0,0	0,0	0,0	0,0	0,0	0,2	98,9
13-146B 4-4		Pyrrhotite	Wacke lité	0,0	61,0	37,4	0,1	0,0	0,0	0,0	0,0	0,0	0,0	0,2	98,5
13-146B 3-2		Pyrrhotite	Wacke lité	0,0	60,8	37,7	0,1	0,0	0,0	0,0	0,0	0,0	0,0	0,1	98,6
13-146B 3-3		Pyrrhotite	Wacke lité	0,0	60,6	37,6	0,1	0,0	0,0	0,0	0,0	0,0	0,0	0,0	98,3
13-146B 3-5		Pyrrhotite	Wacke lité	0,0	61,9	36,9	0,0	0,0	0,0	0,0	0,0	0,0	0,0	0,1	98,8
13-146B 3-9		Pyrrhotite	Wacke lité	0,0	60,1	37,9	0,2	0,0	0,0	0,0	0,0	0,0	0,0	0,0	98,2
EDH-GSC-13-005 (1) *	avec inclusions d'arsénopyrite	Pyrrhotite	Bande de remplacement métasomatique	0,2	61,4	39,1	0,0	0,0	0,0	0,0	0,0	0,0	0,0	0,2	101,0
EDH-GSC-13-005 (4) *	anhédrale	Pyrrhotite	Bande de remplacement métasomatique	0,4	60,3	38,8	0,0	0,0	0,0	0,0	0,0	0,0	0,0	0,1	99,8
EDH-GSC-13-005 (5) *	moyen anhédrale	Pyrrhotite	métasomatique	0,1	60,7	39,9	0,0	0,0	0,0	0,1	0,0	0,0	0,0	0,1	101,2
EDH-GSC-13-011 (4) *	grossière	Pyrrhotite	Formation chertreuse	0,1	61,4	38,7	0,0	0,0	0,0	0,0	0,0	0,0	0,0	0,1	100,6
EDH-GSC-13-011 (5)*	en intercroissance avec du clinopyroxène	Pyrrhotite	Formation chertreuse	0,0	60,9	39,3	0,0	0,0	0,0	0,0	0,0	0,0	0,0	0,2	100,6
EDH-GSC-13-011 (8)*	dans grenat-clinopyroxène	Pyrrhotite	Formation chertreuse	0,0	60,2	40,0	0,0	0,0	0,0	0,0	0,0	0,0	0,0	0,1	100,3
EDH-GSC-13-013 (4)*	avec troilite	Pyrrhotite	Veine	0,4	61,1	38,5	0,0	0,0	0,0	0,1	0,0	0,0	0,0	0,2	100,2
EDH-GSC-13-013 (8)*	avec exsolutions de troilite	Pyrrhotite	Veine	0,2	61,0	38,7	0,0	0,0	0,0	0,0	0,0	0,0	0,0	0,1	100,2
EDH-GSC-13-021 (1)*	anhédrale	Pyrrhotite	Wacke	0,0	61,3	38,6	0,0	0,0	0,0	0,0	0,0	0,0	0,0	0,2	100,1
EDH-GSC-13-021 (1)*	anhédrale	Pyrrhotite	Wacke	0,1	60,8	38,5	0,0	0,0	0,0	0,0	0,0	0,0	0,0	0,2	99,6
EDH-GSC-13-021 (3) *	anhédrale avec altération grossière	Pyrrhotite	Wacke	0,1	61,1	38,1	0,0	0,0	0,0	0,0	0,0	0,0	0,0	0,2	99,5
EDH-GSC-13-026 (1)*	anhédral	Pyrrhotite	Paragneiss	0,0	60,9	38,4	0,0	0,0	0,0	0,0	0,0	0,0	0,0	0,1	99,7
EDH-GSC-13-026 (2)*	en intercroissance avec de la pyrite	Pyrrhotite	Paragneiss	0,0	61,5	38,6	0,0	0,0	0,0	0,0	0,0	0,0	0,1	0,1	100,4
EDH-GSC-13-026 (7)*	anhédrale	Pyrrhotite	Paragneiss	0,1	61,2	38,3	0,0	0,0	0,0	0,1	0,0	0,0	0,0	0,0	100,0

* Données d'Ingrid Kjarsgaard

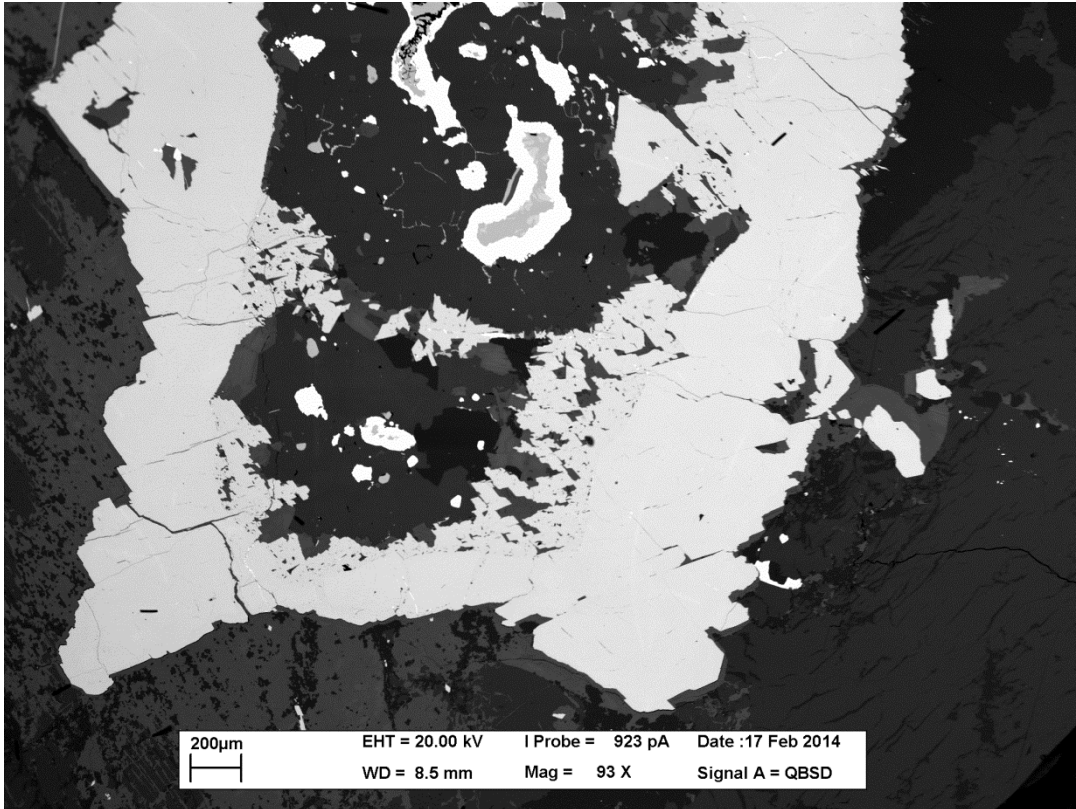
SULFURES															
Description	Minéral	Lithologie	Ni	Fe	S	Pb	Co	Cu	Zn	As	Sb	Au	Bi	Total	
EDH-GSC-13-081 (1)*	en intercroissance avec de la clinozoisite	Pyrrhotite	0,3	60,7	38,5	0,0	0,0	0,0	0,0	0,0	0,0	0,0	0,0	99,9	
EDH-GSC-13-081 (1)*	en emulsion	Pyrrhotite	0,4	61,3	38,5	0,0	0,0	0,0	0,0	0,0	0,2	0,1	0,1	100,4	
EDH-GSC-13-081 (1)*	en emulsion avec de la troilite	Pyrrhotite	0,4	60,0	39,2	0,0	0,0	0,0	0,1	0,0	0,0	0,0	0,1	100,0	
EDH-GSC-13-081 (3)*	anhédrale avec lamelles de troilite	Pyrrhotite	0,3	60,9	37,7	0,0	0,1	0,0	0,0	0,0	1,7	0,0	0,0	99,1	
EDH-GSC-13-140 (1)*	avec exsolutions de troilite	Pyrrhotite	0,0	61,2	38,8	0,0	0,0	0,0	0,0	0,0	0,4	90,5	1,0	100,2	
EDH-GSC-13-140 (2)*	avec exsolutions de troilite	Pyrrhotite	0,0	62,1	38,8	0,0	0,0	0,0	0,0	0,0	0,1	0,1	0,0	101,1	
EDH-GSC-13-140 (3)*	avec exsolutions de troilite	Pyrrhotite	0,1	61,3	38,8	0,0	0,0	0,0	0,0	0,0	0,0	0,0	0,1	100,4	
EDH-GSC-13-146B (2)	en bordure de feldspath-k	Pyrrhotite	0,1	61,5	38,4	0,0	0,0	0,0	0,1	0,0	0,0	0,0	0,0	100,3	
EDH-GSC-13-146B (3)*	anhédrale avec lamelles de troilite	Pyrrhotite	0,1	61,9	38,7	0,0	0,0	0,0	0,1	0,0	0,0	0,0	0,1	100,9	
EDH-GSC-13-155 (2)*		Pyrrhotite	0,3	60,9	38,2	0,0	0,0	0,0	0,0	0,0	1,5	0,0	0,0	99,6	
EDH-GSC-13-155 (2)*		Pyrrhotite	0,3	59,9	37,9	0,0	0,0	0,0	0,0	0,0	0,0	0,0	0,0	98,3	
EDH-GSC-13-155 (2)*		Pyrrhotite	0,5	60,7	38,4	0,0	0,0	0,0	0,0	0,0	1,3	0,0	0,1	100,0	
EDH-GSC-13-155 (4)*	avec flammes de pentlandite	Pyrrhotite	0,3	61,0	38,3	0,0	0,0	0,0	0,0	0,0	0,0	0,0	0,0	99,8	
EDH-GSC-13-165 (2)*	grossière	Pyrrhotite	0,0	61,5	37,6	0,0	0,0	0,0	0,0	0,0	0,0	98,6	0,0	99,4	
EDH-GSC-13-165 (3)*	en intercroissance avec de la clinozoisite	Pyrrhotite	0,0	60,4	37,5	0,0	0,0	0,0	0,0	0,0	0,0	0,1	0,0	98,2	
EDH-GSC-13-165 (4)*	grain fin dans la matrice	Pyrrhotite	0,0	61,0	39,2	0,0	0,0	0,0	0,0	0,0	0,0	0,0	0,1	100,4	
EDH-GSC-13-165 (7)*	grain moyen	Pyrrhotite	0,0	60,9	38,2	0,0	0,0	0,0	0,0	0,0	0,2	0,0	0,0	99,3	
EDH-GSC-13-169 (6)*	anhédrale avec de l'albite	Pyrrhotite	0,7	60,9	38,4	0,0	0,0	0,0	0,0	0,0	0,0	0,0	0,5	100,3	
EDH-GSC-13-169 (6)*	en inclusions dans la clinozoisite	Pyrrhotite	0,2	60,7	38,6	0,0	0,0	0,0	0,0	0,0	0,0	0,0	0,1	99,7	
EDH-GSC-13-169 (7)*		Pyrrhotite	0,2	61,5	38,1	0,0	0,0	0,0	0,1	0,0	0,0	0,0	0,0	100,1	
EDH-GSC-13-169 (8)*	grossière	Pyrrhotite	0,2	61,5	39,0	0,0	0,1	0,0	0,0	0,0	0,0	0,0	0,0	101,2	
EDH-GSC-13-169 (8)*	en inclusions dans l'arsénopyrite	Pyrrhotite	0,2	60,8	38,7	0,0	0,0	0,0	0,0	0,1	0,0	0,0	0,2	99,9	
EDH-GSC-13-180 (1)*		Pyrrhotite	0,4	61,6	38,4	0,0	0,0	0,0	0,0	0,0	0,0	0,1	0,1	100,6	
EDH-GSC-13-180 (1)*	en intercroissance avec de la biotite	Pyrrhotite	0,4	61,3	38,2	0,0	0,0	0,0	0,0	0,0	0,0	0,0	0,1	100,0	
EDH-GSC-13-180 (2)*	en intercroissance avec de la biotite	Pyrrhotite	0,4	60,9	37,8	0,0	0,0	0,0	0,0	0,0	0,0	0,0	0,1	99,4	
EDH-GSC-13-201 (2)*		Pyrrhotite	0,4	60,5	37,2	0,0	0,0	0,0	0,0	0,0	0,0	0,0	0,1	98,3	
EDH-GSC-13-201 (4)*	anhédrale	Pyrrhotite	0,4	60,7	38,7	0,0	0,0	0,0	0,0	0,0	0,6	0,0	0,1	100,0	
EDH-GSC-13-201 (5)*	anhédrale	Pyrrhotite	0,2	60,9	37,0	0,0	0,0	0,0	0,0	0,0	0,1	0,0	0,1	98,4	
EDH-GSC-13-201 (5)*	anhédrale	Pyrrhotite	0,2	61,5	37,4	0,0	0,0	0,0	0,0	0,0	0,0	0,1	0,1	99,4	
EDH-GSC-13-201 (6)*		Pyrrhotite	0,4	61,1	37,7	0,0	0,0	0,2	0,0	0,0	0,0	87,9	0,1	99,6	
EDH-GSC-13-208 (6)*	grossière avec troilite	Pyrrhotite	0,0	62,1	38,2	0,0	0,0	0,0	0,0	0,0	0,0	0,0	0,1	100,5	
EDH-GSC-13-208 (7)*	anhédrale	Pyrrhotite	0,0	62,1	37,6	0,0	0,0	0,0	0,0	0,0	0,0	0,0	0,2	99,9	
EDH-GSC-13-208 (8)*	grossière	Pyrrhotite	0,0	61,6	38,6	0,0	0,0	0,0	0,0	0,0	0,0	0,0	0,1	100,4	
EDH-GSC-13-220 (1)*	euhédrale	Pyrrhotite	0,0	61,2	39,0	0,0	0,0	0,0	0,0	0,0	0,0	0,1	0,3	100,4	
EDH-GSC-13-220 (2)*		Pyrrhotite	0,1	60,4	38,7	0,0	0,0	0,0	0,0	0,1	0,1	0,0	0,0	99,4	
EDH-GSC-13-220 (3)*	f. gr. po at edge of circle	Pyrrhotite	0,0	60,8	38,9	0,0	0,0	0,0	0,0	0,0	0,0	0,0	0,1	100,0	
EDH-GSC-13-225 (1)*	f. gr. euh po interg. w. py	Pyrrhotite	0,2	60,1	38,7	0,0	0,0	0,0	0,1	0,0	0,0	0,1	0,1	99,4	
EDH-GSC-13-225 (1)*	f. gr. po attached to py	Pyrrhotite	0,2	60,5	39,2	0,0	0,0	0,0	0,0	0,0	0,0	0,0	0,1	100,2	
EDH-GSC-13-225 (5)*	anh. po interstitial to dravite	Pyrrhotite	0,2	60,7	39,3	0,0	0,0	0,0	0,0	0,0	0,0	0,0	0,9	100,4	
EDH-GSC-13-225 (7)*	grain fin subeuhédral	Pyrrhotite	0,2	61,0	39,0	0,0	0,1	0,0	0,0	0,0	0,1	0,1	0,0	100,5	
EDH-GSC-13-225 (8)*	grossière avec prehnite	Pyrrhotite	0,3	60,6	39,0	0,0	0,0	0,0	0,0	0,0	0,8	0,0	0,0	100,1	
EDH-GSC-13-231 (5)*	en intercroissance avec de l'arsénopyrite	Pyrrhotite	0,0	62,7	35,2	0,0	0,0	0,0	0,0	0,0	0,0	0,0	0,3	98,2	
EDH-GSC-13-241 (11)*	grain fin en intercroissance avec de la chalcoppyrite	Pyrrhotite	5,0	57,7	36,1	0,0	0,0	0,7	0,0	0,0	0,0	0,0	0,1	99,6	
EDH-GSC-13-241 (2)*	avec lamelles de troilite	Pyrrhotite	0,3	60,6	38,2	0,0	0,1	0,0	0,0	0,0	0,0	0,0	0,0	99,5	
EDH-GSC-13-241 (3)*	grain fin	Pyrrhotite	0,0	62,8	36,0	0,0	0,0	0,0	0,0	0,0	0,0	0,0	0,2	99,1	
EDH-GSC-13-241 (8)*	grain fin euhédrale avec feldspath-k	Pyrrhotite	0,0	62,6	36,1	0,0	0,0	0,0	0,0	0,0	0,0	0,0	0,9	99,1	
EDH-GSC-13-241 (9)*	en intercroissance avec chalcoppyrite et stiptomelane	Pyrrhotite	2,7	59,2	36,4	0,0	0,0	1,3	0,0	0,0	0,0	0,0	0,0	99,9	

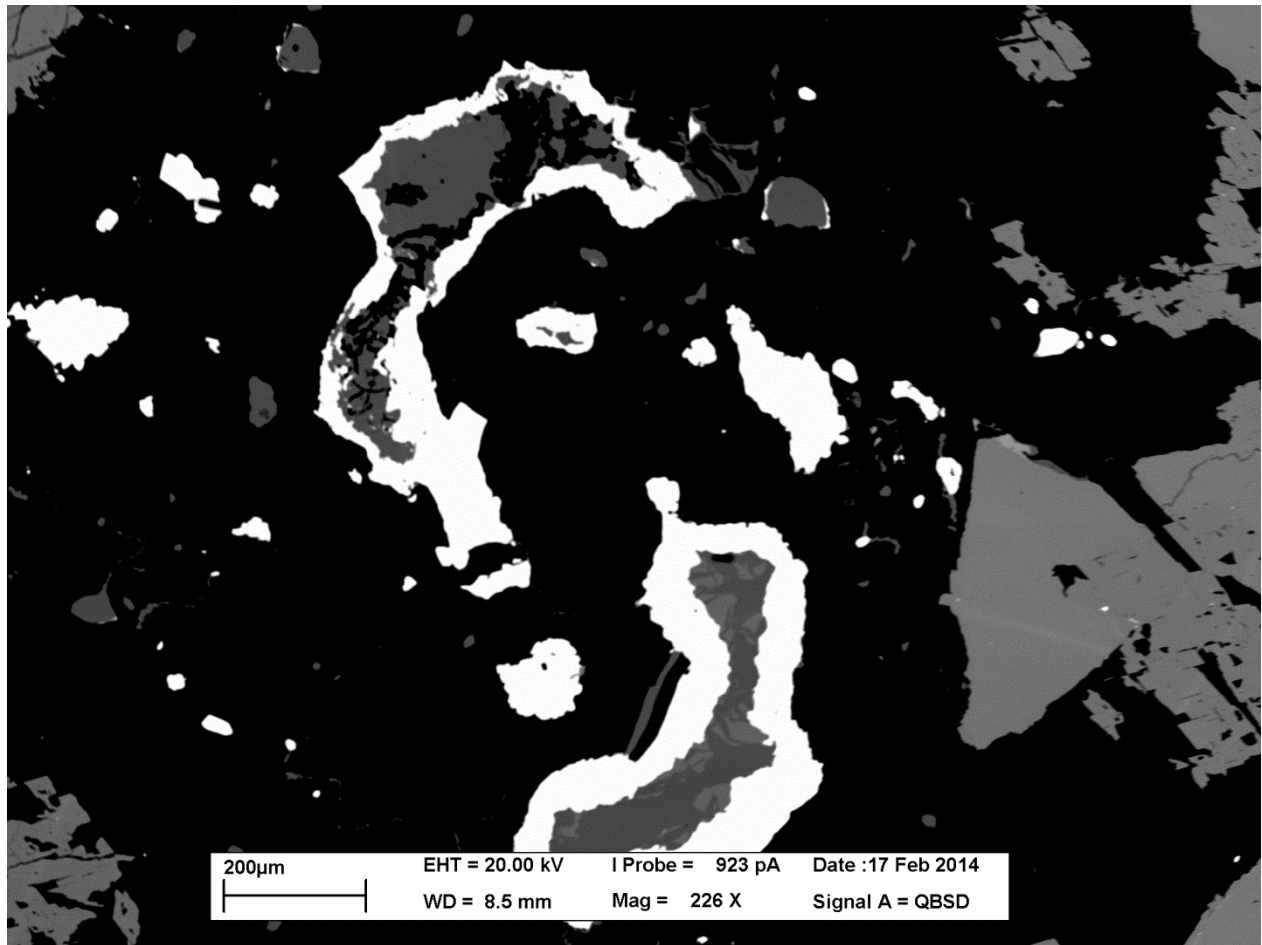
* Données d'Ingrid Kjarsgaard

SULFURES															
Description	Minéral	Lithologie	Ni	Fe	S	Pb	Co	Cu	Zn	As	Sb	Au	Bi	Total	
FNS4 *	FNS4	Pyrrhotite	Standard	1,2	57,3	37,9	0,0	1,4	1,4	0,0	0,0			99,4	
EDH-GSC-13-021 (2)*	grossière anhédrale	Sphalérite	Wacke	0,0	7,0	32,7	0,0	0,0	0,0	59,7	0,0	0,0	0,0	99,9	
EDH-GSC-13-026 (1)*	fin euhédrale dans gangue	Sphalérite	Paragneiss	0,0	6,4	32,6	0,0	0,0	0,0	60,0	0,0	0,1	0,1	99,6	
EDH-GSC-13-081 (1)*	en intercroissance avec de la clinozoisite	Sphalérite	Wacke AlSi	0,0	7,6	32,8	0,0	0,0	0,0	58,5	0,0	0,0	0,0	99,2	
EDH-GSC-13-140 (4)*	en intercroissance avec de la pyrrhotite	Sphalérite	Wacke lité	0,0	8,2	32,8	0,0	0,0	0,0	58,3	0,0	0,0	0,0	100,0	
EDH-GSC-13-165 (6)*	en intercroissance avec emulsion de clinozoisite	Sphalérite	Veine	0,0	7,4	32,8	0,0	0,0	0,0	58,2	0,0	0,0	0,0	99,3	
EDH-GSC-13-165 (6)*	en intercroissance avec clinozoisite	Sphalérite	Veine	0,0	7,8	32,9	0,0	0,0	0,3	58,1	0,0	0,1	0,0	99,9	
EDH-GSC-13-165 (6)*	en emulsion	Sphalérite	Veine	0,0	7,7	32,5	0,0	0,0	0,0	57,5	0,0	0,0	0,0	98,6	
EDH-GSC-13-180 (2)*	en intercroissance avec de la pyrrhotite	Sphalérite	Paragneiss	0,0	6,7	32,5	0,0	0,1	0,5	60,0	0,0	0,2	0,0	100,0	
EDH-GSC-13-201 (1)*	en intercroissance avec pyrrhotite et chalcopryrite	Sphalérite	Paragneiss	0,0	7,8	32,5	0,0	0,0	0,4	58,2	0,0	1,0	0,0	99,3	
EDH-GSC-13-201 (5)*	en intercroissance avec de la pyrrhotite	Sphalérite	Paragneiss	0,0	6,6	32,9	0,0	0,0	0,5	58,5	0,0	54,3	0,1	99,0	
EDH-GSC-13-225 (5)*	intersticielle entre grains de dravite	Sphalérite	Wacke	0,0	7,1	32,5	0,0	0,0	0,0	58,8	0,0	0,0	0,0	99,0	
EDH-GSC-13-225 (5)*	anhédrale et intersticielle entre grains de dravite	Sphalérite	Wacke	0,0	7,8	32,5	0,0	0,0	0,0	58,6	0,0	0,0	0,0	99,4	
EDH-GSC-13-225 (9)*	anhédrale	Sphalérite	Wacke	0,0	7,2	33,0	0,0	0,0	0,0	59,3	0,0	0,6	0,0	100,0	
EDH-GSC-13-241 (11) *	en intercroissance avec de la chalcopryrite	Sphalérite	Brèche à tourmaline	0,0	3,1	32,8	0,0	0,0	0,4	62,7	0,0	0,0	0,0	99,5	
13-123 2-1	en lamelles dans pyrrhotite	Troilite	Wacke lité	0,0	64,8	35,8	0,1	0,0	0,0	0,0	0,0	0,0	0,0	100,8	
EDH-GSC-13-013 (4)*	en lamelles dans pyrrhotite	Troilite	Veine	0,1	63,7	36,8	0,0	0,0	0,0	0,1	0,0	0,0	0,0	100,8	
EDH-GSC-13-013 (8)*	en lamelles dans pyrrhotite	Troilite	Veine	0,0	63,7	36,6	0,0	0,0	0,0	0,0	0,0	0,0	0,3	100,6	
EDH-GSC-13-081 (1)*	grain fin dans la matrice	Troilite	Wacke AlSi	0,1	63,2	36,8	0,0	0,0	0,0	0,0	0,0	0,0	0,0	100,4	
EDH-GSC-13-140 (1)*	exsolution	Troilite	Wacke lité	0,0	63,3	36,5	0,0	0,0	0,0	0,0	0,0	0,0	0,0	100,0	
EDH-GSC-13-146B (2)	en lamelles dans pyrrhotite avec feldspath-k	Troilite	Wacke lité	0,0	63,6	36,4	0,0	0,0	0,0	0,1	0,0	64,1	0,0	100,2	
EDH-GSC-13-169 (6)*	grain fin dans gangue	ulmanite	Veine	27,0	0,2	14,9	0,0	0,0	0,1	0,0	0,4	0,0	0,0	100,2	
EDH-GSC-13-169 (8)*	inclusions dans arsénopyrite	ulmanite	Veine	27,7	0,3	15,2	0,0	0,1	0,0	0,0	2,2	0,0	0,1	100,7	
EDH-GSC-13-201 (6)*	au coeur d'une large arsénopyrite	ulmanite	Paragneiss	27,7	0,4	14,8	0,0	0,1	0,0	0,0	3,2	57,4	36,8	100,9	
EDH-GSC-13-241 (2)*	grain fin, avec pyrrhotite et chalcopryrite	ulmanite	Brèche à tourmaline	27,6	0,6	15,2	0,0	0,0	0,2	0,0	0,7	0,0	0,0	100,9	

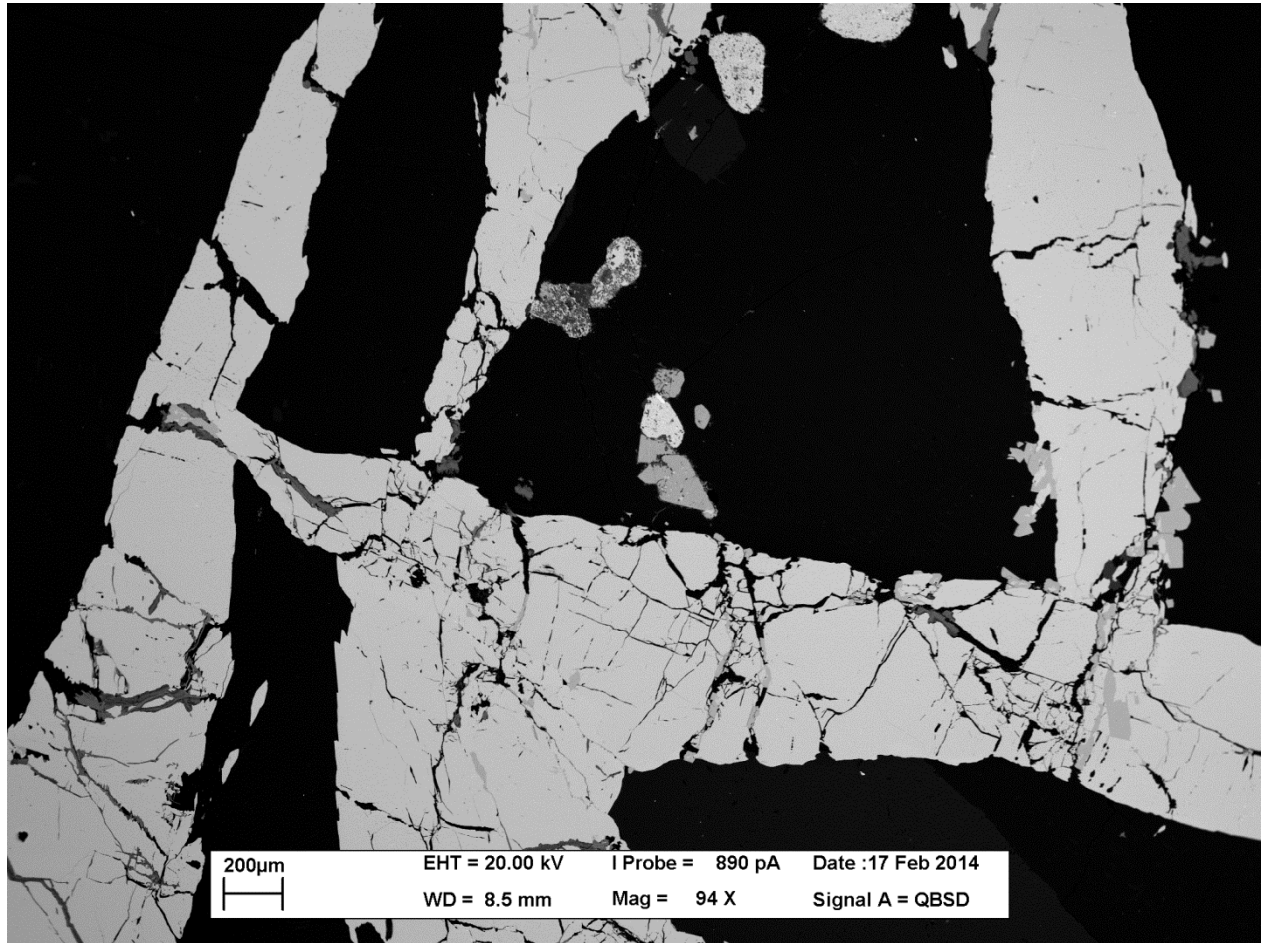
* Données d'Ingrid Kjørsaagard

ANNEXE C : MICROPHOTOGRAPHIES AU MICROSCOPE ÉLECTRONIQUE À BALAYAGE

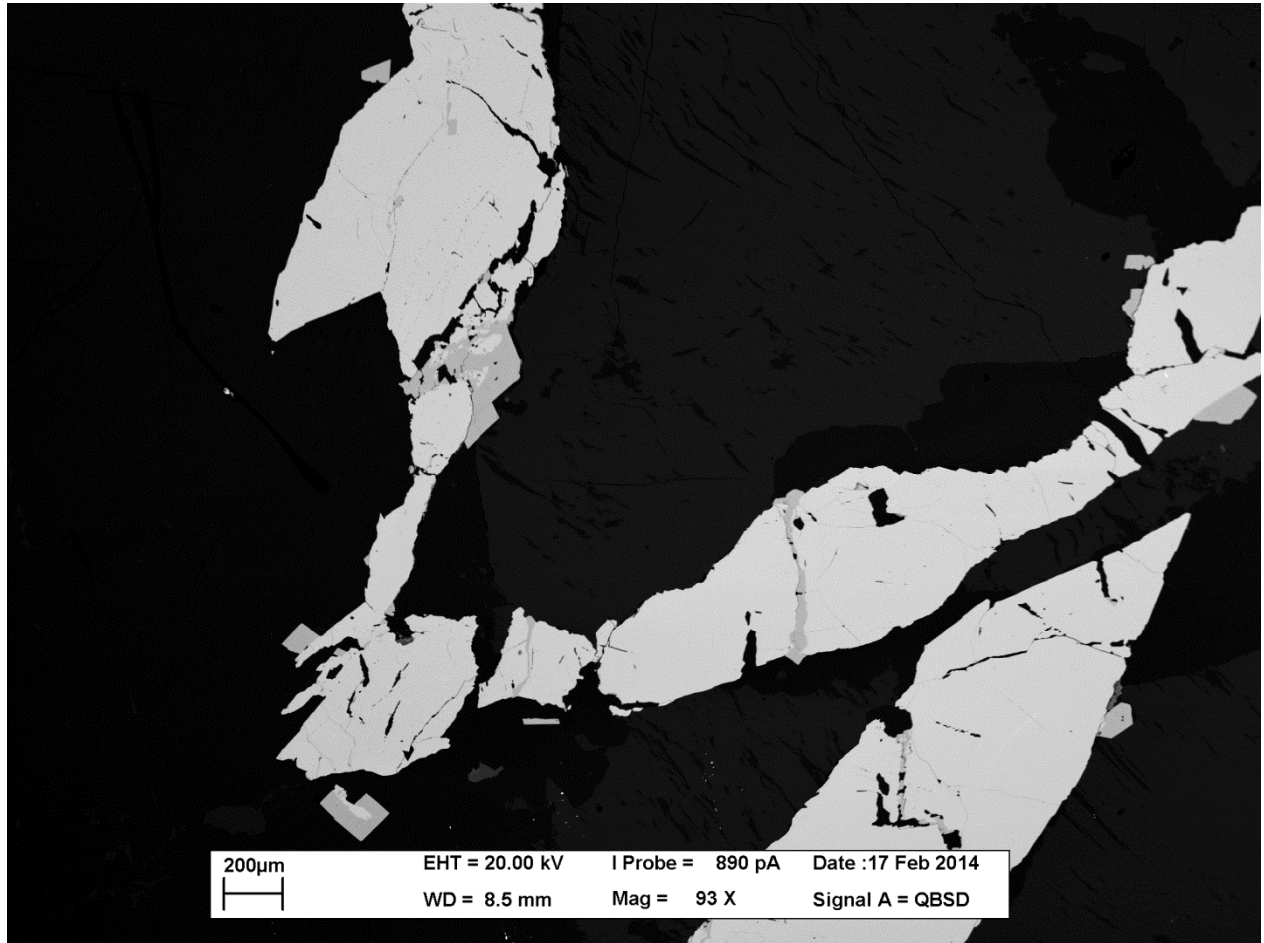




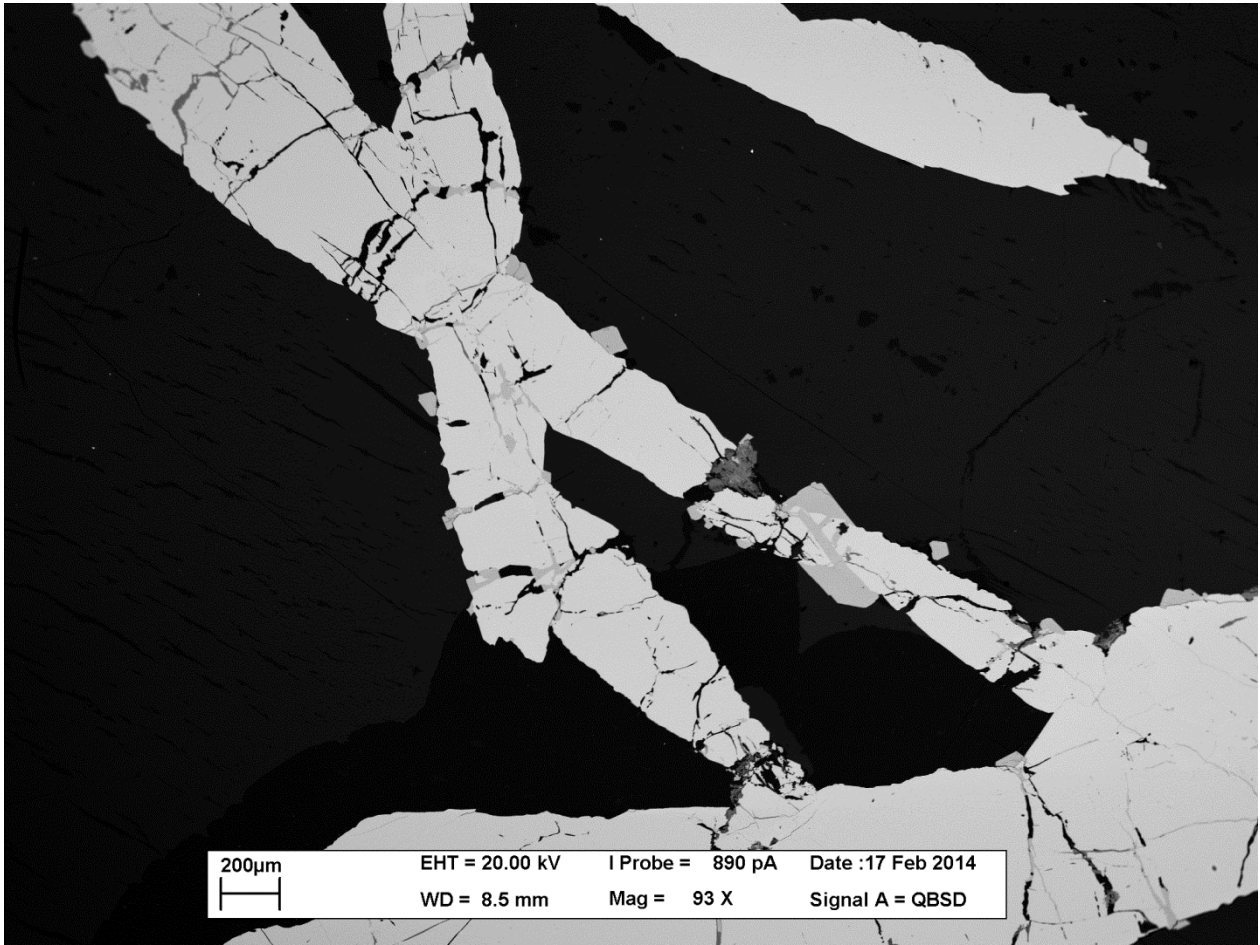
200µm EHT = 20.00 kV I Probe = 923 pA Date :17 Feb 2014
WD = 8.5 mm Mag = 226 X Signal A = QBSD



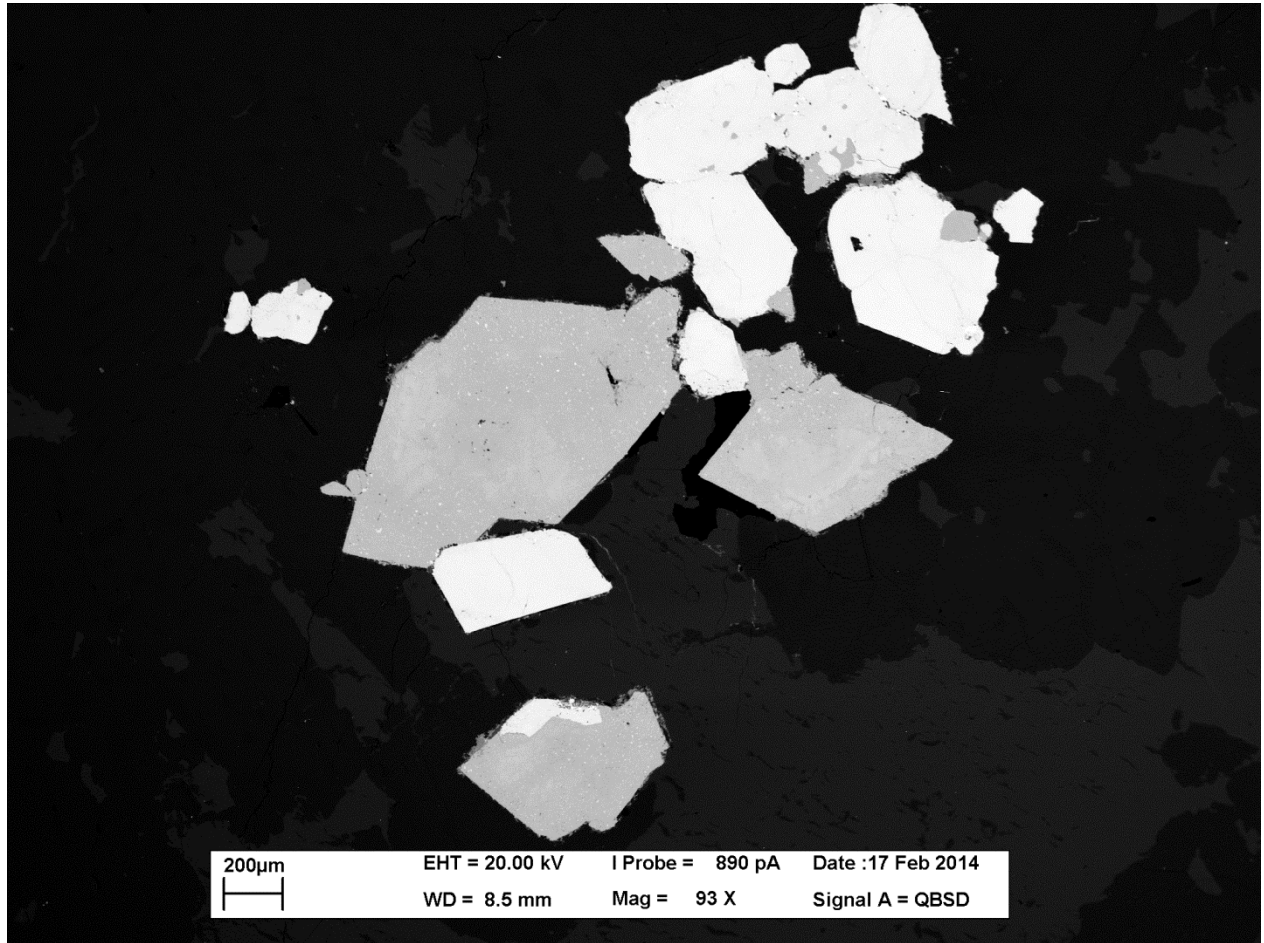
200µm EHT = 20.00 kV I Probe = 890 pA Date :17 Feb 2014
WD = 8.5 mm Mag = 94 X Signal A = QBSD



200µm EHT = 20.00 kV I Probe = 890 pA Date : 17 Feb 2014
WD = 8.5 mm Mag = 93 X Signal A = QBSD



200µm	EHT = 20.00 kV	I Probe = 890 pA	Date :17 Feb 2014
	WD = 8.5 mm	Mag = 93 X	Signal A = QBSD



200µm



EHT = 20.00 kV

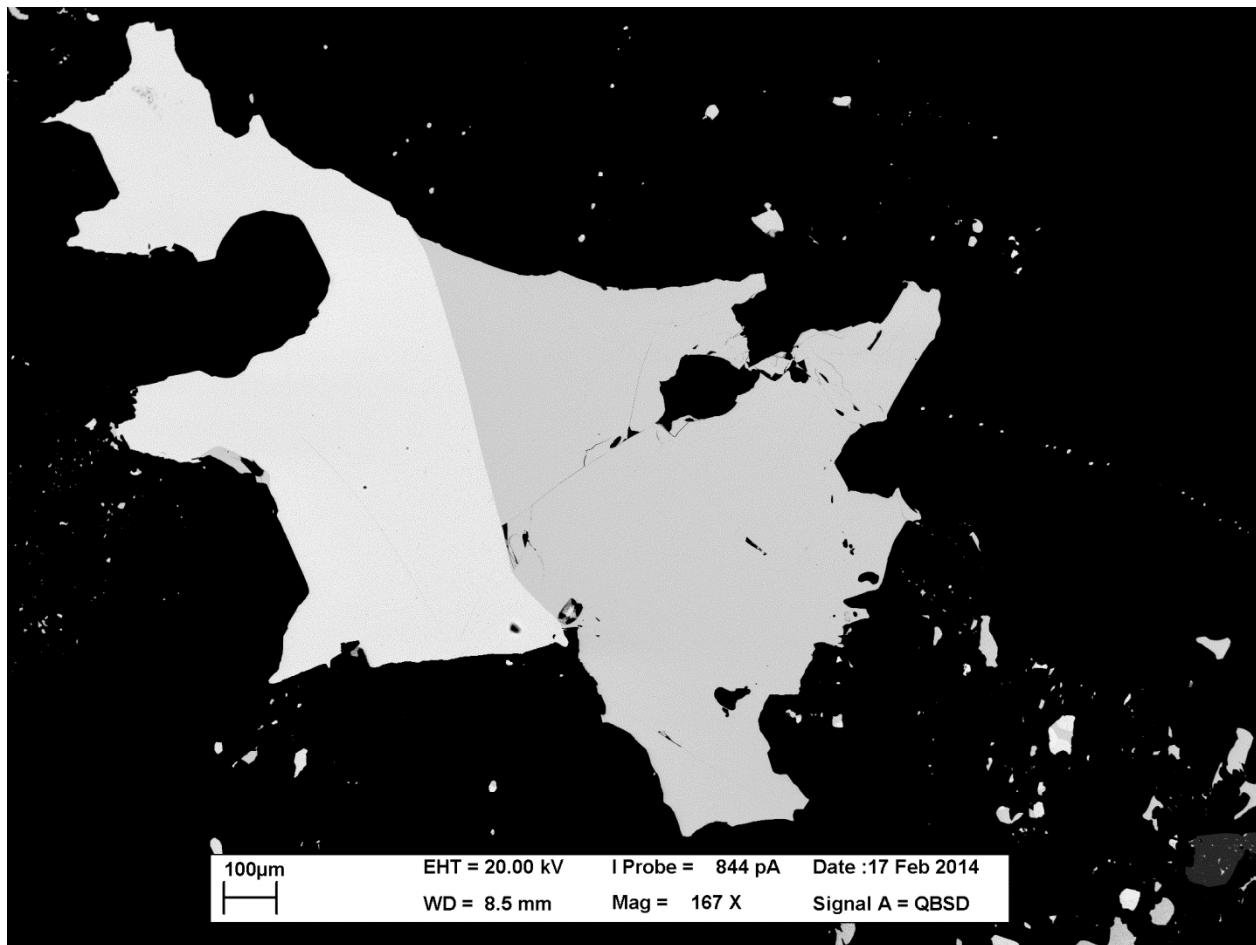
I Probe = 890 pA

Date :17 Feb 2014

WD = 8.5 mm

Mag = 93 X

Signal A = QBSD



100µm



EHT = 20.00 kV

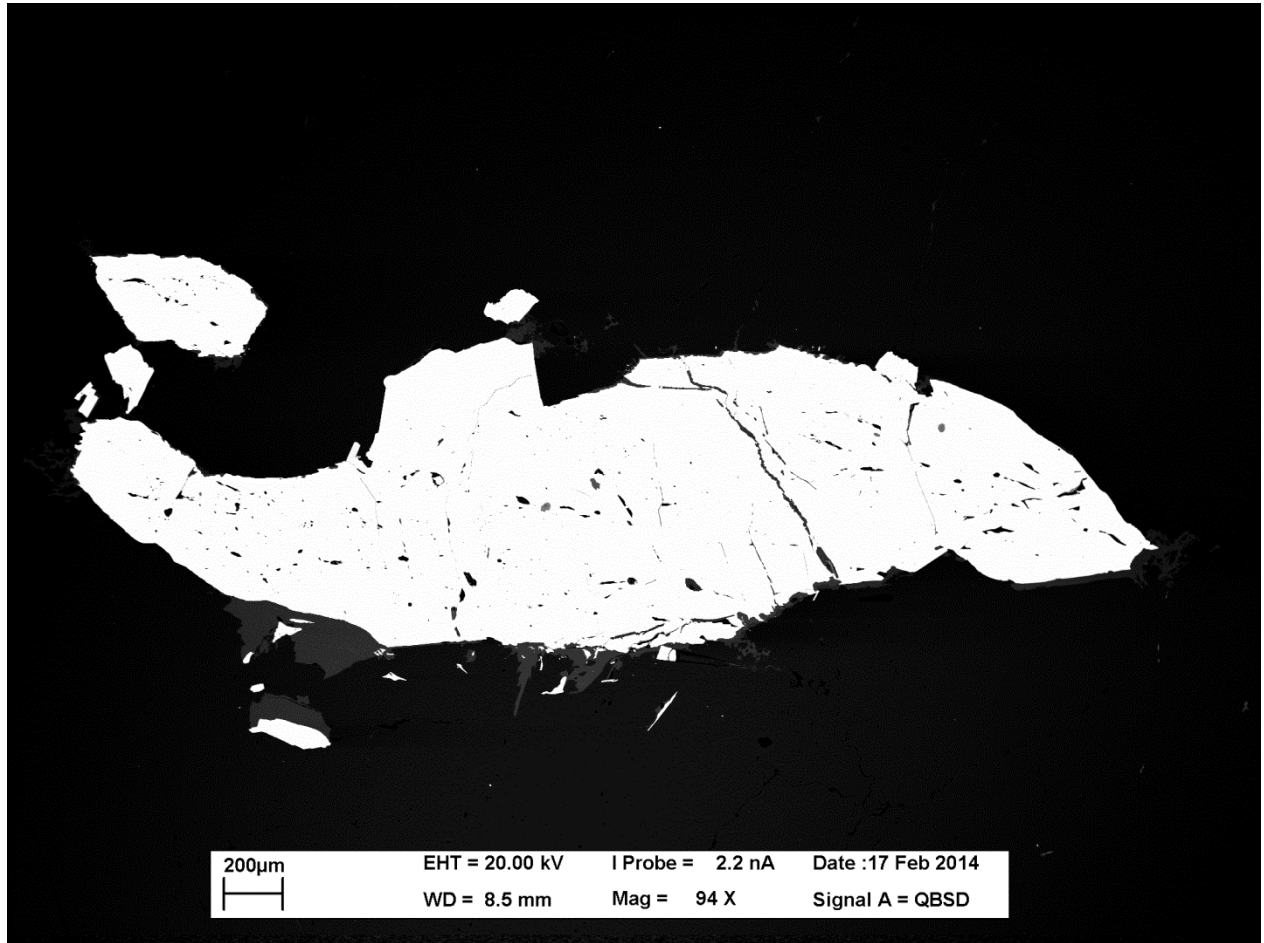
I Probe = 844 pA

Date : 17 Feb 2014

WD = 8.5 mm

Mag = 167 X

Signal A = QBSD



200µm
|-----|

EHT = 20.00 kV

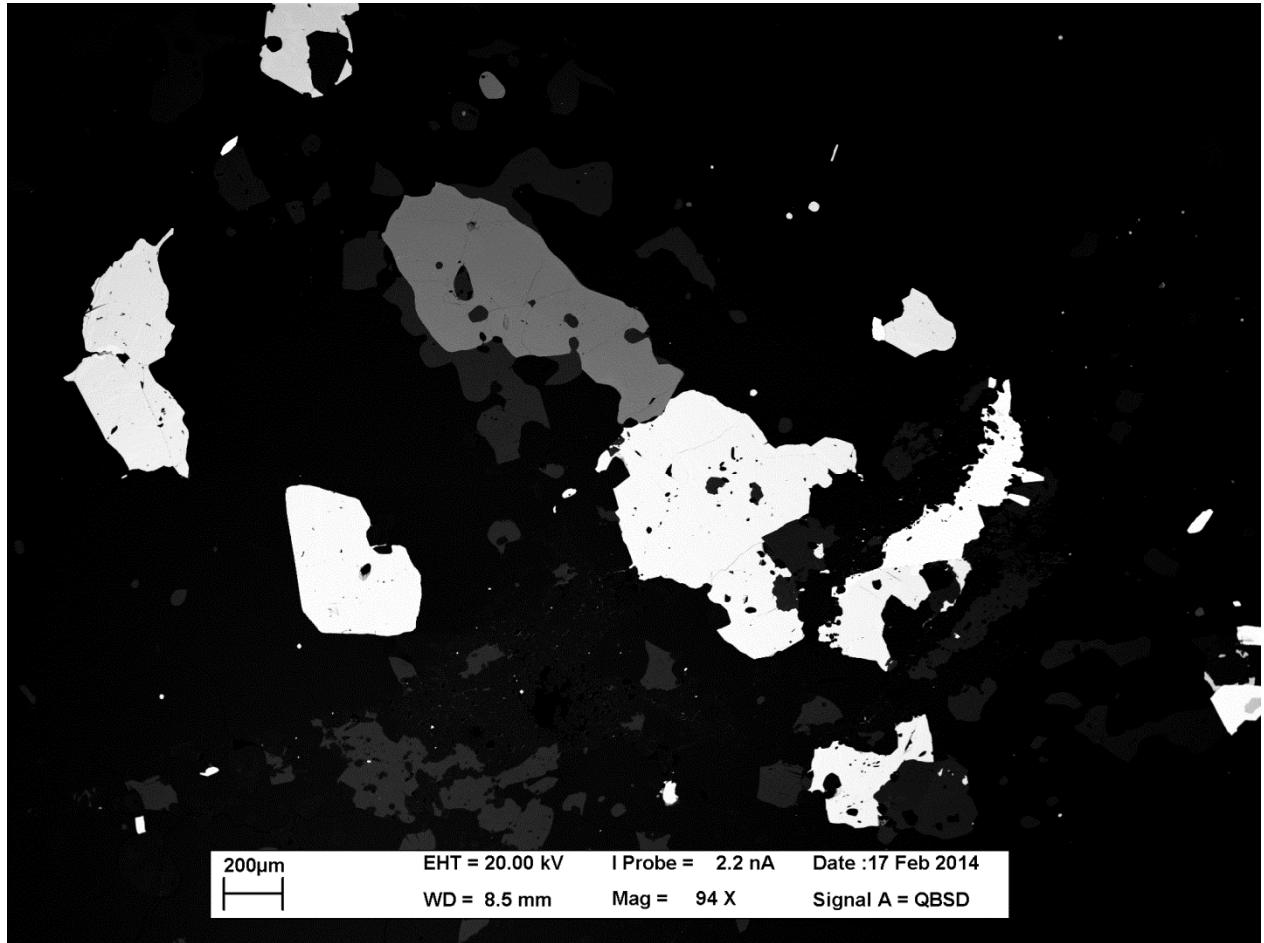
I Probe = 2.2 nA

Date : 17 Feb 2014

WD = 8.5 mm

Mag = 94 X

Signal A = QBSD



200µm



EHT = 20.00 kV

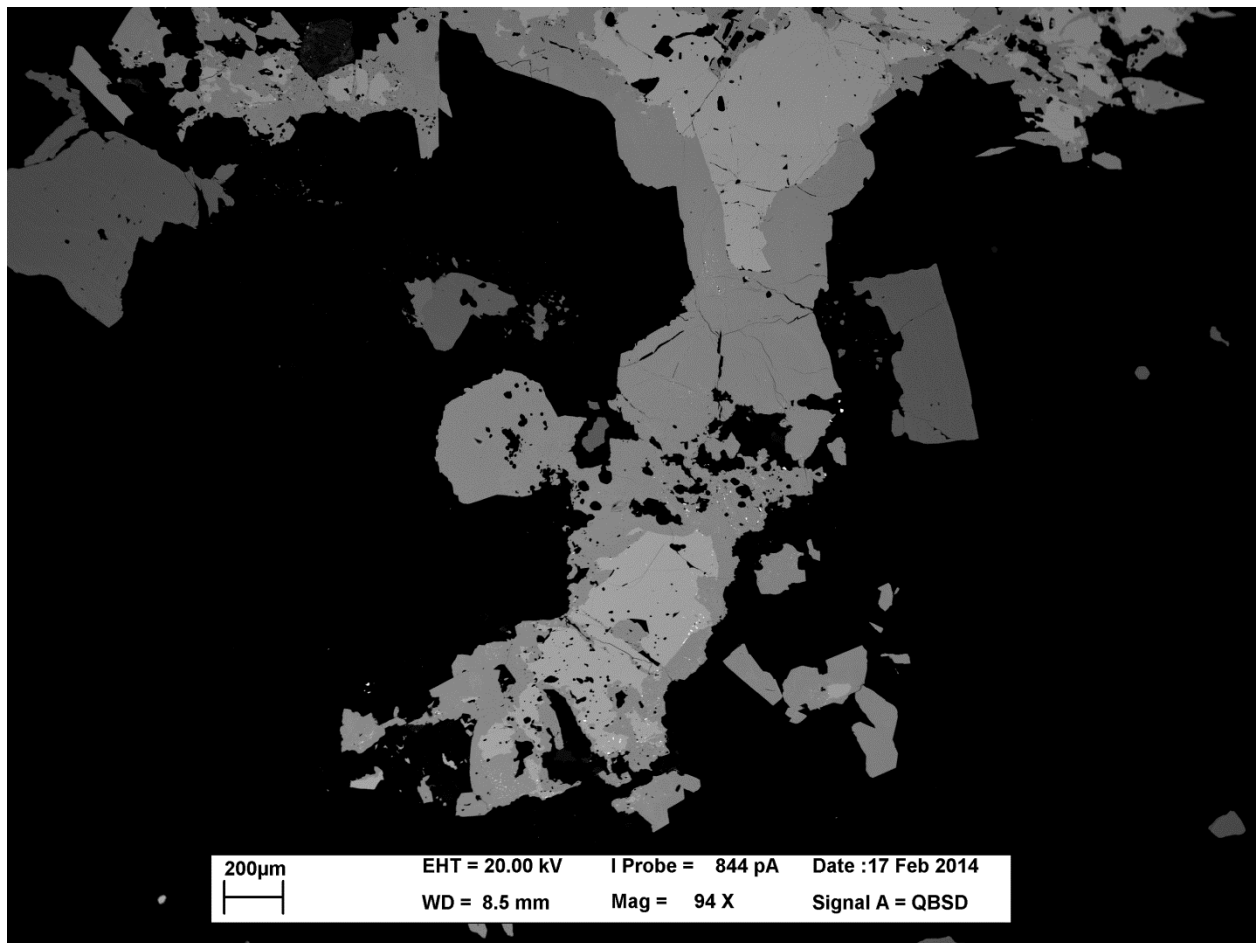
I Probe = 2.2 nA

Date : 17 Feb 2014

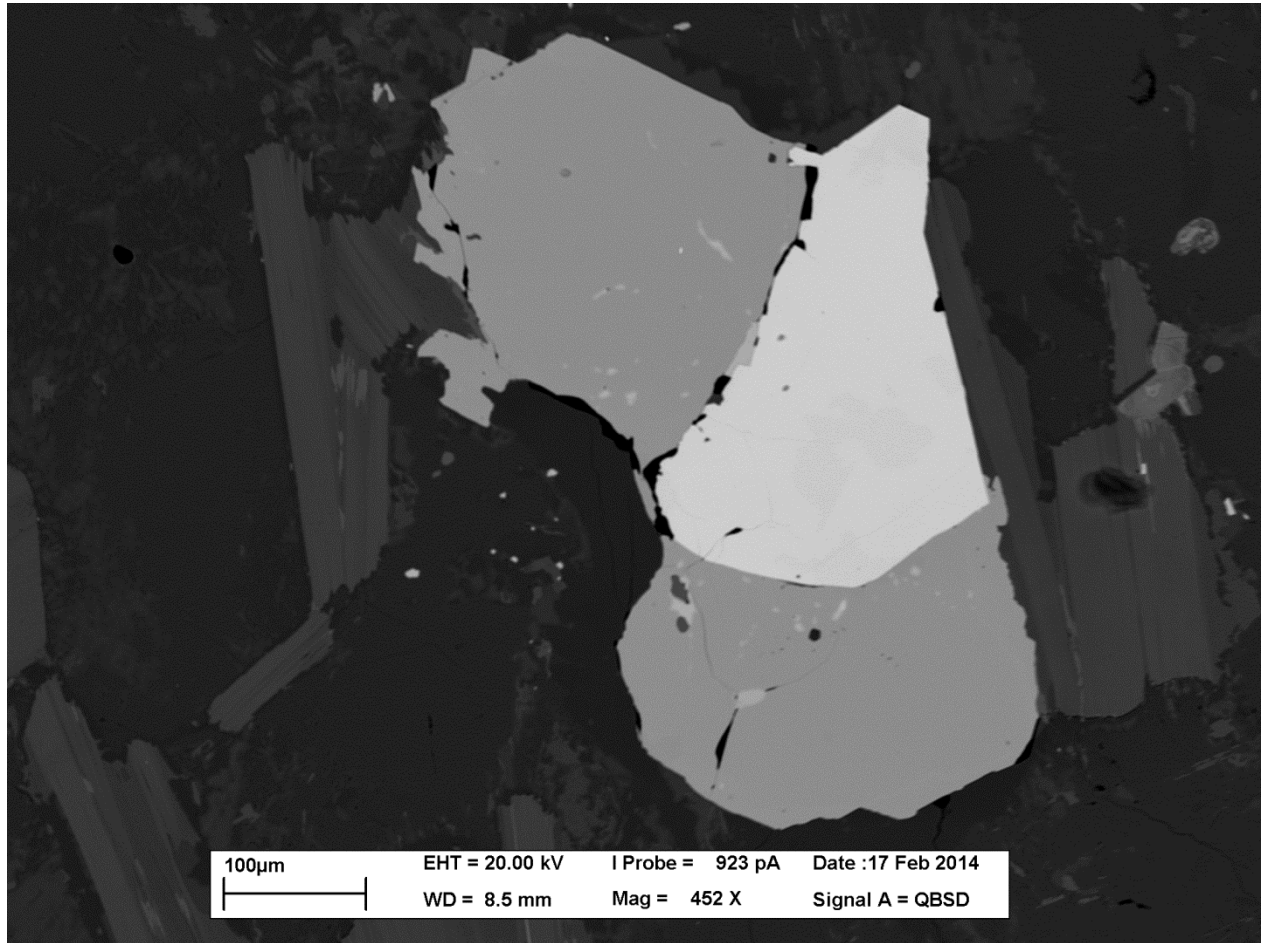
WD = 8.5 mm

Mag = 94 X

Signal A = QBSD



200µm EHT = 20.00 kV I Probe = 844 pA Date : 17 Feb 2014
WD = 8.5 mm Mag = 94 X Signal A = QBSD



100µm

EHT = 20.00 kV

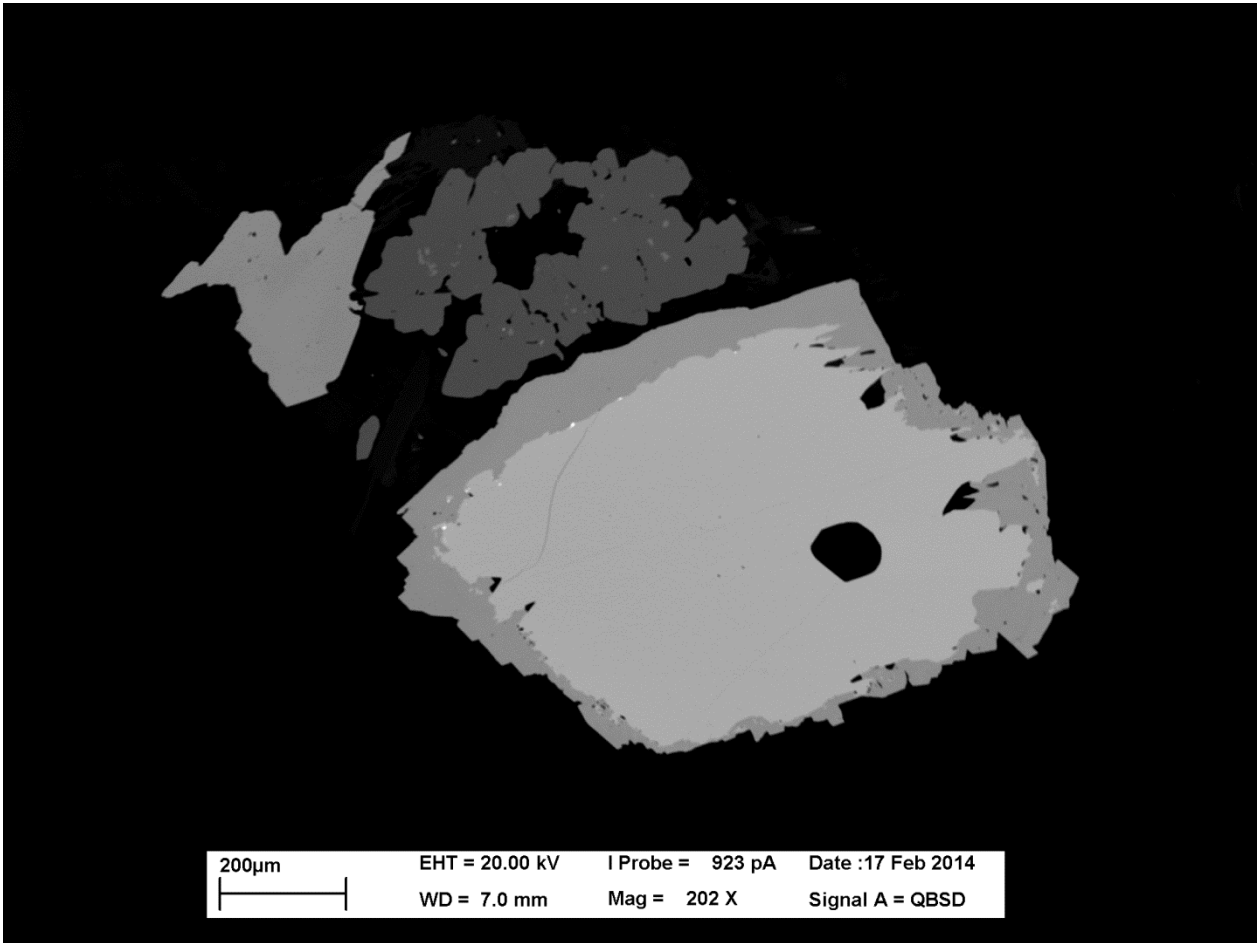
I Probe = 923 pA

Date :17 Feb 2014

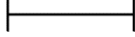
WD = 8.5 mm

Mag = 452 X

Signal A = QBSD



200µm



EHT = 20.00 kV

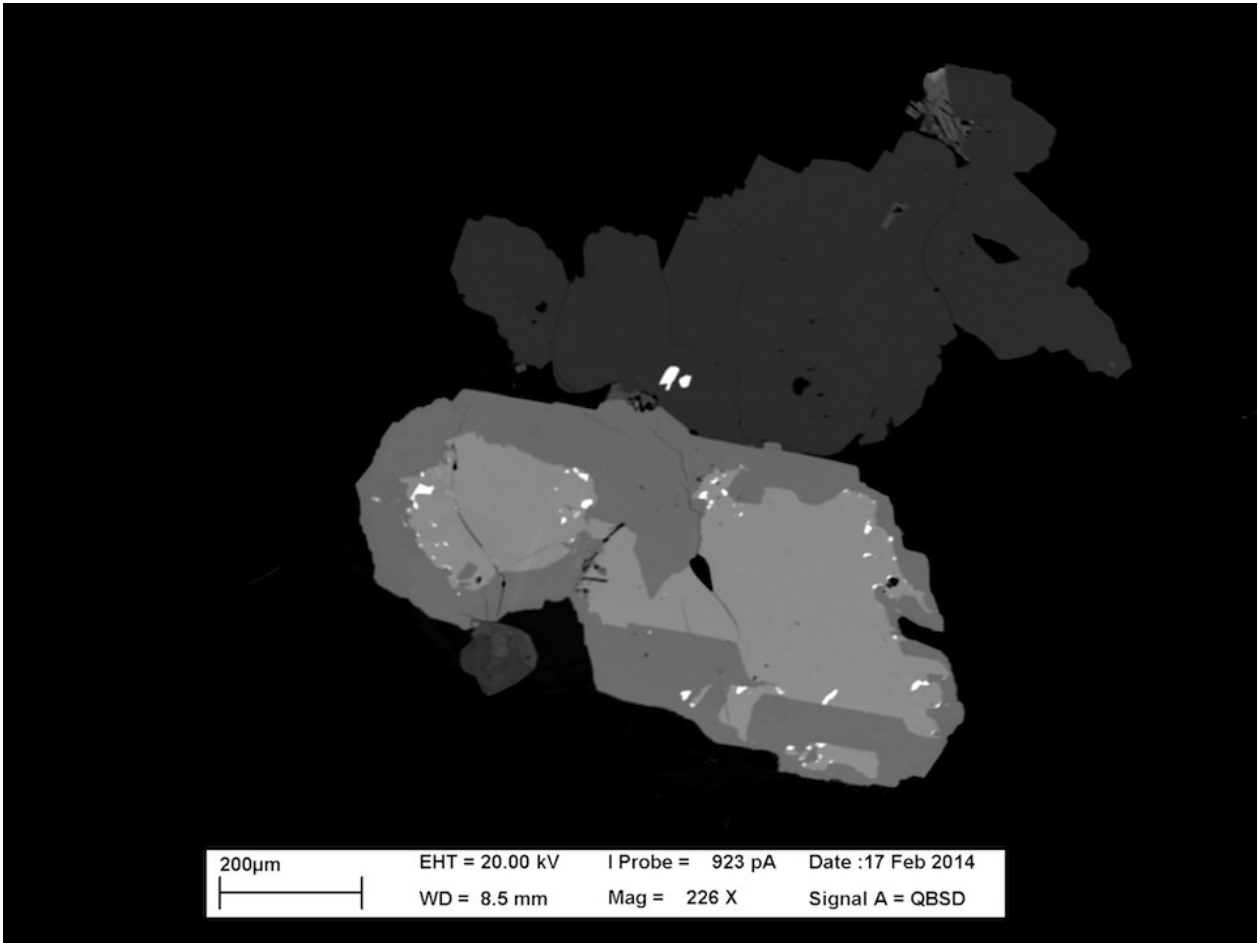
I Probe = 923 pA

Date :17 Feb 2014

WD = 7.0 mm

Mag = 202 X

Signal A = QBSD



200µm

EHT = 20.00 kV

I Probe = 923 pA

Date :17 Feb 2014

WD = 8.5 mm

Mag = 226 X

Signal A = QBSD

ANNEXE D : ANALYSES AU LA-ICPMS

Conditions analytiques

Modèle de l'appareil :	Photon-Machines Analyte.193 Système d'ablation laser Excimer ($\lambda = 193\text{nm}$) avec une cellule d'ablation Helex ablation et un ICPMS quadropole Agilent 770x
<i>Caractéristique du système d'ablation laser</i>	
Taux de fréquence	10 Hz
Énergie	5,71 J/cm ²
Débit gaz MFC1 : 0,6 L/min	Débit gaz MFC2 : 0,4 L/min
Diamètre du faisceau	± 52 μm
Durée de l'analyse du bruit de fond (laser désactivé)	40 sec.
Durée de l'analyse de l'échantillon (laser activé)	60 sec.
Résolution	1 ppb
Éléments analysés	S, S, Ca, Fe, Co, Ni, Cu, Zn, As, Se, Mo, Ag, Sn, Sb, Te, Ta, W, Au, Tl, Pb, Bi

Composition moyenne par rapport au standard GSE-1G :

Analyse	Échantillon	Minéral	Position	Type	Zone	Si29	S34	Ca42	Fe57	Co59	Ni60	Cu65	Zn66	As75	Se77	Mo95	Ag109
DE04A06	EOC-13-010	Pyrite	bordure	Py2	Nord	21,35	556064,40	<-1,00	465464,80	3,75	108,99	310,74	45,97	0,00	3,29	0,35	0,00
DE04A07	EOC-13-010	Pyrite	coeur (poreuse)	Py1	Nord	305,53	446030,30	13,58	465911,00	0,07	156,95	0,28	354,30	8,65	1,87	2,20	0,40
DE04A08	EOC-13-010	Pyrrhotite	coeur	Po2	Nord	109,17	409079,70	21,95	604437,10	0,11	222,67	0,05	0,60	0,00	2,02	0,02	0,33
DE04A09	EOC-13-010	Pyrite	coeur	Py2	Nord	535,01	581880,80	16,01	465911,00	22,25	391,71	114,52	8,04	3,96	5,22	0,02	0,16
DE04A10	EOC-13-010	Pyrite	coeur (poreuse)	Py1	Nord	303,27	456245,80	7,17	465910,90	0,17	224,40	59,56	0,64	8,48	2,02	0,91	0,06
DE04A11	EOC-13-010	Pyrrhotite	coeur	Po2	Nord	120,45	399353,50	<-1,00	604437,10	0,13	259,63	0,11	2,83	1,17	1,69	0,09	0,26
DE04A12	EOC-13-010	Pyrrhotite	coeur	Po2	Nord	107,62	404902,30	30,43	604437,10	3,05	208,73	0,11	0,28	2,26	1,82	0,02	0,31
DE04A13	EOC-13-010	Pyrite	coeur	Py2	Nord	7418,55	487355,60	148,94	465911,00	1502,23	729,32	2,90	0,46	133,55	2,75	0,01	9,55
DE04A14	EOC-13-010	Pyrrhotite	coeur	Po2	Nord	3654,29	413920,90	38,14	604437,10	6,81	200,44	5,63	623,29	0,88	1,74	0,01	0,17
DE04A15	EDH-13-247	Pyrite	coeur	Py2	I2P ore	65,11	317149,70	<-1,00	465464,80	19,30	925,75	0,08	0,33	0,69	2,76	0,00	0,06
DE04A16	EDH-13-247	Pyrite	coeur	Py2	I2P ore	32,77	604065,50	<-1,00	465464,80	67,97	702,69	0,80	298,45	4913,76	7,10	0,00	56,32
DE04A17	EDH-13-247	Pyrrhotite	coeur	Po2	I2P ore	204,51	429874,70	104,73	604437,10	25,88	2334,61	1,03	1,81	8,60	2,41	0,09	1,10
DE04A18	EDH-13-247	Pyrrhotite	inclusion	Po1	I2P ore	458,61	403355,70	<-1,00	604437,10	23,78	2394,62	0,63	-0,07	69,93	0,92	0,00	0,96
DE04A19	EDH-13-247	Pyrite	coeur	Py2	I2P ore	89,73	298744,60	<-1,00	465464,80	20,94	1790,07	1,24	179,04	3,35	3,00	0,00	0,04
DE04A24	EDH-13-247	Pyrite	coeur	Py2	I2P ore	14,62	586479,30	7,81	465464,80	0,03	8,05	0,59	0,00	3797,15	8,67	0,12	0,03
DE04A25	EDH-13-247	Pyrite	bordure	Py2	I2P ore	20,14	592497,60	1,19	465464,80	126,98	2535,13	70,89	5,84	12676,56	4,60	0,00	0,01
DE04A26	EDH-13-247	Pyrite	coeur	Py2	I2P ore	26,69	578757,80	5,44	465464,80	47,78	347,17	3,77	0,94	383,76	7,87	0,02	0,11
DE04A27	EDH-13-247	Pyrite	coeur	Py2	I2P ore	28,28	560592,60	0,00	465464,80	227,73	367,00	0,53	40,65	2,61	6,51	0,02	0,00
DE04A28	EDH-13-247	Pyrrhotite	inclusion	Po1	I2P ore	82,51	404899,90	47,16	604437,10	20,92	2050,23	0,39	0,15	0,13	3,72	0,00	0,31
DE04A29	EDH-13-247	Pyrite	coeur	Py2	I2P ore	29,08	540607,60	0,00	465464,70	126,13	2326,67	1,63	0,78	8785,38	5,23	0,00	0,00
DE04A30	EDH-13-247	Pyrite	coeur	Py2	I2P ore	40,12	543464,20	10,84	465464,80	151,44	473,88	2,30	0,57	4,08	6,37	0,01	0,01
DE04B05	EDH-13-146B	Pyrrhotite	inclusion	Po1	Roberto	12482,19	357407,97	101,87	604437,06	106,63	313,35	2130,53	2,38	52222,66	4,24	0,05	0,11
DE04B06	EDH-13-146B	Pyrrhotite	inclusion	Po1	Roberto	111,81	331201,53	0,00	604437,06	294,51	965,54	20,30	2,99	135359,45	5,02	0,00	0,01
DE04B07	EDH-13-146B	Pyrrhotite	coeur	Po2	Roberto	164,02	359438,22	2,42	604437,06	5,79	173,20	0,63	0,31	49,87	4,91	0,01	0,24
DE04B09	EDH-13-146B	Pyrrhotite	bordure	Po2	Roberto	116,59	378570,59	0,00	604437,06	5,61	70,41	2,99	0,63	22,24	4,47	0,01	0,16
DE04B08	EDH-13-146B	Pyrrhotite	coeur	Po2	Roberto	168,22	370915,41	10,71	604437,06	5,61	74,42	1,14	13,08	14,34	4,32	0,15	0,05
DE04B10	EDH-13-146B	Pyrrhotite	coeur	Po2	Roberto	158,48	381094,09	0,00	604437,06	5,67	74,80	1,02	0,41	8,47	5,12	0,01	0,01
DE04B11	EDH-13-146B	Pyrrhotite	coeur	Po2	Roberto	122,62	374293,47	0,00	604437,13	5,27	66,92	0,57	0,41	13,48	5,28	0,00	-0,01

Analyse	Échantillon	Minéral	Position	Type	Zone	Sn118	Sb121	Te125	Ta181	W182	Au197	Tl205	Pb206	Pb207	Pb208	PbTOT	Bi209
DE04A06	EOC-13-010	Pyrite	bordure	Py2	Nord	0,10	0,17	0,13	0,00	0,00	0,03	0,00	0,21	0,18	0,55	0,94	0,08
DE04A07	EOC-13-010	Pyrite	coeur (poreuse)	Py1	Nord	0,01	18,69	0,07	0,00	68,84	0,00	0,41	2,92	3,14	3,08	9,14	0,51
DE04A08	EOC-13-010	Pyrrhotite	coeur	Po2	Nord	0,03	0,04	0,05	0,00	0,06	0,04	0,01	2,40	2,69	2,76	7,85	0,37
DE04A09	EOC-13-010	Pyrite	coeur	Py2	Nord	0,12	0,10	1,64	0,00	0,02	0,03	0,04	0,64	0,47	1,96	3,07	0,99
DE04A10	EOC-13-010	Pyrite	coeur (poreuse)	Py1	Nord	0,08	4,22	0,04	0,00	84,08	0,03	0,74	0,41	0,46	0,48	1,34	0,06
DE04A11	EOC-13-010	Pyrrhotite	coeur	Po2	Nord	0,04	0,08	0,03	0,00	0,02	0,00	0,11	0,27	0,28	0,26	0,81	0,07
DE04A12	EOC-13-010	Pyrrhotite	coeur	Po2	Nord	0,01	0,03	0,21	0,00	0,03	0,00	0,00	8,17	2,43	7,81	18,41	3,00
DE04A13	EOC-13-010	Pyrite	coeur	Py2	Nord	0,10	3,24	6,74	0,04	0,02	0,10	0,11	644,42	915,76	804,75	2364,93	41,23
DE04A14	EOC-13-010	Pyrrhotite	coeur	Po2	Nord	0,03	0,03	0,06	0,00	0,05	0,01	0,00	2,39	1,92	1,45	5,75	0,77
DE04A15	EDH-13-247	Pyrite	coeur	Py2	I2P ore	0,03	0,00	0,01	0,00	0,00	0,01	0,00	0,15	0,19	0,15	0,48	0,19
DE04A16	EDH-13-247	Pyrite	coeur	Py2	I2P ore	0,01	1,21	31,96	0,00	0,01	0,15	0,03	2196,82	2937,99	2738,29	7873,10	204,00
DE04A17	EDH-13-247	Pyrrhotite	coeur	Po2	I2P ore	0,57	0,09	0,54	0,00	0,06	0,06	0,02	3,30	3,00	2,83	9,13	3,79
DE04A18	EDH-13-247	Pyrrhotite	inclusion	Po1	I2P ore	0,23	0,00	0,67	0,00	0,00	0,00	0,06	1,33	0,57	1,40	3,30	14,33
DE04A19	EDH-13-247	Pyrite	coeur	Py2	I2P ore	0,02	0,01	0,06	0,00	0,00	0,00	0,00	0,07	0,07	0,06	0,19	1,10
DE04A24	EDH-13-247	Pyrite	coeur	Py2	I2P ore	0,02	0,00	0,09	0,00	0,17	0,00	0,03	0,55	0,11	0,11	0,76	0,01
DE04A25	EDH-13-247	Pyrite	bordure	Py2	I2P ore	0,00	0,06	0,08	0,00	0,04	0,06	0,00	0,51	0,44	0,42	1,36	0,25
DE04A26	EDH-13-247	Pyrite	coeur	Py2	I2P ore	0,00	0,46	0,04	0,00	0,00	0,17	0,00	4,55	5,77	5,17	15,49	1,53
DE04A27	EDH-13-247	Pyrite	coeur	Py2	I2P ore	0,01	0,10	0,12	0,00	0,01	0,06	0,02	0,17	0,19	0,17	0,54	0,03
DE04A28	EDH-13-247	Pyrrhotite	inclusion	Po1	I2P ore	0,00	0,00	0,00	0,01	0,01	0,03	0,02	1,36	1,88	1,60	4,84	2,60
DE04A29	EDH-13-247	Pyrite	coeur	Py2	I2P ore	0,12	0,01	0,01	0,00	0,00	0,00	0,00	0,06	0,02	0,02	0,09	0,07
DE04A30	EDH-13-247	Pyrite	coeur	Py2	I2P ore	0,08	0,01	0,10	0,00	0,00	0,00	0,00	0,13	0,13	0,12	0,37	0,04
DE04B05	EDH-13-146B	Pyrrhotite	inclusion	Po1	Roberto	1,20	204,71	1,51	0,42	6,56	21,66	0,97	23,96	8,32	6,04	38,32	3,57
DE04B06	EDH-13-146B	Pyrrhotite	inclusion	Po1	Roberto	0,11	462,80	2,96	0,06	4,64	4,06	0,23	7,00	5,37	6,29	18,66	6,42
DE04B07	EDH-13-146B	Pyrrhotite	coeur	Po2	Roberto	0,04	0,01	0,01	0,00	0,01	0,01	0,00	0,28	0,28	0,29	0,85	0,01
DE04B09	EDH-13-146B	Pyrrhotite	bordure	Po2	Roberto	0,09	0,03	0,00	0,00	0,06	0,00	0,00	0,48	0,46	0,45	1,38	0,02
DE04B08	EDH-13-146B	Pyrrhotite	coeur	Po2	Roberto	0,04	0,00	0,05	0,00	0,00	0,06	0,02	1,82	1,08	1,14	4,04	0,07
DE04B10	EDH-13-146B	Pyrrhotite	coeur	Po2	Roberto	0,08	0,01	0,02	0,00	0,00	0,10	0,00	0,80	0,84	0,78	2,43	0,10
DE04B11	EDH-13-146B	Pyrrhotite	coeur	Po2	Roberto	0,05	0,01	0,06	0,00	0,00	0,10	0,00	0,28	0,66	0,26	1,20	0,05

Analyse	Échantillon	Minéral	Position	Type	Zone	Si29	S34	Ca42	Fe57	Co59	Ni60	Cu65	Zn66	As75	Se77	Mo95	Ag109
DE04B12	EDH-13-146B	Pyrrhotite	coeur	Po2	Roberto	134,02	376708,22	7,52	604437,13	5,71	78,44	0,92	11,40	4,89	5,31	0,01	0,00
DE04B13	EDH-13-123	Pyrrhotite	coeur	Po2	Roberto	99,13	376470,34	39,61	604437,13	0,92	45,43	0,28	0,50	3,91	4,06	0,00	0,01
DE04B14	EDH-13-123	Pyrrhotite	coeur	Po2	Roberto	461,18	382225,66	1,83	604437,06	0,79	101,47	0,67	0,67	8,06	2,48	0,00	0,00
DE04B15	EDH-13-123	Pyrrhotite	coeur	Po2	Roberto	128,13	395375,94	0,00	604437,13	0,29	21,35	0,33	0,33	3,70	2,60	0,01	0,01
DE04B16	EDH-13-123	Pyrrhotite	coeur	Po2	Roberto	462,25	372814,16	0,00	604437,13	1,53	71,56	0,44	2,54	5,17	3,57	0,00	0,00
DE04B17	EDH-13-194	Pyrrhotite	coeur	Po2	Zone 494	99,85	385174,84	0,00	604437,13	0,01	21,94	0,38	0,13	3,59	11,09	0,00	0,25
DE04B22	EDH-13-194	Arsénopyrite	coeur	Apy2	Zone 494	34,44	200601,58	0,00	342949,66	620,52	3857,70	0,68	1,06	401038,91	25,33	0,01	0,07
DE04B23	EDH-13-194	Löllingite	coeur	Lo2	Zone 494	48,97	34844,70	0,00	271475,91	850,82	7576,89	6,27	2074,26	892665,75	19,60	0,02	0,01
DE04B24	EDH-13-194	Löllingite	coeur	Lo2	Zone 494	34,29	27580,83	5,27	271475,88	1047,42	9825,26	0,12	1,47	705938,94	19,06	0,01	0,00
DE04B25	EDH-13-194	Löllingite	coeur	Lo2	Zone 494	72,02	28719,24	132,03	271475,91	1037,98	9709,09	0,16	0,00	731105,44	18,58	0,00	0,17
DE04B26	EDH-13-194	Löllingite	bordure	Lo2	Zone 494	29,46	160406,72	-0,33	271475,91	0,34	634,18	0,72	1,18	308283,41	18,19	0,29	0,18
DE04B27	EDH-13-194	Löllingite	coeur	Lo2	Zone 494	48,21	161449,23	0,00	271475,91	493,22	5041,80	1,11	0,18	362291,78	20,73	0,02	7,16
DE04B28	EDH-13-194	Löllingite	bordure	Lo2	Zone 494	33,37	163671,58	5,43	271475,91	417,86	1647,68	0,23	208,83	363318,00	20,71	0,01	0,05
DE04B29	EDH-13-194	Löllingite	coeur	Lo2	Zone 494	40,40	156218,81	6,72	271475,91	321,55	900,78	0,43	0,44	374619,13	21,23	0,01	0,00
DE04B30	EDH-13-146B	Löllingite	coeur	Lo2	Roberto	34,20	162820,95	4,28	271475,91	1747,15	3677,33	64,27	0,08	352491,16	4,04	2,48	35,69
DE04B31	EDH-13-146B	Löllingite	coeur (po inc.)	Lo2	Roberto	57,70	29490,30	4,95	271475,91	1765,02	5994,88	0,73	1,13	868179,25	3,67	0,02	0,01
DE04B32	EDH-13-146B	Löllingite	inc	Lo2	Roberto	133,44	158273,44	0,00	271475,91	1905,67	6367,85	2,23	0,43	409860,81	7,77	0,85	2,86
DE05A05	EDH-13-146B	Arsénopyrite	bordure	Apy2	Roberto	379,24	218627,03	0,00	342949,63	1648,57	5409,54	0,47	0,04	56513,48	19,94	0,12	0,02
DE05A06	EDH-13-146B	Arsénopyrite	coeur	Apy2	Roberto	384,12	207420,53	14,95	342949,63	1037,45	3666,02	4,75	0,48	40022,01	15,62	0,23	2,30
DE05A07	EDH-13-146B	Arsénopyrite	coeur	Apy2	Roberto	14398,11	219438,39	0,00	342949,63	140,31	2158,79	7,16	1,24	29747,48	11,74	0,24	0,01
DE05A08	EDH-13-123	Arsénopyrite	coeur	Apy2	Roberto	16,99	35921,56	0,00	342949,63	553,38	2936,66	1,34	0,16	47616,78	4,12	0,02	0,00
DE05A09	EDH-13-123	Arsénopyrite	coeur	Apy2	Roberto	6995,65	42962,98	251,70	342949,63	336,86	3225,54	1,30	13,24	53990,23	4,30	0,01	0,01
DE05A10	EDH-13-123	Arsénopyrite	bordure	Apy2	Roberto	1258,76	40905,31	73,32	342949,63	322,78	3172,27	0,63	405,34	45158,75	3,61	0,03	0,00
DE05A11	EDH-13-123	Arsénopyrite	coeur	Apy2	Roberto	62,65	205263,33	0,00	342949,63	146,42	1596,54	0,78	0,21	14944,62	11,66	6,80	0,02
DE05A12	EDH-13-123	Arsénopyrite	coeur	Apy2	Roberto	123,38	44928,97	0,00	342949,63	644,99	2306,36	0,49	0,35	36559,00	3,62	0,02	0,00
DE05A13	EDH-13-123	Arsénopyrite	coeur	Apy2	Roberto	113,26	199226,42	4,87	342949,63	331,10	384,06	1,01	0,23	13124,65	4,21	0,02	0,52
DE05A14	EDH-13-168	Pyrrhotite	coeur	Po2	Roberto-Est	172,65	366849,97	29,87	604437,06	-0,10	181,86	5,62	0,49	24,96	2,21	0,00	0,23
DE05A15	EDH-13-168	Löllingite	inc	Lo2	Roberto-Est	1641,34	39599,60	0,82	271475,88	711,93	3500,85	0,46	50,83	19404,19	3,20	0,02	0,03

Analyse	Échantillon	Minéral	Position	Type	Zone	Sn118	Sb121	Te125	Ta181	W182	Au197	Ti205	Pb206	Pb207	Pb208	PbTOT	Bi209
DE04B12	EDH-13-146B	Pyrrhotite	coeur	Po2	Roberto	0,02	0,00	0,08	-0,01	0,00	0,01	0,00	2,50	0,54	0,24	3,28	0,03
DE04B13	EDH-13-123	Pyrrhotite	coeur	Po2	Roberto	0,02	0,00	0,09	0,00	0,00	0,00	0,00	0,54	0,59	0,66	1,78	0,00
DE04B14	EDH-13-123	Pyrrhotite	coeur	Po2	Roberto	0,02	0,00	0,00	0,00	0,00	0,00	0,00	0,70	0,78	1,55	3,03	0,01
DE04B15	EDH-13-123	Pyrrhotite	coeur	Po2	Roberto	0,01	0,00	0,00	0,00	0,00	0,00	0,00	1,48	1,28	1,34	4,10	0,00
DE04B16	EDH-13-123	Pyrrhotite	coeur	Po2	Roberto	0,02	0,04	0,01	0,00	0,01	0,00	0,00	0,71	0,65	0,67	2,04	0,00
DE04B17	EDH-13-194	Pyrrhotite	coeur	Po2	Zone 494	0,02	0,35	0,01	0,00	0,00	0,01	0,01	74,91	0,79	0,73	76,43	3,22
DE04B22	EDH-13-194	Arsénopyrite	coeur	Apy2	Zone 494	0,02	17129,57	3,65	0,00	0,01	0,61	0,00	0,28	0,19	0,13	0,60	9,68
DE04B23	EDH-13-194	Löllingite	coeur	Lo2	Zone 494	0,03	8017,15	2,61	0,00	0,00	3,55	0,27	0,17	0,08	0,02	0,26	0,12
DE04B24	EDH-13-194	Löllingite	coeur	Lo2	Zone 494	0,02	7155,71	3,09	0,00	0,01	2,94	0,19	0,06	0,01	0,04	0,12	0,02
DE04B25	EDH-13-194	Löllingite	coeur	Lo2	Zone 494	0,06	7309,90	2,57	0,00	0,00	4,37	0,15	0,13	0,05	0,03	0,21	1,13
DE04B26	EDH-13-194	Löllingite	bordure	Lo2	Zone 494	0,00	9433,71	5,97	0,00	0,00	27,31	0,00	0,05	0,10	0,07	0,22	3,94
DE04B27	EDH-13-194	Löllingite	coeur	Lo2	Zone 494	0,01	39102,95	6,98	0,00	0,01	183,61	0,00	586,77	834,07	728,50	2149,34	785,56
DE04B28	EDH-13-194	Löllingite	bordure	Lo2	Zone 494	0,01	8458,68	2,06	0,00	0,01	13,64	0,02	0,68	0,54	0,90	2,12	4,38
DE04B29	EDH-13-194	Löllingite	coeur	Lo2	Zone 494	0,01	15010,24	1,32	0,00	0,00	0,04	0,00	0,20	0,05	0,03	0,28	0,04
DE04B30	EDH-13-146B	Löllingite	coeur	Lo2	Roberto	0,18	7971,11	78,31	0,00	0,00	8352,01	0,00	10,09	12,41	11,09	33,59	2357,65
DE04B31	EDH-13-146B	Löllingite	coeur (po inc.)	Lo2	Roberto	0,54	2770,96	10,70	0,06	1,14	24,80	0,00	0,42	0,32	0,10	0,84	0,25
DE04B32	EDH-13-146B	Löllingite	inc	Lo2	Roberto	0,01	6377,39	12,61	0,00	0,01	1215,44	0,00	5,20	6,61	8,78	20,59	1010,06
DE05A05	EDH-13-146B	Arsénopyrite	bordure	Apy2	Roberto	0,02	31309,96	29,32	0,01	0,00	5,13	0,03	4,51	5,29	5,23	15,03	14,08
DE05A06	EDH-13-146B	Arsénopyrite	coeur	Apy2	Roberto	0,03	19771,88	43,04	0,00	0,05	556,49	0,01	4,44	4,84	4,29	13,57	362,28
DE05A07	EDH-13-146B	Arsénopyrite	coeur	Apy2	Roberto	0,03	15217,40	28,20	0,00	0,02	5,94	0,26	4,56	3,38	4,27	12,21	15,36
DE05A08	EDH-13-123	Arsénopyrite	coeur	Apy2	Roberto	0,37	3576,77	10,29	0,00	0,02	31,27	0,77	0,18	0,65	0,13	0,96	0,11
DE05A09	EDH-13-123	Arsénopyrite	coeur	Apy2	Roberto	0,37	4217,32	9,73	0,01	0,98	37,88	0,08	2,17	2,26	2,09	6,52	1,90
DE05A10	EDH-13-123	Arsénopyrite	bordure	Apy2	Roberto	0,08	3967,19	9,15	0,00	0,01	24,52	0,08	0,40	0,28	0,35	1,03	0,03
DE05A11	EDH-13-123	Arsénopyrite	coeur	Apy2	Roberto	0,00	3753,60	14,34	0,00	0,02	0,97	0,01	3,21	4,30	4,43	11,94	3,22
DE05A12	EDH-13-123	Arsénopyrite	coeur	Apy2	Roberto	0,09	3988,72	9,67	0,05	0,37	30,38	0,00	0,44	0,20	0,41	1,05	0,10
DE05A13	EDH-13-123	Arsénopyrite	coeur	Apy2	Roberto	0,03	6619,96	19,42	0,00	0,00	15,61	0,00	0,46	0,92	0,55	1,92	3,80
DE05A14	EDH-13-168	Pyrrhotite	coeur	Po2	Roberto-Est	0,05	0,14	0,00	0,00	0,01	0,03	0,00	0,13	0,26	0,16	0,55	0,01
DE05A15	EDH-13-168	Löllingite	inc	Lo2	Roberto-Est	0,14	4046,24	7,35	0,00	0,02	25,58	0,00	2,63	3,10	2,81	8,54	7,48

Analyse	Échantillon	Minéral	Position	Type	Zone	Si29	S34	Ca42	Fe57	Co59	Ni60	Cu65	Zn66	As75	Se77	Mo95	Ag109
DE05A16	EDH-13-168	Löllingite	inc	Lo2	Roberto-Est	108,31	30406,92	0,00	271475,88	669,34	3206,39	3,42	1,01	20137,41	2,94	0,00	0,01
DE05A17	EDH-13-168	Arsénopyrite	bordure	Apy2	Roberto-Est	102,17	197283,92	11,92	342949,63	657,44	3230,91	2,25	0,13	9499,00	7,17	0,36	0,02
DE05A18	EDH-13-168	Arsénopyrite	coeur	Apy2	Roberto-Est	73,71	196360,61	0,00	342949,63	555,72	567,70	0,12	0,21	8673,18	3,46	0,02	0,00
DE05A19	EDH-13-168	Arsénopyrite	bordure	Apy2	Roberto-Est	64,38	186445,88	0,00	342949,63	335,55	360,83	0,74	2,86	7721,00	3,13	0,01	0,01
DE05B05	EDH-13-056	Arsénopyrite	coeur	Apy3	Pegmatite	50,52	37178,58	0,00	342949,63	46,46	22,59	2,22	1,55	128081,04	1,48	0,09	0,06
DE05B06	EDH-13-056	Löllingite	coeur	Lo3	Pegmatite	698,04	28113,38	29,30	271475,88	44,92	34,50	7,15	0,08	85145,93	1,44	0,25	1,11
DE05B07	EDH-13-056	Arsénopyrite	bordure	Apy3	Pegmatite	616,32	62811,96	94,62	342949,63	58,90	28,88	32,72	2,43	85696,34	2,21	0,20	2,55
DE05B08	EDH-13-056	Arsénopyrite	bordure	Apy3	Pegmatite	391,91	206018,67	27,54	342949,66	58,28	14,78	65,91	110,33	34916,30	2,51	0,06	0,85
DE05B09	EDH-13-056	Löllingite	coeur	Lo3	Pegmatite	62,44	33690,71	0,00	271475,88	37,13	18,94	2,95	0,68	50989,27	1,16	0,01	0,06
DE05B10	EDH-13-056	Löllingite	bordure	Lo3	Pegmatite	103,25	32441,63	1,14	271475,88	35,55	17,14	1,66	125,80	48593,77	1,17	0,07	0,10
DE05B11	EDH-13-056	Löllingite	coeur	Lo3	Pegmatite	75,09	23331,48	9,35	271475,88	33,72	21,41	0,76	2,92	46522,71	1,30	0,02	0,05
DE05B12	EDH-13-056	Arsénopyrite	bordure	Apy3	Pegmatite	64,24	214487,47	115,97	342949,63	13,90	1,61	13,27	1,26	21273,89	1,90	0,17	0,17
DE05B13	EDH-13-056	Arsénopyrite	bordure	Apy3	Pegmatite	57,39	203988,70	3,43	342949,63	10,84	0,93	18,40	10,37	17988,73	1,62	0,00	0,11
DE05B14	EDH-13-056	Arsénopyrite	coeur	Apy3	Pegmatite	79,78	41004,91	0,00	342949,63	46,70	21,29	1,70	411,25	44893,41	1,47	0,10	0,01
DE05B15	EDH-13-056	Löllingite	bordure	Lo3	Pegmatite	75,60	32755,23	7,06	271475,88	35,75	13,98	8,12	0,37	32490,86	1,22	0,03	0,21
DE05B16	EOC-13-021	Löllingite	inc	Lo2	Paragneiss	16994,29	70644,30	5028,75	271475,88	1215,55	3819,92	1,98	9,61	22623,19	13,71	0,13	1,57
DE05B17	EOC-13-021	Löllingite	inc	Lo2	Paragneiss	3891,10	29242,91	0,00	271475,91	1054,34	3268,17	0,36	6,22	27179,44	4,48	0,05	0,24
DE05B18	EOC-13-008	Löllingite	coeur	Lo2	Nord	1178,17	144097,72	212,98	271475,91	435,96	798,15	0,33	2,86	11414,42	6,22	0,01	0,70
DE05B19	EOC-13-008	Arsénopyrite	coeur	Apy2	Nord	62,76	197555,13	9,56	342949,66	1117,37	4118,33	0,43	0,68	14028,00	6,92	0,02	0,03
DE05B20	EOC-13-008	Arsénopyrite	coeur	Apy2	Nord	725,82	195137,22	0,00	342949,69	856,58	2845,89	0,96	1,11	12319,38	7,08	4,19	0,13
DE05B21	EOC-13-008	Arsénopyrite	coeur	Apy2	Nord	271,09	197931,81	32,41	342949,66	1090,93	3100,30	2,38	11,82	12949,72	8,39	0,29	335,10
DE05C05	EDH-13-123	Arsénopyrite	coeur	Apy2	Roberto	88,97	39885,44	2,28	342949,63	483,09	2838,39	8,52	1,14	187252,45	4,27	0,04	0,25
DE05C06	EDH-13-123	Arsénopyrite	coeur	Apy2	Roberto	936,62	36062,68	1,39	342949,63	458,60	2733,78	2,71	10,27	140505,00	3,75	0,30	0,03
DE05C07	EDH-13-123	Pyrrhotite	coeur	Po2	Roberto	179,58	338029,81	12,96	604437,06	1,15	163,57	2,35	0,97	0,00	4,95	0,01	0,03
DE05C08	EDH-13-123	Arsénopyrite	coeur	Apy2	Roberto	296,72	38904,23	0,00	342949,66	378,16	2489,93	15,83	730,59	125733,23	3,94	0,05	0,05
DE05C09	EDH-13-123	Arsénopyrite	coeur	Apy2	Roberto	72,37	38559,34	0,00	342949,63	701,21	2282,99	3,31	0,39	116766,63	4,96	0,02	0,00
DE05C10	EDH-13-123	Arsénopyrite	coeur	Apy2	Roberto	63,83	36463,36	6,94	342949,63	549,03	2913,74	8,50	3,72	107846,29	3,91	0,24	0,05
DE05C11	EDH-13-123	Arsénopyrite	coeur	Apy2	Roberto	33751,06	37652,73	27,54	342949,63	1241,28	2106,85	10,14	179,04	86702,31	3,55	0,04	0,02

Analyse	Echantillon	Minéral	Position	Type	Zone	Sn118	Sb121	Te125	Ta181	W182	Au197	Ti205	Pb206	Pb207	Pb208	PbTOT	Bi209
DE05A16	EDH-13-168	Löllingite	inc	Lo2	Roberto-Est	0,08	4194,86	8,13	0,00	0,00	24,08	0,00	0,83	0,43	0,51	1,77	1,36
DE05A17	EDH-13-168	Arsénopyrite	bordure	Apy2	Roberto-Est	0,01	2237,65	3,93	0,00	0,14	2,44	0,00	1,68	3,16	1,80	6,64	5,63
DE05A18	EDH-13-168	Arsénopyrite	coeur	Apy2	Roberto-Est	0,00	4428,58	6,25	0,00	0,00	0,25	0,09	0,38	0,22	0,24	0,83	0,07
DE05A19	EDH-13-168	Arsénopyrite	bordure	Apy2	Roberto-Est	0,04	3461,52	5,13	0,00	0,00	0,16	0,00	0,15	0,10	0,57	0,81	0,28
DE05B05	EDH-13-056	Arsénopyrite	coeur	Apy3	Pegmatite	0,02	809,28	7,30	0,00	0,00	31,02	0,00	3,50	2,93	2,71	9,14	18,50
DE05B06	EDH-13-056	Löllingite	coeur	Lo3	Pegmatite	0,10	482,27	3,11	0,00	0,04	34,52	0,03	19,52	21,93	21,33	62,78	47,48
DE05B07	EDH-13-056	Arsénopyrite	bordure	Apy3	Pegmatite	2,47	1198,54	11,90	0,00	0,16	75,24	0,03	107,76	67,56	81,42	256,74	63,69
DE05B08	EDH-13-056	Arsénopyrite	bordure	Apy3	Pegmatite	2,90	1161,85	16,83	0,00	0,03	107,67	0,02	62,23	49,76	54,86	166,85	82,33
DE05B09	EDH-13-056	Löllingite	coeur	Lo3	Pegmatite	0,06	422,54	5,62	0,00	0,01	19,19	0,00	0,21	0,18	0,15	0,54	1,30
DE05B10	EDH-13-056	Löllingite	bordure	Lo3	Pegmatite	0,03	276,15	5,97	0,00	0,01	21,47	0,00	0,20	0,18	0,83	1,21	0,26
DE05B11	EDH-13-056	Löllingite	coeur	Lo3	Pegmatite	0,03	702,93	2,50	0,00	0,00	13,82	0,00	0,73	0,38	0,35	1,45	0,62
DE05B12	EDH-13-056	Arsénopyrite	bordure	Apy3	Pegmatite	0,01	1112,82	5,34	0,01	0,00	7,96	0,01	2,37	2,47	2,12	6,96	90,26
DE05B13	EDH-13-056	Arsénopyrite	bordure	Apy3	Pegmatite	0,05	397,78	11,99	0,00	0,01	53,07	0,06	0,75	0,74	0,44	1,93	23,94
DE05B14	EDH-13-056	Arsénopyrite	coeur	Apy3	Pegmatite	0,11	430,61	7,80	0,00	0,00	26,09	0,00	0,17	0,16	0,14	0,47	0,31
DE05B15	EDH-13-056	Löllingite	bordure	Lo3	Pegmatite	0,04	561,34	5,17	0,00	0,01	20,13	0,04	0,05	0,50	0,11	0,65	4,07
DE05B16	EOC-13-021	Löllingite	inc	Lo2	Paragneiss	0,07	17,65	10,77	0,01	0,01	8,28	0,08	8,09	10,68	11,26	30,03	25,46
DE05B17	EOC-13-021	Löllingite	inc	Lo2	Paragneiss	0,04	16,37	10,61	0,00	0,00	12,07	0,05	0,30	0,70	0,36	1,36	2,21
DE05B18	EOC-13-008	Löllingite	coeur	Lo2	Nord	0,01	23,87	5,03	0,00	0,00	1,38	0,06	5,15	6,65	6,42	18,22	3,52
DE05B19	EOC-13-008	Arsénopyrite	coeur	Apy2	Nord	0,35	32,77	50,60	0,00	0,01	3,57	0,02	3,18	2,33	1,27	6,78	7,14
DE05B20	EOC-13-008	Arsénopyrite	coeur	Apy2	Nord	0,15	73,49	79,84	0,00	0,03	5,86	0,29	0,97	0,60	0,62	2,20	15,98
DE05B21	EOC-13-008	Arsénopyrite	coeur	Apy2	Nord	0,01	90,07	201,14	0,00	0,11	1977,33	0,38	7,72	6,23	7,35	21,30	697,45
DE05C05	EDH-13-123	Arsénopyrite	coeur	Apy2	Roberto	0,69	3993,48	10,00	0,09	3,76	29,22	0,01	0,38	0,31	0,25	0,94	0,04
DE05C06	EDH-13-123	Arsénopyrite	coeur	Apy2	Roberto	0,20	3519,61	9,27	0,00	0,50	20,19	0,04	2,24	0,41	154,05	156,69	0,05
DE05C07	EDH-13-123	Pyrrhotite	coeur	Po2	Roberto	0,06	0,12	0,00	0,00	0,01	0,00	0,00	0,24	0,29	0,24	0,77	0,03
DE05C08	EDH-13-123	Arsénopyrite	coeur	Apy2	Roberto	0,08	3913,24	5,50	0,00	0,01	47,57	0,01	0,44	0,24	0,05	0,73	0,05
DE05C09	EDH-13-123	Arsénopyrite	coeur	Apy2	Roberto	0,02	3909,06	7,30	0,00	0,42	31,28	0,01	20,71	4,67	2,30	27,68	0,02
DE05C10	EDH-13-123	Arsénopyrite	coeur	Apy2	Roberto	0,00	3957,21	6,42	0,00	0,01	46,28	0,00	0,11	0,08	0,43	0,62	0,08
DE05C11	EDH-13-123	Arsénopyrite	coeur	Apy2	Roberto	0,24	3498,65	9,31	0,00	0,08	29,47	0,02	6,61	6,84	31,91	45,36	4,71

Analyse	Échantillon	Minéral	Position	Type	Zone	Si29	S34	Ca42	Fe57	Co59	Ni60	Cu65	Zn66	As75	Se77	Mo95	Ag109
DE05C12	EDH-13-123	Arsénopyrite	coeur	Apy2	Roberto	180,90	36757,32	0,00	342949,63	840,73	4489,71	9,44	143,63	67767,19	3,50	0,03	0,02
DE05C13	EOC-13-008	Arsénopyrite	coeur	Apy2	Nord TR20	459,41	198753,69	0,00	342949,63	725,87	2506,02	0,22	0,15	33815,52	15,83	0,10	0,49
DE05C14	EOC-13-008	Arsénopyrite	coeur	Apy2	Nord TR20	68,57	188975,95	0,00	342949,63	1125,34	3264,81	0,27	184,83	32402,91	7,97	11,09	0,10
DE05C15	EOC-13-008	Arsénopyrite	coeur	Apy2	Nord TR20	6790,92	156953,58	2185,50	342949,63	222,88	113,12	11,94	66,87	22560,84	2,89	3,26	0,65
DE05C16	EOC-13-008	Arsénopyrite	coeur	Apy2	Nord TR20	13282,91	192391,23	65,96	342949,63	1387,61	4702,24	6,79	176,55	25980,14	8,65	1,38	0,35
DE05C17	EOC-13-008	Arsénopyrite	coeur	Apy2	Nord TR20	59,49	195521,78	0,00	342949,63	792,15	2787,87	0,30	0,13	26598,39	12,21	1,46	3,16
DE05C18	EOC-13-008	Arsénopyrite	coeur	Apy2	Nord TR20	64,32	192312,80	0,00	342949,63	407,55	841,64	0,34	920,98	28644,72	3,25	0,02	0,07
DE05C19	EOC-13-008	Arsénopyrite	coeur	Apy2	Nord TR20	56,15	181693,30	0,00	342949,63	303,86	1246,36	2,69	3,33	27308,46	3,68	0,16	0,01
DE05C20	EOC-13-008	Arsénopyrite	coeur	Apy2	Nord TR20	42,03	185574,45	0,00	342949,63	742,94	1679,29	0,38	0,11	24019,48	3,73	0,95	0,06
DE05C21	EOC-13-008	Arsénopyrite	coeur	Apy2	Nord TR20	89,65	190827,13	14,07	342949,63	347,68	1842,10	0,14	4,79	22927,60	3,39	2,51	0,01

Analyse	Échantillon	Minéral	Position	Type	Zone	Sn118	Sb121	Te125	Ta181	W182	Au197	Tl205	Pb206	Pb207	Pb208	PbTOT	Bi209
DE05C12	EDH-13-123	Arsénopyrite	coeur	Apy2	Roberto	0,03	3258,88	5,28	0,00	0,04	42,00	0,00	0,16	1,75	1,50	3,42	0,13
DE05C13	EOC-13-008	Arsénopyrite	coeur	Apy2	Nord TR20	0,01	30,69	81,13	0,00	0,01	17,99	0,28	2,51	2,98	2,86	8,35	51,80
DE05C14	EOC-13-008	Arsénopyrite	coeur	Apy2	Nord TR20	0,01	132,44	203,59	0,00	0,01	4,57	0,00	0,21	0,36	0,25	0,82	17,82
DE05C15	EOC-13-008	Arsénopyrite	coeur	Apy2	Nord TR20	0,06	164,96	28,51	0,01	0,03	0,14	0,37	2,77	1,65	1,95	6,38	4,77
DE05C16	EOC-13-008	Arsénopyrite	coeur	Apy2	Nord TR20	0,05	21,11	98,81	0,00	0,00	13,72	0,16	20,63	22,63	23,08	66,34	51,15
DE05C17	EOC-13-008	Arsénopyrite	coeur	Apy2	Nord TR20	0,01	103,31	132,03	0,00	0,02	33,20	0,00	0,78	0,97	0,89	2,64	106,35
DE05C18	EOC-13-008	Arsénopyrite	coeur	Apy2	Nord TR20	0,01	266,32	35,91	0,00	0,01	0,31	0,02	0,58	0,24	0,35	1,17	0,49
DE05C19	EOC-13-008	Arsénopyrite	coeur	Apy2	Nord TR20	0,01	377,50	46,16	0,00	0,00	0,65	0,00	0,04	0,17	0,19	0,40	0,15
DE05C20	EOC-13-008	Arsénopyrite	coeur	Apy2	Nord TR20	0,03	443,78	56,82	0,00	0,00	0,91	0,02	1,31	0,63	2,90	4,84	1,98
DE05C21	EOC-13-008	Arsénopyrite	coeur	Apy2	Nord TR20	0,02	778,35	60,41	0,00	0,00	1,11	0,00	0,29	0,44	0,59	1,32	1,58

Composition moyenne par rapport au standard Po-689 :

Analyse	Échantillon	Minéral	Position	Type	Zone	Si29	S34	Ca42	Fe57	Co59	Ni60	Cu65	Zn66	As75	Se77	Mo95	Ag109
DE04A06	EOC-13-010	Pyrite	bordure	Py2	Nord	0,00	556064,44	<-1,00	465464,81	3,75	0,00	0,00	0,00	-0,31	0,00	0,00	0,00
DE04A07	EOC-13-010	Pyrite	coeur (poreuse)	Py1	Nord	0,00	446030,31	<-1,00	465910,97	0,07	0,00	0,00	0,00	9,38	0,00	0,00	0,40
DE04A08	EOC-13-010	Pyrrhotite	coeur	Po2	Nord	0,00	409079,66	<-1,00	604437,13	0,11	0,00	0,00	0,00	-0,50	0,00	0,00	0,33
DE04A09	EOC-13-010	Pyrite	coeur	Py2	Nord	0,00	581880,81	<-1,00	465910,97	22,25	0,00	0,00	0,00	4,32	0,00	0,00	0,16
DE04A10	EOC-13-010	Pyrite	coeur (poreuse)	Py1	Nord	0,00	456245,78	<-1,00	465910,94	0,17	0,00	0,00	0,00	9,28	0,00	0,00	0,06
DE04A11	EOC-13-010	Pyrrhotite	coeur	Po2	Nord	0,00	399353,50	<-1,00	604437,13	0,13	0,00	0,00	0,00	1,28	0,00	0,00	0,26
DE04A12	EOC-13-010	Pyrrhotite	coeur	Po2	Nord	0,00	404902,25	<-1,00	604437,13	3,05	0,00	0,00	0,00	2,48	0,00	0,00	0,31
DE04A13	EOC-13-010	Pyrite	coeur	Py2	Nord	0,00	487355,63	<-1,00	465910,97	1502,23	0,00	0,00	0,00	147,13	0,00	0,00	9,55
DE04A14	EOC-13-010	Pyrrhotite	coeur	Po2	Nord	0,00	413920,91	<-1,00	604437,13	6,81	0,00	0,00	0,00	0,97	0,00	0,00	0,17
DE04A15	EDH-13-247	Pyrite	coeur	Py2	I2P ore	0,00	317149,69	<-1,00	465464,81	19,30	0,00	0,00	0,00	0,76	0,00	0,00	0,06
DE04A16	EDH-13-247	Pyrite	coeur	Py2	I2P ore	0,00	604065,50	<-1,00	465464,78	67,97	0,00	0,00	0,00	5454,22	0,00	0,00	56,32
DE04A17	EDH-13-247	Pyrrhotite	coeur	Po2	I2P ore	0,00	429874,66	<-1,00	604437,13	25,88	0,00	0,00	0,00	9,57	0,00	0,00	1,10
DE04A18	EDH-13-247	Pyrrhotite	inclusion	Po1	I2P ore	0,00	403355,69	<-1,00	604437,06	23,78	0,00	0,00	0,00	78,01	0,00	0,00	0,96
DE04A19	EDH-13-247	Pyrite	coeur	Py2	I2P ore	0,00	298744,63	<-1,00	465464,75	20,94	0,00	0,00	0,00	3,74	0,00	0,00	0,04
DE04A24	EDH-13-247	Pyrite	coeur	Py2	I2P ore	0,00	586479,25	<-1,00	465464,75	0,03	0,00	0,00	0,00	4297,59	0,00	0,00	0,03
DE04A25	EDH-13-247	Pyrite	bordure	Py2	I2P ore	0,00	592497,56	<-1,00	465464,75	126,98	0,00	0,00	0,00	14381,33	0,00	0,00	0,01
DE04A26	EDH-13-247	Pyrite	coeur	Py2	I2P ore	0,00	578757,81	<-1,00	465464,75	47,78	0,00	0,00	0,00	436,40	0,00	0,00	0,11
DE04A27	EDH-13-247	Pyrite	coeur	Py2	I2P ore	0,00	560592,63	<-1,00	465464,75	227,73	0,00	0,00	0,00	2,97	0,00	0,00	0,00
DE04A28	EDH-13-247	Pyrrhotite	inclusion	Po1	I2P ore	0,00	404899,91	<-1,00	604437,06	20,92	0,00	0,00	0,00	0,15	0,00	0,00	0,31
DE04A29	EDH-13-247	Pyrite	coeur	Py2	I2P ore	0,00	540607,56	<-1,00	465464,72	126,13	0,00	0,00	0,00	10060,64	0,00	0,00	0,00
DE04A30	EDH-13-247	Pyrite	coeur	Py2	I2P ore	0,00	543464,19	<-1,00	465464,75	151,44	0,00	0,00	0,00	4,68	0,00	0,00	0,01
DE04B05	EDH-13-146B	Pyrrhotite	inclusion	Po1	Roberto	0,00	357407,97	<-1,00	604437,06	92,59	0,00	0,00	0,00	61263,78	0,00	0,00	0,09
DE04B06	EDH-13-146B	Pyrrhotite	inclusion	Po1	Roberto	0,00	331201,53	<-1,00	604437,06	255,81	0,00	0,00	0,00	152024,44	0,00	0,00	0,01
DE04B07	EDH-13-146B	Pyrrhotite	coeur	Po2	Roberto	0,00	359438,22	<-1,00	604437,06	5,03	0,00	0,00	0,00	53,71	0,00	0,00	0,20
DE04B09	EDH-13-146B	Pyrrhotite	bordure	Po2	Roberto	0,00	378570,59	<-1,00	604437,06	4,88	0,00	0,00	0,00	23,01	0,00	0,00	0,13
DE04B08	EDH-13-146B	Pyrrhotite	coeur	Po2	Roberto	0,00	370915,41	<-1,00	604437,06	4,88	0,00	0,00	0,00	14,27	0,00	0,00	0,04
DE04B10	EDH-13-146B	Pyrrhotite	coeur	Po2	Roberto	0,00	381094,09	<-1,00	604437,06	4,93	0,00	0,00	0,00	8,12	0,00	0,00	0,01
DE04B11	EDH-13-146B	Pyrrhotite	coeur	Po2	Roberto	0,00	374293,47	<-1,00	604437,13	4,59	0,00	0,00	0,00	12,47	0,00	0,00	-0,01

Analyse	Échantillon	Minéral	Position	Type	Zone	Sn118	Sb121	Te125	Ta181	W182	Au197	Tl205	Pb206	Pb207	Pb208	PbTOT	Bi209
DE04A06	EOC-13-010	Pyrite	bordure	Py2	Nord	0,00	0,17	0,00	0,00	0,00	0,02	0,00	<-1,00	0,00	0,00	0,00	0,00
DE04A07	EOC-13-010	Pyrite	coeur (poreuse)	Py1	Nord	0,00	18,69	0,00	0,00	0,00	0,00	0,00	<-1,00	0,00	0,00	0,00	0,00
DE04A08	EOC-13-010	Pyrrhotite	coeur	Po2	Nord	0,00	0,04	0,00	0,00	0,00	0,03	0,00	<-1,00	0,00	0,00	0,00	0,00
DE04A09	EOC-13-010	Pyrite	coeur	Py2	Nord	0,00	0,10	0,00	0,00	0,00	0,02	0,00	<-1,00	0,00	0,00	0,00	0,00
DE04A10	EOC-13-010	Pyrite	coeur (poreuse)	Py1	Nord	0,00	4,22	0,00	0,00	0,00	0,02	0,00	<-1,00	0,00	0,00	0,00	0,00
DE04A11	EOC-13-010	Pyrrhotite	coeur	Po2	Nord	0,00	0,08	0,00	0,00	0,00	0,00	0,00	<-1,00	0,00	0,00	0,00	0,00
DE04A12	EOC-13-010	Pyrrhotite	coeur	Po2	Nord	0,00	0,03	0,00	0,00	0,00	0,00	0,00	<-1,00	0,00	0,00	0,00	0,00
DE04A13	EOC-13-010	Pyrite	coeur	Py2	Nord	0,00	3,24	0,00	0,00	0,00	0,07	0,00	<-1,00	0,00	0,00	0,00	0,00
DE04A14	EOC-13-010	Pyrrhotite	coeur	Po2	Nord	0,00	0,03	0,00	0,00	0,00	0,00	0,00	<-1,00	0,00	0,00	0,00	0,00
DE04A15	EDH-13-247	Pyrite	coeur	Py2	I2P ore	0,00	-0,01	0,00	0,00	0,00	0,01	0,00	<-1,00	0,00	0,00	0,00	0,00
DE04A16	EDH-13-247	Pyrite	coeur	Py2	I2P ore	0,00	1,21	0,00	0,00	0,00	0,11	0,00	<-1,00	0,00	0,00	0,00	0,00
DE04A17	EDH-13-247	Pyrrhotite	coeur	Po2	I2P ore	0,00	0,09	0,00	0,00	0,00	0,05	0,00	<-1,00	0,00	0,00	0,00	0,00
DE04A18	EDH-13-247	Pyrrhotite	inclusion	Po1	I2P ore	0,00	-0,07	0,00	0,00	0,00	-0,03	0,00	<-1,00	0,00	0,00	0,00	0,00
DE04A19	EDH-13-247	Pyrite	coeur	Py2	I2P ore	0,00	0,01	0,00	0,00	0,00	0,00	0,00	<-1,00	0,00	0,00	0,00	0,00
DE04A24	EDH-13-247	Pyrite	coeur	Py2	I2P ore	0,00	-0,01	0,00	0,00	0,00	0,00	0,00	<-1,00	0,00	0,00	0,00	0,00
DE04A25	EDH-13-247	Pyrite	bordure	Py2	I2P ore	0,00	0,06	0,00	0,00	0,00	0,05	0,00	<-1,00	0,00	0,00	0,00	0,00
DE04A26	EDH-13-247	Pyrite	coeur	Py2	I2P ore	0,00	0,46	0,00	0,00	0,00	0,12	0,00	<-1,00	0,00	0,00	0,00	0,00
DE04A27	EDH-13-247	Pyrite	coeur	Py2	I2P ore	0,00	0,10	0,00	0,00	0,00	0,04	0,00	<-1,00	0,00	0,00	0,00	0,00
DE04A28	EDH-13-247	Pyrrhotite	inclusion	Po1	I2P ore	0,00	-0,03	0,00	0,00	0,00	0,02	0,00	<-1,00	0,00	0,00	0,00	0,00
DE04A29	EDH-13-247	Pyrite	coeur	Py2	I2P ore	0,00	0,01	0,00	0,00	0,00	0,00	0,00	<-1,00	0,00	0,00	0,00	0,00
DE04A30	EDH-13-247	Pyrite	coeur	Py2	I2P ore	0,00	0,01	0,00	0,00	0,00	0,00	0,00	<-1,00	0,00	0,00	0,00	0,00
DE04B05	EDH-13-146B	Pyrrhotite	inclusion	Po1	Roberto	0,00	204,71	0,00	0,00	0,00	14,36	0,00	<-1,00	0,00	0,00	0,00	0,00
DE04B06	EDH-13-146B	Pyrrhotite	inclusion	Po1	Roberto	0,00	462,80	0,00	0,00	0,00	2,69	0,00	<-1,00	0,00	0,00	0,00	0,00
DE04B07	EDH-13-146B	Pyrrhotite	coeur	Po2	Roberto	0,00	0,01	0,00	0,00	0,00	0,00	0,00	<-1,00	0,00	0,00	0,00	0,00
DE04B09	EDH-13-146B	Pyrrhotite	bordure	Po2	Roberto	0,00	0,03	0,00	0,00	0,00	0,00	0,00	<-1,00	0,00	0,00	0,00	0,00
DE04B08	EDH-13-146B	Pyrrhotite	coeur	Po2	Roberto	0,00	-0,02	0,00	0,00	0,00	0,04	0,00	<-1,00	0,00	0,00	0,00	0,00
DE04B10	EDH-13-146B	Pyrrhotite	coeur	Po2	Roberto	0,00	0,01	0,00	0,00	0,00	0,07	0,00	<-1,00	0,00	0,00	0,00	0,00
DE04B11	EDH-13-146B	Pyrrhotite	coeur	Po2	Roberto	0,00	0,01	0,00	0,00	0,00	0,07	0,00	<-1,00	0,00	0,00	0,00	0,00

Analyse	Echantillon	Minéral	Position	Type	Zone	Si29	S34	Ca42	Fe57	Co59	Ni60	Cu65	Zn66	As75	Se77	Mo95	Ag109
DE04B12	EDH-13-146B	Pyrrhotite	coeur	Po2	Roberto	0,00	376708,22	<-1,00	604437,13	4,97	0,00	0,00	0,00	4,37	0,00	0,00	0,00
DE04B13	EDH-13-123	Pyrrhotite	coeur	Po2	Roberto	0,00	376470,34	<-1,00	604437,13	0,80	0,00	0,00	0,00	3,38	0,00	0,00	0,01
DE04B14	EDH-13-123	Pyrrhotite	coeur	Po2	Roberto	0,00	382225,66	<-1,00	604437,06	0,69	0,00	0,00	0,00	6,73	0,00	0,00	0,00
DE04B15	EDH-13-123	Pyrrhotite	coeur	Po2	Roberto	0,00	395375,94	<-1,00	604437,13	0,25	0,00	0,00	0,00	2,99	0,00	0,00	0,01
DE04B16	EDH-13-123	Pyrrhotite	coeur	Po2	Roberto	0,00	372814,16	<-1,00	604437,13	1,33	0,00	0,00	0,00	4,05	0,00	0,00	0,00
DE04B17	EDH-13-194	Pyrrhotite	coeur	Po2	Zone 494	0,00	385174,84	<-1,00	604437,13	0,01	0,00	0,00	0,00	2,74	0,00	0,00	0,20
DE04B22	EDH-13-194	Arsénopyrite	coeur	Apy2	Zone 494	0,00	200601,58	<-1,00	342949,66	542,07	0,00	0,00	0,00	265827,59	0,00	0,00	0,06
DE04B23	EDH-13-194	Löllingite	coeur	Lo2	Zone 494	0,00	34844,70	<-1,00	271475,91	743,52	0,00	0,00	0,00	576663,88	0,00	0,00	0,01
DE04B24	EDH-13-194	Löllingite	coeur	Lo2	Zone 494	0,00	27580,83	<-1,00	271475,88	915,66	0,00	0,00	0,00	444712,28	0,00	0,00	0,00
DE04B25	EDH-13-194	Löllingite	coeur	Lo2	Zone 494	0,00	28719,24	<-1,00	271475,91	907,73	0,00	0,00	0,00	449381,94	0,00	0,00	0,14
DE04B26	EDH-13-194	Löllingite	bordure	Lo2	Zone 494	0,00	160406,72	<-1,00	271475,91	0,30	0,00	0,00	0,00	184988,00	0,00	0,00	0,15
DE04B27	EDH-13-194	Löllingite	coeur	Lo2	Zone 494	0,00	161449,23	<-1,00	271475,91	431,64	0,00	0,00	0,00	212340,75	0,00	0,00	6,02
DE04B28	EDH-13-194	Löllingite	bordure	Lo2	Zone 494	0,00	163671,58	<-1,00	271475,91	365,82	0,00	0,00	0,00	208092,81	0,00	0,00	0,04
DE04B29	EDH-13-194	Löllingite	coeur	Lo2	Zone 494	0,00	156218,81	<-1,00	271475,91	281,61	0,00	0,00	0,00	209778,05	0,00	0,00	0,00
DE04B30	EDH-13-146B	Löllingite	coeur	Lo2	Roberto	0,00	162820,95	<-1,00	271475,91	1530,66	0,00	0,00	0,00	193069,75	0,00	0,00	30,16
DE04B31	EDH-13-146B	Löllingite	coeur (po inc.)	Lo2	Roberto	0,00	29490,30	<-1,00	271475,91	1546,87	0,00	0,00	0,00	465328,03	0,00	0,00	0,01
DE04B32	EDH-13-146B	Löllingite	inc	Lo2	Roberto	0,00	158273,44	<-1,00	271475,91	1670,73	0,00	0,00	0,00	215055,34	0,00	0,00	2,43
DE05A05	EDH-13-146B	Arsénopyrite	bordure	Apy2	Roberto	0,00	218627,03	<-1,00	342949,66	1449,71	0,00	0,00	0,00	56513,48	0,00	0,00	0,02
DE05A06	EDH-13-146B	Arsénopyrite	coeur	Apy2	Roberto	0,00	207420,53	<-1,00	342949,66	909,38	0,00	0,00	0,00	40022,01	0,00	0,00	2,02
DE05A07	EDH-13-146B	Arsénopyrite	coeur	Apy2	Roberto	0,00	219438,39	<-1,00	342949,66	122,59	0,00	0,00	0,00	29747,48	0,00	0,00	0,01
DE05A08	EDH-13-123	Arsénopyrite	coeur	Apy2	Roberto	0,00	35921,56	<-1,00	342949,66	481,97	0,00	0,00	0,00	47616,78	0,00	0,00	0,00
DE05A09	EDH-13-123	Arsénopyrite	coeur	Apy2	Roberto	0,00	42962,98	<-1,00	342949,66	292,45	0,00	0,00	0,00	53990,23	0,00	0,00	0,01
DE05A10	EDH-13-123	Arsénopyrite	bordure	Apy2	Roberto	0,00	40905,31	<-1,00	342949,66	279,34	0,00	0,00	0,00	45158,75	0,00	0,00	0,00
DE05A11	EDH-13-123	Arsénopyrite	coeur	Apy2	Roberto	0,00	205263,33	<-1,00	342949,63	126,32	0,00	0,00	0,00	14944,62	0,00	0,00	0,02
DE05A12	EDH-13-123	Arsénopyrite	coeur	Apy2	Roberto	0,00	44928,97	<-1,00	342949,66	554,67	0,00	0,00	0,00	36559,00	0,00	0,00	0,00
DE05A13	EDH-13-123	Arsénopyrite	coeur	Apy2	Roberto	0,00	199226,42	<-1,00	342949,63	283,83	0,00	0,00	0,00	13124,65	0,00	0,00	0,46
DE05A14	EDH-13-168	Pyrrhotite	coeur	Po2	Roberto-Est	0,00	366849,97	<-1,00	604437,06	-0,09	0,00	0,00	0,00	24,96	0,00	0,00	0,20
DE05A15	EDH-13-168	Löllingite	inc	Lo2	Roberto-Est	0,00	39599,60	<-1,00	271475,88	606,48	0,00	0,00	0,00	19404,19	0,00	0,00	0,02

Analyse	Échantillon	Minéral	Position	Type	Zone	Si29	S34	Ca42	Fe57	Co59	Ni60	Cu65	Zn66	As75	Se77	Mo95	Ag109
DE05A16	EDH-13-168	Löllingite	inc	Lo2	Roberto-Est	0,00	30406,92	<-1,00	271475,88	568,41	0,00	0,00	0,00	20137,41	0,00	0,00	0,01
DE05A17	EDH-13-168	Arsénopyrite	bordure	Apy2	Roberto-Est	0,00	197283,92	<-1,00	342949,63	556,56	0,00	0,00	0,00	9499,00	0,00	0,00	0,01
DE05A18	EDH-13-168	Arsénopyrite	coeur	Apy2	Roberto-Est	0,00	196360,61	<-1,00	342949,63	468,98	0,00	0,00	0,00	8673,18	0,00	0,00	0,00
DE05A19	EDH-13-168	Arsénopyrite	bordure	Apy2	Roberto-Est	0,00	186445,88	<-1,00	342949,63	282,30	0,00	0,00	0,00	7721,00	0,00	0,00	0,00
DE05B05	EDH-13-056	Arsénopyrite	coeur	Apy3	Pegmatite	0,00	37178,58	0,00	342949,69	40,71	0,00	0,00	0,00	128081,04	0,00	0,00	0,05
DE05B06	EDH-13-056	Löllingite	coeur	Lo3	Pegmatite	0,00	28113,38	0,00	271475,91	39,24	0,00	0,00	0,00	85145,93	0,00	0,00	0,89
DE05B07	EDH-13-056	Arsénopyrite	bordure	Apy3	Pegmatite	0,00	62811,96	0,00	342949,72	51,29	0,00	0,00	0,00	85696,34	0,00	0,00	2,03
DE05B08	EDH-13-056	Arsénopyrite	bordure	Apy3	Pegmatite	0,00	206018,67	0,00	342949,72	50,60	0,00	0,00	0,00	34916,30	0,00	0,00	0,68
DE05B09	EDH-13-056	Löllingite	coeur	Lo3	Pegmatite	0,00	33690,71	0,00	271475,94	32,14	0,00	0,00	0,00	50989,27	0,00	0,00	0,05
DE05B10	EDH-13-056	Löllingite	bordure	Lo3	Pegmatite	0,00	32441,63	0,00	271475,91	30,68	0,00	0,00	0,00	48593,77	0,00	0,00	0,08
DE05B11	EDH-13-056	Löllingite	coeur	Lo3	Pegmatite	0,00	23331,48	0,00	271475,91	29,01	0,00	0,00	0,00	46522,71	0,00	0,00	0,04
DE05B12	EDH-13-056	Arsénopyrite	bordure	Apy3	Pegmatite	0,00	214487,47	0,00	342949,69	11,92	0,00	0,00	0,00	21273,89	0,00	0,00	0,13
DE05B13	EDH-13-056	Arsénopyrite	bordure	Apy3	Pegmatite	0,00	203988,70	0,00	342949,66	9,27	0,00	0,00	0,00	17988,73	0,00	0,00	0,08
DE05B14	EDH-13-056	Arsénopyrite	coeur	Apy3	Pegmatite	0,00	41004,91	0,00	342949,66	39,82	0,00	0,00	0,00	44893,41	0,00	0,00	0,01
DE05B15	EDH-13-056	Löllingite	bordure	Lo3	Pegmatite	0,00	32755,23	0,00	271475,91	30,38	0,00	0,00	0,00	32490,86	0,00	0,00	0,16
DE05B16	EOC-13-021	Löllingite	inc	Lo2	Paragneiss	0,00	70644,30	0,00	271475,91	1030,03	0,00	0,00	0,00	22623,19	0,00	0,00	1,19
DE05B17	EOC-13-021	Löllingite	inc	Lo2	Paragneiss	0,00	29242,91	0,00	271475,91	890,74	0,00	0,00	0,00	27179,44	0,00	0,00	0,18
DE05B18	EOC-13-008	Löllingite	coeur	Lo2	Nord	0,00	144097,72	0,00	271475,91	367,21	0,00	0,00	0,00	11414,42	0,00	0,00	0,53
DE05B19	EOC-13-008	Arsénopyrite	coeur	Apy2	Nord	0,00	197555,13	0,00	342949,66	938,33	0,00	0,00	0,00	14028,00	0,00	0,00	0,02
DE05B20	EOC-13-008	Arsénopyrite	coeur	Apy2	Nord	0,00	195137,22	0,00	342949,69	717,17	0,00	0,00	0,00	12319,38	0,00	0,00	0,09
DE05B21	EOC-13-008	Arsénopyrite	coeur	Apy2	Nord	0,00	197931,81	0,00	342949,66	910,65	0,00	0,00	0,00	12949,72	0,00	0,00	246,18
DE05C05	EDH-13-123	Arsénopyrite	coeur	Apy2	Roberto	0,00	39885,44	<-1,00	342949,63	426,03	0,00	0,00	0,00	187252,45	<-1,00	0,00	0,18
DE05C06	EDH-13-123	Arsénopyrite	coeur	Apy2	Roberto	0,00	36062,68	<-1,00	342949,63	403,82	0,00	0,00	0,00	140505,00	<-1,00	0,00	0,02
DE05C07	EDH-13-123	Pyrrhotite	coeur	Po2	Roberto	0,00	338029,81	<-1,00	604437,06	1,01	0,00	0,00	0,00	<-1,00	<-1,00	0,00	0,02
DE05C08	EDH-13-123	Arsénopyrite	coeur	Apy2	Roberto	0,00	38904,23	<-1,00	342949,66	330,71	0,00	0,00	0,00	125733,23	<-1,00	0,00	0,04
DE05C09	EDH-13-123	Arsénopyrite	coeur	Apy2	Roberto	0,00	38559,34	<-1,00	342949,63	610,20	0,00	0,00	0,00	116766,63	<-1,00	0,00	0,00
DE05C10	EDH-13-123	Arsénopyrite	coeur	Apy2	Roberto	0,00	36463,36	<-1,00	342949,63	477,46	0,00	0,00	0,00	107846,29	<-1,00	0,00	0,03
DE05C11	EDH-13-123	Arsénopyrite	coeur	Apy2	Roberto	0,00	37652,73	<-1,00	342949,63	1077,74	0,00	0,00	0,00	86702,31	<-1,00	0,00	0,02

Analyse	Échantillon	Minéral	Position	Type	Zone	Sn118	Sb121	Te125	Ta181	W182	Au197	Ti205	Pb206	Pb207	Pb208	PbTOT	Bi209
DE05A16	EDH-13-168	Löllingite	inc	Lo2	Roberto-Est	0,00	3403,42	0,00	0,00	0,00	16,07	0	0	0	0	0	0
DE05A17	EDH-13-168	Arsénopyrite	bordure	Apy2	Roberto-Est	0,00	1813,84	0,00	0,00	0,00	1,62	0	0	0	0	0	0
DE05A18	EDH-13-168	Arsénopyrite	coeur	Apy2	Roberto-Est	0,00	3586,59	0,00	0,00	0,00	0,17	0	0	0	0	0	0
DE05A19	EDH-13-168	Arsénopyrite	bordure	Apy2	Roberto-Est	0,00	2800,87	0,00	0,00	0,00	0,11	0	0	0	0	0	0
DE05B05	EDH-13-056	Arsénopyrite	coeur	Apy3	Pegmatite	0,00	616,12	0,00	0,00	0,00	18,27	0	<-1,00	0	0	0	0
DE05B06	EDH-13-056	Löllingite	coeur	Lo3	Pegmatite	0,00	366,75	0,00	0,00	0,00	20,31	0	<-1,00	0	0	0	0
DE05B07	EDH-13-056	Arsénopyrite	bordure	Apy3	Pegmatite	0,00	910,43	0,00	0,00	0,00	44,20	0	<-1,00	0	0	0	0
DE05B08	EDH-13-056	Arsénopyrite	bordure	Apy3	Pegmatite	0,00	881,57	0,00	0,00	0,00	63,18	0	<-1,00	0	0	0	0
DE05B09	EDH-13-056	Löllingite	coeur	Lo3	Pegmatite	0,00	320,25	0,00	0,00	0,00	11,24	0	<-1,00	0	0	0	0
DE05B10	EDH-13-056	Löllingite	bordure	Lo3	Pegmatite	0,00	209,07	0,00	0,00	0,00	12,57	0	<-1,00	0	0	0	0
DE05B11	EDH-13-056	Löllingite	coeur	Lo3	Pegmatite	0,00	531,58	0,00	0,00	0,00	8,08	0	<-1,00	0	0	0	0
DE05B12	EDH-13-056	Arsénopyrite	bordure	Apy3	Pegmatite	0,00	840,61	0,00	0,00	0,00	4,65	0	<-1,00	0	0	0	0
DE05B13	EDH-13-056	Arsénopyrite	bordure	Apy3	Pegmatite	0,00	300,14	0,00	0,00	0,00	30,95	0	<-1,00	0	0	0	0
DE05B14	EDH-13-056	Arsénopyrite	coeur	Apy3	Pegmatite	0,00	324,55	0,00	0,00	0,00	15,20	0	<-1,00	0	0	0	0
DE05B15	EDH-13-056	Löllingite	bordure	Lo3	Pegmatite	0,00	422,61	0,00	0,00	0,00	11,71	0	<-1,00	0	0	0	0
DE05B16	EOC-13-021	Löllingite	inc	Lo2	Paragneiss	0,00	13,27	0,00	0,00	0,00	4,81	0	<-1,00	0	0	0	0
DE05B17	EOC-13-021	Löllingite	inc	Lo2	Paragneiss	0,00	12,30	0,00	0,00	0,00	7,01	0	<-1,00	0	0	0	0
DE05B18	EOC-13-008	Löllingite	coeur	Lo2	Nord	0,00	17,91	0,00	0,00	0,00	0,80	0	<-1,00	0	0	0	0
DE05B19	EOC-13-008	Arsénopyrite	coeur	Apy2	Nord	0,00	24,56	0,00	0,00	0,00	2,07	0	<-1,00	0	0	0	0
DE05B20	EOC-13-008	Arsénopyrite	coeur	Apy2	Nord	0,00	55,02	0,00	0,00	0,00	3,39	0	<-1,00	0	0	0	0
DE05B21	EOC-13-008	Arsénopyrite	coeur	Apy2	Nord	0,00	67,36	0,00	0,00	0,00	1142,30	0	<-1,00	0	0	0	0
DE05C05	EDH-13-123	Arsénopyrite	coeur	Apy2	Roberto	0,00	2958,22	0,00	0,00	0,00	15,00	0	0	0	0	0	0
DE05C06	EDH-13-123	Arsénopyrite	coeur	Apy2	Roberto	0,00	2595,01	0,00	0,00	0,00	10,36	0	0	0	0	0	0
DE05C07	EDH-13-123	Pyrrhotite	coeur	Po2	Roberto	0,00	0,09	0,00	0,00	0,00	0,00	0	0	0	0	0	0
DE05C08	EDH-13-123	Arsénopyrite	coeur	Apy2	Roberto	0,00	2867,70	0,00	0,00	0,00	24,25	0	0	0	0	0	0
DE05C09	EDH-13-123	Arsénopyrite	coeur	Apy2	Roberto	0,00	2854,06	0,00	0,00	0,00	15,85	0	0	0	0	0	0
DE05C10	EDH-13-123	Arsénopyrite	coeur	Apy2	Roberto	0,00	2879,07	0,00	0,00	0,00	23,49	0	0	0	0	0	0
DE05C11	EDH-13-123	Arsénopyrite	coeur	Apy2	Roberto	0,00	2538,58	0,00	0,00	0,00	14,96	0	0	0	0	0	0

Analyse	Échantillon	Minéral	Position	Type	Zone	Si29	S34	Ca42	Fe57	Co59	Ni60	Cu65	Zn66	As75	Se77	Mo95	Ag109
DE05C12	EDH-13-123	Arsénopyrite	coeur	Apy2	Roberto	0,00	36757,32	<-1,00	342949,63	729,61	0,00	0,00	0,00	67767,19	<-1,00	0,00	0,04
DE05C13	EOC-13-008	Arsénopyrite	coeur	Apy2	Nord TR20	0,00	198753,69	<-1,00	342949,63	624,31	0,00	0,00	0,00	33815,52	<-1,00	0,00	0,34
DE05C14	EOC-13-008	Arsénopyrite	coeur	Apy2	Nord TR20	0,00	188975,95	<-1,00	342949,63	964,56	0,00	0,00	0,00	32402,91	<-1,00	0,00	0,07
DE05C15	EOC-13-008	Arsénopyrite	coeur	Apy2	Nord TR20	0,00	156953,58	<-1,00	342949,63	170,48	0,00	0,00	0,00	22560,84	<-1,00	0,00	0,64
DE05C16	EOC-13-008	Arsénopyrite	coeur	Apy2	Nord TR20	0,00	192391,23	<-1,00	342949,63	1186,71	0,00	0,00	0,00	25980,14	<-1,00	0,00	0,24
DE05C17	EOC-13-008	Arsénopyrite	coeur	Apy2	Nord TR20	0,00	195521,78	<-1,00	342949,63	676,17	0,00	0,00	0,00	26598,39	<-1,00	0,00	2,19
DE05C18	EOC-13-008	Arsénopyrite	coeur	Apy2	Nord TR20	0,00	192312,80	<-1,00	342949,63	350,22	0,00	0,00	0,00	28644,72	<-1,00	0,00	0,05
DE05C19	EOC-13-008	Arsénopyrite	coeur	Apy2	Nord TR20	0,00	181693,30	<-1,00	342949,63	257,82	0,00	0,00	0,00	27308,46	<-1,00	0,00	0,01
DE05C20	EOC-13-008	Arsénopyrite	coeur	Apy2	Nord TR20	0,00	185574,45	<-1,00	342949,63	628,49	0,00	0,00	0,00	24019,48	<-1,00	0,00	0,04
DE05C21	EOC-13-008	Arsénopyrite	coeur	Apy2	Nord TR20	0,00	190827,13	<-1,00	342949,63	297,41	0,00	0,00	0,00	22927,60	<-1,00	0,00	0,00

Analyse	GSE-1G Po689		Analyse	GSE-1G Po689		Analyse	GSE-1G Po689		Analyse	GSE-1G Po689	
	Au197	Au197		Au197	Au197		Au197	Au197		Au197	
DE04A06	0,03	0,02	DE04B09	0,00	0,00	DE05A08	31,27	21,83	DE05B17	12,07	7,01
DE04A07	0,00	0,00	DE04B08	0,06	0,04	DE05A09	37,88	26,29	DE05B18	1,38	0,80
DE04A08	0,04	0,03	DE04B10	0,10	0,07	DE05A10	24,52	16,93	DE05B19	3,57	2,07
DE04A09	0,03	0,02	DE04B11	0,10	0,07	DE05A11	0,97	0,66	DE05B20	5,86	3,39
DE04A10	0,03	0,02	DE04B12	0,01	0,01	DE05A12	30,38	20,74	DE05B21	1977,33	1142,30
DE04A11	0,00	0,00	DE04B13	0,00	0,00	DE05A13	15,61	10,60	DE05C05	29,22	15,00
DE04A12	0,00	0,00	DE04B14	0,00	0,00	DE05A14	0,03	0,02	DE05C06	20,19	10,36
DE04A13	0,10	0,07	DE04B15	0,00	0,00	DE05A15	25,58	17,17	DE05C07	0,00	0,00
DE04A14	0,01	0,00	DE04B16	0,00	0,00	DE05A16	24,08	16,07	DE05C08	47,57	24,25
DE04A15	0,01	0,01	DE04B17	0,01	0,00	DE05A17	2,44	1,62	DE05C09	31,28	15,85
DE04A16	0,15	0,11	DE04B22	0,61	0,41	DE05A18	0,25	0,17	DE05C10	46,28	23,49
DE04A17	0,06	0,05	DE04B23	3,55	2,38	DE05A19	0,16	0,11	DE05C11	29,47	14,96
DE04A18	0,00	-0,03	DE04B24	2,94	1,97	DE05B05	31,02	18,27	DE05C12	42,00	20,49
DE04A19	0,00	0,00	DE04B25	4,37	2,93	DE05B06	34,52	20,31	DE05C13	17,99	9,05
DE04A24	0,00	0,00	DE04B26	27,31	18,35	DE05B07	75,24	44,20	DE05C14	4,57	2,29
DE04A25	0,06	0,05	DE04B27	183,61	123,43	DE05B08	107,67	63,18	DE05C15	0,14	0,06
DE04A26	0,17	0,12	DE04B28	13,64	9,18	DE05B09	19,19	11,24	DE05C16	13,72	6,87
DE04A27	0,06	0,04	DE04B29	0,04	0,02	DE05B10	21,47	12,57	DE05C17	33,20	16,73
DE04A28	0,03	0,02	DE04B30	8352,01	5625,65	DE05B11	13,82	8,08	DE05C18	0,31	0,16
DE04A29	0,00	0,00	DE04B31	24,80	16,72	DE05B12	7,96	4,65	DE05C19	0,65	0,32
DE04A30	0,00	0,00	DE04B32	1215,44	819,80	DE05B13	53,07	30,95	DE05C20	0,91	0,45
DE04B05	21,66	14,36	DE05A05	5,13	3,64	DE05B14	26,09	15,20	DE05C21	1,11	0,54
DE04B06	4,06	2,69	DE05A06	556,49	392,70	DE05B15	20,13	11,71			
DE04B07	0,01	0,00	DE05A07	5,94	4,17	DE05B16	8,28	4,81			

La concentration en or des échantillons, déduite à partir du standard Po-689 est plus fiable car la concentration en or du standard Po689 est plus important (46,11 ppm) que celle du standard GSE-1G (7 ppm).

Apy2	Co	Ni	Cu	Zn	As	Se	Mo	Ag	Sn	Sb	Te	Ta	W	Au	Tl	Pb	Bi
Co	1																
Ni	0,786	1,000															
Cu	-0,336	-0,360	1,000														
Zn	-0,083	-0,072	0,046	1,000													
As	-0,018	0,218	0,012	0,004	1,000												
Se	0,485	0,581	-0,262	-0,212	0,372	1,000											
Mo	0,139	0,069	-0,140	-0,026	-0,190	0,113	1,000										
Ag	0,214	0,104	-0,051	-0,065	-0,106	0,066	-0,047	1,000									
Sn	-0,275	-0,284	0,864	-0,051	0,050	-0,215	-0,122	-0,055	1,000								
Sb	0,330	0,427	-0,122	-0,152	0,316	0,679	-0,177	-0,101	-0,121	1,000							
Te	0,487	0,283	-0,189	-0,040	-0,283	0,250	0,539	0,556	-0,148	-0,211	1,000						
Ta	0,020	0,101	-0,021	-0,123	0,225	-0,074	-0,103	-0,052	0,072	0,077	-0,153	1,000					
W	-0,043	0,117	0,010	-0,115	0,320	-0,100	-0,106	-0,019	0,147	-0,005	-0,133	0,856	1,000				
Au	0,239	0,132	-0,003	-0,077	-0,106	0,115	-0,079	0,964	-0,020	-0,002	0,528	-0,055	-0,019	1,000			
Tl	0,070	0,091	-0,079	-0,129	-0,181	0,043	0,014	0,320	-0,037	-0,084	0,212	-0,111	-0,089	0,286	1,000		
Pb	-0,184	-0,260	0,724	-0,072	0,027	-0,138	-0,090	0,012	0,878	-0,091	-0,063	-0,093	-0,031	0,044	-0,063	1,000	
Bi	0,261	0,132	0,049	-0,122	-0,142	0,212	-0,063	0,872	0,018	0,059	0,558	-0,089	-0,063	0,959	0,241	0,097	1,000

Matrices de corrélation entre éléments traces dans l'arsénopyrite (Apy2; n: 38 des zones 5050, 6000, Nord et 494.

Lo2	Co	Ni	Cu	Zn	As	Se	Mo	Ag	Sn	Sb	Te	Ta	W	Au	Tl	Pb	Bi
Co	1,000																
Ni	0,700	1,000															
Cu	0,353	-0,009	1,000														
Zn	0,035	0,286	0,004	1,000													
As	0,492	0,766	0,031	0,460	1,000												
Se	0,068	0,467	-0,208	0,303	0,576	1,000											
Mo	0,492	0,051	0,932	-0,095	0,052	-0,166	1,000										
Ag	0,417	0,060	0,963	-0,088	0,051	-0,101	0,939	1,000									
Sn	0,480	0,183	0,199	-0,103	0,343	-0,332	0,148	0,171	1,000								
Sb	0,015	0,264	0,014	0,045	0,322	0,624	0,034	0,209	-0,173	1,000							
Te	0,505	0,053	0,962	-0,114	0,016	-0,223	0,952	0,970	0,276	0,026	1,000						
Ta	0,425	0,196	-0,086	-0,070	0,421	-0,151	-0,091	-0,078	0,915	-0,092	0,016	1,000					
W	0,396	0,187	-0,078	-0,069	0,439	-0,182	-0,086	-0,079	0,926	-0,097	0,010	0,992	1,000				
Au	0,461	0,060	0,975	-0,075	0,064	-0,160	0,974	0,981	0,190	0,067	0,984	-0,071	-0,067	1,000			
Tl	0,184	0,658	-0,107	0,685	0,571	0,465	-0,197	-0,172	-0,184	-0,045	-0,200	-0,136	-0,146	-0,162	1,000		
Pb	-0,072	0,120	-0,053	-0,069	0,050	0,311	-0,065	0,152	-0,120	0,874	-0,023	-0,043	-0,056	-0,026	-0,144	1,000	
Bi	0,519	0,146	0,862	-0,104	0,096	-0,069	0,938	0,940	0,103	0,311	0,902	-0,095	-0,093	0,927	-0,222	0,248	1,000

Matrices de corrélation entre éléments traces dans la löllingite (Lo2; n: 20) des zones 5050, 6000, Nord et 494.

Py2	Co	Ni	Cu	Zn	As	Se	Mo	Ag	Sn	Sb	Te	Ta	W	Au	Tl	Pb	Bi
Co	1,000																
Ni	0,108	1,000															
Cu	0,198	0,596	1,000														
Zn	-0,183	0,010	-0,195	1,000													
As	0,141	0,696	0,745	-0,060	1,000												
Se	0,082	-0,648	-0,201	-0,048	-0,024	1,000											
Mo	-0,290	-0,562	-0,196	-0,277	-0,092	0,635	1,000										
Ag	-0,099	-0,142	-0,135	0,839	0,122	0,239	-0,188	1,000									
Sn	0,255	0,305	-0,246	-0,316	0,173	-0,109	-0,145	-0,223	1,000								
Sb	-0,105	-0,239	-0,133	0,748	0,042	0,378	-0,207	0,932	-0,344	1,000							
Te	-0,096	-0,143	-0,134	0,839	0,122	0,240	-0,187	1,000	-0,223	0,931	1,000						
Ta	-0,063	-0,026	0,264	-0,364	-0,216	-0,114	-0,298	-0,351	-0,086	-0,156	-0,352	1,000					
W	-0,376	-0,301	0,091	-0,231	0,197	0,493	0,934	-0,138	-0,186	-0,207	-0,137	-0,305	1,000				
Au	0,001	-0,239	0,087	0,391	0,036	0,453	-0,210	0,578	-0,520	0,825	0,577	0,173	-0,240	1,000			
Tl	-0,108	-0,477	-0,197	0,504	0,039	0,573	0,567	0,625	-0,389	0,524	0,627	-0,682	0,555	0,250	1,000		
Pb	-0,098	-0,142	-0,134	0,839	0,122	0,240	-0,188	1,000	-0,223	0,932	1,000	-0,351	-0,138	0,578	0,625	1,000	
Bi	-0,101	-0,141	-0,135	0,841	0,120	0,239	-0,190	1,000	-0,225	0,933	1,000	-0,348	-0,140	0,581	0,623	1,000	1,000

Matrices de corrélation entre éléments traces dans la pyrite (Py2; n: 9) des zones 5050, 6000, Nord et 494.

Po2	Co	Ni	Cu	Zn	As	Se	Mo	Ag	Sn	Sb	Te	Ta	W	Au	Tl	Pb	Bi
Co	1																
Ni	0,4375	1															
Cu	0,5125	0,0381	1														
Zn	0,3729	-0,03	0,0771	1													
As	0,5158	0,8358	0,2451	-0,165	1												
Se	0,8742	0,295	0,2507	0,2541	0,3461	1											
Mo	0,3175	-0,03	0,1603	0,7344	0,0459	0,0626	1										
Ag	0,432	0,6956	0,4575	-0,169	0,9279	0,2391	0,0289	1									
Sn	0,6236	0,0957	0,7695	-0,252	0,3158	0,4937	0,0084	0,3833	1								
Sb	0,0909	-0,008	0,4241	-0,299	0,079	0,1003	-0,273	0,1826	0,4788	1							
Te	0,1551	-0,234	-0,26	0,4336	-0,295	0,4816	0,1247	-0,352	-0,252	-0,404	1						
Ta	-0,313	-0,036	-0,073	-0,629	0,1611	-0,346	0,0106	0,1035	0,2447	0,2107	-0,377	1					
W	0,3227	0,0974	0,9022	-0,212	0,3776	0,1427	-0,119	0,6121	0,6858	0,6046	-0,37	0,0641	1				
Au	0,5236	-0,084	-0,001	0,059	-0,061	0,5426	0,2597	-0,286	0,4841	-0,043	0,1831	0,2093	-0,242	1			
Tl	0,2154	-0,111	0,0143	0,6528	-0,076	0,0129	0,9447	-0,147	-0,027	-0,115	0,0756	0,1441	-0,235	0,3737	1		
Pb	0,1025	-0,29	-0,049	0,8323	-0,413	0,0196	0,4563	-0,354	-0,402	-0,445	0,3231	-0,78	-0,307	-0,089	0,3537	1	
Bi	0,6468	-0,053	0,2354	0,3395	-0,09	0,5444	0,459	-0,209	0,5423	-0,112	0,1433	-0,066	-0,126	0,877	0,476	0,2203	1

Matrice de corrélation entre éléments traces de la pyrrhotite (Po2, n: 10) dans la zone 5050. Les coefficients de corrélation supérieurs à 0,5 sont surlignés en rouge. Noter la forte corrélation de l'or avec le bismuth, le cobalt et le sélénium et la forte corrélation de l'argent avec l'arsenic et le nickel.

ANNEXE E : MESURES STRUCTURALES

Structure	Estant (X)	Nordant (Y)	Profondeur (Z)*	Pendage (°)	Azimuth (°)
Foliation S ₂	427999	5840291	231	85	120
Foliation S ₂	427999	5840291	231	80	118
Foliation S ₂	427999	5840291	231	85	115
Foliation S ₂	427999	5840291	231	80	116
Foliation S ₂	427999	5840291	231	78	107
Foliation S ₂	427999	5840291	231	85	108
Foliation S ₂	427999	5840291	231	76	124
Foliation S ₂	427999	5840291	231	71	114
Foliation S ₂	427999	5840291	231	76	116
Foliation S ₂	427999	5840291	231	73	121
Foliation S ₂	427999	5840291	231	83	120
Foliation S ₂	427999	5840291	231	79	125
Foliation S ₂	427999	5840291	231	83	102
Foliation S ₂	427999	5840291	231	83	103
Foliation S ₂	427999	5840291	231	84	104
Foliation S ₂	427999	5840291	231	73	100
Foliation S ₂	427999	5840291	231	85	115
Foliation S ₂	427999	5840291	231	58	264
Foliation S ₂	427999	5840291	231	86	105
Foliation S ₂	427999	5840291	231	64	119
Foliation S ₂	427999	5840291	231	69	100
Foliation S ₂	427999	5840291	231	76	112
Foliation S ₂	427999	5840291	231	83	261
Foliation S ₂	427999	5840291	231	90	266
Foliation S ₂	427999	5840291	231	87	265
Foliation S ₂	427999	5840291	231	84	260
Foliation S ₂	427999	5840291	231	86	262
Foliation S ₂	427999	5840291	231	78	94
Foliation S ₂	427999	5840291	231	75	122
Foliation S ₂	427999	5840291	231	68	84
Foliation S ₂	427999	5840291	231	70	94
Foliation S ₂	427999	5840291	231	78	91
Foliation S ₂	427999	5840291	231	72	70
Foliation S ₂	427999	5840291	231	70	80
Foliation S ₂	427999	5840291	231	75	84
Foliation S ₂	427999	5840291	231	74	55
Foliation S ₂	427999	5840291	231	73	80
Foliation S ₂	427999	5840291	231	77	95
Foliation S ₂	427999	5840291	231	72	99
Foliation S ₂	427999	5840291	231	68	94
Foliation S ₂	427999	5840291	231	81	84
Foliation S ₂	427999	5840291	231	86	66
Foliation S ₂	427999	5840291	231	84	83
Foliation S ₂	427999	5840291	231	78	240
Foliation S ₂	427999	5840291	231	67	73
Foliation S ₂	427999	5840291	231	59	86
Foliation S ₂	427999	5840291	231	63	83
Foliation S ₂	427999	5840291	231	87	69
Foliation S ₂	427999	5840291	231	79	92
Foliation S ₂	427999	5840291	231	77	84
Foliation S ₂	427999	5840291	231	87	99
Foliation S ₂	426950	5840141	188	73	287
Foliation S ₂	426953	5840133	187	83	290
Foliation S ₂	426952	5840132	187	81	303
Foliation S ₂	426970	5840133	184	87	344
Foliation S ₂	426973	5840132	184	66	114
Foliation S ₂	426972	5840132	184	64	124

Structure	Estant (X)	Nordant (Y)	Profondeur (Z)*	Pendage (°)	Azimuth (°)
Foliation S ₂	426972	5840129	182	90	322
Foliation S ₂	426971	5840128	182	90	310
Foliation S ₂	426968	5840129	182	87	313
Foliation S ₂	426967	5840129	182	81	312
Foliation S ₂	426966	5840127	185	81	301
Foliation S ₂	426967	5840133	183	73	306
Foliation S ₂	426969	5840136	182	70	345
Foliation S ₂	426976	5840137	183	86	320
Foliation S ₂	426972	5840136	183	84	122
Foliation S ₂	426971	5840136	183	82	133
Foliation S ₂	426970	5840137	183	78	346
Foliation S ₂	426970	5840137	183	82	320
Foliation S ₂	426969	5840138	184	83	332
Foliation S ₂	426967	5840138	183	79	310
Foliation S ₂	426968	5840139	184	56	322
Foliation S ₂	426968	5840139	184	65	320
Foliation S ₂	426950	5840063	177	84	320
Foliation S ₂	426949	5840061	178	82	290
Foliation S ₂	426948	5840060	178	88	292
Foliation S ₂	426951	5840061	178	84	305
Foliation S ₂	426951	5840061	178	75	250
Foliation S ₂	426951	5840062	178	77	314
Foliation S ₂	426951	5840063	178	72	292
Foliation S ₂	427076	5839747	-385	69	323
Foliation S ₂	427097	5839717	-385	86	24
Foliation S ₂	427159	5839776	-385	68	15
Foliation S ₂	427139	5839799	-385	74	357
Foliation S ₂	426802	5839830	-385	76	28
Foliation S ₂	426801	5839870	-385	78	30
Foliation S ₂	426641	5839870	-385	84	28
Foliation S ₂	426537	5839843	-385	82	51
Foliation S ₂	426490	5839879	-385	77	7
Foliation S ₂	426589	5839725	-385	82	65
Foliation S ₂	426585	5839787	-385	71	14
Foliation S ₂	426951	5839173	-385	82	3
Foliation S ₂	426890	5839196	-385	88	345
Foliation S ₂	426807	5839250	-385	76	351
Foliation S ₂	426846	5839339	-385	81	335
Foliation S ₂	426942	5839332	-385	86	176
Foliation S ₂	427011	5839332	-385	88	172
Foliation S ₂	426704	5839450	-385	85	359
Foliation S ₂	426726	5839568	-385	90	9
Foliation S ₂	426737	5839610	-385	66	355
Foliation S ₂	426656	5839676	-385	78	73
Foliation S ₂	426660	5839706	-385	84	54
Foliation S ₂	426823	5839725	-385	78	36
Foliation S ₂	426931	5839696	-385	90	2
Foliation S ₂	426853	5839656	-385	76	348
Foliation S ₂	426850	5839635	-385	87	183
Foliation S ₂	426914	5839627	-385	45	1
Foliation S ₂	427032	5839616	-385	81	342
Foliation S ₂	427030	5839664	-385	69	5
Foliation S ₂	427121	5839635	-385	72	353
Foliation S ₂	426619	5839611	-385	82	147
Foliation S ₂	426574	5839608	-385	73	194
Foliation S ₂	426535	5839593	-385	86	52
Foliation S ₂	426614	5839568	-385	82	340
Foliation S ₂	426633	5839593	-385	68	5
Foliation S ₂	426596	5839683	-385	72	30
Foliation S ₂	426541	5839647	-385	79	69
Foliation S ₂	426476	5839753	-385	70	58
Foliation S ₂	426426	5839852	-385	70	80

Structure	Estant (X)	Nordant (Y)	Profondeur (Z)*	Pendage (°)	Azimuth (°)
Foliation S ₂	426722	5840004	-385	69	341
Foliation S ₂	426649	5840022	-385	88	318
Foliation S ₂	426485	5840033	-385	88	324
Foliation S ₂	427069	5839731	-385	88	356
Foliation S ₂	427066	5839721	-385	86	355
Foliation S ₂	427171	5839806	-385	68	350
Foliation S ₂	426893	5839596	-360	55	193
Foliation S ₂	426708	5839596	-360	76	198
Foliation S ₂	426695	5839608	-360	68	359
Foliation S ₂	426627	5839590	-360	80	38
Foliation S ₂	426646	5839555	-360	76	44
Foliation S ₂	426632	5839552	-360	84	25
Foliation S ₂	426633	5839528	-360	84	349
Foliation S ₂	426639	5839484	-360	68	114
Foliation S ₂	426618	5839473	-360	90	202
Foliation S ₂	426621	5839361	-360	50	80
Foliation S ₂	426627	5839339	-360	55	348
Foliation S ₂	426628	5839330	-360	60	346
Foliation S ₂	426621	5839316	-360	40	331
Foliation S ₂	426670	5839357	-360	80	146
Foliation S ₂	426702	5839384	-360	79	22
Foliation S ₂	426714	5839355	-360	63	341
Foliation S ₂	426615	5839562	-360	83	175
Foliation S ₂	426572	5839544	-360	90	333
Foliation S ₂	426623	5839629	-360	85	7
Foliation S ₂	426646	5839641	-360	88	25
Foliation S ₂	426707	5839668	-360	83	57
Foliation S ₂	426650	5839665	-360	90	353
Foliation S ₂	426643	5839663	-360	83	336
Foliation S ₂	426651	5839696	-360	90	45
Foliation S ₂	426536	5839683	-360	90	9
Foliation S ₂	426508	5839703	-360	90	355
Foliation S ₂	426540	5839840	-360	90	61
Foliation S ₂	426493	5839805	-360	90	216
Foliation S ₂	426466	5839831	-360	90	2
Foliation S ₂	426456	5839849	-360	90	217
Foliation S ₂	426609	5839730	-360	90	232
Foliation S ₂	426628	5839791	-360	90	48
Foliation S ₂	426615	5839812	-360	90	355
Foliation S ₂	426618	5839836	-360	90	24
Foliation S ₂	426657	5839884	-360	90	216
Foliation S ₂	426847	5839841	-360	65	19
Foliation S ₂	426830	5839885	-360	76	9
Foliation S ₂	426855	5839741	-360	67	14
Foliation S ₂	426892	5839343	-360	84	342
Foliation S ₂	426679	5839394	0	90	351
Foliation S ₂	426755	5839434	0	90	2
Foliation S ₂	426749	5839321	0	71	2
Foliation S ₂	427056	5839112	0	90	183
Foliation S ₂	426828	5839732	0	90	47
Foliation S ₂	426895	5839713	0	90	19
Foliation S ₂	426364	5839730	0	90	254
Foliation S ₂	427067	5839830	0	71	27
Foliation S ₂	427022	5840115	0	90	2
Foliation S ₂	426903	5840166	0	90	207
Foliation S ₂	426666	5839591	0	90	188
Foliation S ₂	426724	5839485	20	81	8
Foliation S ₂	426677	5839487	20	81	5
Foliation S ₂	426706	5839505	20	81	16
Foliation S ₂	426669	5839510	20	81	2
Foliation S ₂	426641	5839520	20	81	352
Foliation S ₂	426661	5839523	20	81	357

Structure	Estant (X)	Nordant (Y)	Profondeur (Z)*	Pendage (°)	Azimuth (°)
Foliation S ₂	426606	5839487	20	85	351
Foliation S ₂	426612	5839485	20	87	355
Foliation S ₂	426589	5839498	20	90	350
Foliation S ₂	426587	5839501	20	83	347
Foliation S ₂	426588	5839507	20	87	329
Foliation S ₂	426574	5839523	20	80	175
Foliation S ₂	426578	5839465	20	83	318
Foliation S ₂	426577	5839435	20	81	19
Foliation S ₂	426578	5839369	20	84	46
Foliation S ₂	426569	5839371	20	84	46
Foliation S ₂	426941	5840065	0	84	11
Foliation S ₂	426934	5840143	0	83	25
Foliation S ₂	426949	5840161	0	80	34
Foliation S ₂	426947	5840178	0	69	4
Foliation S ₂	426632	5839808	-360	78	244
Foliation S ₂	426634	5839558	-360	85	357
Foliation S ₂	427212	5839770	-615	79	22
Foliation S ₂	427204	5839766	-615	90	44
Foliation S ₂	427197	5839764	-615	86	53
Foliation S ₂	427201	5839745	-615	76	176
Foliation S ₂	427130	5839768	-615	76	163
Foliation S ₂	427104	5839758	-615	81	155
Foliation S ₂	427096	5839738	-615	51	5
Foliation S ₂	427082	5839725	-615	45	25
Foliation S ₂	427021	5839712	-615	73	4
Foliation S ₂	427015	5839721	-615	79	35
Foliation S ₂	427007	5839719	-615	60	20
Foliation S ₂	426994	5839715	-615	76	30
Foliation S ₂	426987	5839712	-615	54	43
Foliation S ₂	426961	5839685	-615	88	146
Foliation S ₂	426962	5839681	-615	84	339
Foliation S ₂	426756	5839580	-625	84	180
Foliation S ₂	426756	5839585	-625	74	2
Foliation S ₂	426765	5839579	-625	83	162
Foliation S ₂	426765	5839581	-625	88	197
Foliation S ₂	426825	5839668	-625	81	164
Foliation S ₂	426817	5839686	-625	82	158
Foliation S ₂	426600	5839706	-622	86	191
Foliation S ₂	426710	5839695	-599	77	220
Foliation S ₂	426721	5839687	-600	42	207
Foliation S ₂	426721	5839683	-602	89	65
Foliation S ₂	426724	5839664	-599	76	50
Foliation S ₂	426690	5839671	-598	83	100
Foliation S ₂	426611	5839450	-385	76	66
Foliation S ₂	426606	5839484	-385	76	62
Foliation S ₂	426486	5839671	-385	89	255
Foliation S ₂	427053	5839585	-385	74	338
Foliation S ₂	426670	5839169	-385	71	52
Foliation S ₂	426635	5839631	-748	83	168
Foliation S ₂	426656	5839581	-718	87	31
Foliation S ₂	426576	5839705	-718	86	17
Foliation S ₂	426573	5839709	-718	82	21
Foliation S ₂	426569	5839715	-718	80	197
Foliation S ₂	426574	5839700	-716	84	345
Foliation S ₂	426572	5839702	-716	85	350
Foliation S ₂	426511	5839464	-120	66	72
Foliation S ₂	426513	5839472	-120	69	73
Foliation S ₂	426519	5839487	-120	84	72
Foliation S ₂	426519	5839490	-120	90	250
Foliation S ₂	426519	5839499	-120	73	38
Foliation S ₂	426950	5840062	21	88	45

Structure	Estant (X)	Nordant (Y)	Profondeur (Z)*	Pendage (°)	Azimuth (°)
Foliation S ₂	426968	5840156	21	73	36
Foliation S ₂	426961	5840127	21	77	51
Foliation S ₂	426970	5840129	21	75	44
Foliation S ₂	426953	5840133	21	83	38
Foliation S ₂	426966	5840180	21	72	357
Foliation S ₂	426969	5840177	21	72	357
Foliation S ₂	426968	5840172	21	72	38
Foliation S ₂	426967	5840169	21	69	41
Foliation S ₂	426965	5840183	21	75	357
Foliation S ₂	426976	5840136	20	86	42
Foliation S ₂	426972	5840136	20	78	36
Foliation S ₂	426973	5840132	20	64	26
Foliation S ₂	426948	5840060	20	70	18
Foliation S ₂	426955	5840059	20	79	57
Foliation S ₂	426769	5839555	-600	83	181
Foliation S ₂	426768	5839565	-600	90	340
Foliation S ₂	426767	5839567	-600	90	320
Foliation S ₂	426763	5839578	-600	90	27
Foliation S ₂	426754	5839577	-600	90	214
Foliation S ₂	426753	5839581	-600	90	16
Foliation S ₂	426762	5839583	-600	90	339
Foliation S ₂	426755	5839572	-600	90	328
Foliation S ₂	426758	5839591	-600	90	347
Foliation S ₂	426757	5839596	-600	90	347
Foliation S ₂	426747	5839599	-600	90	18
Foliation S ₂	426755	5839602	-600	90	349
Foliation S ₂	426753	5839608	-600	90	22
Foliation S ₂	426740	5839616	-600	90	222
Foliation S ₂	426751	5839613	-600	85	200
Foliation S ₂	426736	5839628	-600	90	207
Foliation S ₂	426746	5839626	-600	84	0
Foliation S ₂	426584	5839690	-600	90	22
Foliation S ₂	426579	5839695	-594	90	12
Foliation S ₂	426573	5839692	-600	90	332
Foliation S ₂	426574	5839685	-600	90	191
Foliation S ₂	426520	5839683	-600	90	201
Foliation S ₂	426740	5839644	-600	90	0
Foliation S ₂	426731	5839643	-600	90	0
Foliation S ₂	426728	5839653	-600	90	0
Foliation S ₂	426734	5839660	-600	90	0
Foliation S ₂	426564	5839681	-600	90	193
Foliation S ₂	426563	5839686	-600	90	316
Foliation S ₂	426568	5839682	-600	90	12
Foliation S ₂	426768	5839559	-600	90	13
Foliation S ₂	426650	5839587	-506	90	223
Foliation S ₂	426653	5839597	-505	78	105
Foliation S ₂	426649	5839586	-505	90	145
Foliation S ₂	426655	5839606	-505	77	323
Foliation S ₂	426652	5839615	-505	75	225
Foliation S ₂	426650	5839618	-505	90	72
Foliation S ₂	426647	5839622	-505	82	14
Foliation S ₂	426644	5839615	-505	74	354
Foliation S ₂	426648	5839607	-505	60	10
Foliation S ₂	426435	5839644	-115	82	113
Foliation S ₂	426430	5839651	-115	90	210
Foliation S ₂	426427	5839657	-115	84	105
Foliation S ₂	426433	5839658	-115	78	20
Foliation S ₂	426431	5839662	-115	79	42
Foliation S ₂	426423	5839671	-115	73	175
Foliation S ₂	426417	5839675	-115	81	5
Foliation S ₂	426418	5839668	-115	87	75
Foliation S ₂	426471	5839625	-144	70	43

Structure	Estant (X)	Nordant (Y)	Profondeur (Z)*	Pendage (°)	Azimuth (°)
Foliation S ₂	426475	5839606	-144	74	80
Foliation S ₂	426471	5839618	-144	75	55
Foliation S ₂	435172	5837801	0	90	25
Foliation S ₂	435240	5837560	0	85	70
Foliation S ₂	435308	5837589	0	85	45
Foliation S ₃	426528	5839738	-385	84	101
Foliation S ₃	426645	5839634	-385	85	132
Foliation S ₃	426474	5839763	-360	90	322
Foliation S ₃	426509	5839783	-360	90	319
Foliation S ₃	426521	5839759	-360	90	149
Foliation S ₃	426644	5839601	-360	90	123
Foliation S ₃	426602	5839469	-360	90	144
Foliation S ₃	427931	5840315	0	87	316
Foliation S ₃	426627	5839624	-360	84	301
Foliation S ₃	426641	5839621	-360	87	119
Foliation S ₃	426595	5839704	-622	84	315
Foliation S ₃	426689	5839663	-598	83	88
Foliation S ₃	426714	5839677	-603	70	103
Foliation S ₃	426630	5839653	-748	86	97
Foliation S ₃	426664	5839587	-718	85	102
Foliation S ₃	426793	5839556	-718	72	125
Foliation S ₃	426748	5839619	-600	85	129
Veine (laminée)	426457	5839754	-360	81	45
Veine (laminée)	426525	5839705	-360	74	16
Veine (laminée)	426536	5839695	-360	72	5
Veine (laminée)	426564	5839678	-360	72	5
Veine (laminée)	426507	5839758	-360	75	22
Veine (laminée)	426534	5839663	-360	76	29
Veine (laminée)	426620	5839580	-360	80	44
Veine (laminée)	426612	5839530	-360	86	63
Veine (laminée)	426464	5839699	-360	85	59
Veine (laminée)	426466	5839853	-360	85	57
Veine (laminée)	426486	5839787	-360	89	259
Veine (laminée)	426473	5839736	-360	79	35
Veine (laminée)	426635	5839625	-360	75	31
Veine (laminée)	426762	5839592	-627	62	4
Veine (laminée)	426764	5839586	-627	66	10
Veine (laminée)	426762	5839595	-628	83	15
Veine (laminée)	426701	5839678	-599	84	44
Veine (laminée)	426702	5839679	-598	83	44
Veine (laminée)	426682	5839668	-598	87	257
Veine (laminée)	426725	5839676	-598	70	295
Veine (laminée)	426654	5839585	-718	84	43
Veine (laminée)	426660	5839591	-718	80	115
Veine (laminée)	426523	5839491	-120	85	14
Veine (laminée)	426551	5839702	-600	90	251
Veine (laminée)	426555	5839705	-600	90	60
Veine (laminée)	426560	5839706	-600	90	48
Veine (laminée)	426628	5839626	-600	87	250
Veine (laminée)	426630	5839627	-600	90	220
Veine (laminée)	426635	5839628	-600	85	210

Structure	Estant (X)	Nordant (Y)	Profondeur (Z)*	Pendage (°)	Azimuth (°)
Veine (laminée)	426637	5839629	-600	90	54
Veine (laminée)	426703	5839671	-600	90	279
Veine (laminée)	426686	5839673	-600	90	243
Veine (laminée)	426752	5839572	-600	90	148
Veine (laminée)	426751	5839576	-600	74	197
Veine (laminée)	426677	5839658	-600	80	10
Veine (laminée)	426413	5839675	-115	72	28
Veine (laminée)	426415	5839670	-115	90	242
Veine (laminée)	426424	5839661	-115	74	272
Veine (laminée)	426426	5839668	-115	67	12
Veine (laminée)	426480	5839607	-144	63	42
Veine (laminée)	426473	5839610	-144	70	235
Veine (laminée)	426467	5839621	-144	79	265
Veine (laminée)	426460	5839626	-144	66	10
Veine (laminée)	426461	5839632	-144	82	245
Veine (laminée)	426454	5839638	-144	86	266
Veine (laminée)	426667	5839362	-360	76	43
Veine (laminée)	426666	5839356	-360	78	35
Linéation L2	426653	5839613	-419	81	60
Linéation L2	426654	5839607	-419	74	122
Linéation L2	426640	5839610	-419	86	259
Linéation L2	426641	5839604	-419	73	272
Linéation L2	426632	5839602	-419	77	114
Linéation L2	426625	5839605	-419	68	67
Linéation L2	426625	5839605	-419	78	131
Linéation L2	426629	5839601	-419	88	309
Linéation L2	426619	5839603	-419	78	323
Linéation L2	426625	5839600	-419	78	225
Linéation L2	426619	5839597	-419	75	245
Linéation L2	426618	5839597	-419	84	350
Linéation L2	426615	5839597	-419	72	58
Linéation L2	426610	5839595	-419	38	68
Linéation L2	426610	5839600	-419	68	50
Linéation L2	426604	5839599	-419	59	290
Linéation L2	426598	5839597	-419	77	260
Linéation L2	426604	5839594	-419	84	249
Linéation L2	426604	5839594	-419	36	267
Linéation L2	426603	5839593	-419	74	285
Linéation L2	426597	5839596	-419	86	260
Linéation L2	426600	5839592	-419	75	239
Linéation L2	426604	5839594	-419	74(pitch)	22
Linéation L2	426604	5839594	-419	48(pitch)	244
Linéation L2	426608	5839600	-419	89	330
Linéation L2	426631	5839607	-419	83	56
Foliation S3	427990	5840135	223	75	75
Foliation S3	427990	5840135	223	52	65
Foliation S3	427990	5840135	223	51	81
Foliation S3	427990	5840135	223	64	74
Foliation S3	427990	5840135	223	57	73
Foliation S3	427990	5840135	223	50	75
Foliation S3	427990	5840135	223	46	74
Foliation S3	427990	5840135	223	49	80
Foliation S3	427990	5840135	223	53	81
Foliation S3	427990	5840135	223	58	82
Foliation S3	427990	5840135	223	57	82

Structure	Estant (X)	Nordant (Y)	Profondeur (Z)*	Pendage (°)	Azimuth (°)
Foliation S3	427990	5840135	223	61	82
Foliation S3	427990	5840135	223	56	79
Foliation S3	427990	5840135	223	49	89
Foliation S3	427990	5840135	223	54	75
Foliation S3	427990	5840135	223	61	84
Foliation S3	427990	5840135	223	46	75
Foliation S3	427990	5840135	223	56	73
Foliation S3	427990	5840135	223	61	76
Foliation S3	427990	5840135	223	48	77
Foliation S3	427990	5840135	223	46	79
Foliation S3	427990	5840135	223	47	78
Foliation S3	427990	5840135	223	39	86
Foliation S3	427990	5840135	223	75	75
Foliation S3	427990	5840135	223	65	52
Foliation S3	427990	5840135	223	81	51
Foliation S3	427990	5840135	223	74	64
Foliation S3	427990	5840135	223	73	57
Foliation S3	427990	5840135	223	75	50
Foliation S3	427990	5840135	223	74	46
Foliation S3	427990	5840135	223	80	49
Foliation S3	427990	5840135	223	81	53
Foliation S3	427990	5840135	223	82	58
Foliation S3	427990	5840135	223	82	57
Foliation S3	427990	5840135	223	82	61
Foliation S3	427990	5840135	223	79	56
Foliation S3	427990	5840135	223	89	49
Foliation S3	427990	5840135	223	75	54
Foliation S3	427990	5840135	223	84	61
Foliation S3	427990	5840135	223	75	46
Foliation S3	427990	5840135	223	73	56
Foliation S3	427990	5840135	223	76	61
Foliation S3	427990	5840135	223	77	48
Foliation S3	427990	5840135	223	79	46
Foliation S3	427990	5840135	223	78	47
Foliation S3	427990	5840135	223	86	39
Axe de pli P3	426968	5840139	183	140	66
Axe de pli P3	426969	5840140	183	146	74
Axe de pli P3	426969	5840140	183	118	76
Axe de pli P3	426969	5840140	183	145	70
Axe de pli P3	426969	5840140	183	123	63
Axe de pli P3	426969	5840140	183	123	74
Axe de pli P3	426970	5840141	183	117	56
Axe de pli P3	426974	5840144	183	110	84
Litage S0-1	426718	5839640	-385	81	44
Litage S0-1	426742	5839482	-385	85	93
Litage S0-1	426593	5839658	-385	73	46
Litage S0-1	426574	5839529	-360	82	67
Litage S0-1	426597	5839587	-360	74	70
Litage S0-1	426511	5839663	-360	85	46
Litage S0-1	426505	5839773	-360	84	82
Litage S0-1	426519	5839692	-360	75	311
Litage S0-1	426679	5839364	-360	77	35
Litage S0-1	426656	5839628	-360	72	8
Litage S0-1	426705	5839631	-360	83	156
Litage S0-1	426733	5839437	-360	85	102
Litage S0-1	426505	5839870	-360	86	92
Litage S0-1	426561	5839372	20	84	305
Litage S0-1	426559	5839365	20	83	319
Litage S0-1	426540	5839432	20	80	153
Litage S0-1	426513	5839302	20	71	35
Litage S0-1	426440	5839283	20	84	243
Litage S0-1	426457	5839278	20	85	53
Litage S0-1	426713	5839469	20	77	20
Litage S0-1	426451	5839263	20	78	14
Litage S0-1	426539	5839444	20	80	69
Litage S0-1	426484	5839374	20	83	288
Litage S0-1	426434	5839323	20	76	107
Litage S0-1	426538	5839317	20	87	123

Structure	Estant (X)	Nordant (Y)	Profondeur (Z)*	Pendage (°)	Azimuth (°)
Litage S0-1	426524	5839333	20	84	128
Litage S0-1	426722	5839421	-360	89	231
Litage S0-1	426684	5839364	-360	76	63
Litage S0-1	426585	5839557	-360	70	68
Litage S0-1	426610	5839749	-360	62	39
Litage S0-1	426557	5839746	-360	68	271
Litage S0-1	426540	5839727	-360	87	63
Litage S0-1	426561	5839709	-360	64	32
Litage S0-1	427149	5839770	-615	89	229
Litage S0-1	427199	5839751	-615	75	25
Litage S0-1	427081	5839730	-615	67	133
Litage S0-1	427133	5839769	-615	76	348
Litage S0-1	427185	5839747	-615	77	181
Litage S0-1	426770	5839527	-625	85	146
Litage S0-1	426608	5839711	-622	88	190
Litage S0-1	426600	5839701	-627	85	35
Litage S0-1	426619	5839702	-622	84	40
Litage S0-1	426628	5839723	-624	82	37
Litage S0-1	426592	5839731	-621	75	50
Litage S0-1	426697	5839670	-598	85	50
Litage S0-1	426705	5839358	0	65	42
Litage S0-1	426793	5839390	0	78	204
Litage S0-1	426623	5839504	-360	78	100
Litage S0-1	426621	5839529	-360	82	87
Litage S0-1	426521	5839786	-360	73	52
Litage S0-1	421697	5834128	20	80	136
Litage S0-1	421543	5834176	20	71	305
Litage S0-1	426759	5839553	-600	90	342
Litage S0-1	426759	5839550	-600	90	193
Veine (extension)	426589	5839613	-360	80	14
Veine (extension)	426641	5839624	-360	84	359
Veine (extension)	426599	5839532	-360	90	54
Veine (extension)	426609	5839530	-360	80	19
Veine (extension)	426509	5839744	-360	87	45
Veine (extension)	426511	5839758	-360	86	207
Veine (extension)	426568	5839681	-600	90	305
Veine (extension)	426566	5839687	-600	90	288
Veine (extension)	426605	5839701	-600	90	77
Veine (extension)	426515	5839689	-600	90	270
Veine (extension)	426768	5839562	-600	90	227
Veine (extension)	426435	5839647	-115	69	4

Certains mesures structurales ont été prises à partir de la même base d'arpentage sous-terre.

ANNEXE F : PROFILS LITHOGÉOCHIMIQUES

Les profils lithogéochimiques ont été construits à partir d'un échantillonnage de plusieurs forages, représentatifs des différentes zones minéralisées du gisement (Fig. 5.31). Les forages ELE-12-817C-M07 (profil 1) et ELE-06-370 (profil 2) recoupent les zones 7000, 6000, 5050 et 5010 dans le *ore shoot* principal du gisement (voir chapitre 6 pour la localisation 3D du *oreshoot* principal). Les forages ELE-11-735 (profil 3) et ELE-10-669 (profil 4) recoupent la zone du Nord. Le forage ELE-07-494-W01 est la meilleure intersection de la zone de haute teneur 494 (profil 5). Ces forages illustrent les types principaux d'altération hydrothermale spatialement associés à la minéralisation aurifère.

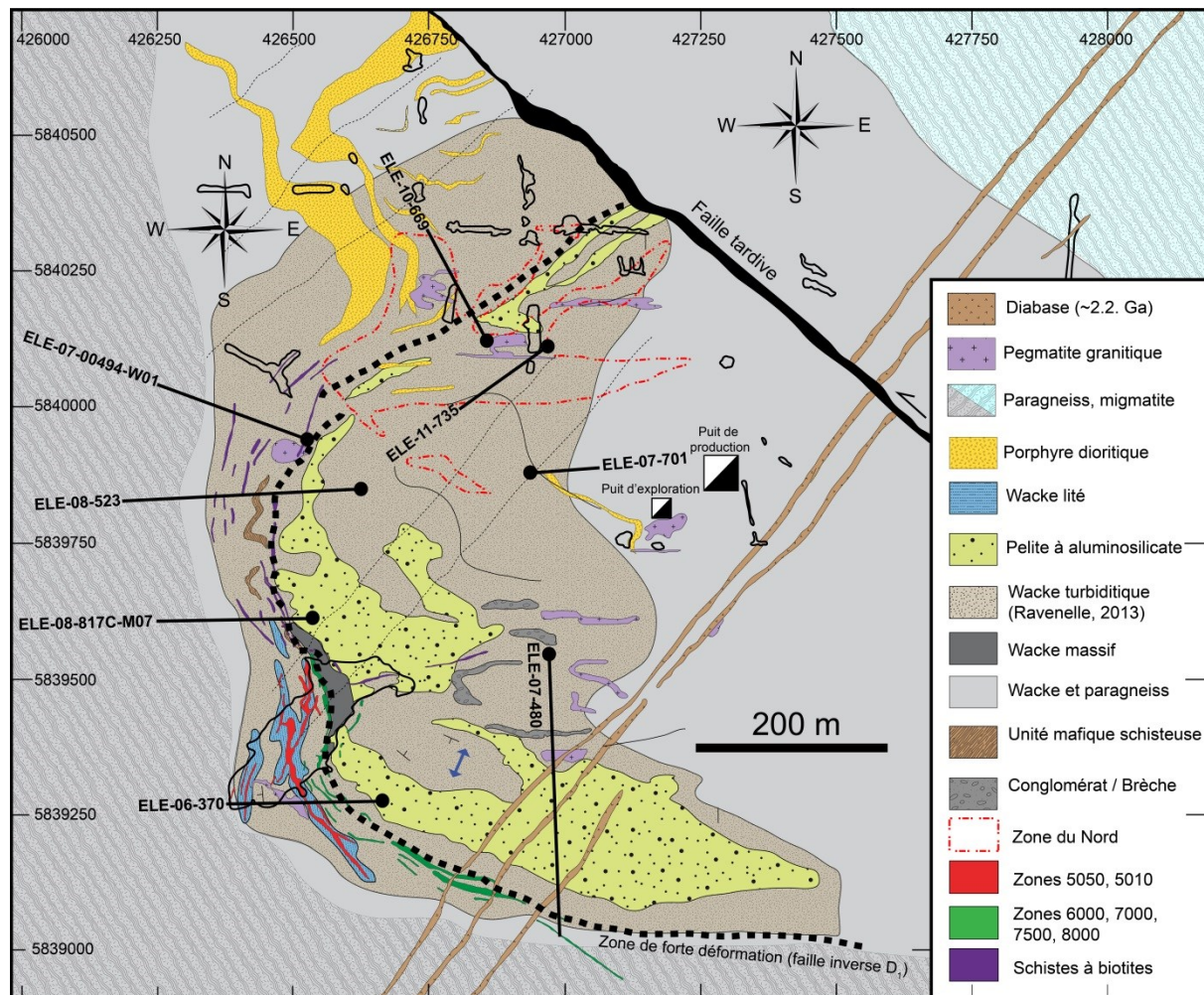
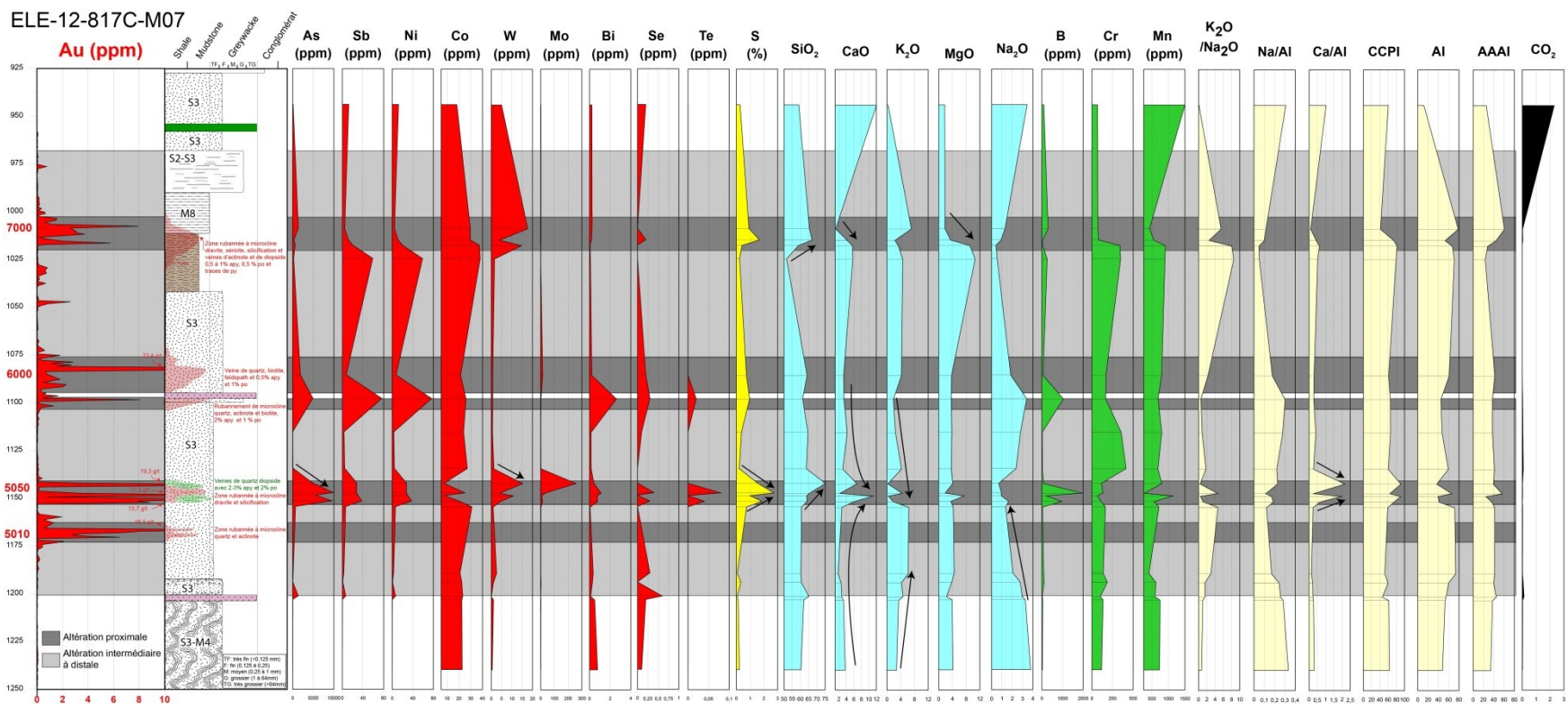


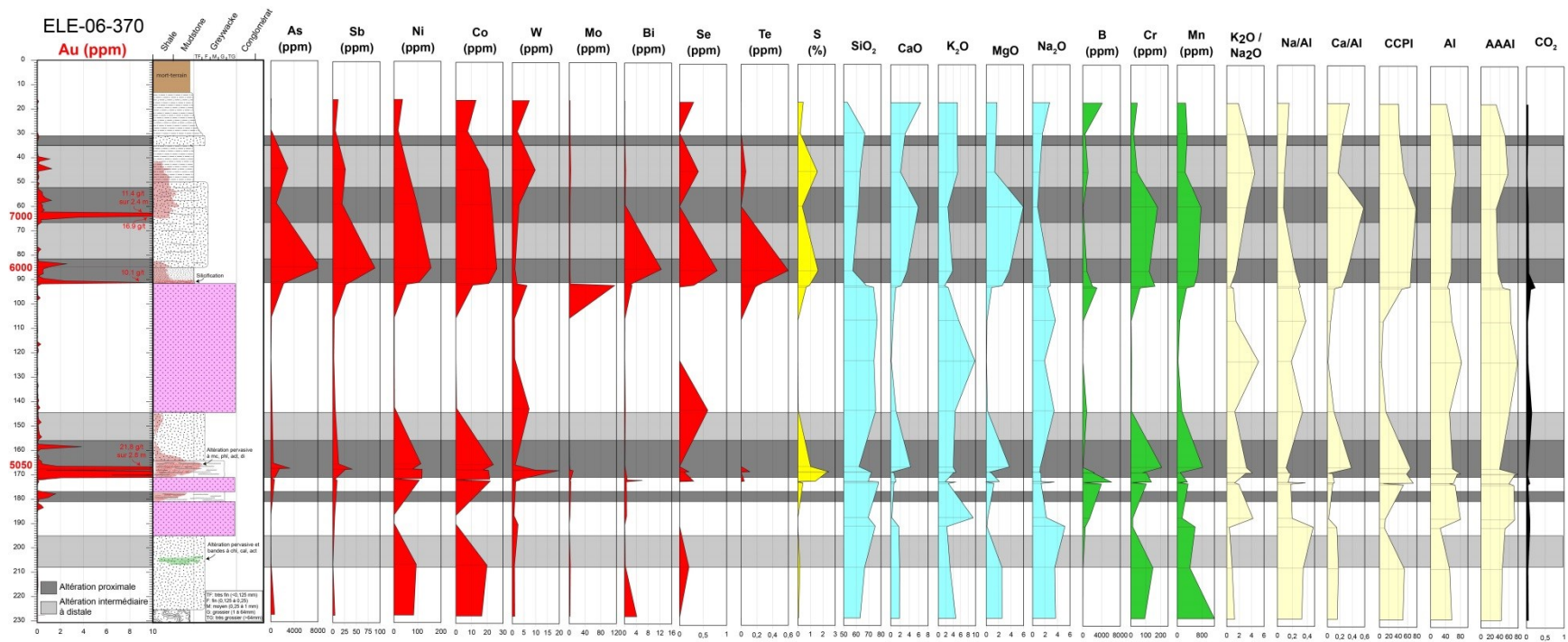
Figure 5.31. Localisation des forages étudiés

Cette carte de surface a été réalisée à partir des cartes antérieures (Ravenelle et al., 2010; Ravenelle, 2013) et des nouvelles données de forages et de cartographies de décapages et d'affleurements.

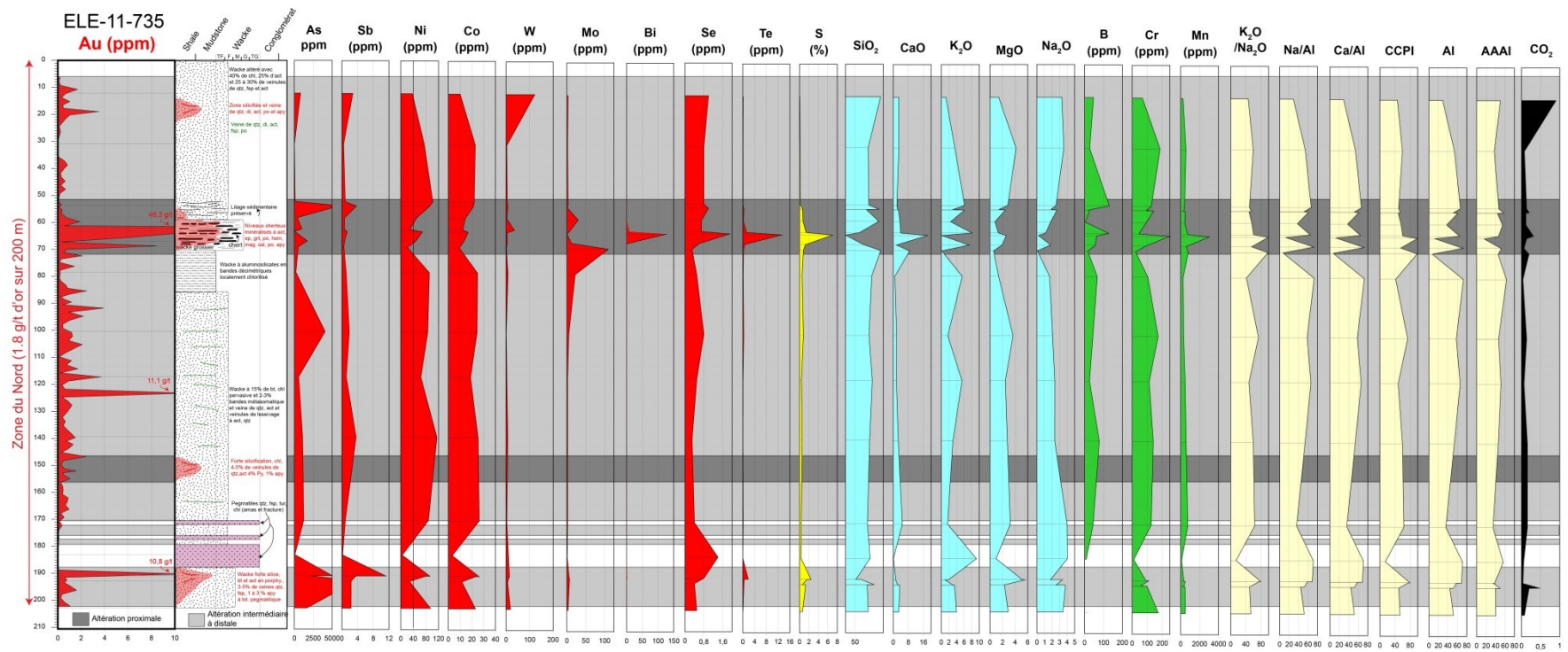
ELE-12-817C-M07



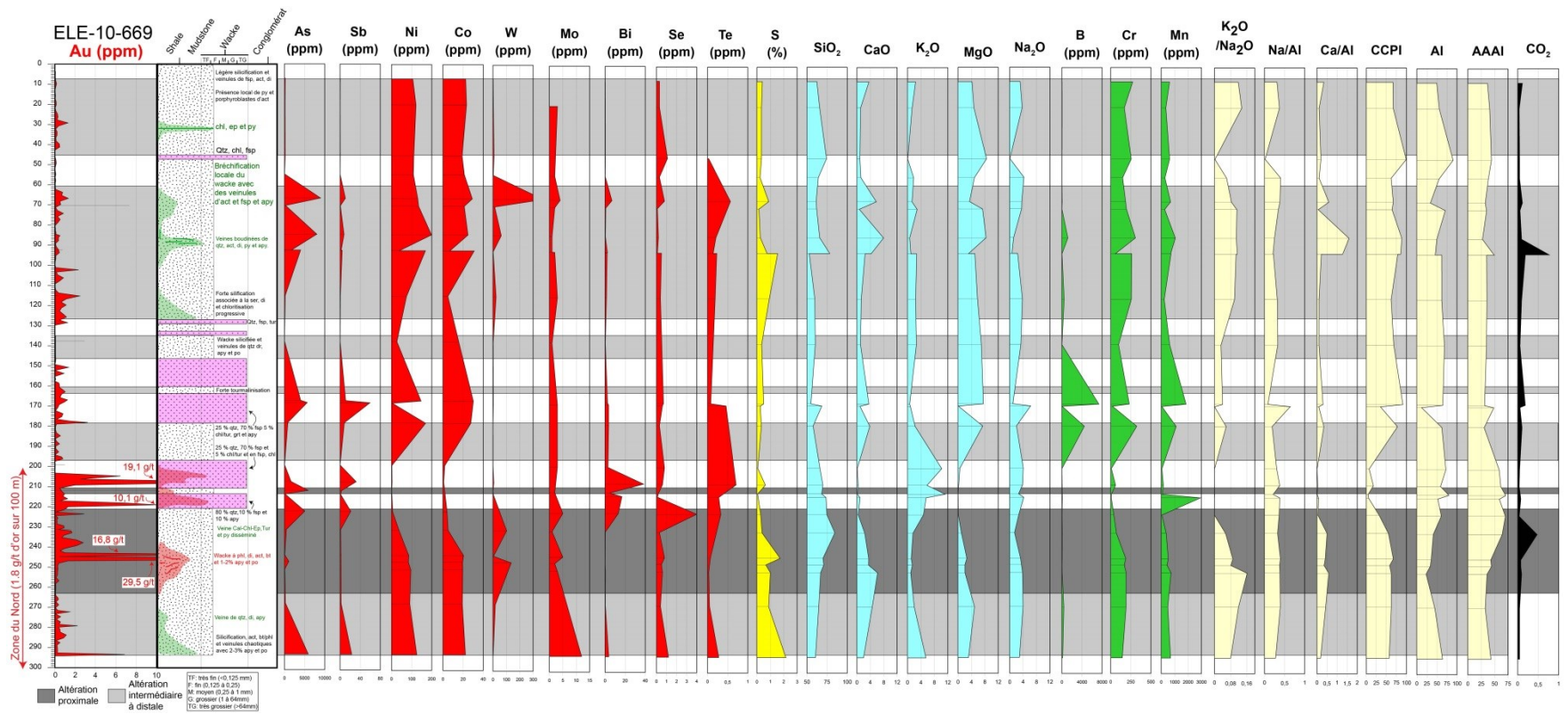
Profil lithogéochimique 1 : Forage ELE-12-817-M07



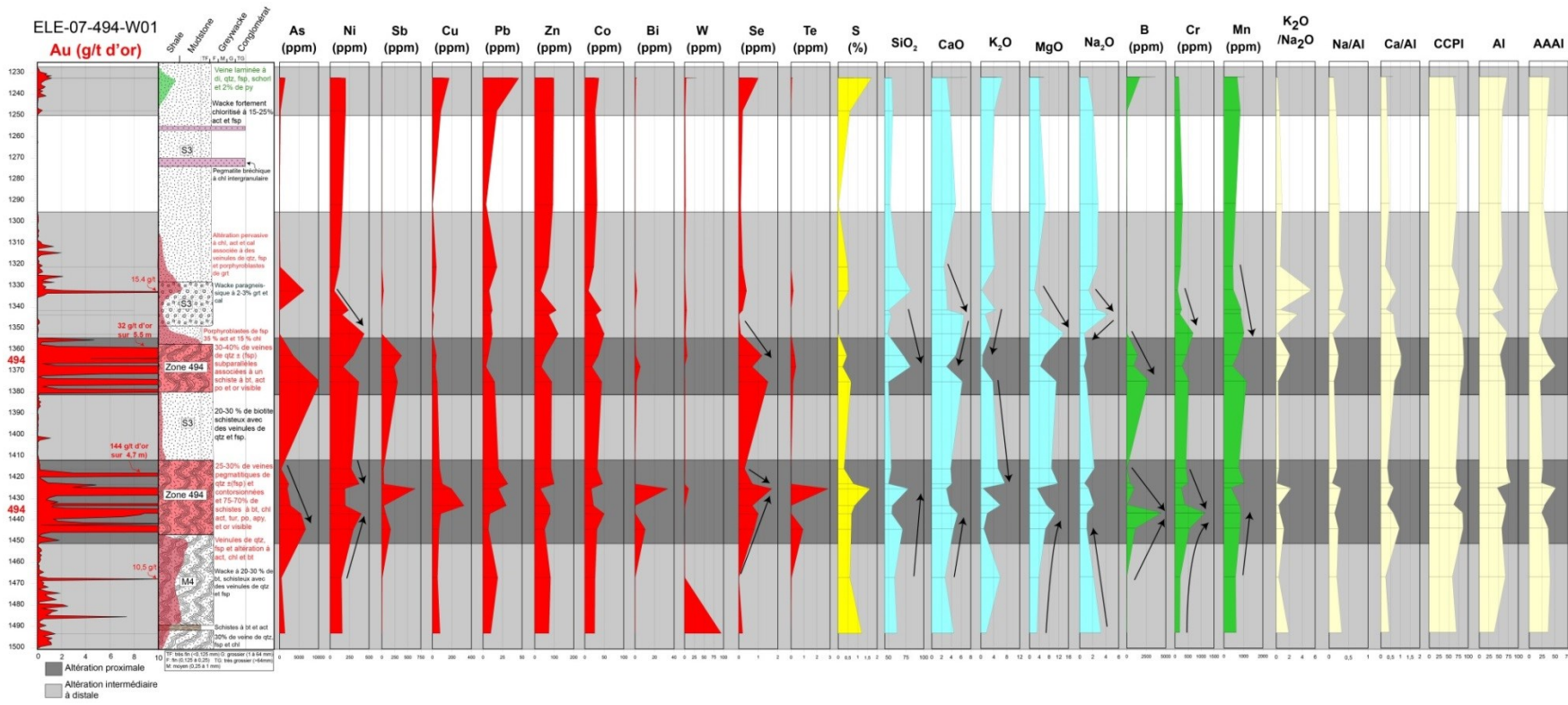
Profil lithogéochimique 2 : Forage ELE-06-370



Profil lithogéochimique 3 : Forage ELE-11-735

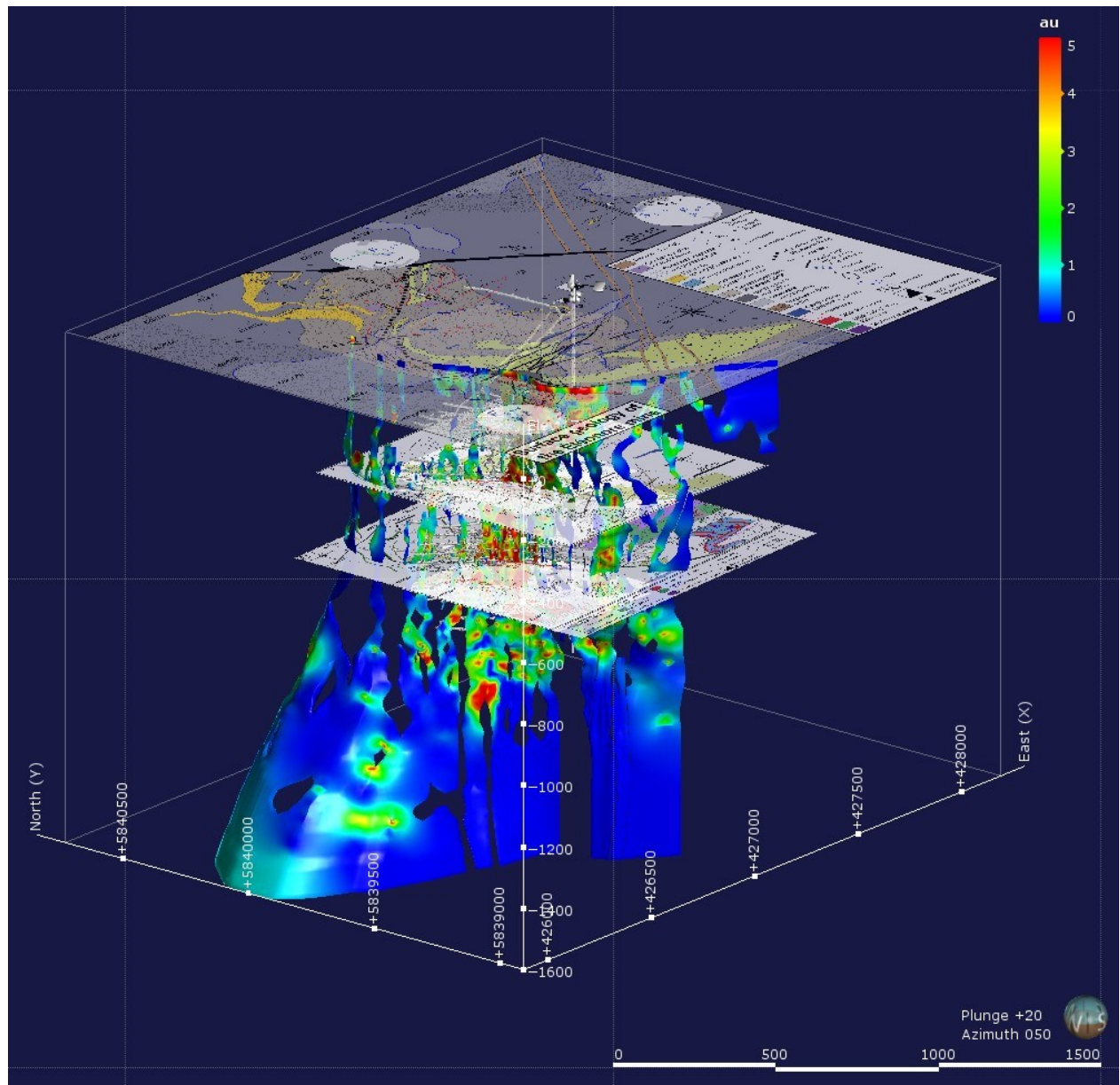


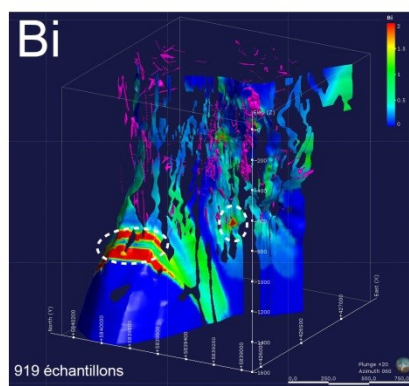
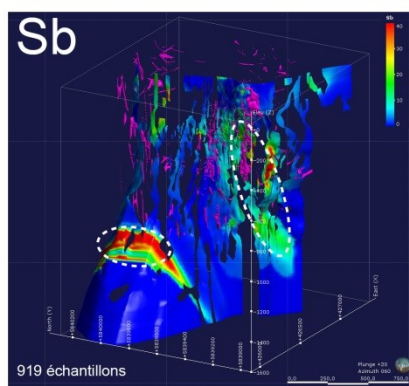
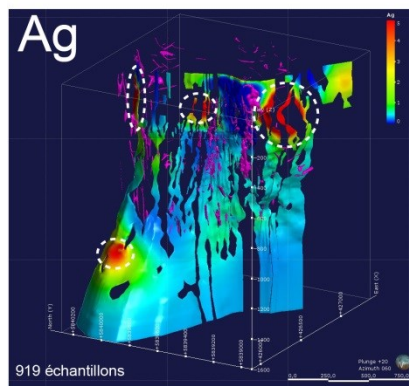
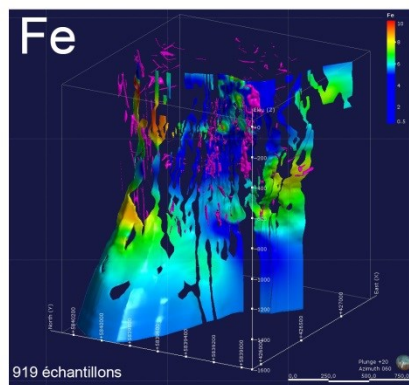
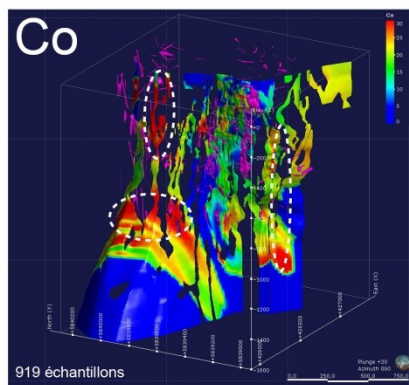
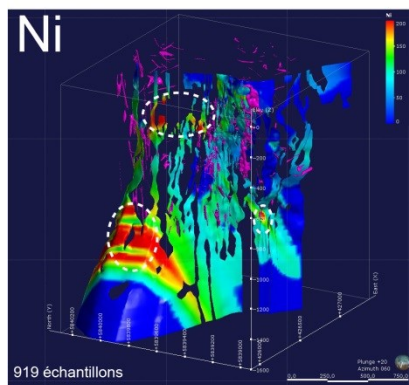
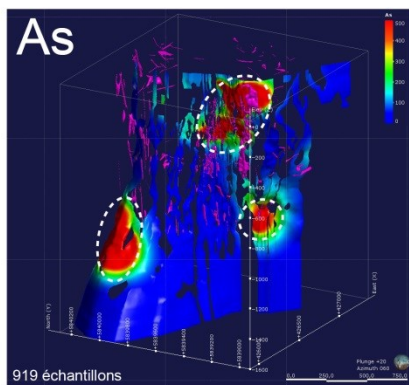
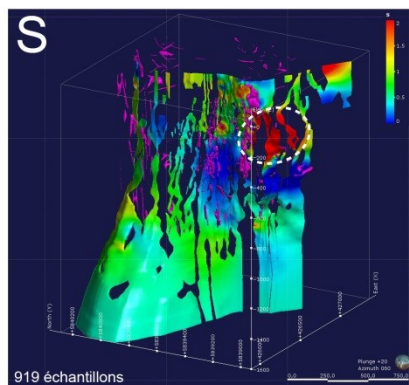
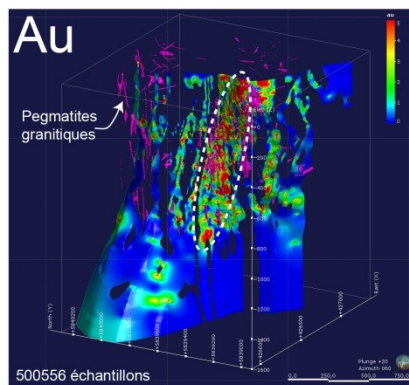
Profil lithogéochimique 4 : Forage ELE-10-669



Profil lithogéochimique 5 : Forage ELE-07-494-W01

ANNEXE G : MODÉLISATION 3D

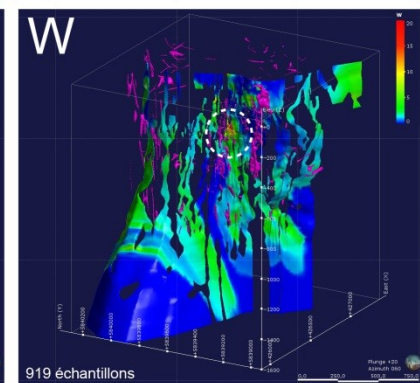
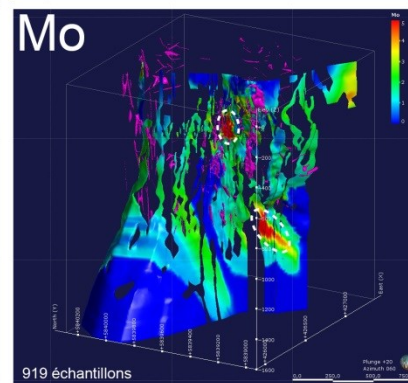
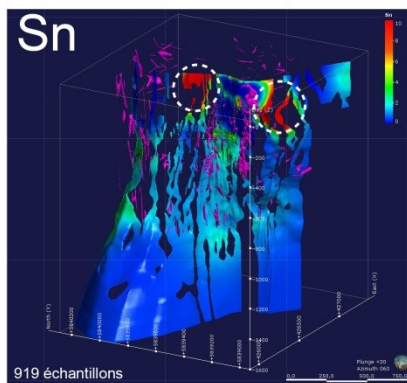
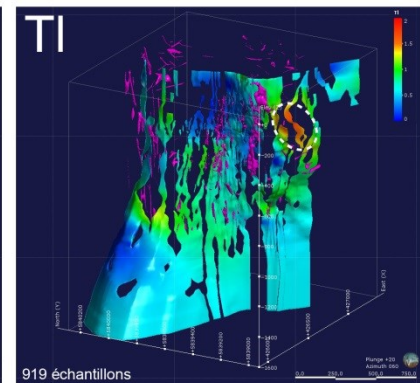
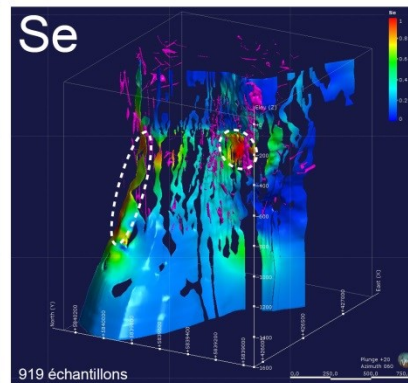
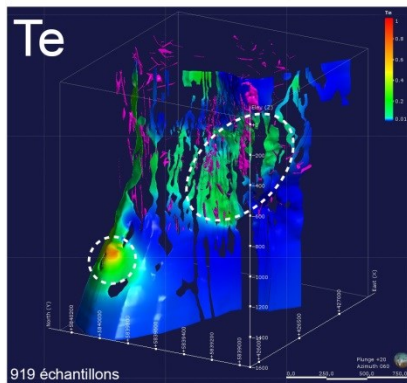
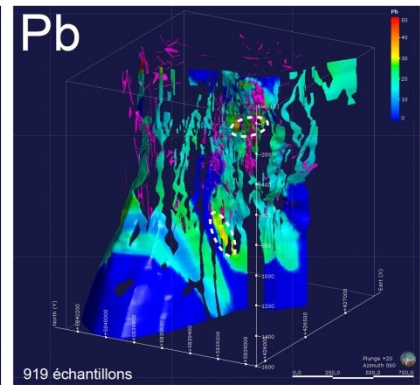
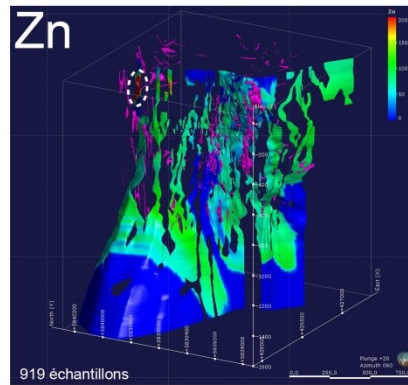
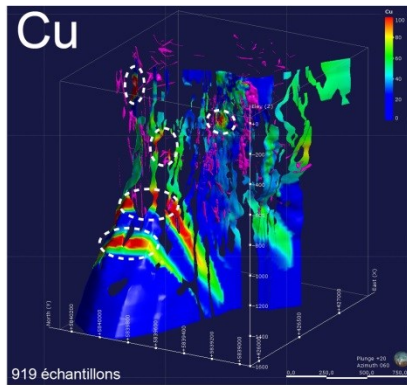




Modèle 3D de la zone 5050 (enveloppe à 3 g/t d'or) et zonation en soufre et en métaux (As, Ni, Co, Co, Fe, Ag, Sb, Cu, Zn, Pb, Te, Se, Tl, Sn, Mo et W). Projection orthographique générée par Leapfrog Geo 4.1

Paramètres de l'interpolation:

- Extension de l'interpolation: X (425600; 428200), Y (5838500; 5840800) et Z (-1500; 100)
- Valeurs logarithmiques avec un remplacement des valeurs nulles à 0.0010000000475.
- Interpolant sphéroïdale (Alpha: 9; Sill: 500; Base Range: 500; Nugget: 0)
- Résolution des isosurfaces: 50
- Tendance structurelle construite sur l'orientation de la foliation S_2



Modèle 3D de la zone 5050 (enveloppe à 3 g/t d'or) et zonation en soufre et en métaux (As, Ni, Co, Co, Fe, Ag, Sb, Cu, Zn, Pb, Te, Se, Tl, Sn, Mo et W). Projection orthographique générée par Leapfrog Geo 4.1

Paramètres de l'interpolation:

- Extension de l'interpolation: X (425600; 428200), Y (5838500; 5840800) et Z (-1500; 100)
- Valeurs logarithmique avec un remplacement des valeurs nulles à 0.0010000000475.
- Interpolant sphéroïdale (Alpha: 9; Sill: 500; Base Range: 500; Nugget: 0)
- Résolution des isosurfaces: 50
- Tendence structurelle construite sur l'orientation de la foliation S_2

ANNEXE H : CARTES GÉOLOGIQUES

Carte 1. Géologie régionale

Carte 2. Géologie locale de la mine Éléonore

Carte 3. Géologie du niveau 380

Carte 4. Géologie du niveau 410

Carte 5. Altérations hydrothermales du niveau 410

Carte 6. Géologie du niveau 650

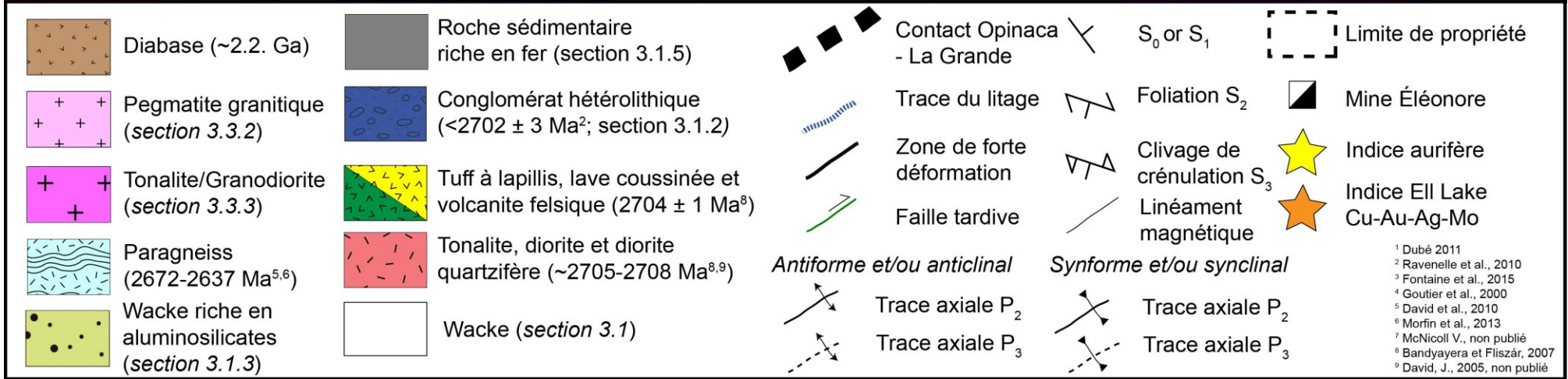
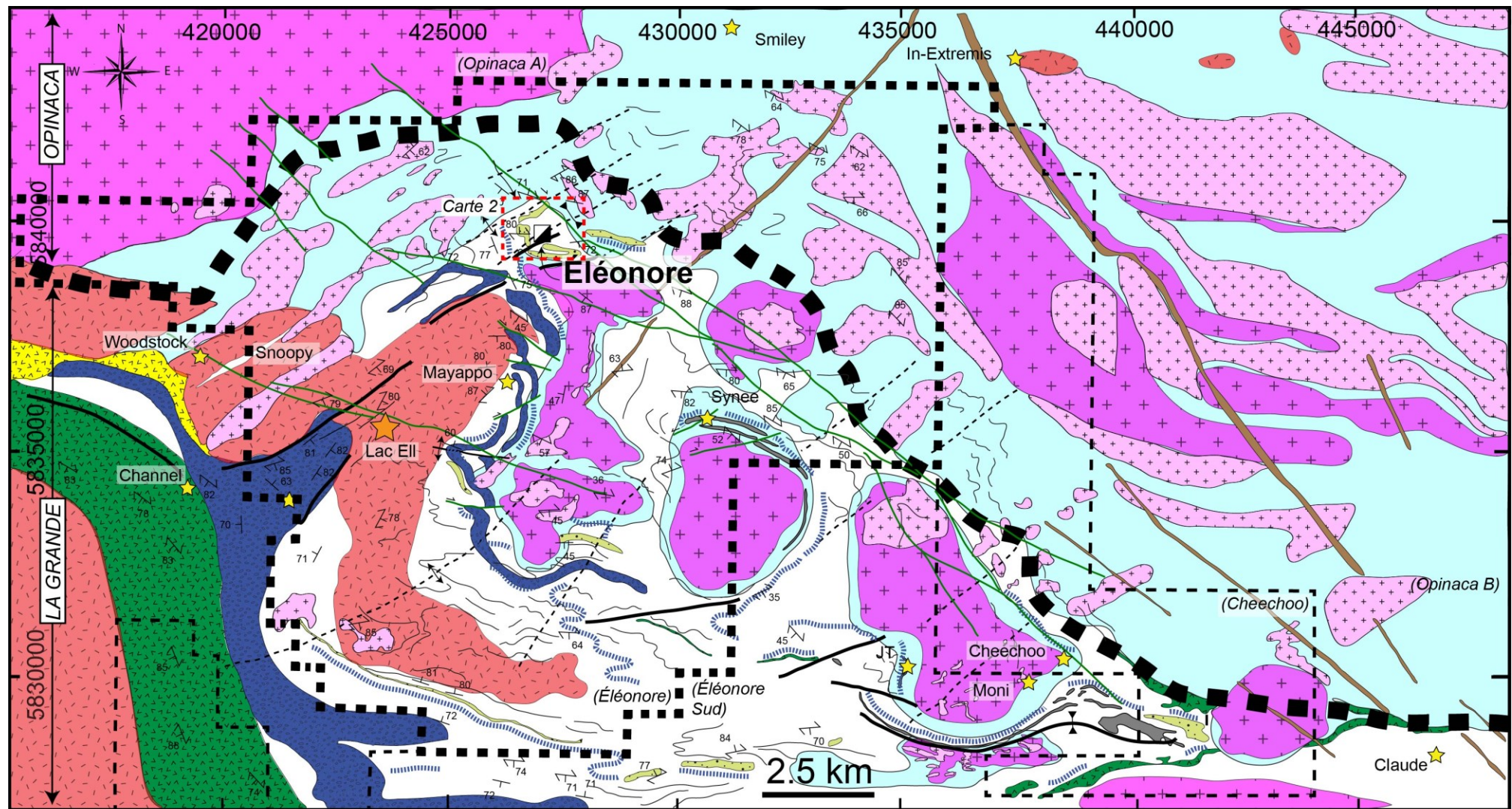
Carte 7. Géologie du niveau 740

Carte 8. Géologie de la tranchée 28

Carte 9. Géologie du décapage principal de l'indice Cheechoo

Carte 10. Géologie de la partie nord du décapage principal de l'indice Cheechoo

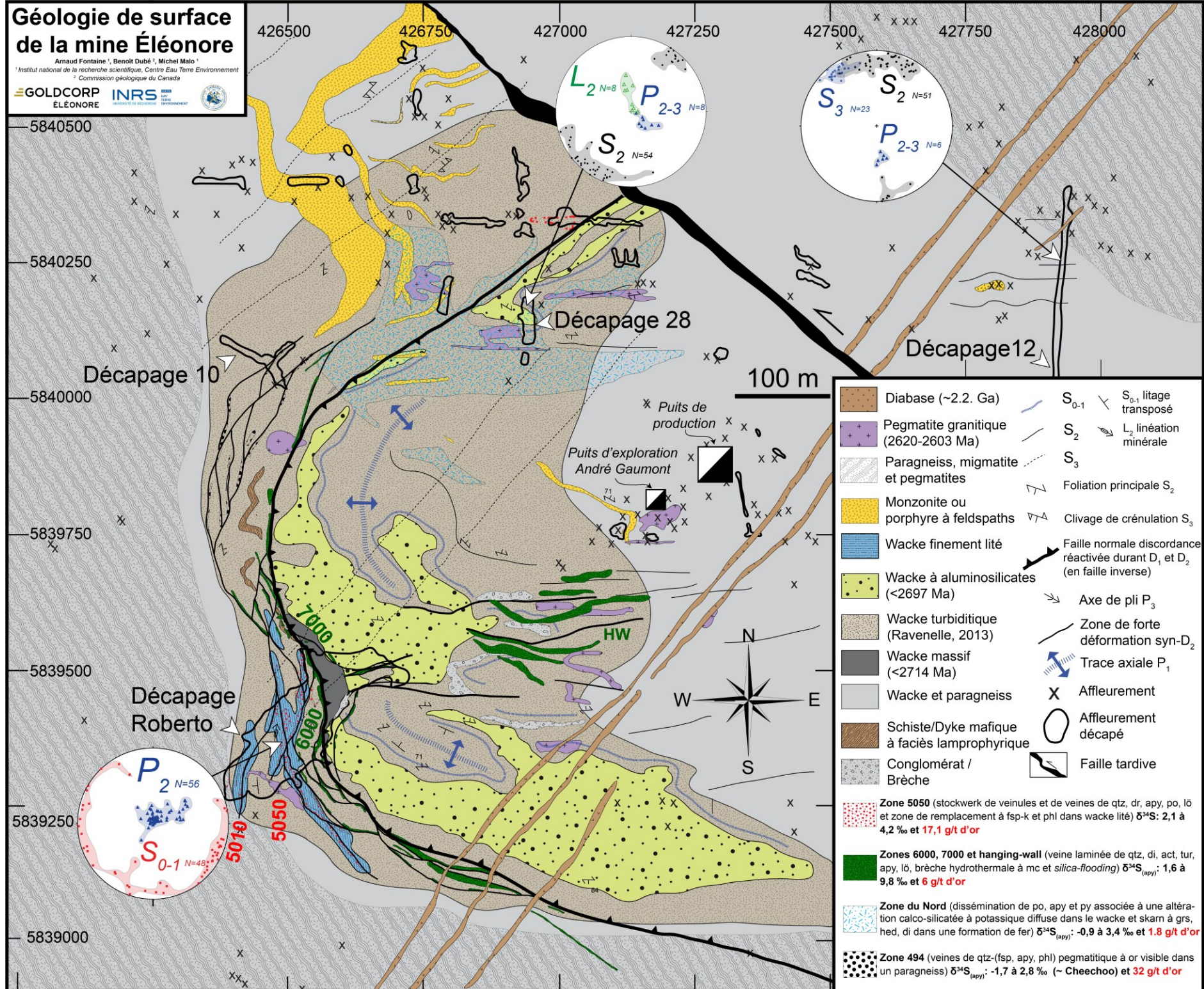
Carte 11. Géologie de la tranchée 6-9 de l'indice Cheechoo



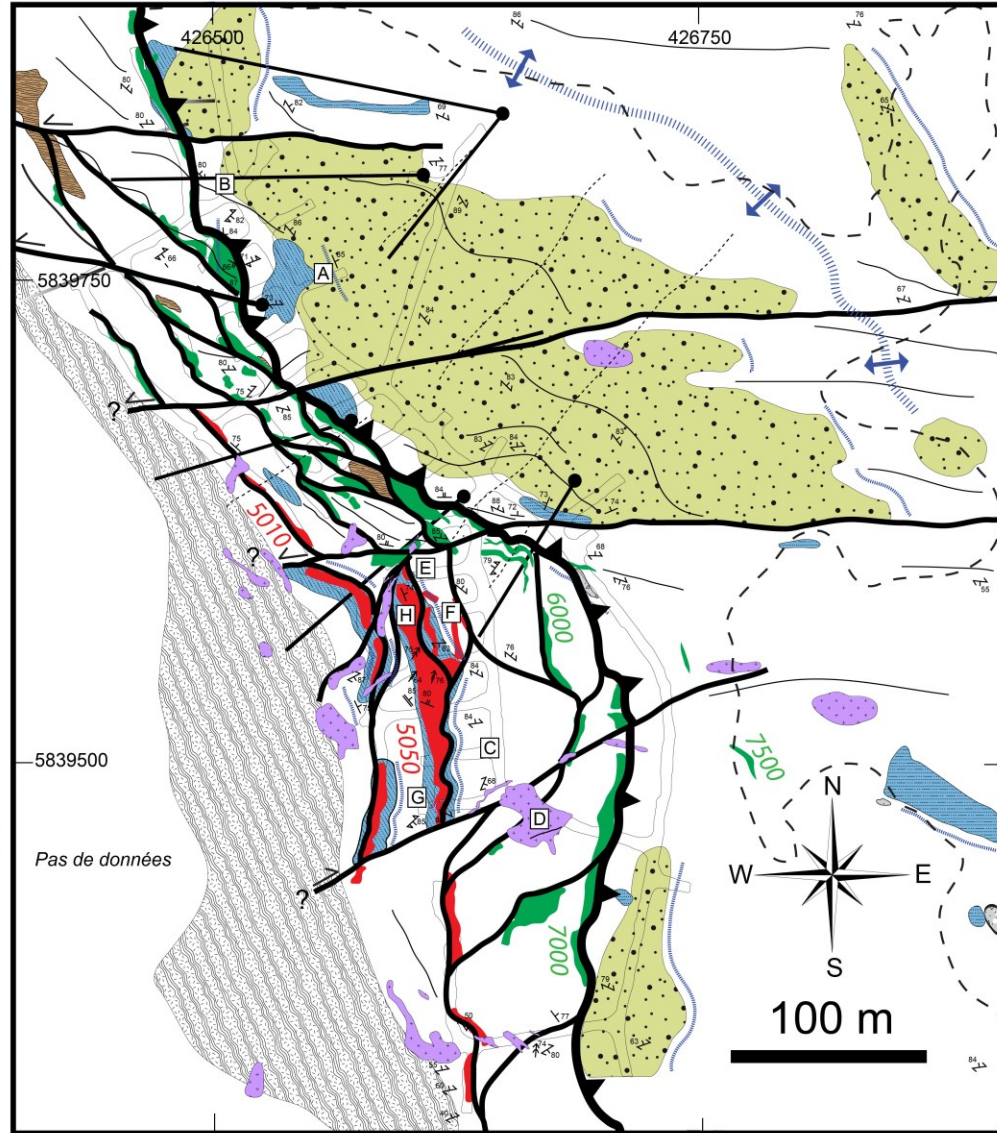
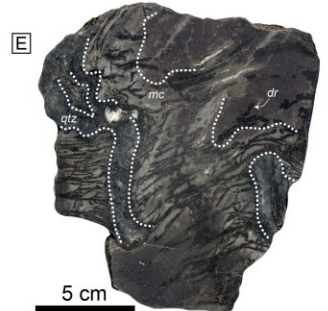
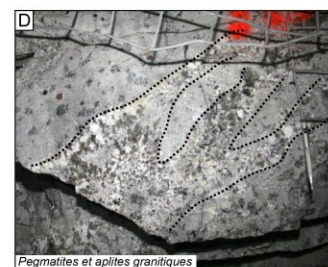
¹ Dubé 2011
² Ravenelle et al., 2010
³ Fontaine et al., 2015
⁴ Goutier et al., 2000
⁵ David et al., 2010
⁶ Morfin et al., 2013
⁷ McNicoll V., non publié
⁸ Bandyayera et Fliszár, 2007
⁹ David, J., 2005, non publié

Géologie de surface de la mine Éléonore

Arnaud Fontaine¹, Benoît Dubé¹, Michel Malo¹
¹Institut national de la recherche scientifique, Centre Eau Terre Environnement
²Commission géologique du Canada



- | | |
|--|--|
| Diabase (~2.2. Ga) | S ₀₋₁ S ₀₋₁ litage transposé |
| Pegmatite granitique (2620-2603 Ma) | S ₂ L ₂ linéation minérale |
| Paragneiss, migmatite et pegmatites | S ₃ |
| Monzonite ou porphyre à feldspaths | Foliation principale S ₂ |
| Wacke finement litée | Clivage de crénulation S ₃ |
| Wacke à aluminosilicates (<2697 Ma) | Faille normale discordance réactivée durant D ₁ et D ₂ (en faille inverse) |
| Wacke turbiditique (Ravenelle, 2013) | Axe de pli P ₃ |
| Wacke massif (<2714 Ma) | Zone de forte déformation syn-D ₂ |
| Wacke et paragneiss | Trace axiale P ₁ |
| Schiste/Dyke mafique à faciès lamprophyrique | Affleurement |
| Conglomérat / Brèche | Affleurement décapé |
| Zone 5050 (stockwerk de veinules et de veines de qtz, dr, apy, po, lô et zone de remplacement à fsp-k et phl dans wacke litée) δ ³⁴ S: 2,1 à 4,2 ‰ et 17,1 g/t d'or | Faille tardive |
| Zones 6000, 7000 et hanging-wall (veine laminée de qtz, di, act, tur, apy, lô, brèche hydrothermale à mc et silica-flooding) δ ³⁴ S: 1,6 à 9,8 ‰ et 6 g/t d'or | |
| Zone du Nord (dissémination de po, apy et py associée à une altération calco-silicatée à potassique diffuse dans le wacke et skarn à grs, hed, di dans une formation de fer) δ ³⁴ S: -0,9 à 3,4 ‰ et 1,8 g/t d'or | |
| Zone 494 (veines de qtz-(fsp, apy, phl) pegmatitique à or visible dans un paragneiss) δ ³⁴ S: -1,7 à 2,8 ‰ (~ Cheechoo) et 32 g/t d'or | |



Géologie du niveau 380

Lithologies et structures associées aux zones minéralisées principales

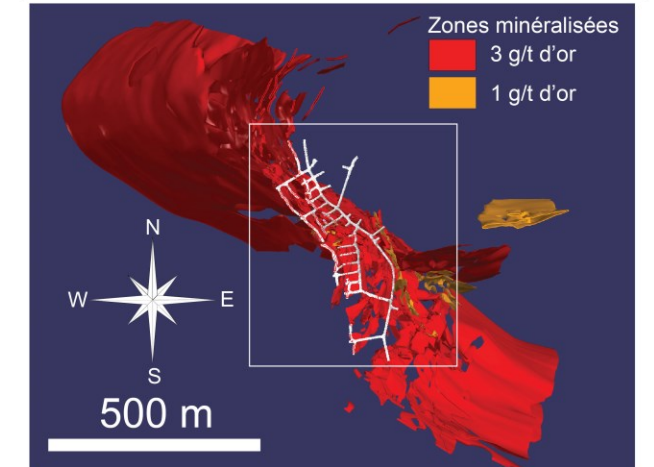
GOLDCORP
ÉLÉONORE

Arnaud Fontaine¹, Benoît Dubé², Michel Malo¹

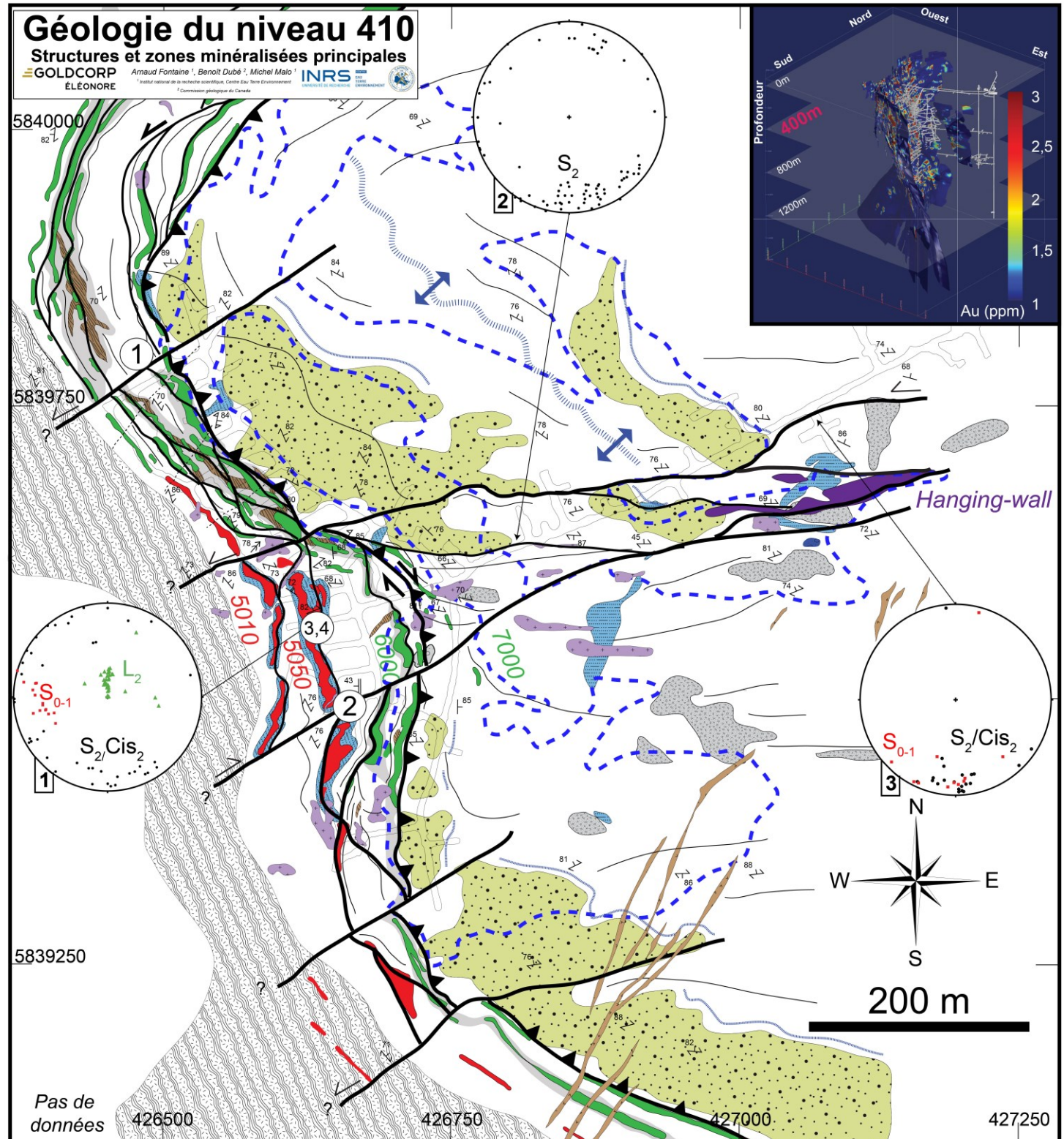
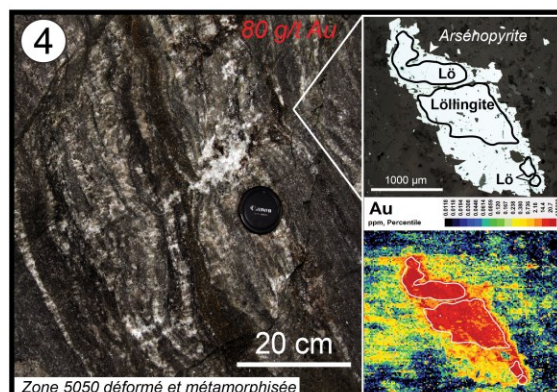
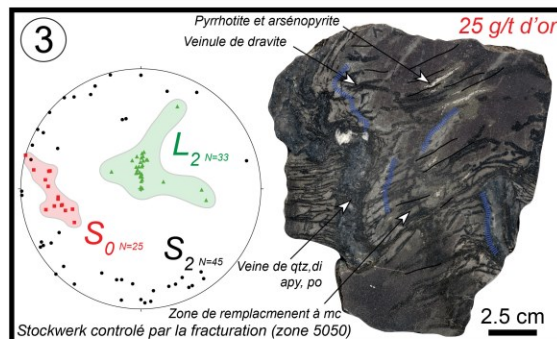
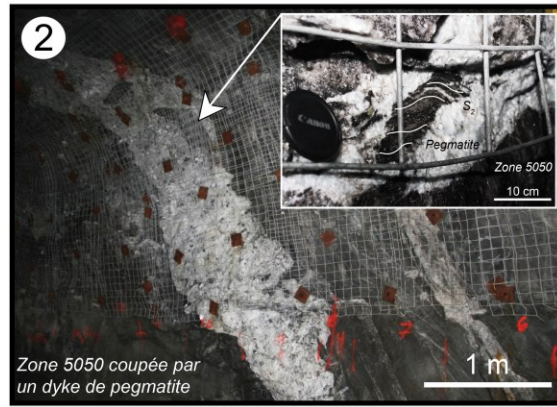
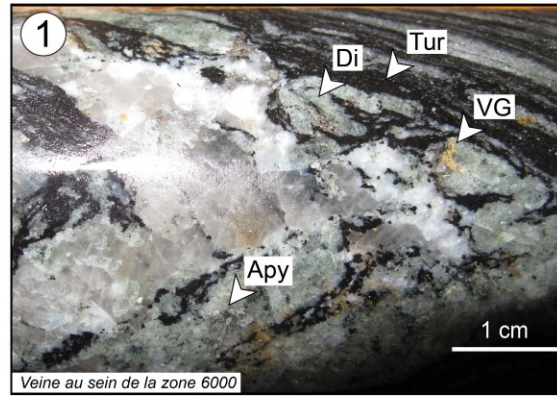
INRS
Énergie et Environnement

¹ Institut national de la recherche scientifique, Centre Eau Terre Environnement
² Commission géologique du Canada

Cette carte a été compilée à partir de la cartographie des galeries souterraines, de la description de carottes de forage et de la modification 3D. L'objectif principal est de présenter les différentes lithologies associées aux principaux corridors minéralisés. Une attention particulière est portée aux différentes structures, sur la géométrie des unités sédimentaires et sur l'étendue de l'empreinte hydrothermale. Cette carte illustre l'extension du système hydrothermal du gisement Roberto et les différents générateurs de structures syn- à post-minéralisation.



	Wacke massif		Schiste / dyke mafique à faciès lamprophyrique
	Wacke finement litée		Conglomérat / brèche
	Wacke à aluminosilicates (<2697 Ma)		Paragneiss et pegmatite granitique
	Pegmatite granitique (2620-2600 Ma)		Forage étudié
	Zone 5050: Stockwerk de veinules de quartz, dravite et zones de remplacement à microcline, phlogopite et disséminations d'apy, po et ló		Extension des altérations distales (bande de remplacement métasomatique)
	Zone 6000, 7000, 7500: Schiste à biotite, amphibole, veines de quartz, diopside, tourmaline noire et disséminations d'apy, po et ló		Faïlle normale/discordance réactivée durant D ₂ (en faille inverse dextre)
	Trace du S ₀₋₁		Litage transposé/Foliation S ₀₋₁
	Trace du S ₂		Foliation principale S ₂
	Trace du S ₃		Foliation secondaire S ₃
	Zone de forte déformation syn à tardi-D ₂		Rubanement hydrothermal ou veine laminée (haute teneur)
			Veine de quartz d'extension (stérile)
			Plan axial de pli P ₁
			Linéation minérale L ₂
			Axe de pli P ₃
			Galeries



- Wacke massif
 - Wacke finement lité (<2675 Ma)
 - Wacke à d'aluminosilicates (<2697 Ma)
 - Pegmatite granitique (2620-2600 Ma)
 - Zone 5050: Stockwerk de veinules de qtz, tur et zones à mc, phl et disséminations de apy, po et lô
 - Zones 6000, 7000 et 7500: Schiste à bt, amp et veines de qtz, di, tur et disséminations de apy, po et lô
 - Conglomérat / brèche
 - Schiste/dyke mafique à faciès lamprophyrique
 - Diabase
 - Paragneiss et pegmatite granitique
 - Zone hanging-wall: Silicification et veine de quartz et or visible et brèche à mc, act, apy, po et py.
 - Discordance/faïlle normale réactivée en faille inverse dextre durant D₂
 - Étendue de l'altération distale (bande de remplacement métasomatique)
 - S₀₋₁ Zone de forte déformation syn-D₂
 - S₂
 - S₃
 - Zone de forte déformation tardi-D₂
 - Plan axial P₁ (inféré)
 - Linéation minérale L₂
 - Axe de pli P₃
 - Galerie souterraine
 - Litage transposé S₀₋₁
 - Foliation métamorphique S₂
 - Clivage de crénulation S₃
 - Rubanement hydrothermal ou veine laminée haute teneur
 - Veine de quartz extensionnelle basse teneur
- Act: Actinote; Apy: Arsénoopyrite; Bt: Biotite; Cal: Calcite; Czo: Clinozoisite; Di: Diopside; Lô: Löllingite; Mg-Tur: Dravite; Phl: Phlogopite; Py: Pyrite; Po: Pyrrhotite; Qtz: Quartz; Ser: Séricite; Tur: Tourmaline.

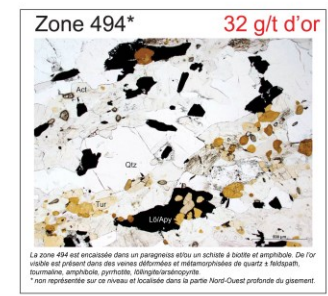
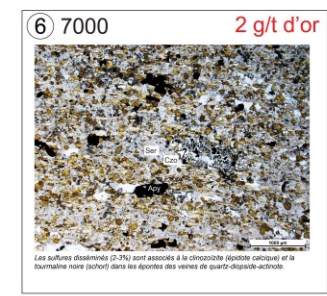
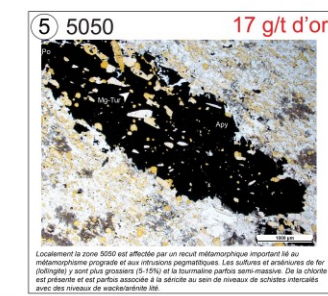
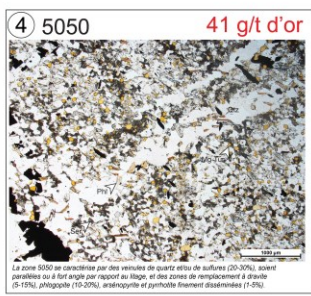
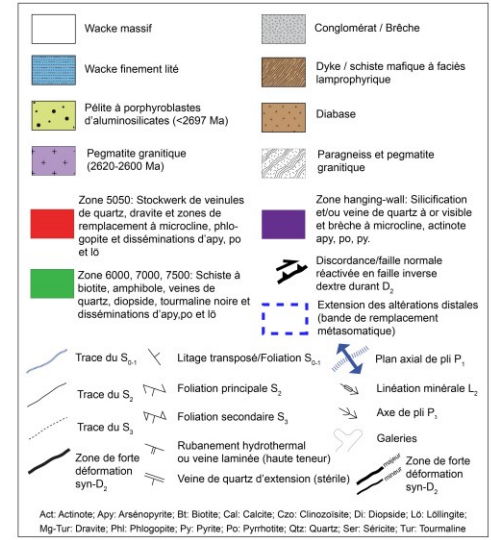
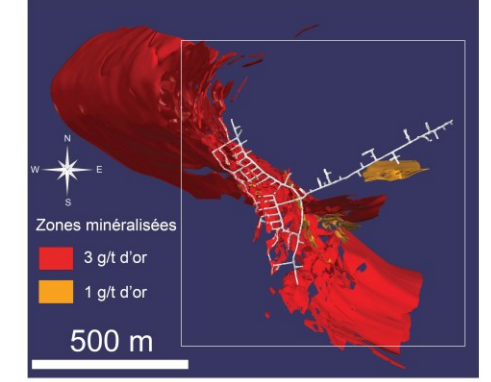
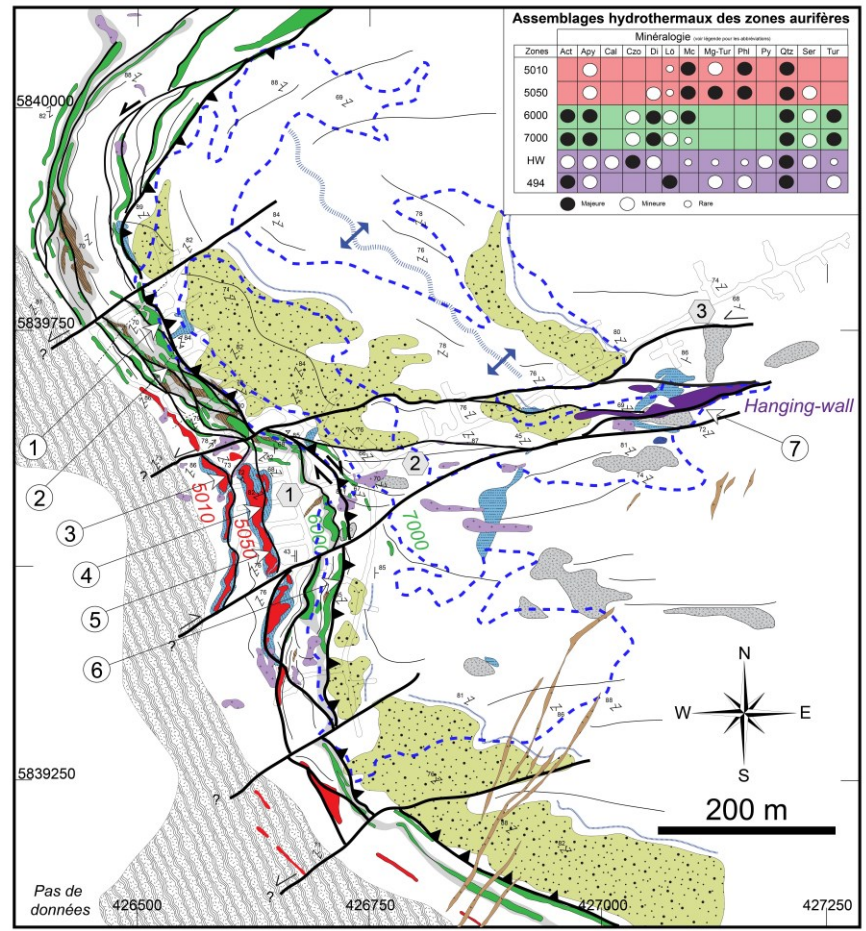
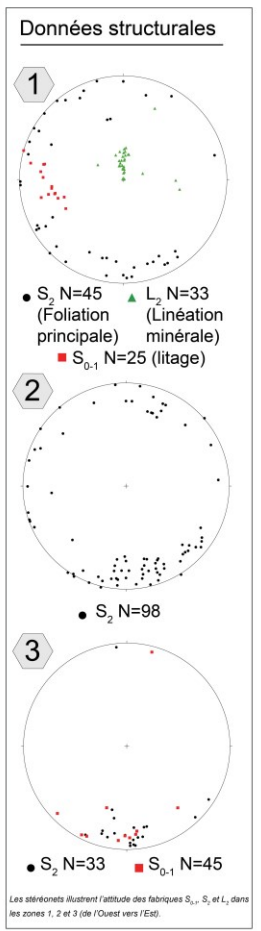
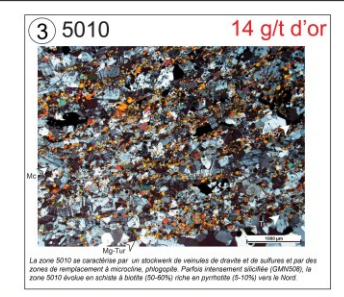
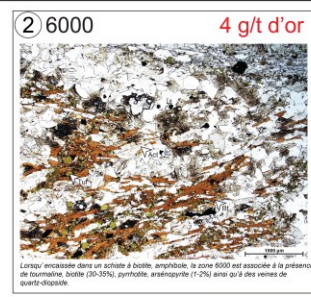
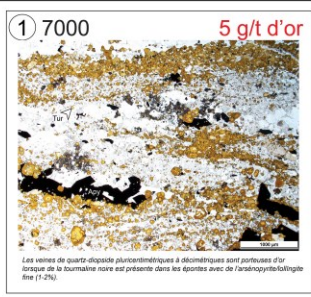
Géologie du niveau 410

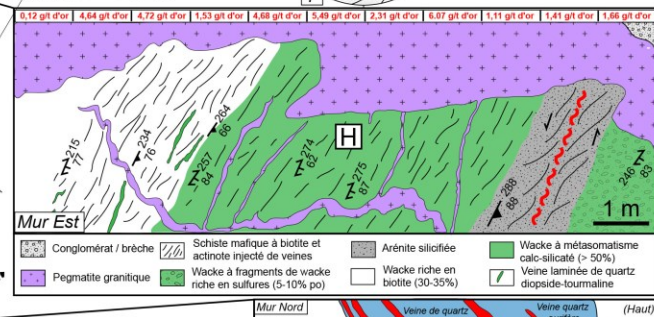
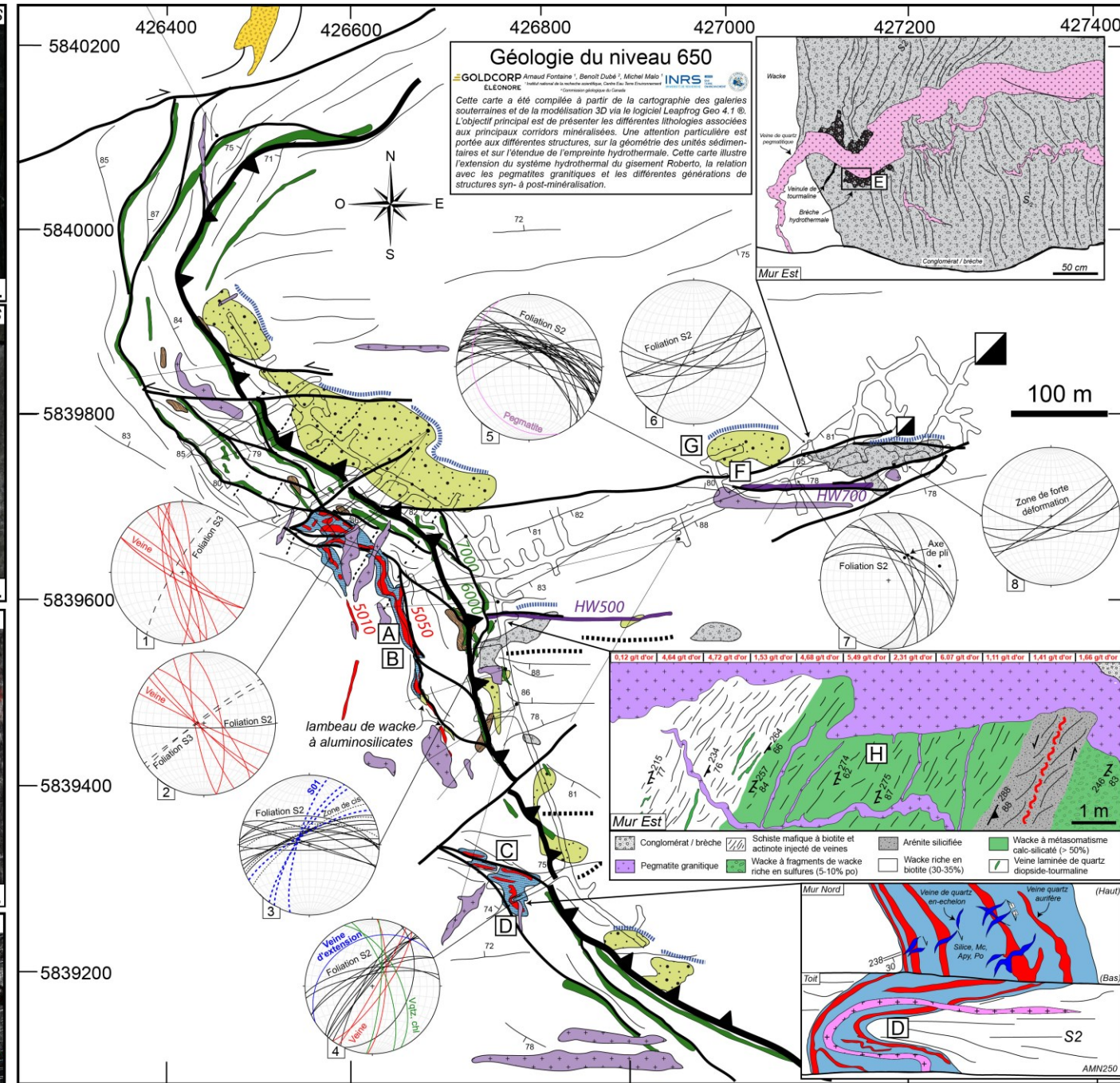
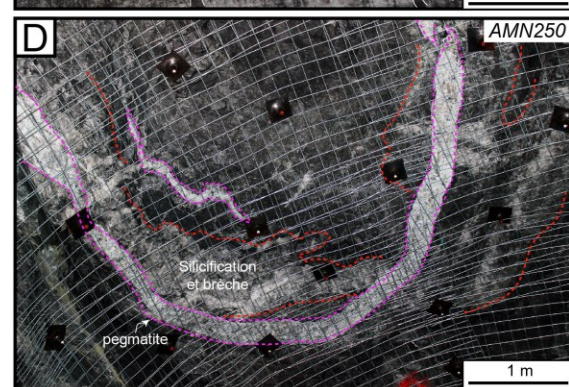
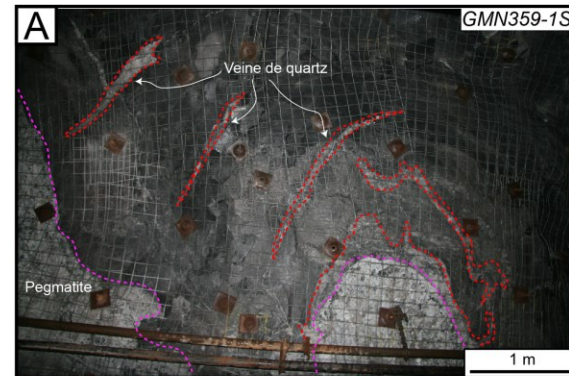
Pétrographie des altérations hydrothermales associées aux zones minéralisées principales

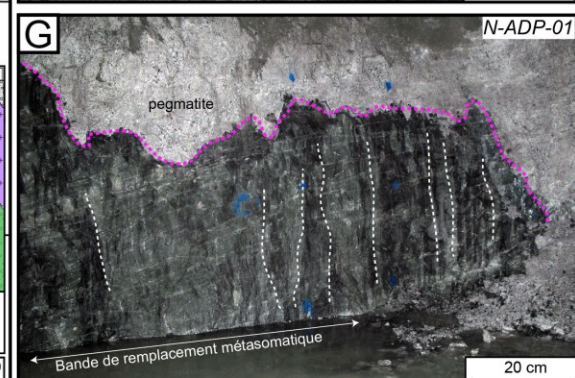
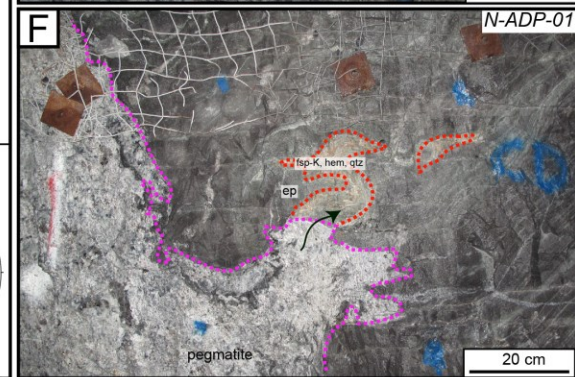
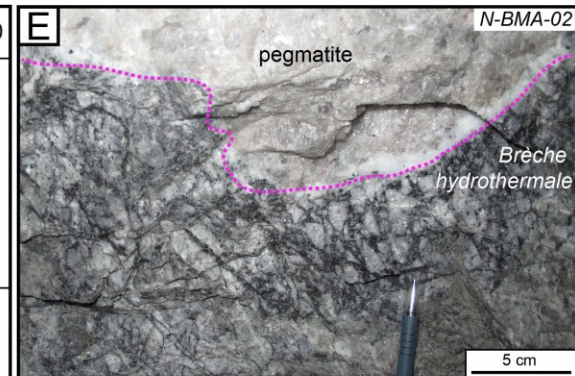
GOLDCORP ÉLÉONORE Arnaud Fontaine¹, Benoit Dubé², Michel Malo¹

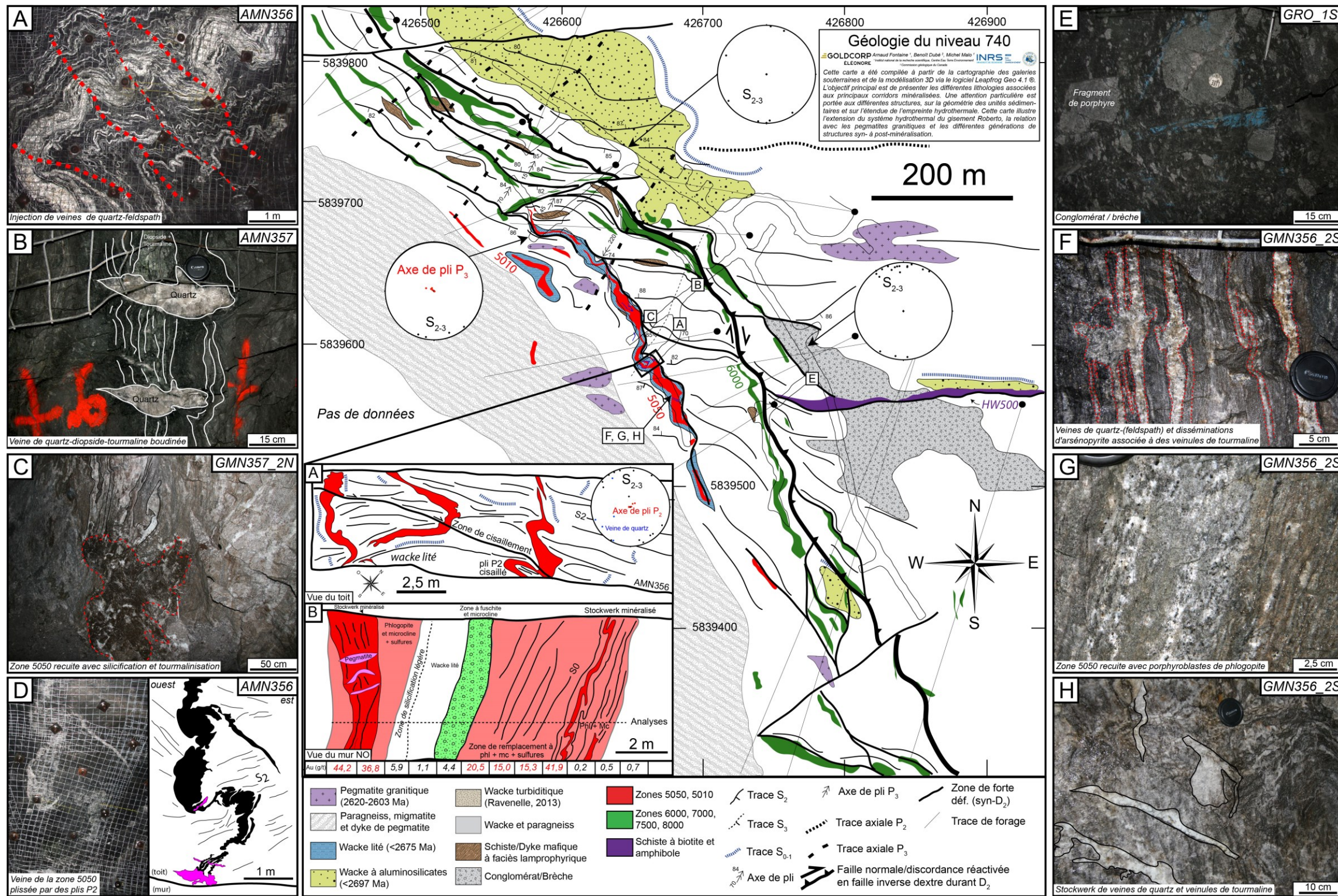
¹ Institut national de la recherche scientifique, Centre Eau Terre Environnement
² Commission géologique du Canada

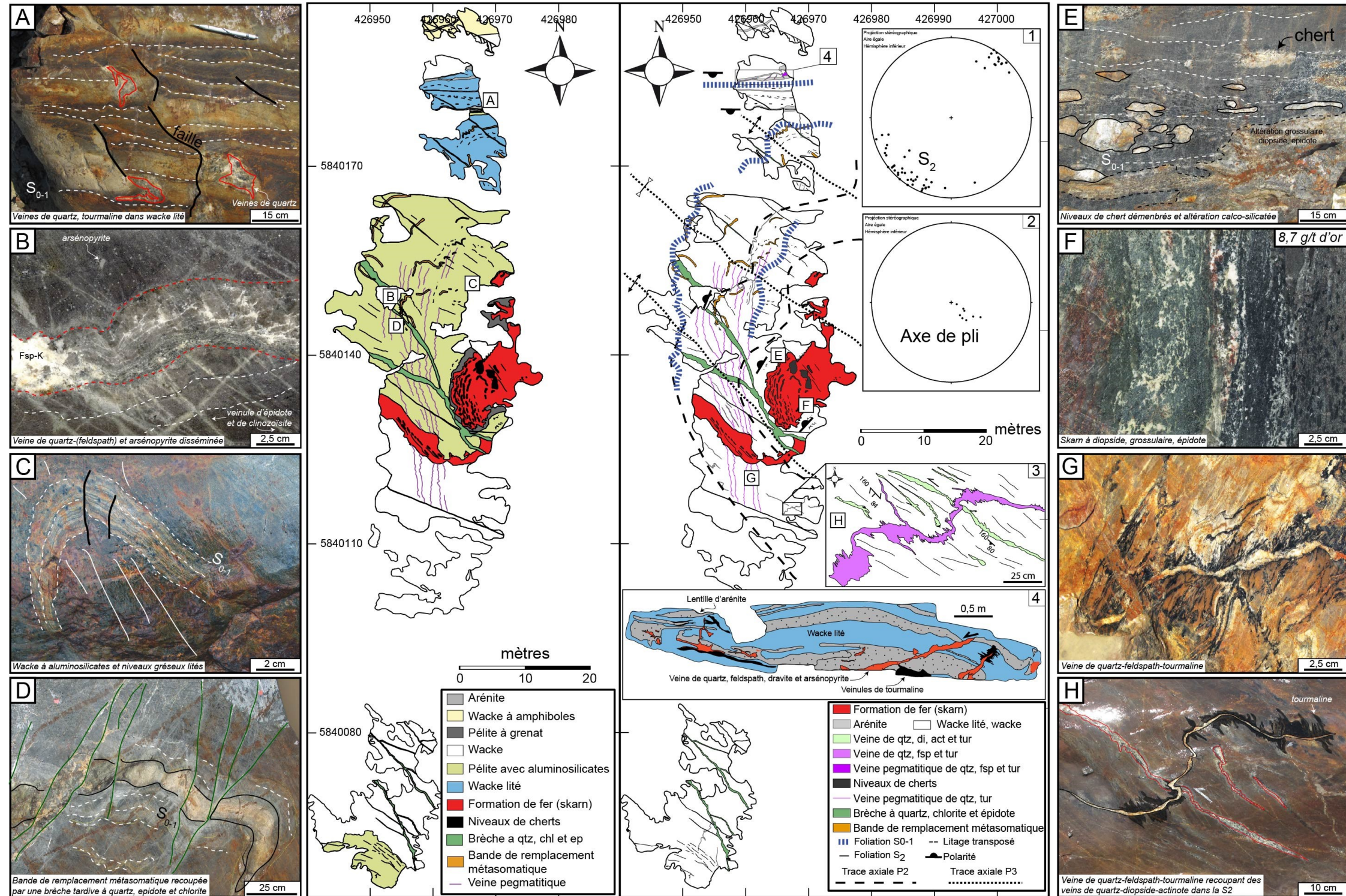
Cette carte a été compilée à partir de la cartographie des galeries souterraines, de la description de carottes de forage et de la modélisation 3D. L'objectif principal est de présenter les différentes altérations hydrothermales prouvées associées aux principaux corridors minéralisés. Des microphotographies en lumière naturelle et/ou polarisée permettent de mettre en évidence les relations texturales entre les minéraux primaires associés aux lithologies encaissantes et les minéraux hydrothermaux. Une attention particulière est portée à la diversité des styles de minéralisation parfois présents au sein d'un même corridor minéralisé ainsi qu'à la proportion de sulfures. Du Nord vers le Sud, des variations importantes des assemblages hydrothermaux et des teneurs en or sont observées. Ces variations sont probablement liées à la diversité des roches hôtes (schiste vs wacke finement litée par exemple), au gradient de déformation plus intense dans les zones minéralisées vers le Nord et à la présence de zones de forte déformation tardi-D₂. Cette carte illustre l'extension du système hydrothermal du gisement Roberto et les différentes générations de structures syn- à post-minéralisation.

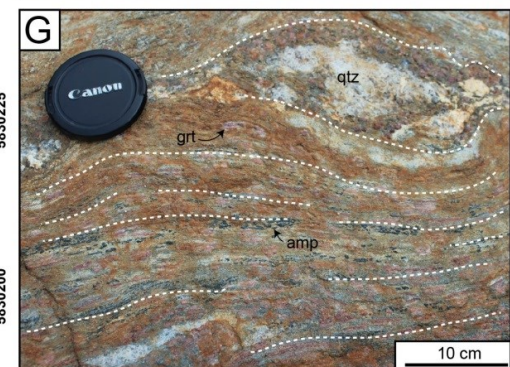
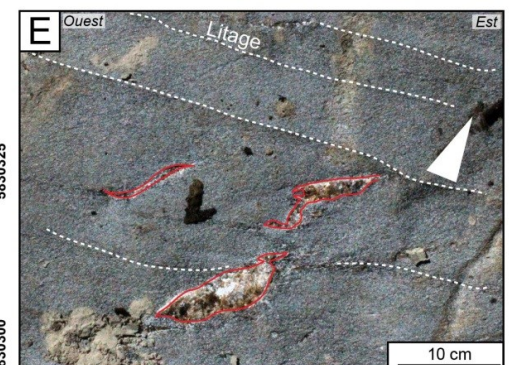
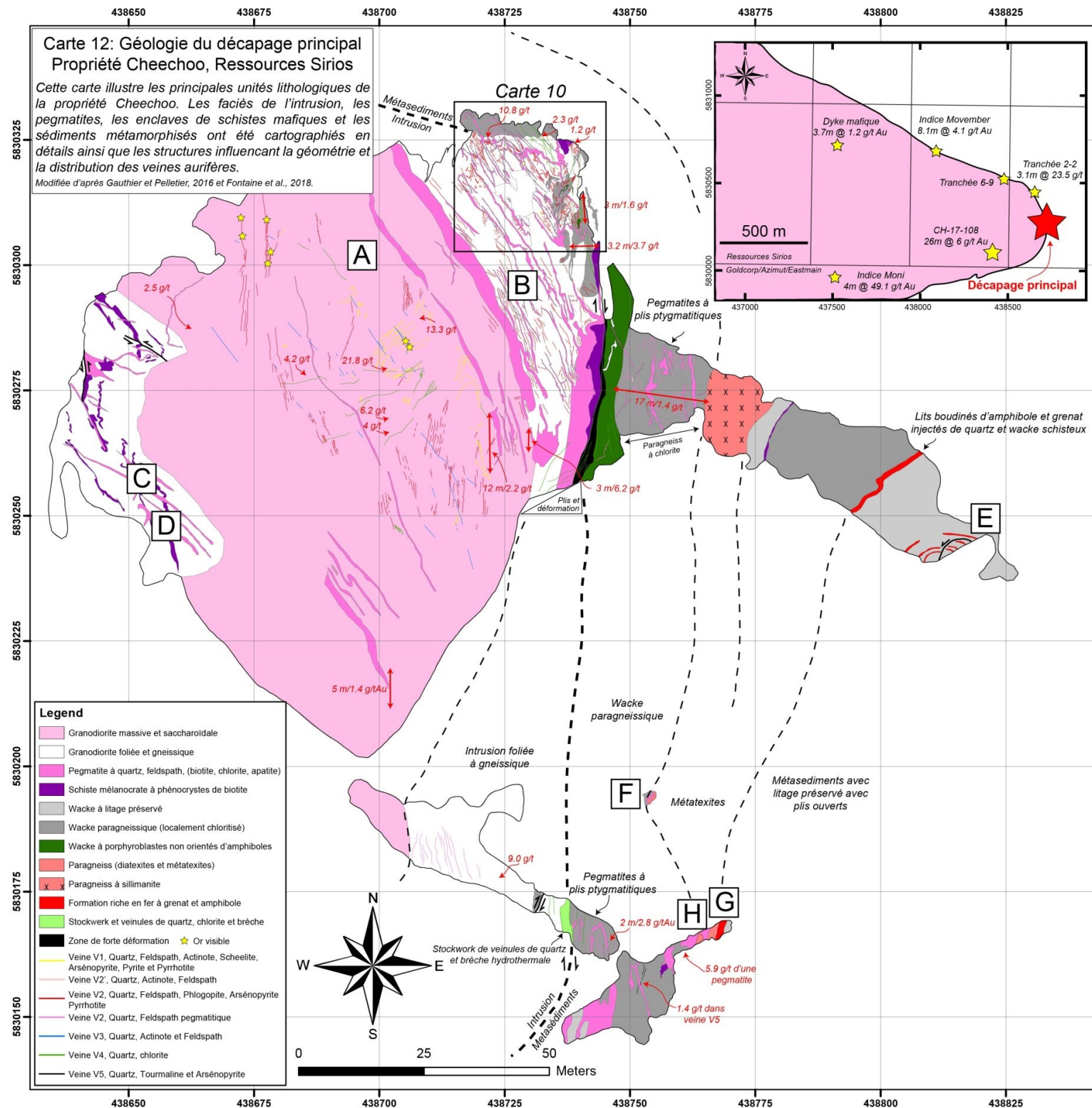
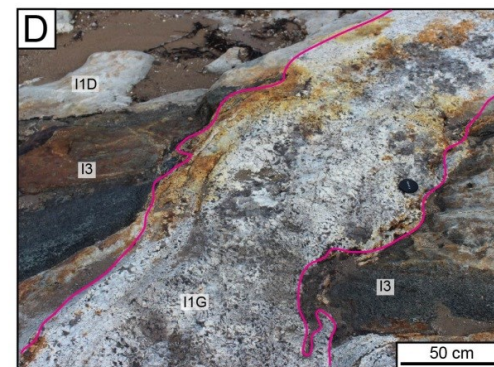
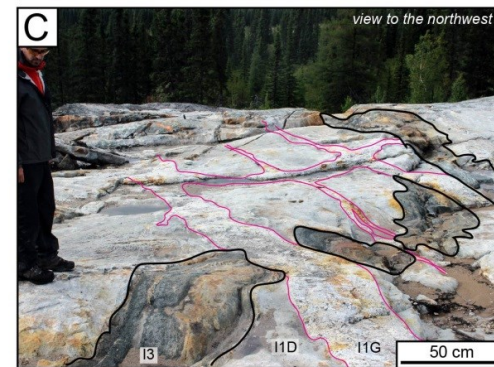
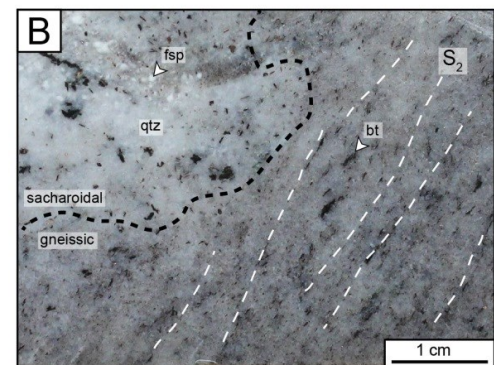
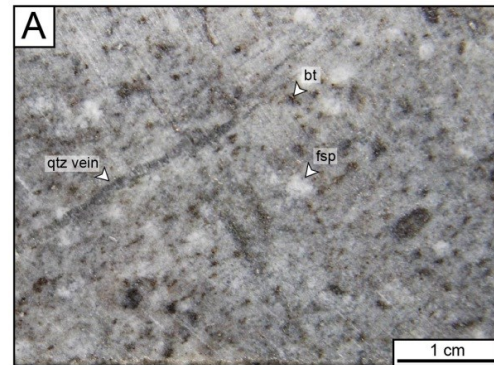


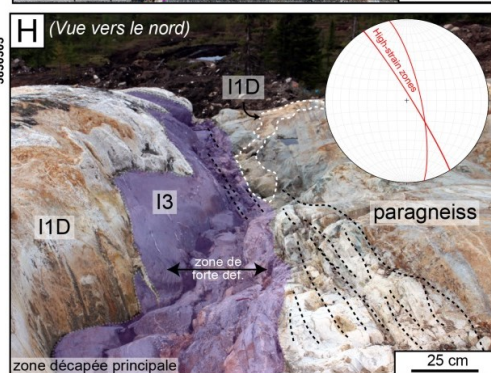
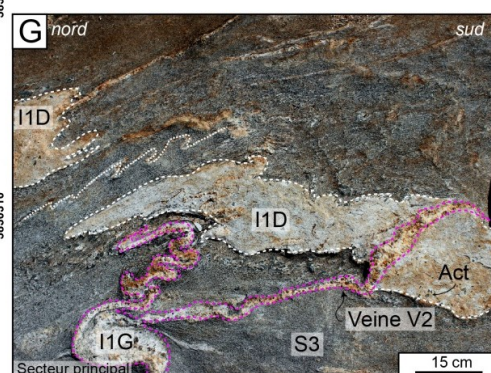
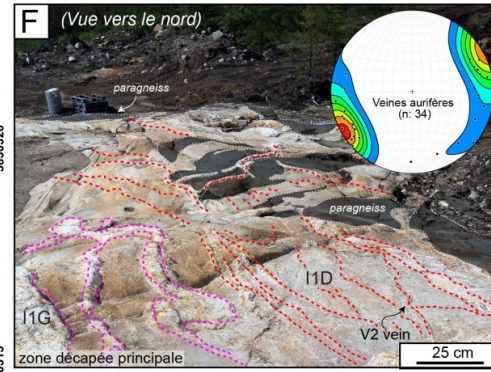
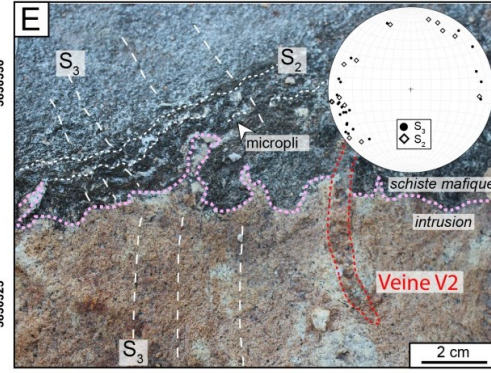
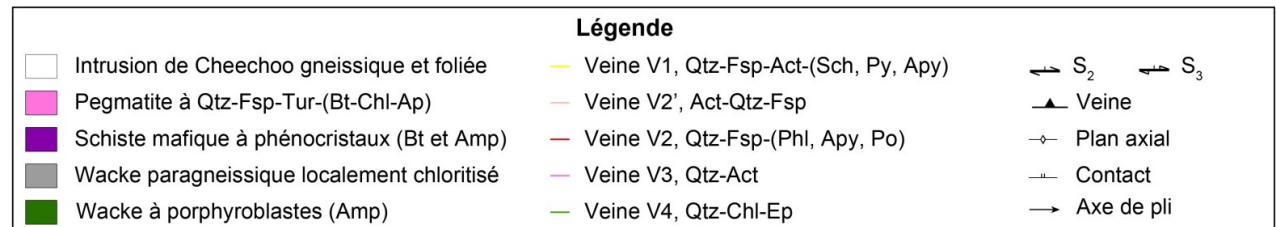
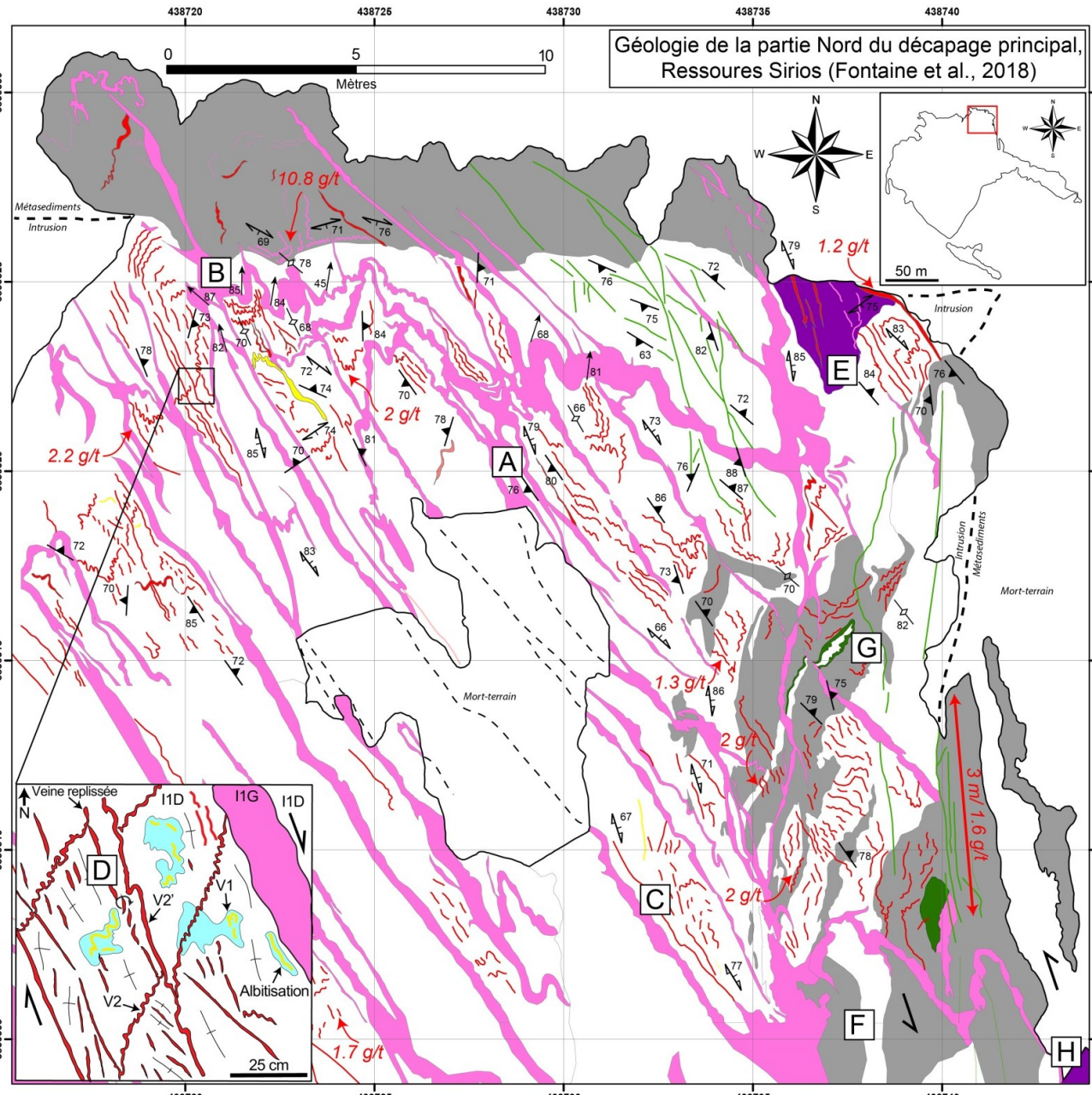
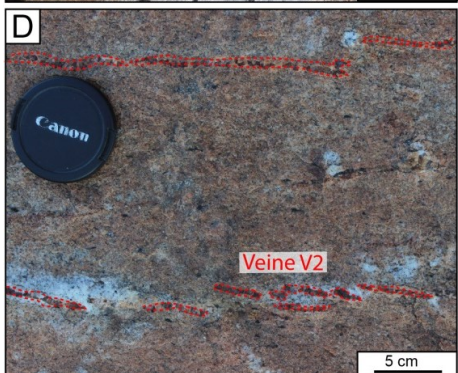
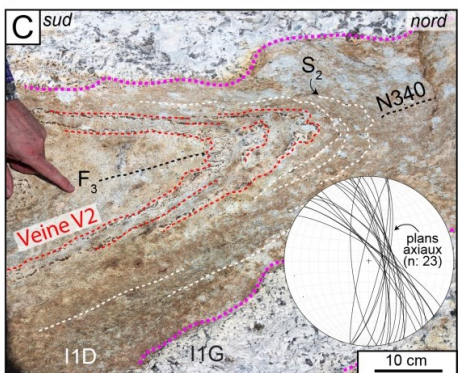
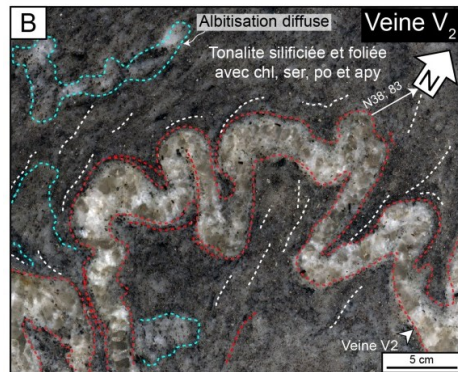
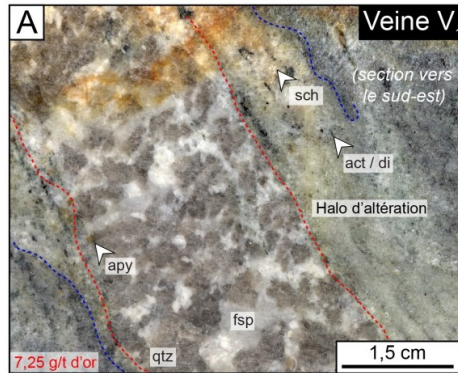
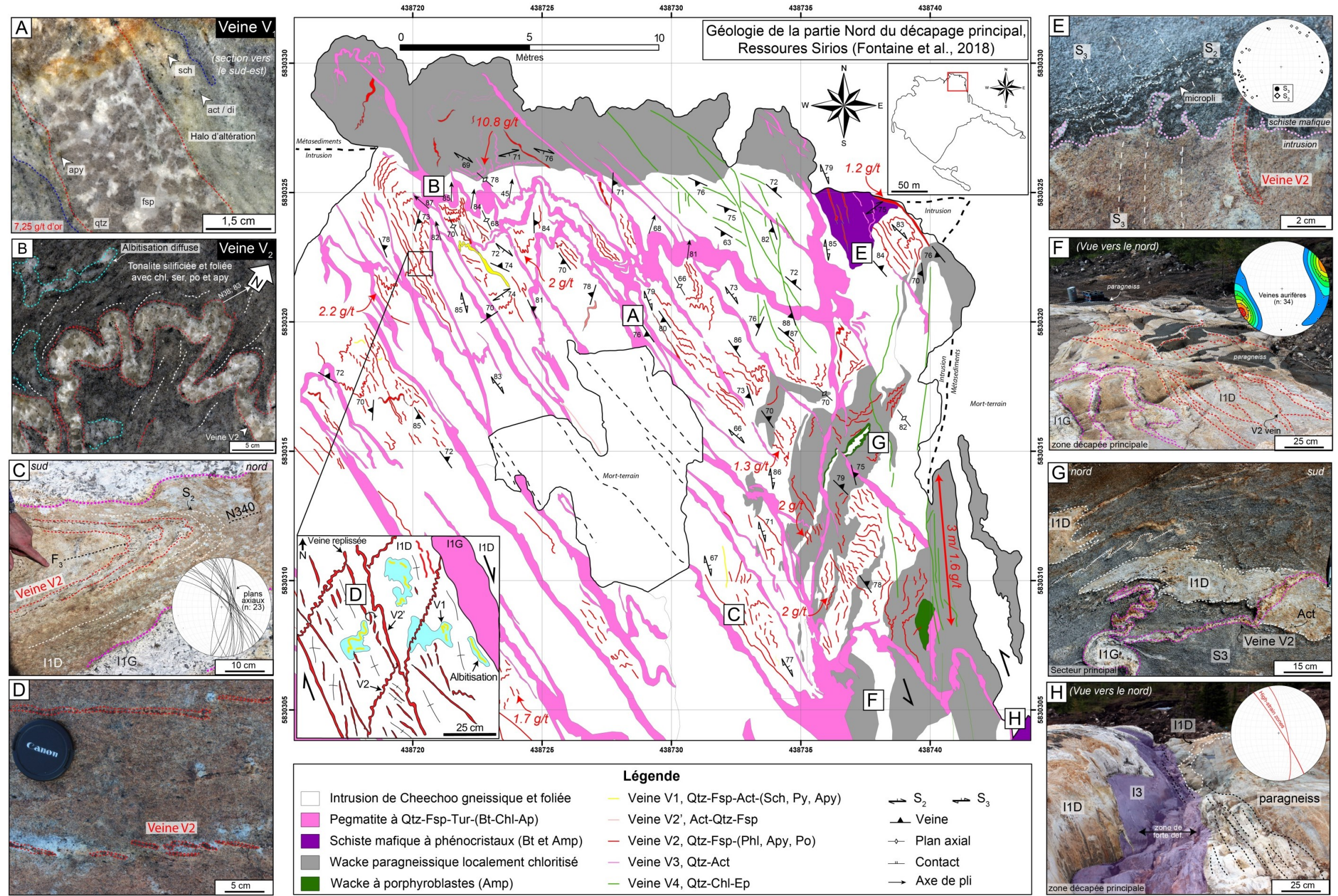


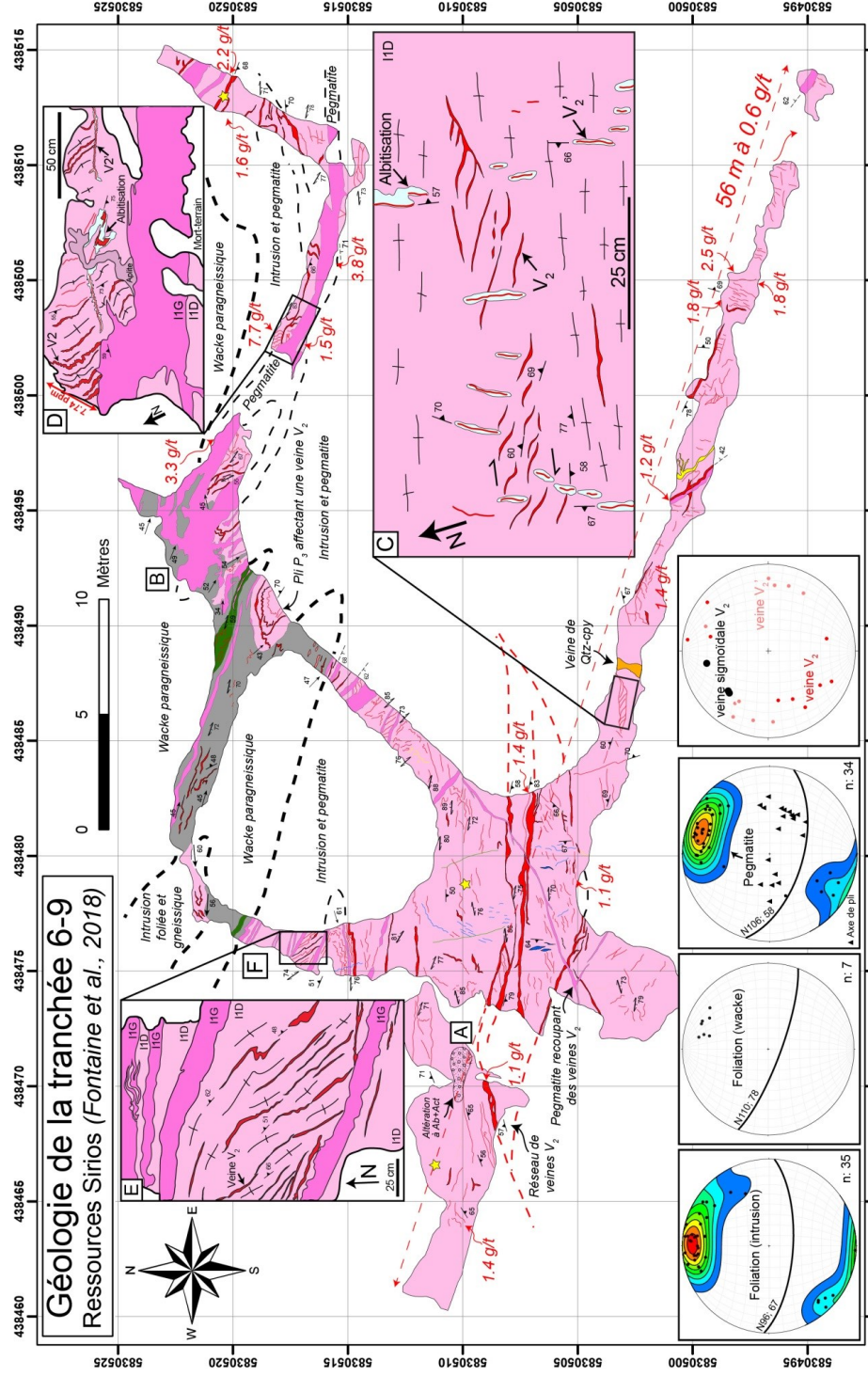




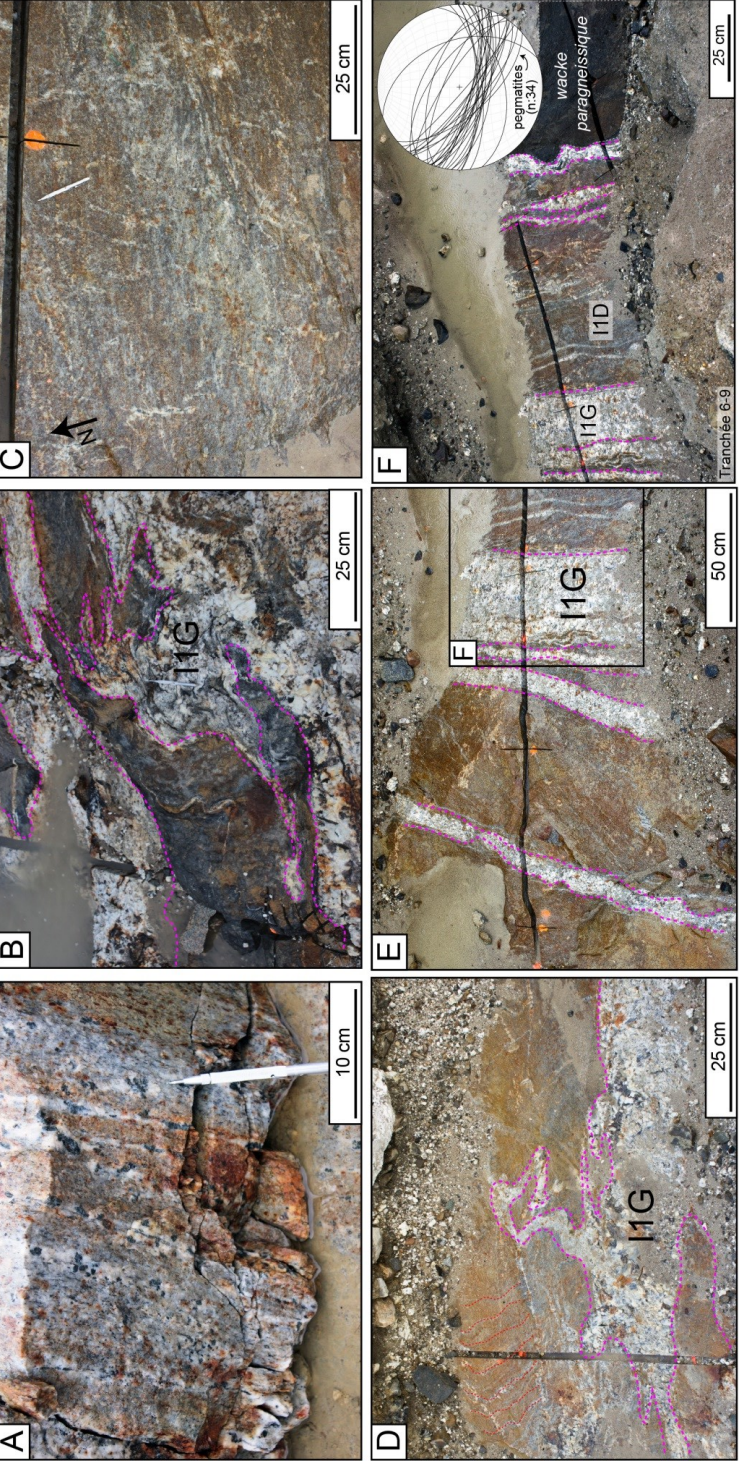
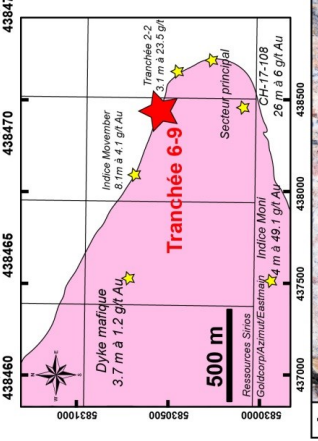




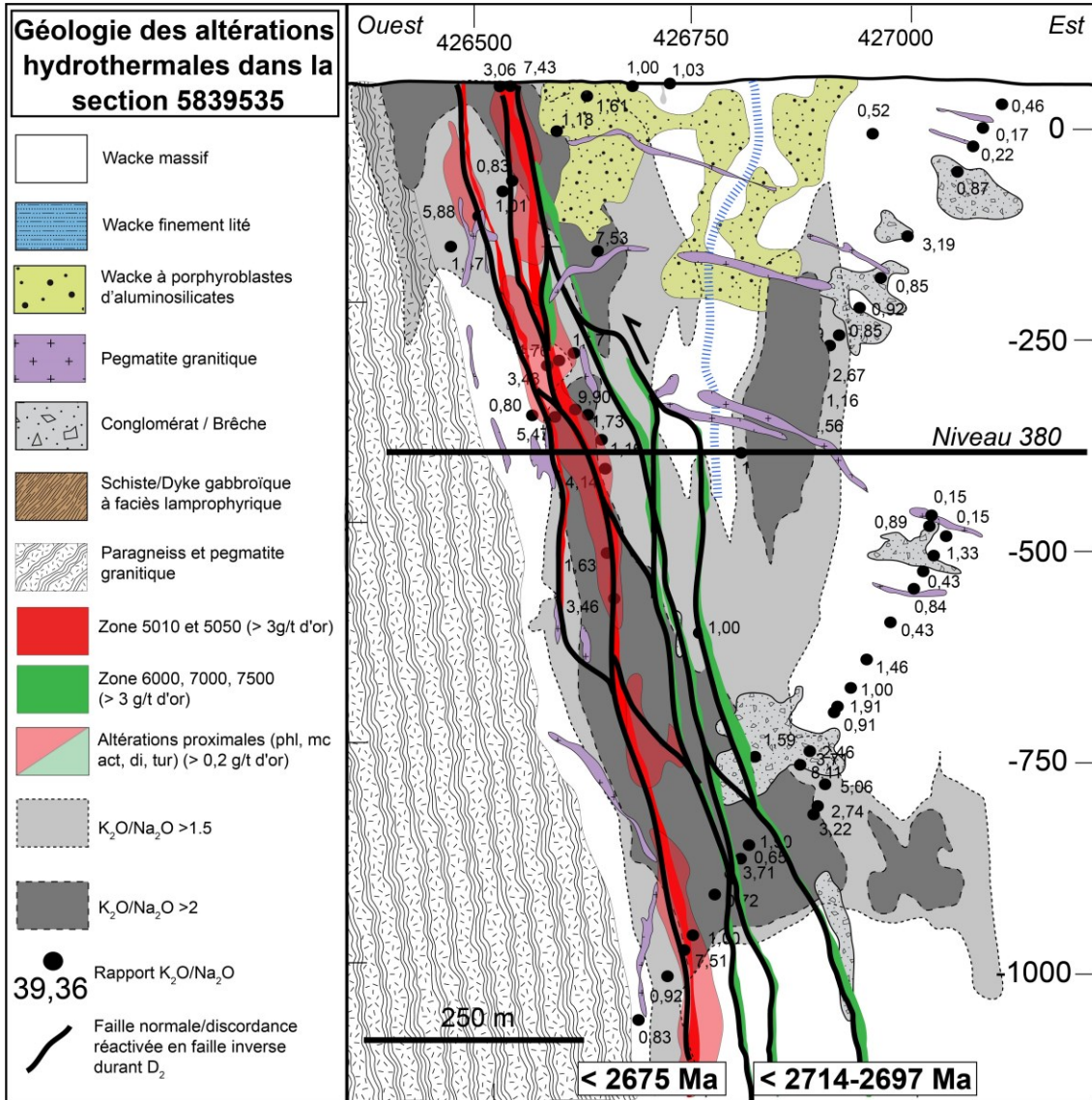




- #### Légende
- Intrusion de Cheechoo gneissique et foliée (I1D)
 - Pegmatite à Qtz, Fsp, Bt, Chl, Ap (I1G)
 - Wacke paragneissique (localement chloritisée)
 - Wacke à porphyroblastes d'amphiboles non orientés
 - Veine V₁, Qtz-Fsp-Act (Sch, Py, Apy)
 - Veine V_{2'}, Act-Qtz-Fsp
 - Veine V₂, Qtz-Fsp-(Phl, Apy, Po)
 - Veine V₃, Qtz-Act
 - Veine V₄, Qtz-Chl-Ep
 - Dyke de pegmatite
 - Foliation principale
 - Veine
 - Contact
 - Or visible
 - Contact sédiment intrusion (inferre)
 - Axe de pli
 - Teneur en or 1.8 g/t (sur 1m)



ANNEXE I : SECTION 5839535



ANNEXE J : CROQUIS DÉTAILLÉS

Croquis/Cartes	Localisation
Croquis 1	N-GRO-2S du niveau 440
Croquis 2	AMN504 du niveau 440
Croquis 3	AMN504 du niveau 380
Croquis 4	AMN504 du niveau 380
Croquis 5	AMN358 du niveau 410
Croquis 6	N-GRO-1S du niveau 410
Croquis 7	AMN500 du niveau 620
Croquis 8	N-ANV-01 du niveau 650
Croquis 9	N-BMA-02 du niveau 410
Croquis 10	N-ANV-01 du niveau 410
Croquis 11	N-GRO-1S du niveau 410
Croquis 12	N-GRO-1S du niveau 410
Croquis 13	N-GRO-1N du niveau 410
Croquis 14	N-ANV-01 du niveau 410
Croquis 15	N-ANV-01 du niveau 410
Croquis 16	N-ANV-01 du niveau 410

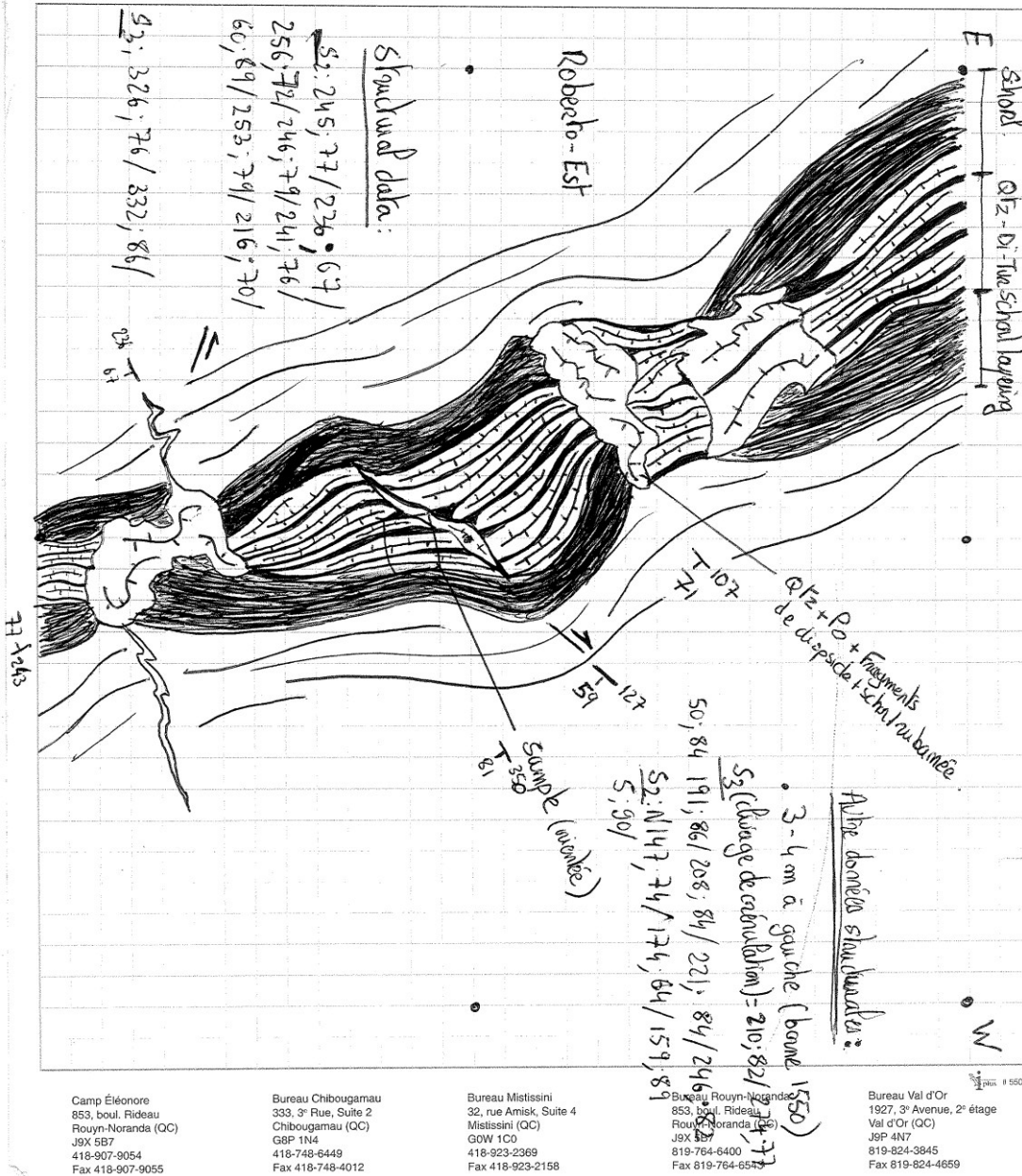
Croquis 1 : CD-UG-58 (Mur nord de la galerie N-GRO-2S du niveau 440). Veine laminée de quartz-diopside-tourmaline de la zone 6000 boudinée avec des pegmatites dans les necks de boudins



440-N-6RO-2S
Ph 6919-6929

DATE : _____

SUJET : CD-UG-58



Camp Éléonore
853, boul. Rideau
Rouyn-Noranda (OC)
J9X 5B7
418-907-9054
Fax 418-907-9055

Bureau Chibougamau
333, 3^e Rue, Suite 2
Chibougamau (OC)
G8P 1N4
418-748-6449
Fax 418-748-4012

Bureau Mistissini
32, rue Amisk, Suite 4
Mistissini (QC)
G0W 1C0
418-923-2369
Fax 418-923-2158

Bureau Rouyn-Noranda
853, boul. Rideau
Rouyn-Noranda (OC)
J9X 5B7
819-764-6400
Fax 819-764-6554

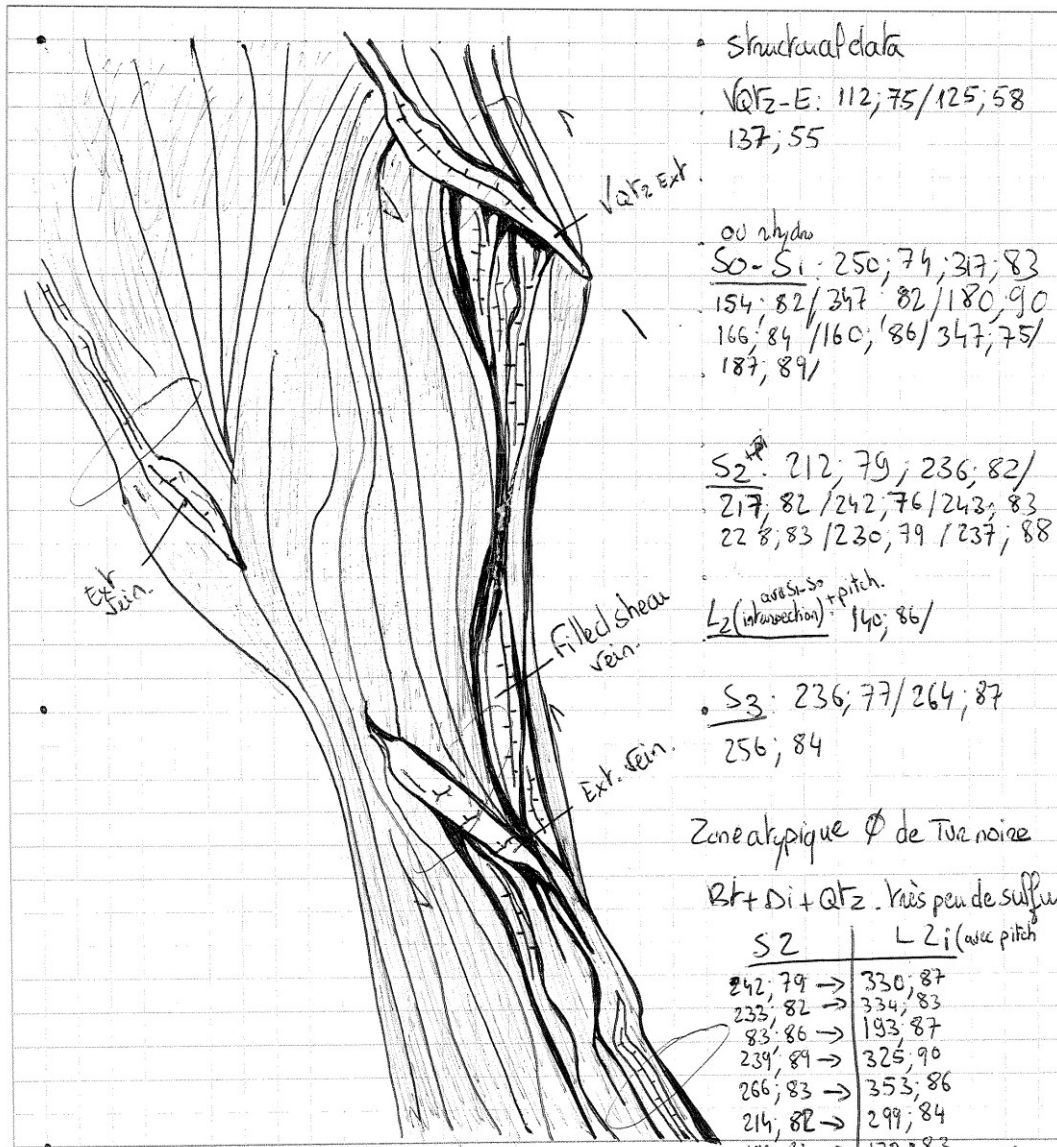
Croquis 2 : CD-UG-59 (Mur nord de la galerie AMN504 du niveau 440). Schiste à biotite et veines injecté de veines de quartz-diopside-tourmaline de la zone 6000



Ph 6930-6937/8
440-504

DATE : _____

SUJET : CD-UG-59



Camp Éléonore
853, boul. Rideau
Rouyn-Noranda (QC)
J9X 5B7
418-907-9054
Fax 418-907-9055

Bureau Chibougamau
333, 3^e Rue, Suite 2
Chibougamau (QC)
G8P 1N4
418-748-6449
Fax 418-748-4012

Bureau Mistissini
32, rue Amisk, Suite 4
Mistissini (QC)
G0W 1C0
418-923-2369
Fax 418-923-2158

Bureau Rouyn-Noranda
853, boul. Rideau
Rouyn-Noranda (QC)
J9X 5B7
819-764-6400
Fax 819-764-6543

Bureau Val d'Or
1927, 3^e Avenue, 2^e étage
Val d'Or (QC)
J9P 4N7
819-824-3845
Fax 819-824-4659

4 55034

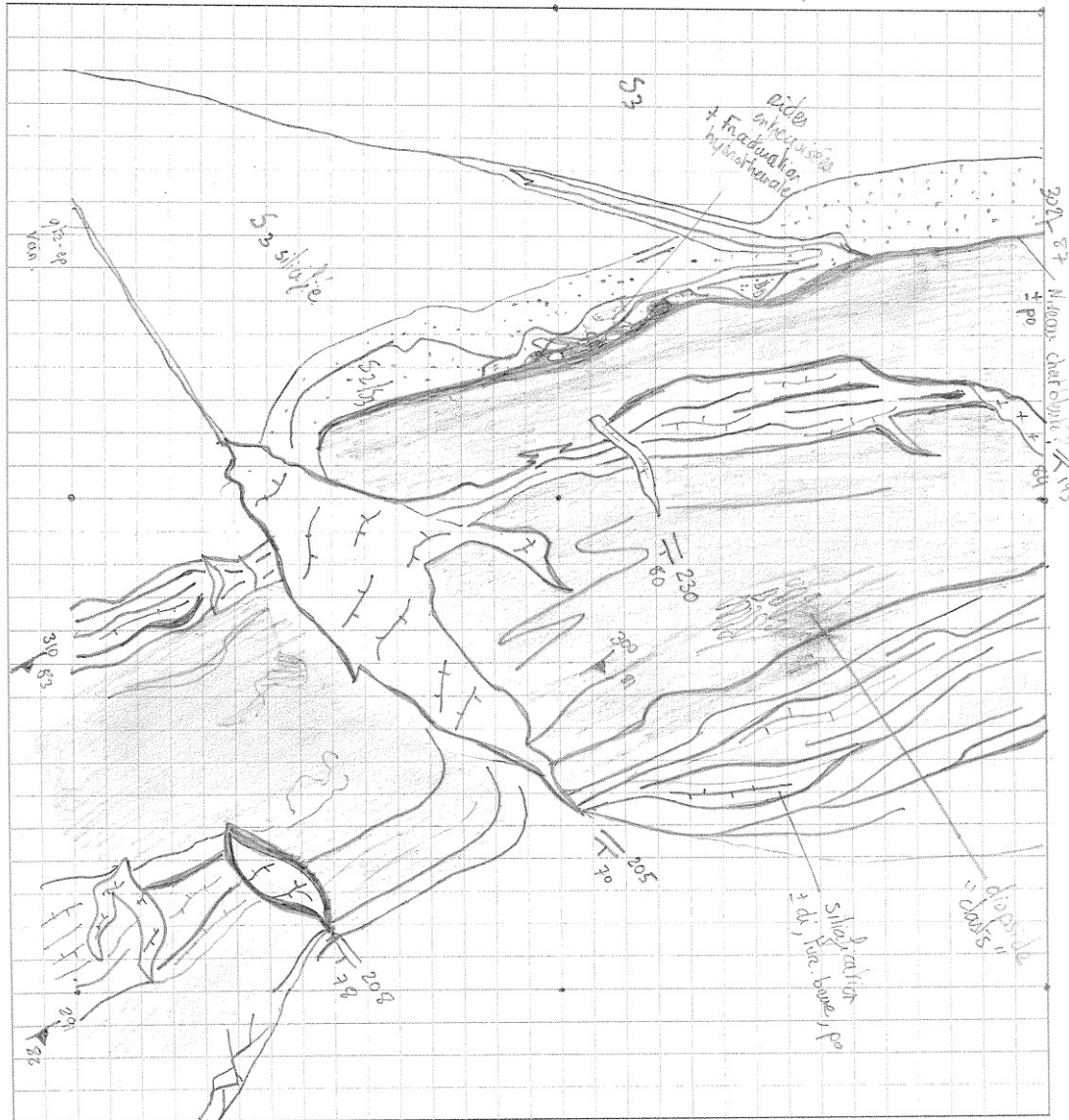
Croquis 3 : (Galerie AMN504 du niveau 380). Zone de silicification et veines de cisaillement et en-échelon dans un wacke lité de la zone 5050



Niv. 380 - AMN504 1:10

DATE : 26-07-2014

SUJET : Zone 50-50 (Dm Nord)



Camp Étéonore
853, boul. Rideau
Rouyn-Noranda (QC)
J9X 5B7
418-907-9054
Fax 418-907-9055

Bureau Chibougamau
333, 3^e Rue, Suite 2
Chibougamau (QC)
G8P 1N4
418-748-6449
Fax 418-748-4012

Bureau Mistissini
32, rue Amisk, Suite 4
Mistissini (QC)
G0W 1C0
418-923-2369
Fax 418-923-2158

Bureau Rouyn-Noranda
853, boul. Rideau
Rouyn-Noranda (QC)
J9X 5B7
819-764-6400
Fax 819-764-6543

Bureau Val d'Or
1927, 3^e Avenue, 2^e étage
Val d'Or (QC)
J9P 4N7
819-824-3845
Fax 819-824-4659

4 65034

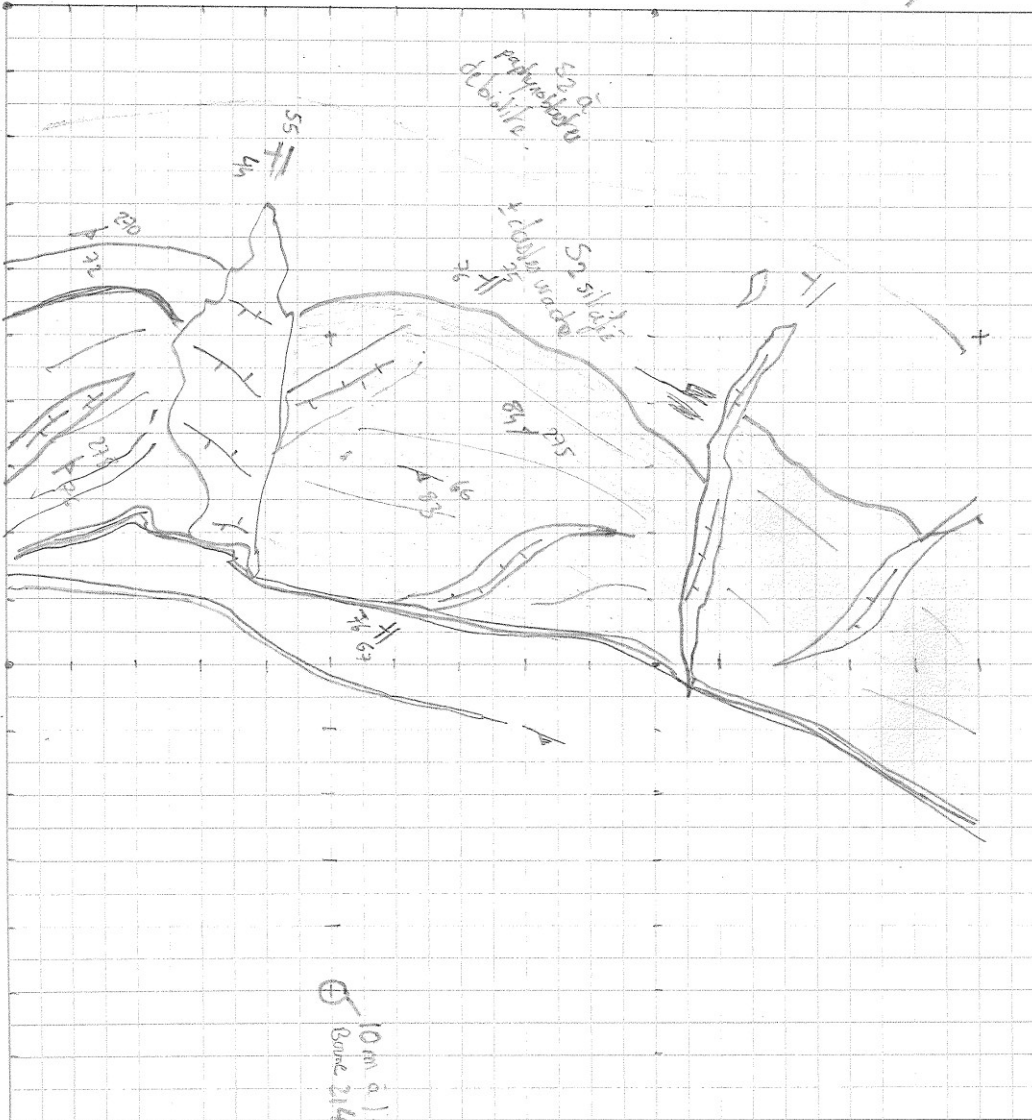
Croquis 4 : (Galerie AMN504 du niveau 380). Wacke fortement silicifié, veines de quartz-diopside boudinée et veines d'extension subhorizontales de la zone 5050



DATE : 26-07-2014

Niv. 380. ANN 504 1:20

SUJET : Zone 5050 (Nm Sud)



Camp Éléonore
853, boul. Rideau
Rouyn-Noranda (QC)
J9X 5B7
418-907-9054
Fax 418-907-9055

Bureau Chibougamau
333, 3^e Rue, Suite 2
Chibougamau (QC)
G9P 1N4
418-748-6449
Fax 418-748-4012

Bureau Mistissini
32, rue Amisk, Suite 4
Mistissini (QC)
G0W 1C0
418-923-2369
Fax 418-923-2158

Bureau Rouyn-Noranda
853, boul. Rideau
Rouyn-Noranda (QC)
J9X 5B7
819-764-6400
Fax 819-764-6543

Bureau Val d'Or
1927, 3^e Avenue, 2^e étage
Val d'Or (QC)
J9P 4N7
819-824-3845
Fax 819-824-4659

55034

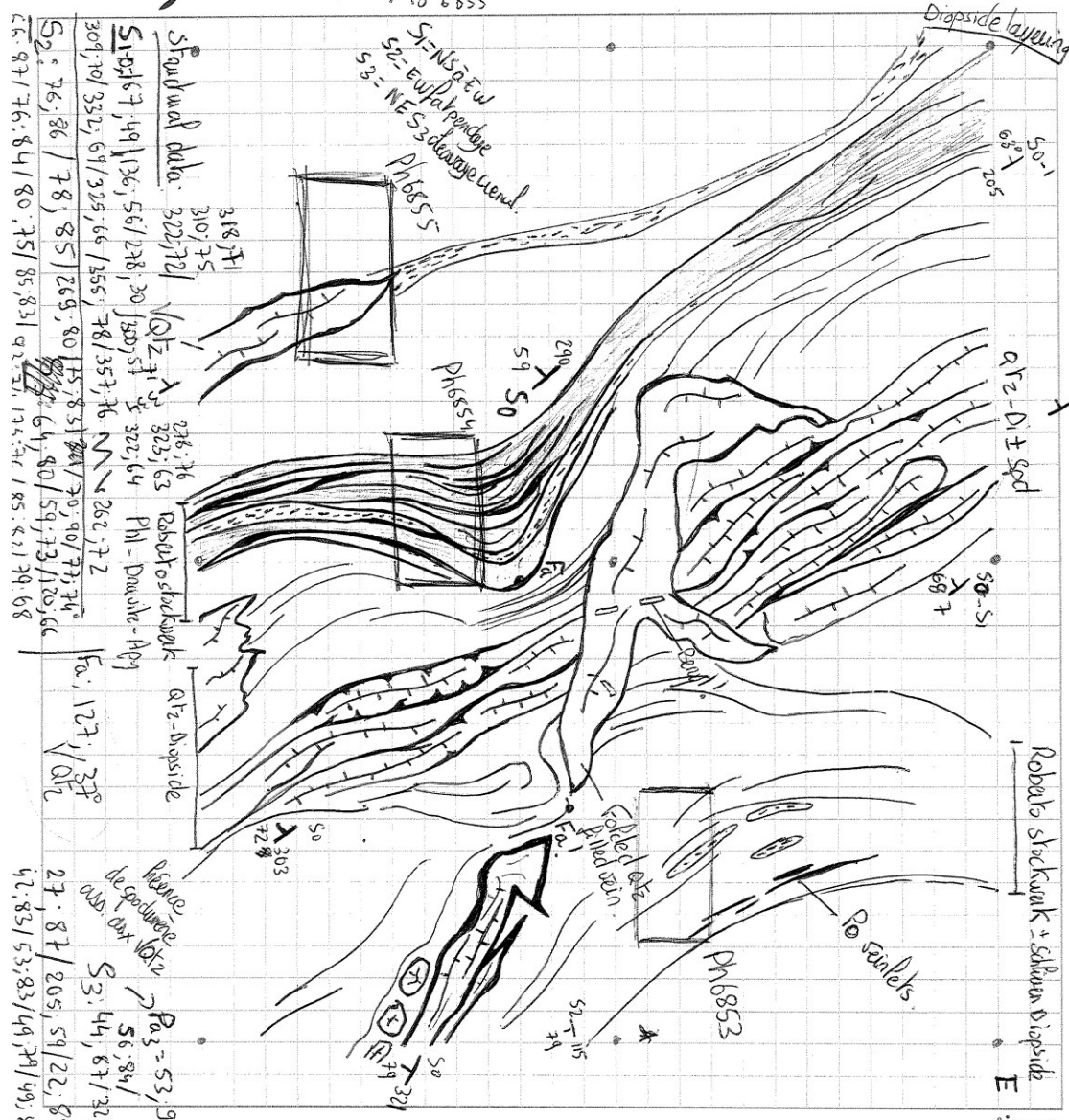
Croquis 5 : (Galerie AMN358 du niveau 410). Stockwerk composé de veinules et veines de quartz et veines laminées de quartz-diopside recoupées par des veines de quartz en échelon de la zone 5050



410-358(Nord) Ph6849 to 6855

DATE: _____

SUJET: CD-56 (UG)



Carré Léonore
853, boul. Rideau
Rouyn-Noranda (QC)
J9X 5B7
418-907-9054
Fax 418-907-9055

Bureau Chibougamau
333, 3^e Rue, Suite 2
Chibougamau (QC)
G6P 1N4
418-748-6449
Fax 418-748-4012

Bureau Mistissini
32, rue Amisk, Suite 4
Mistissini (QC)
GOW 1C0
418-923-2369
Fax 418-923-2158

Bureau Rouyn-Noranda
853, boul. Rideau
Rouyn-Noranda (QC)
J9X 5B7
819-764-6400
Fax 819-764-6543

Bureau Val d'Or
1927, 3^e Avenue, 2^e étage
Val d'Or (QC)
J9P 4N7
819-824-3845
Fax 819-824-4659

55034

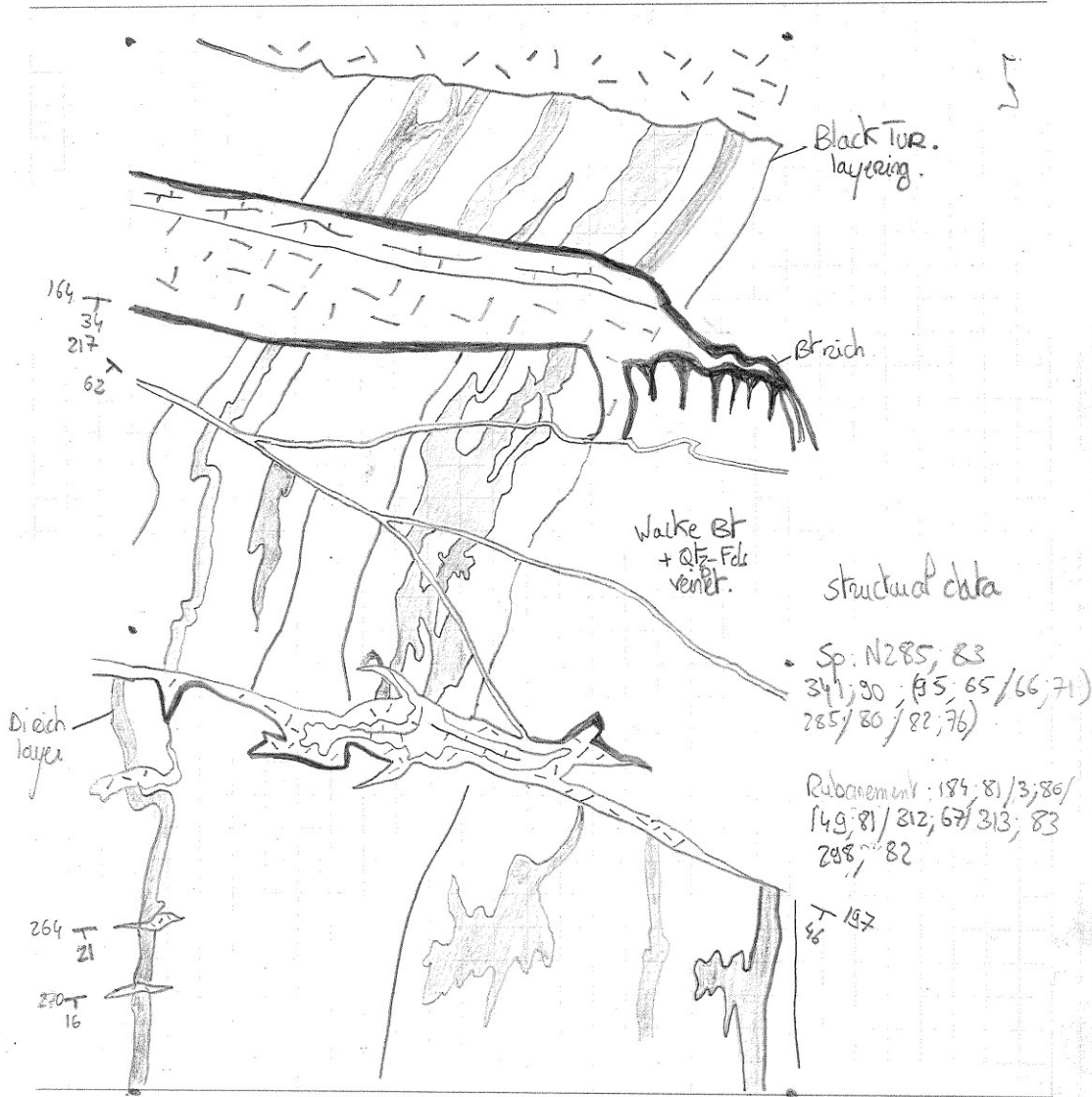
Croquis 6 : (Galerie N-GRO-1S du niveau 410, Borne 1344). Pegmatites granitiques recoupant une zone rubanée composée de diopside, de quartz et de tourmaline dans un wacke riche en biotite de la zone 7000

GOLDCORP

PROJET ÉLÉONORE

CD-45-Niv410 (Borne 1344)

Ph 2812



Bureau de Chibougamau
333, 3^e Rue, suite 2
Chibougamau (Québec)
GBP 1N4
T 418 748-6449
F 418 748-4012

Bureau de Rouyn-Noranda
853, boulevard Rideau
Rouyn-Noranda (Québec)
J9Y 0G3
T 819 764-6400
F 819 764-6543

Bureau de Wemindji
21, Hilltop Drive
Wemindji (Québec)
J0M 1L0
T 819 978-0264
F 819 978-0258

Site Éléonore
853, boulevard Rideau
Rouyn-Noranda (Québec)
J9Y 0G3
T 819 865-2062
F 819 865-2134



IMPRIMÉ À CHIBOUGAMAU

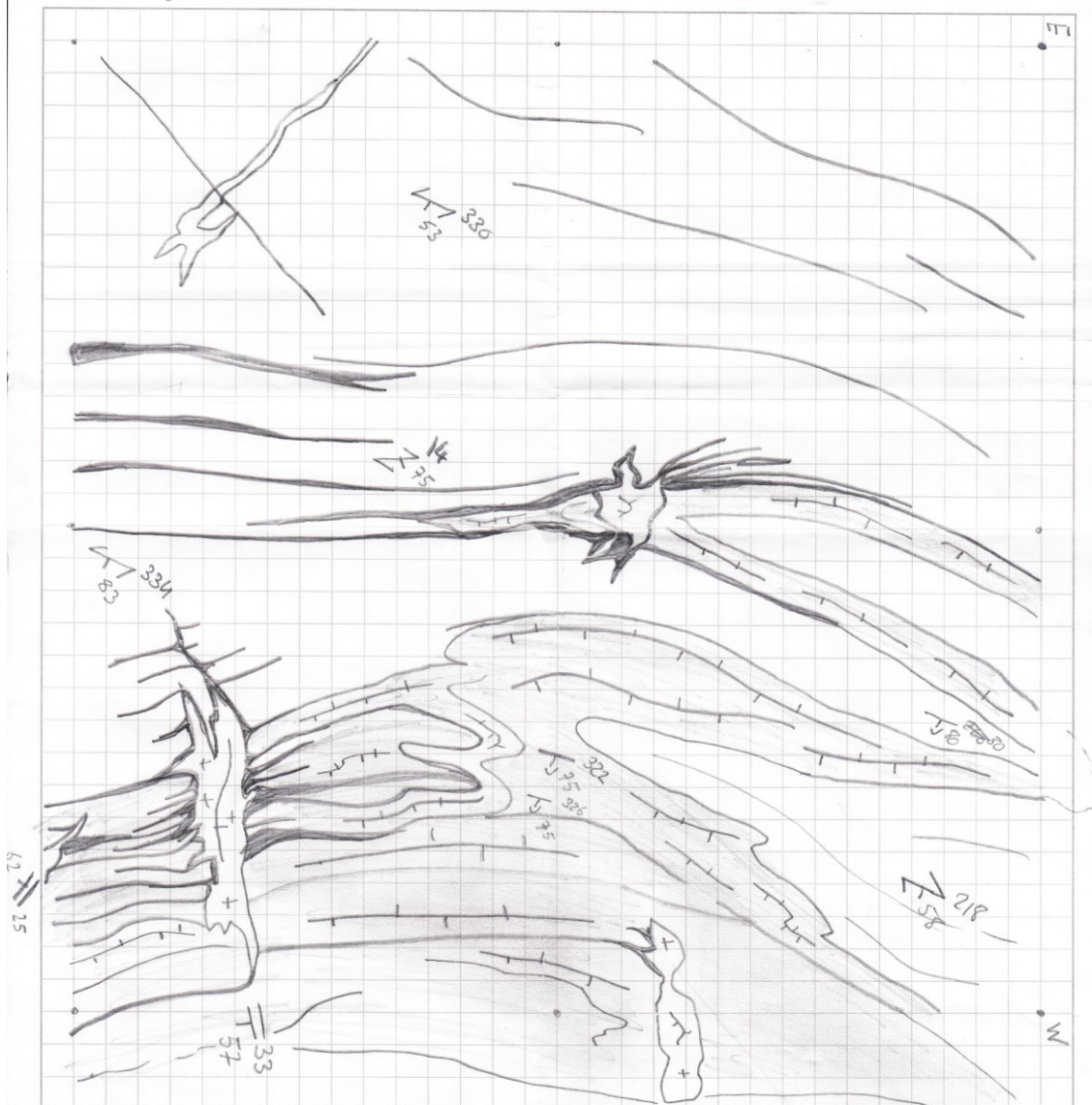
Croquis 7 : (Galerie AMN500 du niveau 620). Veines de quartz-diopside plissées par des pis isoclinaux et injectées de pegmatites granitiques riches en tourmaline (zone 6000)



620-500 - Niveau Sud

DATE : _____

SUJET : _____



Camp Éléonore
853, boul. Rideau
Rouyn-Noranda (QC)
J9X 5B7
418-907-9054
Fax 418-907-9055

Bureau Chibougamau
333, 3^e Rue, Suite 2
Chibougamau (QC)
G8P 1N4
418-748-6449
Fax 418-748-4012

Bureau Mistissini
32, rue Amisk, Suite 4
Mistissini (QC)
G0W 1C0
418-923-2369
Fax 418-923-2158

Bureau Rouyn-Noranda
853, boul. Rideau
Rouyn-Noranda (QC)
J9X 5B7
819-764-6400
Fax 819-764-6543

Bureau Val d'Or
1927, 3^e Avenue, 2^e étage
Val d'Or (QC)
J9P 4N7
819-824-3845
Fax 819-824-4659

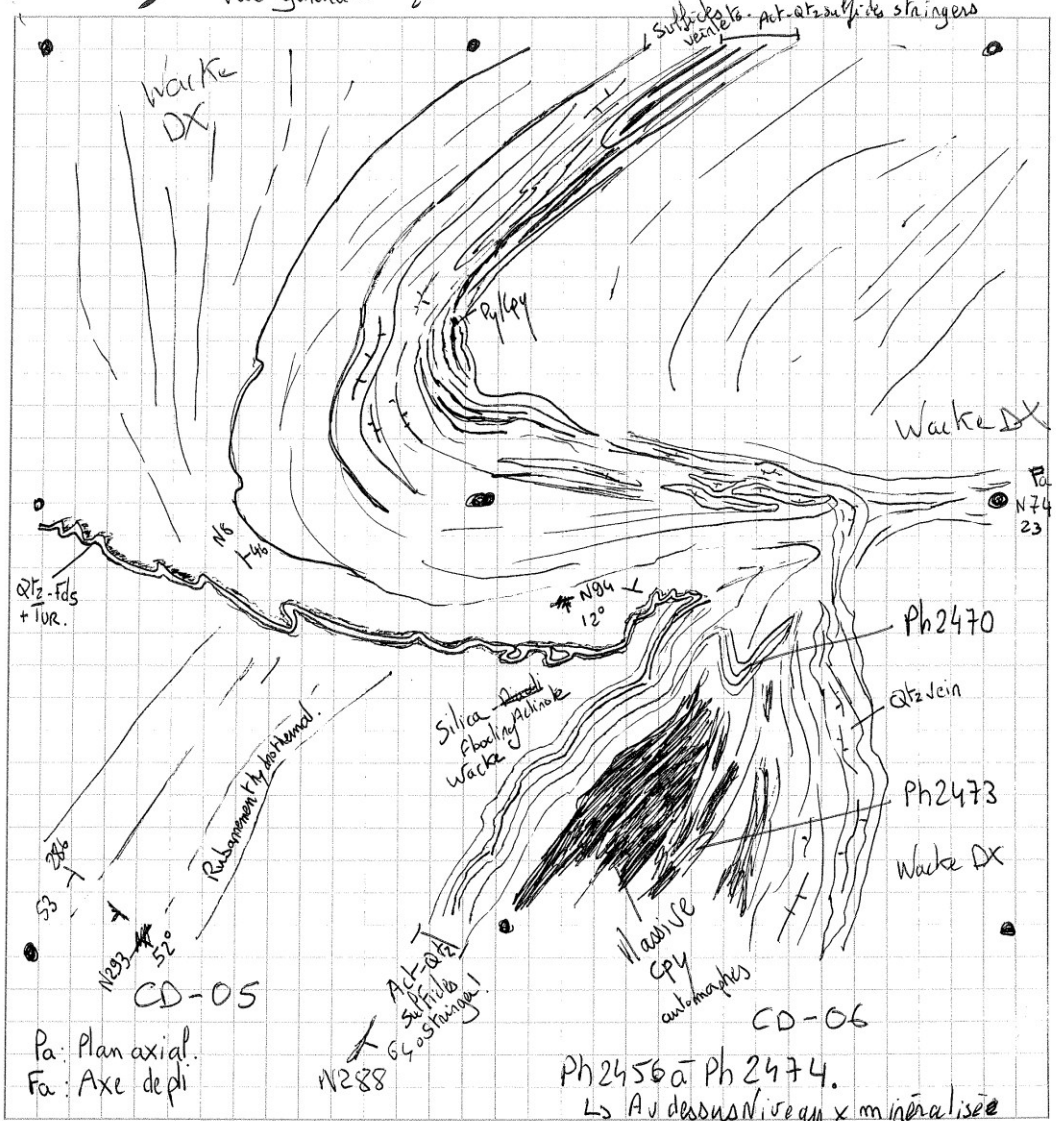
55004

Croquis 8 : (Galerie N-ANV-01 du niveau 650, borne 51). Zone de silicification plissée et zone riche de pyrite et de chalcopryte



BAS 1 à 2.60 à droite DATE: 30-08-2013
~~Vue en plan~~ 2457-2458.
 Vue générale 24

SUJET: CD 05-06



Pa: Plan axial.
 Fa: Axe de pli

Camp Éléonore
 853, boul. Rideau
 Rouyn-Noranda (QC)
 J9X 5B7
 418-907-9054
 Fax 418-907-9055

Bureau Chibougamau
 333, 3^e Rue, Suite 2
 Chibougamau (QC)
 G8P 1N4
 418-748-6449
 Fax 418-748-4012

Bureau Mistissini
 32, rue Amisk, Suite 4
 Mistissini (QC)
 G0W 1C0
 418-923-2369
 Fax 418-923-2158

Bureau Rouyn-Noranda
 853, boul. Rideau
 Rouyn-Noranda (QC)
 J9X 5B7
 819-764-6400
 Fax 819-764-6543

Bureau Val d'Or
 1927, 3^e Avenue, 2^e étage
 Val d'Or (QC)
 J8P 4N7
 819-824-3845
 Fax 819-824-4659

65034

Croquis 9 : (Mur est de la galerie N-BMA-02 du niveau 410, borne 52). Veine pegmatitique recoupant le conglomérat/brèche mylonitisé dans une zone de forte déformation

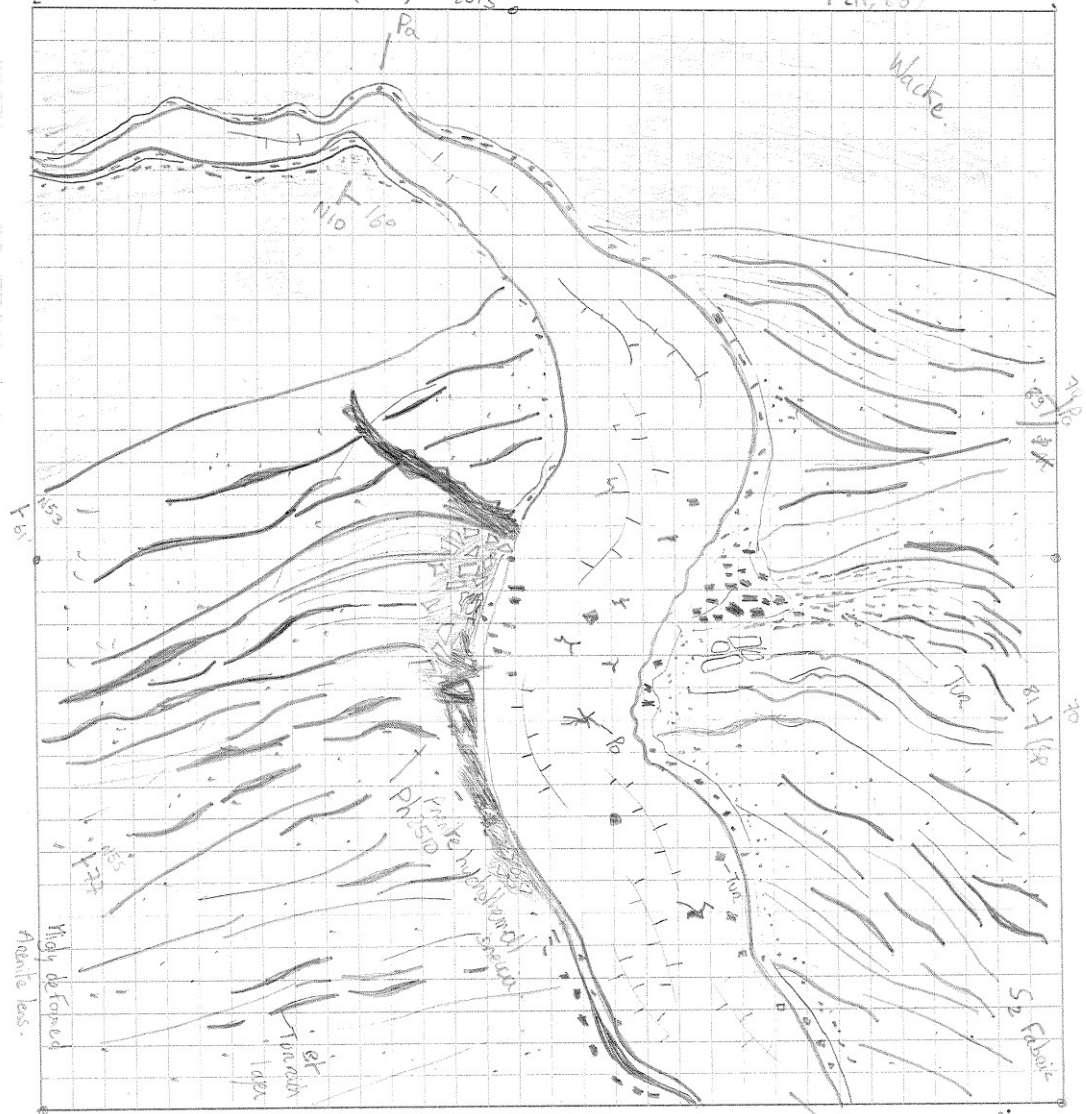


Borne 52 à 4 m
à gauche (2514) Ph 2509
2513

DATE : 01-08-2013

SUJET : CD-14

Sp: 250; 86 / N102; 79
88; 74 / 91; 76 / 78; 66
211; 60



Camp Éléonore
853, boul. Rideau
Rouyn-Noranda (QC)
J9X 5B7
+18-907-9054
+18-907-9055

Bureau Chibougamau
333, 3^e Rue, Suite 2
Chibougamau (QC)
G8P 1N4
418-748-6449
Fax 418-748-4012

Bureau Mistissini
32, rue Amisk, Suite 4
Mistissini (QC)
G0W 1C0
418-923-2369
Fax 418-923-2158

Bureau Rouyn-Noranda
853, boul. Rideau
Rouyn-Noranda (QC)
J9X 5B7
819-764-6400
Fax 819-764-6543

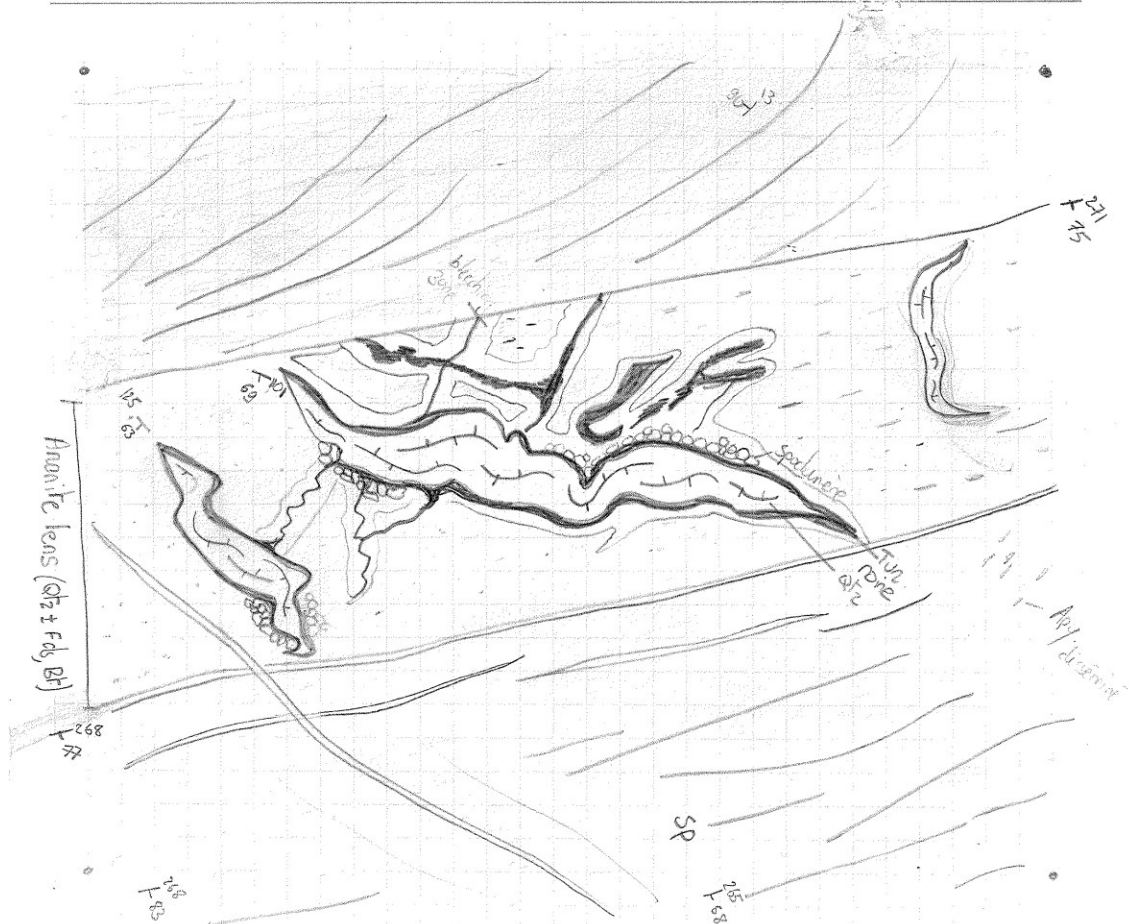
Bureau Val d'Or
1927, 3^e Avenue, 2^e étage
Val d'Or (QC)
J9P 4N7
819-824-3845
Fax 819-824-4659

550034

Croquis 10 : (Mur nord de la galerie N-ANV-01 du niveau 410, borne 1328). Veine pegmatitique en-échelon dans une arénite

GOLDCORP
PROJET ÉLÉONORE

10 m à gauche borne 1328 et en face (début non fonçement)
CD-19. (Ph 2614) → Pegmatite associée
au dessus (2615/2616)



structural data. T²⁶⁶
Sp: 84; 86/86; 75/276; 85/213; 84/266; 85/263; 78/260; 78/283; 53/280; 60/278; 74/295; 84/286; 77/170; 80/

Bureau de Chibougamau
333, 3^e Rue, suite 2
Chibougamau (Québec)
G8P 1N4
T 418 748-6449
F 418 748-4012

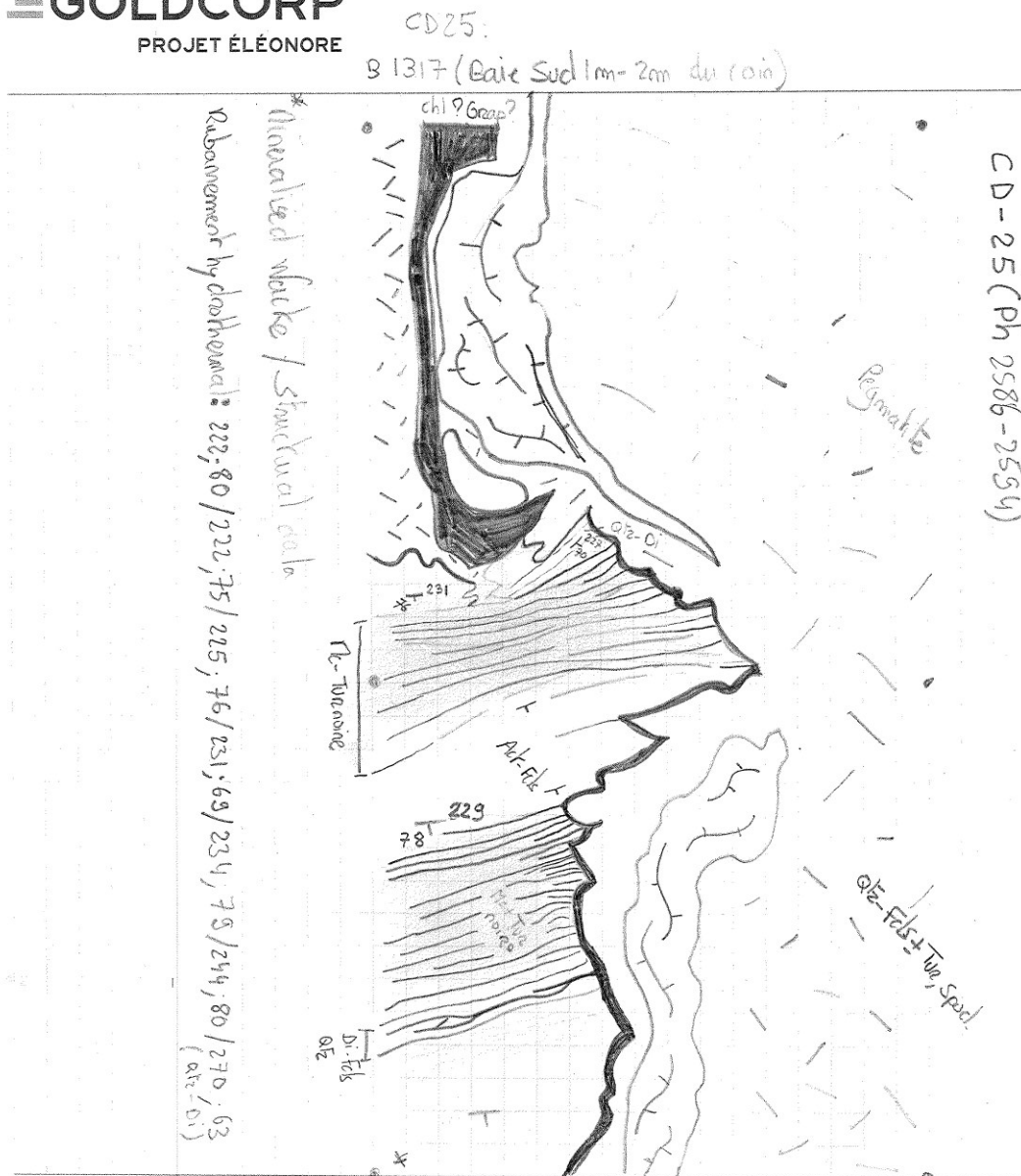
Bureau de Rouyn-Noranda
853, boulevard Rideau
Rouyn-Noranda (Québec)
J9Y 0G3
T 819 764-6400
F 819 764-6543

Bureau de Wemindji
21, Hilltop Drive
Wemindji (Québec)
J0M 1L0
T 819 978-0264
F 819 978-0258

Site Éléonore
853, boulevard Rideau
Rouyn-Noranda (Québec)
J9Y 0G3
T 819 865-2062
F 819 865-2134

Croquis 11 : (Mur ouest de la galerie N-GRO-1S du niveau 410, borne 1317). Zone d'altération à microcline, tourmaline en bordure d'une pegmatite granitique

GOLDCORP
PROJET ÉLÉONORE



Bureau de Chibougamau
333, 3^e Rue, suite 2
Chibougamau (Québec)
G8P 1N4
T 418 748-6449
F 418 748-4012

Bureau de Rouyn-Noranda
853, boulevard Rideau
Rouyn-Noranda (Québec)
J9Y 0G3
T 819 764-6400
F 819 764-6543

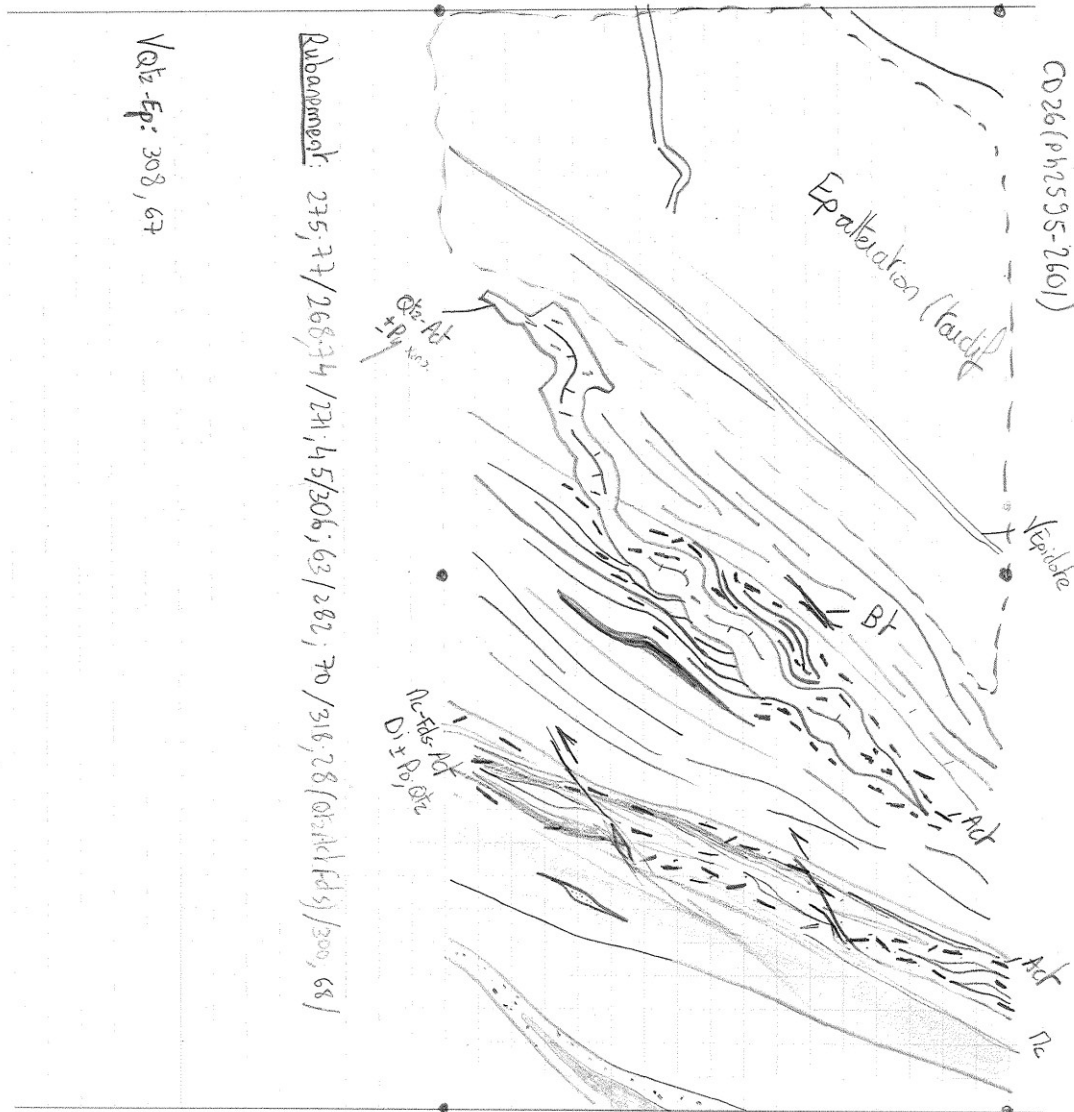
Bureau de Wemindji
21, Hilltop Drive
Wemindji (Québec)
J0M 1L0
T 819 978-0264
F 819 978-0258

Site Éléonore
853, boulevard Rideau
Rouyn-Noranda (Québec)
J9Y 0G3
T 819 865-2062
F 819 865-2134

Croquis 12 : (Mur est de la galerie N-GRO-1S du niveau 410, borne 1317). Zone d'altération à épidote et veines de quartz, actinote, diopside et pyrite

GOLDCORP
PROJET ÉLÉONORE

CD26 (en face CD25)
Ph2595



Bureau de Chibougamau
333, 3^e Rue, suite 2
Chibougamau (Québec)
G8P 1N4
T 418 748-6449
F 418 748-4012

Bureau de Rouyn-Noranda
853, boulevard Rideau
Rouyn-Noranda (Québec)
J9Y 0G3
T 819 764-6400
F 819 764-6543

Bureau de Wemindji
21, Hilltop Drive
Wemindji (Québec)
J0M 1L0
T 819 978-0264
F 819 978-0258

Site Éléonore
853, boulevard Rideau
Rouyn-Noranda (Québec)
J9Y 0G3
T 819 865-2062
F 819 865-2134

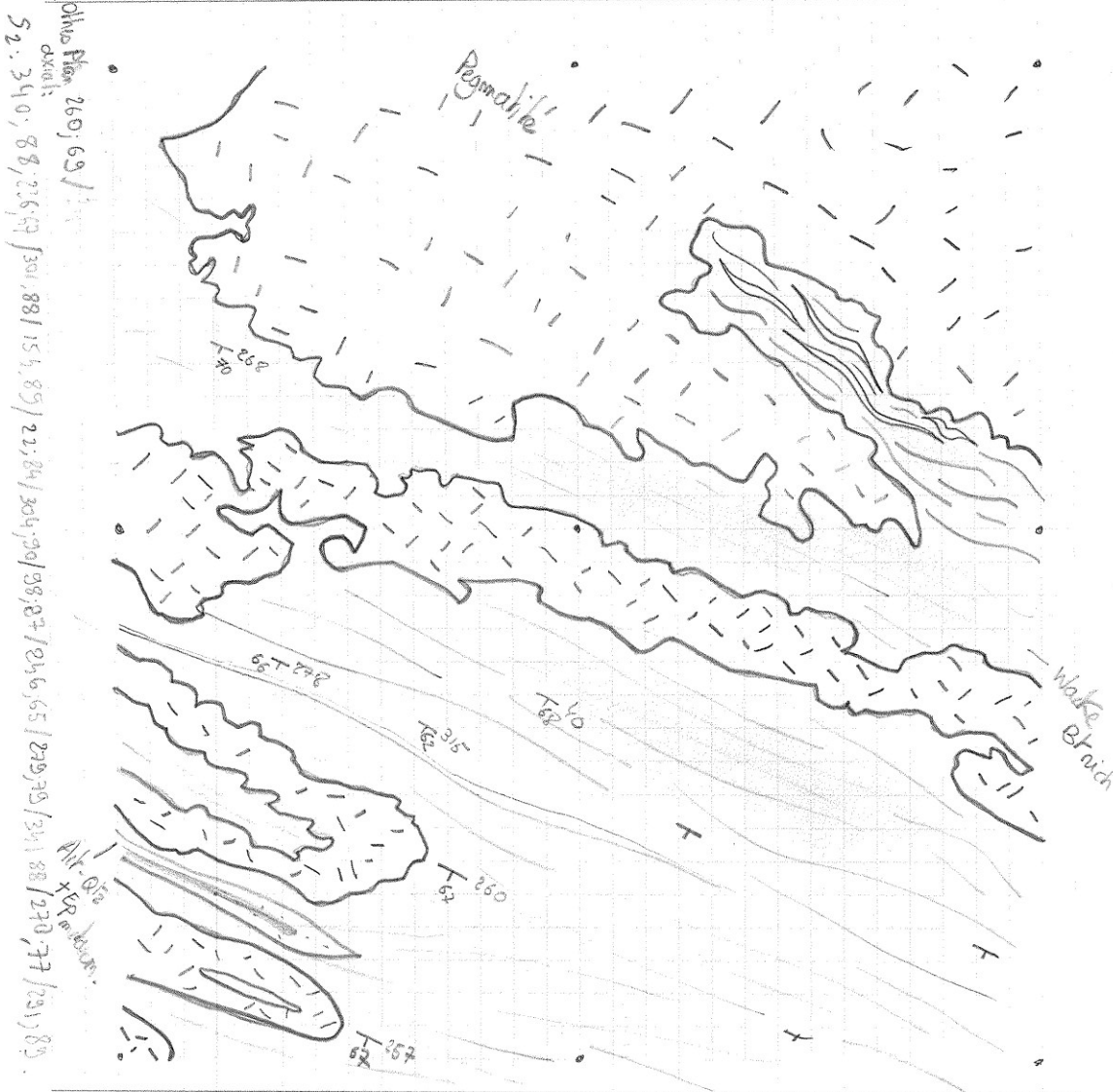


IMPRIMÉ À CHIBOUGAMAU

Croquis 13 : (Mur est de la galerie N-GRO-1N du niveau 410). Pegmatites granitiques plissées par de plis isoclinaux associés à une foliation de plan axial S₂

GOLDCORP
PROJET ÉLÉONORE

CD-27 (6 m à gauche de borne BS)
(Ph2605)



Bureau de Chibougamau
333, 3^e Rue, suite 2
Chibougamau (Québec)
G8P 1N4
T 418 748-6449
F 418 748-4012

Bureau de Rouyn-Noranda
853, boulevard Rideau
Rouyn-Noranda (Québec)
J9Y 0G3
T 819 764-6400
F 819 764-6543

Bureau de Wemindji
21, Hilltop Drive
Wemindji (Québec)
J0M 1L0
T 819 978-0264
F 819 978-0258

Site Éléonore
853, boulevard Rideau
Rouyn-Noranda (Québec)
J9Y 0G3
T 819 865-2062
F 819 865-2134

 IMPRIMÉ À CHIBOUGAMAU

Croquis 14 : (Mur sud de la galerie N-ANV-01 du niveau 410, borne 1328). Veine pegmatitique en-échelon dans une arénite

CD-36 Ph2666 85' 204 82 216



Bureau de Chibougamau
 333, 3^e Rue, suite 2
 Chibougamau (Québec)
 G8P 1N4
 T 418 748-6449
 F 418 748-4012

Bureau de Rouyn-Noranda
 853, boulevard Rideau
 Rouyn-Noranda (Québec)
 J9Y 0G3
 T 819 764-6400
 F 819 764-6543

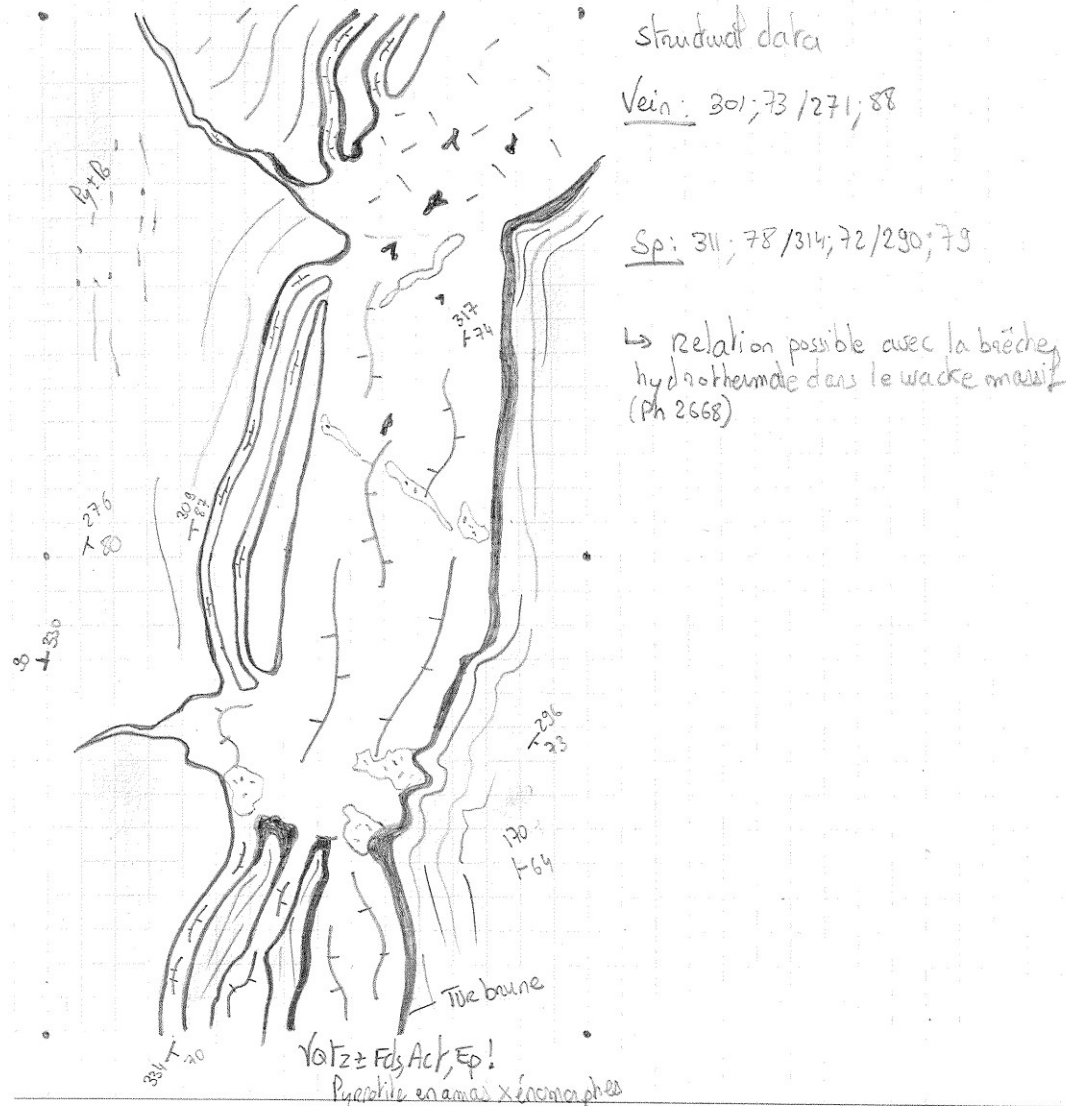
Bureau de Wemindji
 21, Hilltop Drive
 Wemindji (Québec)
 J0M 1L0
 T 819 978-0264
 F 819 978-0258

Site Éléonore
 853, boulevard Rideau
 Rouyn-Noranda (Québec)
 J9Y 0G3
 T 819 865-2062
 F 819 865-2134



IMPRIMÉ À CHIBOUGAMAU

Croquis 15 : (Galerie N-ANV-01 du niveau 410, borne 1302). Veine de quartz, feldspath, actinote, épidote et pyrrhotite



Bureau de Chibougamau
 333, 3^e Rue, suite 2
 Chibougamau (Québec)
 G8P 1N4
 T 418 748-6449
 F 418 748-4012

Bureau de Rouyn-Noranda
 853, boulevard Rideau
 Rouyn-Noranda (Québec)
 J9Y 0G3
 T 819 764-6400
 F 819 764-6543

Bureau de Wemindji
 21, Hilltop Drive
 Wemindji (Québec)
 J0M 1L0
 T 819 978-0264
 F 819 978-0258

Site Éléonore
 853, boulevard Rideau
 Rouyn-Noranda (Québec)
 J9Y 0G3
 T 819 865-2062
 F 819 865-2134



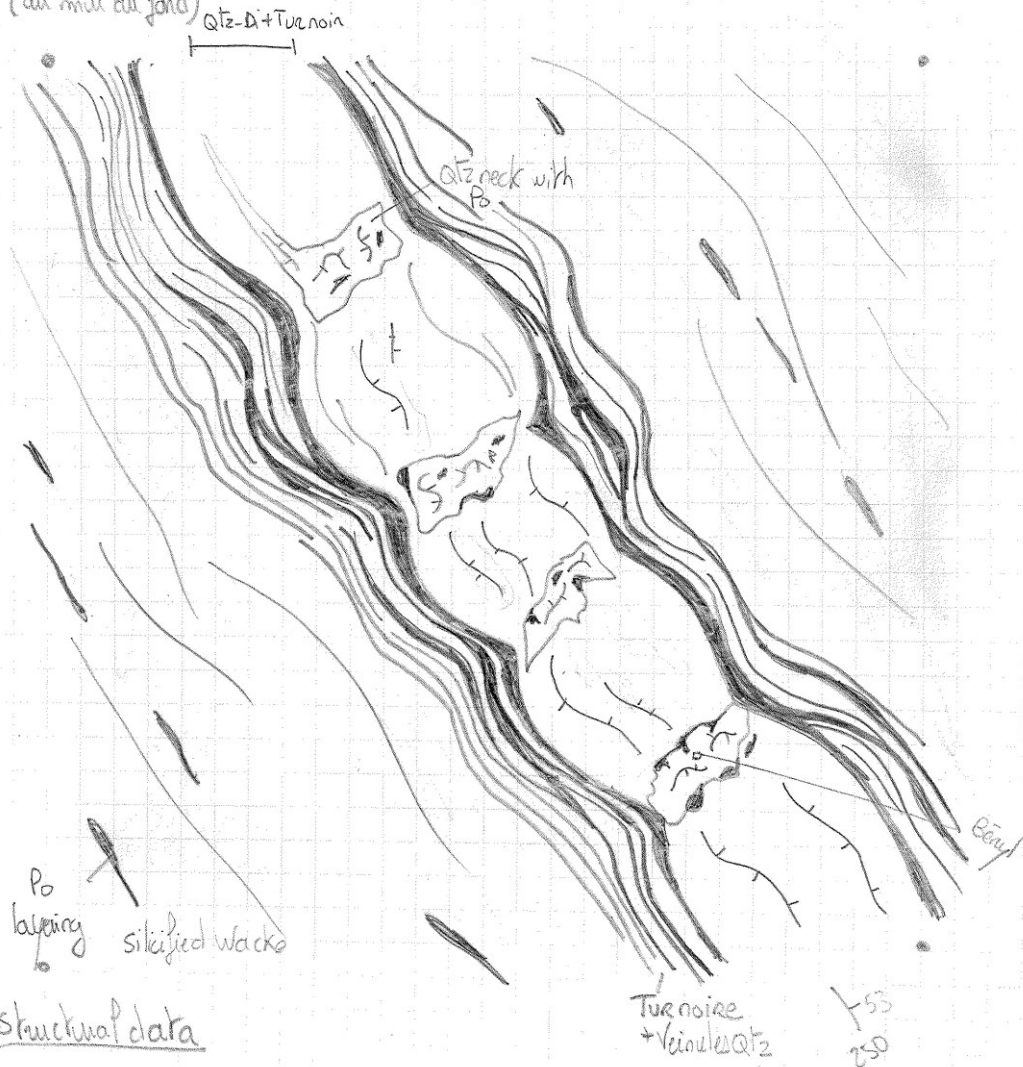
Croquis 16 : (Galerie N-ANV-01 du niveau 410, borne 1287). Veine boudinée de quartz-diopside tourmaline-noie

GOLDCORP

PROJET ÉLÉONORE

Baie en face Barre 1287
(au mur au fond)

CD43; Ph 2693-2694



structural data

Sp. 93, 61/41; 60/76; 56/84; 57/

Bureau de Chibougamau
333, 3^e Rue, suite 2
Chibougamau (Québec)
G8P 1N4
T 418 748-6449
F 418 748-4012

Bureau de Rouyn-Noranda
853, boulevard Rideau
Rouyn-Noranda (Québec)
J9Y 0G3
T 819 764-6400
F 819 764-6543

Bureau de Wemindji
21, Hilltop Drive
Wemindji (Québec)
J0M 1L0
T 819 978-0264
F 819 978-0258

Site Éléonore
853, boulevard Rideau
Rouyn-Noranda (Québec)
J9Y 0G3
T 819 865-2062
F 819 865-2134



IMPRIMÉ À CHIBOUGAMAU

ANNEXE K : DIAGRAMMES ISOCONES

